

2ej 37

UNIVERSIDAD NACIONAL AUTÓNOMA DE MÉXICO
FACULTAD DE INGENIERÍA



DISEÑO ESTRUCTURAL DE
UN EDIFICIO DE 5 NIVELES

T E S I S
QUE PARA OBTENER EL TÍTULO DE
I N G E N I E R O C I V I L
P R E S E N T A

ANTONIO CASTILLO ABONZA

México, D. F.

1981



Universidad Nacional
Autónoma de México

Dirección General de Bibliotecas de la UNAM

Biblioteca Central



UNAM – Dirección General de Bibliotecas
Tesis Digitales
Restricciones de uso

DERECHOS RESERVADOS ©
PROHIBIDA SU REPRODUCCIÓN TOTAL O PARCIAL

Todo el material contenido en esta tesis esta protegido por la Ley Federal del Derecho de Autor (LFDA) de los Estados Unidos Mexicanos (México).

El uso de imágenes, fragmentos de videos, y demás material que sea objeto de protección de los derechos de autor, será exclusivamente para fines educativos e informativos y deberá citar la fuente donde la obtuvo mencionando el autor o autores. Cualquier uso distinto como el lucro, reproducción, edición o modificación, será perseguido y sancionado por el respectivo titular de los Derechos de Autor.

I N D I C E

=====

CAPITULO PRIMERO

=====

DESCRIPCION DE LA OBRA Y BAJADA DE CARGAS.

CAPITULO SEGUNDO

=====

ANALISIS POR CARGAS VERTICALES.

CAPITULO TERCERO

=====

ANALISIS POR CARGAS HORIZONTALES.

CAPITULO CUARTO

=====

ANALISIS DE LA CIMENTACION.

CAPITULO QUINTO

=====

DISENO DE ACUERDO CON EL REGLAMENTO VIGENTE
DEL DISTRITO FEDERAL.

CAPITULO SEXTO

=====

CONCLUSIONES.

ESTUDIOS DE MATERIALES CONSTRUCTIVOS
CAPITULO PRIMERO

DESCRIPCION DE LA OBRA Y BAJADA DE CARGAS.

1.1.) Descripción de la Obra.

Se trata de un edificio para departamentos, que consta de - estacionamiento en la planta baja, un departamento en semisótano y mezzani - ne; tres plantas tipo en medios niveles y cuartos de servicio en la azótea.

Este edificio, presenta la particularidad de tener los de - partamentos en medios niveles; ya que la estancia comedor y la cocina, se en - cuentran en un nivel y medio nivel arriba, se ubican las recámaras, hall y - baños correspondientes y debido a requerimientos de tipo arquitectónico, la - estructura será de concreto en columnas rectangulares y losa plana aligerada con blocks huecos.

1.2.) Acciones Permanentes.

Cargas Muertas : son las que actúan permanentemente en una - construcción y deberán considerarse como tales; al peso propio de los elemen - tos estructurales y no estructurales, incluyendo instalaciones; al peso del - equipo que ocupa una posición fija y permanente en la construcción y al peso estimado de futuros muros divisorios y de otros elementos no estructurales - que puedan colocarse posteriormente.

MATERIAL	Peso Volumétrico en Ton/m3		
	Máximo	Mínimo	
Mortero de Cemento y Arena.	2.10	1.90	
Aplanado de Yeso.	1.50	1.10	
Tabique macizo hecho a mano.	1.50	1.30	
Tabique macizo prensado.	2.20	1.60	
Bloque hueco de concreto ligero (volumen neto)	1.70	1.30	
Bloque hueco de concreto pesado.(volumen neto)	2.20	2.00	
Vidrio Plano.	3.10	2.80	
IV. Madera.			
Caoba.	seca	0.65	0.55
	saturada	1.00	0.70
Cedro.	seco	0.55	0.40
	saturado	0.70	0.50
Oyamel.	seco	0.40	0.30
	saturado	0.65	0.55
Encino.	seco	0.90	0.80
	saturado	1.00	0.80
Pino.	seco	0.65	0.45
	saturado	1.00	0.80
V. Recubrimientos.			
		PESOS EN KG/m2.	
Azulejo.		15	10
Mosaicos en pasta.		35	25
Granito o terrazo de	20 X 20	45	35
	30 X 30	55	45
	40 X 40	65	55
Loseta asfáltica o vinílica.		10	5

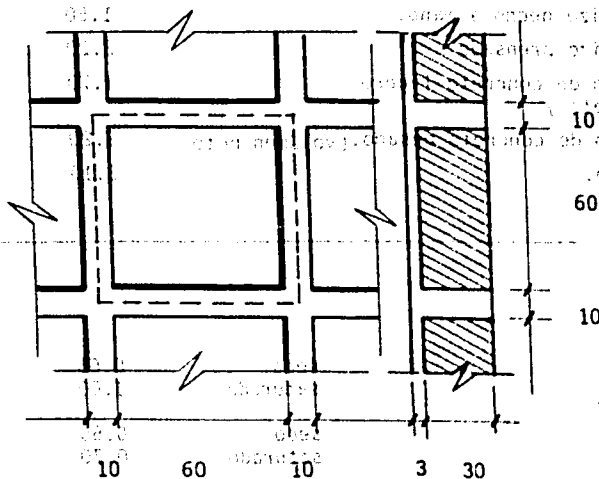
1.2.1.). Pesos Volumétricos de Materiales Constructivos.

MATERIAL	Peso Volumétrico en Ton/m ³		
	Máximo	Mínimo	
I. <u>Piedras Naturales.</u>			
Arenisca (chiluca y canteras)	secas	2.45	1.75
	saturadas	2.50	2.00
Basaltos (piedra braza)	secas	2.60	2.35
	saturadas	2.65	2.45
Granito.		3.20	2.40
Mármol.		2.60	2.55
Pizarras.	secas	2.80	2.30
	saturadas	2.85	2.35
Tepetates.	secos	1.60	0.75
	saturados	1.95	1.30
Tezontles.	secos	1.25	0.65
	saturados	1.55	1.15
II. <u>Suelos.</u>			
Arena de grano de tamaño uniforme.	seca	1.75	1.40
	saturada	2.10	1.85
Arena bien graduada.	seca	1.90	1.55
	saturada	2.30	1.95
Arcilla típica del Valle de México en su condición natural.		1.50	1.20
III. <u>Piedras Artificiales, Concretos y Morteros.</u>			
Concreto simple con agregados de peso normal.		2.20	2.00
Concreto Reforzado		2.40	2.20
Mortero de Cal y Arena.		1.50	1.40

MATERIAL	Peso Volumétrico en Ton/m3		
	Máximo	Mínimo	
Mortero de Cemento y Arena.	2.10	1.90	
Aplanado de Yeso.	1.50	1.10	
Tabique macizo hecho a mano.	1.50	1.30	
Tabique macizo prensado.	2.20	1.60	
Bloque hueco de concreto ligero (volúmen neto)	1.70	1.30	
Bloque hueco de concreto pesado. (volúmen neto)	2.20	2.00	
Vidrio Plano.	3.10	2.80	
IV. Madera.			
Caoba.	seca	0.65	0.55
	saturada	1.00	0.70
Cedro.	seco	0.55	0.40
	saturado	0.70	0.50
Oyamel.	seco	0.40	0.30
	saturado	0.65	0.55
Encino.	seco	0.90	0.80
	saturado	1.00	0.80
Pino.	seco	0.65	0.45
	saturado	1.00	0.80
V. Recubrimientos.			
	PESOS EN KG/m2.		
Azulejo.	15	10	
Mosaicos en pasta.	35	25	
Granito o terrazo de	20 X 20	45	35
	30 X 30	55	45
	40 X 40	65	55
Loseta asfáltica o vinílica.	10	5	

1.2.2.). Análisis de Cargas Muertas.

Losa de Concreto Aligerada (entrepiso Planta Tipo)



Volúmen Total = $0.70 \times 0.70 \times 0.33 = 0.162$

Volúmen de un Block = $0.60 \times 0.60 \times 0.30 = 0.108$

Volúmen de Concreto = 0.054 m^3

Peso del Concreto = $0.054 \text{ m}^3 \times 2400 \text{ Kg/m}^3 = 130 \text{ Kg.}$

Peso de un Block = $1 \text{ pza.} \times 63 \text{ Kg/pza.} = 63 \text{ Kg.}$

Peso Total = 193 Kg/cajón.

$w = \frac{193}{0.70 \times 0.70} = 394 \text{ Kg/m}^2$

Carga Muerta (entrepiso Planta Tipo)

Peso propio losa de 33 cm.

394 Kg/m².

Aplanado de yeso de 1.5 cm. (1300 X 0.015) **20 Kg/m².**

Piso de Loseta Asfáltica **6 Kg/m².**

TOTAL 420 Kg/m²

Losa de Concreto Aligerada (- azotea Planta Tipo)

Carga Muerta	
1	Peso propio losa de 33 cm. 394 Kg/m².
2	Aplanado de Yeso de 1.5 cm. (1300 X 0.015) 20 Kg/m².
3	Relleno de Tezontle de 15 cm. (1000 X 0.015) 150 Kg/m².
4	Enladrillado. (1600 X 0.020) 32 Kg/m².
	Escobillado de Cemento de 1 cm. (2000 X 0.01) 20 Kg/m².
	Suma = 616 Kg/m².
	Suma = 620 Kg/m².

De manera similar a lo ejemplificado con anterioridad, se cuantificaron las cargas muertas correspondientes a las diferentes partes que integran la estructura del edificio, tales como: losas de concreto macizas en: cubiertas de cuartos de servicio, baños, piso garage, escaleras, etc.

Asimismo, se consideraron los diferentes pesos de los muros divisorios de tabique, herrería, cristalería y pretilles.

1.3.) Acciones Variables.

Cargas Vivas : Representan las fuerzas gravitacionales que obran en la construcción y que no tienen carácter permanente.

1.3.1.) Tabla de Cargas Vivas Unitarias de Diseño, en Kg/m².

	DESTINO DEL PISO O CUBIERTA	W	W _a	W _m
I.	Habitación (apartamentos)	70	90	250 (1)
II.	Comunicación para peatones. (pasillos, escaleras)	40	150	175 (2)
VII.	Cubiertas y Azoteas con pendiente no mayor de 5%.	15	70	100
XI.	Garajes y Estacionamientos. (para automóviles exclusivamente)	40	100	150

(1) $W_m = 150 + 420 A^{-\frac{1}{2}} = 150 + \frac{420}{\sqrt{A}}$

(2) $W_m = 150 + 400 A^{-\frac{1}{2}} = 150 + \frac{400}{\sqrt{A}}$

W_a : Carga Viva para diseño estructural por fuerzas gravitacionales de la estructura y de la cimentación.

W_a : Carga Viva para diseño sísmico.

W : Carga Media para cálculo de asentamientos diferidos en materiales poco permeables saturados.

1.4.) Cargas Uniformemente Repartidas Equivalentes.

Una vez definidas las cargas vivas y las cargas muertas que actúan sobre la estructura; es necesario determinar los efectos de cargas lineales, debidas a muros que apoyan sobre las losas y que pueden tomarse en cuenta como cargas uniformemente repartidas equivalentes.

Para lograr lo anterior, se tomará en cuenta lo señalado en el inciso; 4.3.4. Cargas Lineales, de las Normas Técnicas Complementarias del Reglamento de Construcciones para el Distrito Federal, que dice: "En particular, al dimensionar una losa perimetralmente apoyada, la carga uniforme equivalente en un tablero que soporta un muro paralelo a uno de sus lados,

se obtiene dividiendo el peso del muro entre el área del tablero y multiplicando el resultado por el factor correspondiente de la tabla 4.2. La carga equivalente así obtenida se sumará a la propiamente uniforme que actúa en ese tablero.

Tabla 4.2.

Relación de lados $m = a_1/a_2$	0.5	0.8	1.0
Muro paralelo al lado corto.	1.3	1.5	1.6
Muro paralelo al lado largo.	1.8	1.7	1.6

1.5.). Cargas Totales para Análisis por Cargas Verticales.

En la tabla siguiente se indican las cargas totales (CM+CV), que obran en todos y cada uno de los niveles del edificio y se obtuvieron por la suma de las cargas: Muerta, Viva y Equivalente.

1.5.1.). Tabla de Cargas Totales para Análisis por Cargas Verticales.

Nivel	Tablero	(CM + CV) T/m2.
10	A	1.1
	B	1.1
	C	1.0
9	D	1.0
	E	1.0
	F	1.0
	A	1.0
8 y 6	B	1.0
	C	1.1
	D	1.1
7 y 5	E	0.7
	F	1.0
	A	1.0
	B	1.0
4	C	1.1
	D	1.1
	E	0.7
	F	1.0
3	A	0.9
	B	0.9

sección dividida en partes iguales, se considera que cada uno de los marcos, está formado por una fila de columnas y franjas de losa de ancho igual a la distancia entre las líneas medias de los tableros adyacentes al eje de columnas considerado. Al analizar los marcos, deben usarse las cargas totales que actúan en las losas.

Para el análisis y diseño estructural de los marcos ortogonales que forman la estructura del edificio, se considera que cada uno de los marcos, está formado por una fila de columnas y franjas de losa de ancho igual a la distancia entre las líneas medias de los tableros adyacentes al eje de columnas considerado. Al analizar los marcos, deben usarse las cargas totales que actúan en las losas.

3.7	3.8	3.9	3.10
-----	-----	-----	------

Sin embargo, para efectos de bajar cargas a la cimentación, a través de las columnas del edificio, se determinarán las áreas tributarias correspondientes a cada trabe, y se valorizarán las cargas repartidas uniformes equivalentes que gravitan sobre las mismas.

Se utilizarán las formulas conocidas, que son :

$$W_c = \frac{W_c}{3}$$

$$W_L = \frac{W_c}{3} \left(\frac{3 - m^2}{2} \right)$$

$$m = \frac{c}{L}$$

c = longitud de claro corto de la losa.

L = longitud de claro largo de la losa.

W_c = carga uniforme repartida equivalente, a lo largo de la trabe corta.

W_L = carga uniforme repartida equivalente, a lo largo de la trabe larga.

Una vez determinadas las cargas que obran sobre todos y cada uno de los marcos del edificio, se obtuvieron los Momentos Flexionantes

y Fuerzas Cortantes y Normales, a que están sometidos.

Para ello, se utilizó, el "Método Modificado de Kani", -
propuesto por el Dr. Rodolfo Luthe García; el cual consiste básicamente en -
que las incógnitas, son los giros y los desplazamientos y no los momentos de
bidos a los mismos, como el método usual de Gaspar Kani.

En el Capítulo 6 :- Conclusiones; se obtienen las ecuacio
nes que permiten determinar los giros y desplazamientos de todos y cada uno
de los nudos que integran la estructura, derivadas de las ecuaciones usuales
de Kani, relativas a los Momentos provocados por los giros y desplazamientos
de los nudos.

Para facilitar aún más la solución de los marcos, se -
aprovechó, la simetría en geometría y cargas, que se presenta en los marcos-
correspondientes a los Ejes : A, B, C y E.

Como ejemplo, se presenta la solución de los marcos co -
rrespondientes a los Ejes :- A, C y 1-6; utilizando las rigideces y factores-
de distribución angular y lineal, derivados para el análisis estructural por
cargas verticales en que se utiliza el método usual de Kani, (ver Capítulo -
Segundo).

1). Momentos de Empotramiento (Ton-m)

BARRA	M_i (T/m)	L (m)	M_{ik} (T-m)	M_{ki} (T-m)
1-2	1.9	5.55	+ 4.9	- 4.9
2-3	1.5	2.50	+ 0.8	- 0.8
5-6	1.2	5.55	+ 3.1	- 3.1
9-10				
13-14				
6-7				
10-11	1.5	2.5	+ 0.8	- 0.8
14-15				

2). Momentos de Desequilibrio (Ton-m)

NUDO	BARRA	M_{ik}	M_i	NUDO	BARRA	M_{ik}	M_i
1	1-2	+ 4.9	+ 4.9	9	9-5	0	+ 3.1
	1-5	0			9-10	+ 3.1	
2	2-1	- 4.9	- 4.1		9-13	0	
	2-3	+ 0.8		10	10-9	- 3.1	
	2-6	0			10-6	0	
5-1	0	10-11	+ 0.8				
5	5-6	+ 3.1	+ 3.1		10-14	0	
	5-9	0		13	13-9	0	
	6	6-5			- 3.1	13-14	+ 3.1
6-2		0	13-17		0		
6-7		+ 0.8	14	14-13	- 3.1		
6	6-10	0		14-10	0		
				14-15	+ 0.8		
				14-18	0		

$M_i = \Sigma M_{ik}$

3). Distribución de Giros.

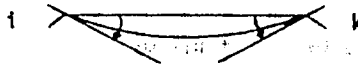
$$\theta_i = -\frac{M_i}{2K_i} + \sum_{k=1}^n \mu_{ik} \theta_k$$

Para las barras : 2-3, 6-7, 10-11 y 14-15.

$$\phi_i = -\phi_k$$

por simetría de la estructura

(simetría)



$$\phi_i = \phi_k$$

$$\theta_i = -\theta_k$$

$$\theta_1 = -\frac{M_1}{2K_1} + \mu_{12} \theta_2 + \mu_{15} \theta_5$$

$$\theta_2 = -\frac{M_2}{2K_2} + \mu_{21} \theta_1 + \mu_{23} \theta_3 + \mu_{26} \theta_6$$

$$\theta_5 = -\frac{M_5}{2K_5} + \mu_{51} \theta_1 + \mu_{56} \theta_6 + \mu_{59} \theta_9$$

$$\theta_6 = -\frac{M_6}{2K_6} + \mu_{65} \theta_5 + \mu_{62} \theta_2 + \mu_{67} \theta_7 + \mu_{6,10} \theta_{10}$$

$$\theta_9 = -\frac{M_9}{2K_9} + \mu_{95} \theta_5 + \mu_{9,10} \theta_{10} + \mu_{9,13} \theta_{13}$$

$$\theta_{10} = -\frac{M_{10}}{2K_{10}} + \mu_{10,9} \theta_9 + \mu_{10,6} \theta_6 + \mu_{10,11} \theta_{11} + \mu_{10,14} \theta_{14}$$

12.

$$\theta_{13} = - M_{13} / 2K_{13} + \mu_{13,9} \theta_9 + \mu_{13,14} \theta_{14} + \mu_{13,17} \theta_{17}$$

$$\theta_{14} = - M_{14} / 2K_{14} + \mu_{14,13} \theta_{13} + \mu_{14,16} \theta_{16} + \mu_{14,15} \theta_{15} + \mu_{14,18} \theta_{18}$$

$$\theta_3 = - \theta_2$$

$$\theta_7 = - \theta_6$$

$$\theta_{11} = - \theta_{10}$$

$$\theta_{15} = - \theta_{16}$$

Por simetría de la estructura.

$$\theta_{17} = \theta_{18} = 0 \quad (\text{empotramiento})$$

$$\theta_1 = - M_1 / 2K_1 + \mu_{12} \theta_2 + \mu_{13} \theta_3$$

$$\theta_2 = - M_2 / 2K_2 + \mu_{21} \theta_1 - \mu_{23} \theta_3 + \mu_{26} \theta_6$$

$$\theta_5 = - M_5 / 2K_5 + \mu_{51} \theta_1 + \mu_{56} \theta_6 + \mu_{59} \theta_9$$

$$\theta_6 = - M_6 / 2K_6 + \mu_{65} \theta_5 + \mu_{62} \theta_2 - \mu_{67} \theta_7 + \mu_{6,10} \theta_{10}$$

$$\theta_9 = - M_9 / 2K_9 + \mu_{95} \theta_5 + \mu_{9,10} \theta_{10} + \mu_{9,13} \theta_{13}$$

$$\theta_{10} = - M_{10} / 2K_{10} + \mu_{10,9} \theta_9 + \mu_{10,6} \theta_6 - \mu_{10,11} \theta_{11} + \mu_{10,14} \theta_{14}$$

$$\theta_{13} = - M_{13} / 2K_{13} + \mu_{13,9} \theta_9 + \mu_{13,14} \theta_{14}$$

$$\theta_{14} = - M_{14} / 2K_{14} + \mu_{14,13} \theta_{13} + \mu_{14,16} \theta_{16} - \mu_{14,15} \theta_{15}$$

Sustituyendo Valores :

$$\theta_1 = - 4.9 / 2 \times 4.5 - 0.222 \theta_2 - 0.278 \theta_3$$

$$\theta_1 = - 0.544 - 0.222 \theta_2 - 0.278 \theta_3$$

$$\theta_2 = + 4.1 / 2 \times 8.9 - 0.113 \theta_1 + 0.247 \theta_2 - 0.140 \theta_6$$

$$\theta_2 - 0.247 \theta_2 = 0.230 - 0.113 \theta_1 - 0.140 \theta_6$$

$$0.753 \theta_2 = 0.230 - 0.113 \theta_1 - 0.140 \theta_6$$

$$\theta_2 = 0.305 - 0.150 \theta_1 - 0.186 \theta_6$$

$$\theta_3 = - 3.1 / 2 \times 7 - 0.178 \theta_1 - 0.144 \theta_6 - 0.178 \theta_3$$

$$\theta_3 = - 0.221 - 0.178 \theta_1 - 0.144 \theta_6 - 0.178 \theta_3$$

$$\theta_6 = + 2.3 / 2 \times 11.4 - 0.088 \theta_3 - 0.110 \theta_2 + 0.192 \theta_6 - 0.110 \theta_{10}$$

$$\theta_6 = 0.101 - 0.088 \theta_3 - 0.110 \theta_2 + 0.192 \theta_6 - 0.110 \theta_{10}$$

$$\theta_6 - 0.192 \theta_6 = 0.101 - 0.088 \theta_3 - 0.110 \theta_2 - 0.110 \theta_{10}$$

$$0.808 \theta_6 = 0.101 - 0.088 \theta_3 - 0.110 \theta_2 - 0.110 \theta_{10}$$

$$\theta_6 = 0.125 - 0.109 \theta_3 - 0.136 \theta_2 - 0.136 \theta_{10}$$

$$\theta_6 = 0.125 - 0.109 \theta_3 - 0.136 (\theta_2 + \theta_{10})$$

81 14.

$$\theta_9 = - 3.1 / 2 \times 7.9 = 0.158 \theta_8 - 0.127 \theta_{10} - 0.215 \theta_{11}$$

$$\theta_9 = - 0.196 - 0.158 \theta_8 - 0.127 \theta_{10} - 0.215 \theta_{11}$$

$$\theta_{10} = + 2.3 / 2 \times 12.3 = 0.082 \theta_9 - 0.101 \theta_8 + 0.179 \theta_{10} - 0.138 \theta_{11}$$

$$\theta_{10} = 0.093 - 0.082 \theta_9 - 0.101 \theta_8 + 0.179 \theta_{10} - 0.138 \theta_{11}$$

$$\theta_{10} - 0.179 \theta_{10} = 0.093 - 0.082 \theta_9 - 0.101 \theta_8 - 0.138 \theta_{11}$$

$$0.821 \theta_{10} = 0.093 - 0.082 \theta_9 - 0.101 \theta_8 - 0.138 \theta_{11}$$

$$\theta_{10} = 0.113 - 0.100 \theta_9 - 0.123 \theta_8 - 0.168 \theta_{11}$$

$$\theta_{11} = - 3.1 / 2 \times 8.6 = 0.198 \theta_9 - 0.117 \theta_{11}$$

$$\theta_{11} = - 0.180 - 0.198 \theta_9 - 0.117 \theta_{11}$$

$$\theta_{11} = + 2.3 / 2 \times 13 = 0.077 \theta_{11} - 0.131 \theta_{10} + 0.169 \theta_{11}$$

$$\theta_{11} = + 0.088 - 0.077 \theta_{11} - 0.131 \theta_{10} + 0.169 \theta_{11}$$

$$\theta_{11} - 0.169 \theta_{11} = 0.088 - 0.077 \theta_{11} - 0.131 \theta_{10}$$

$$0.831 \theta_{11} = 0.088 - 0.077 \theta_{11} - 0.131 \theta_{10}$$

$$\theta_{11} = 0.106 - 0.093 \theta_{11} - 0.158 \theta_{10}$$

		+ 0'000	+ 0'131	-----	+ 0'092	+ 0'528	+ 0'403
		+ 0'000	G' 0'100 R	O + S	+ 0'000	+ 0'204	+ 1'103
NUDO 1	NUDO 2	+ 0'100 NUDO 5	+ 0'100 NUDO 6	NUDO 9	+ 0'100 NUDO 10	+ 0'204 NUDO 13	+ 1'103 NUDO 14
		E M T / 2 K T					
- 0.544	+ 0.305	- 0.221	+ 0.125	- 0.196	+ 0.113	- 0.180	+ 0.106
E θ ₁	E θ ₂	E θ ₅	E θ ₆	E θ ₉	E θ ₁₀	E θ ₁₃	E θ ₁₄
- 0.544	+ 0.387	- 0.124	+ 0.086	- 0.176	+ 0.120	- 0.145	+ 0.101
- 0.595	+ 0.378	- 0.096	+ 0.068	- 0.165	+ 0.104	- 0.159	+ 0.104
- 0.601	+ 0.383	- 0.094	+ 0.069	- 0.160	+ 0.103	- 0.160	+ 0.105
- 0.603	+ 0.383	- 0.095	+ 0.069	- 0.160	+ 0.103	- 0.161	+ 0.105
- 0.603	+ 0.383	- 0.095	+ 0.069	- 0.159	+ 0.103	- 0.161	+ 0.105

...
 ...
 ...
 ...
 ...
 ...

4). Momentos Finales.

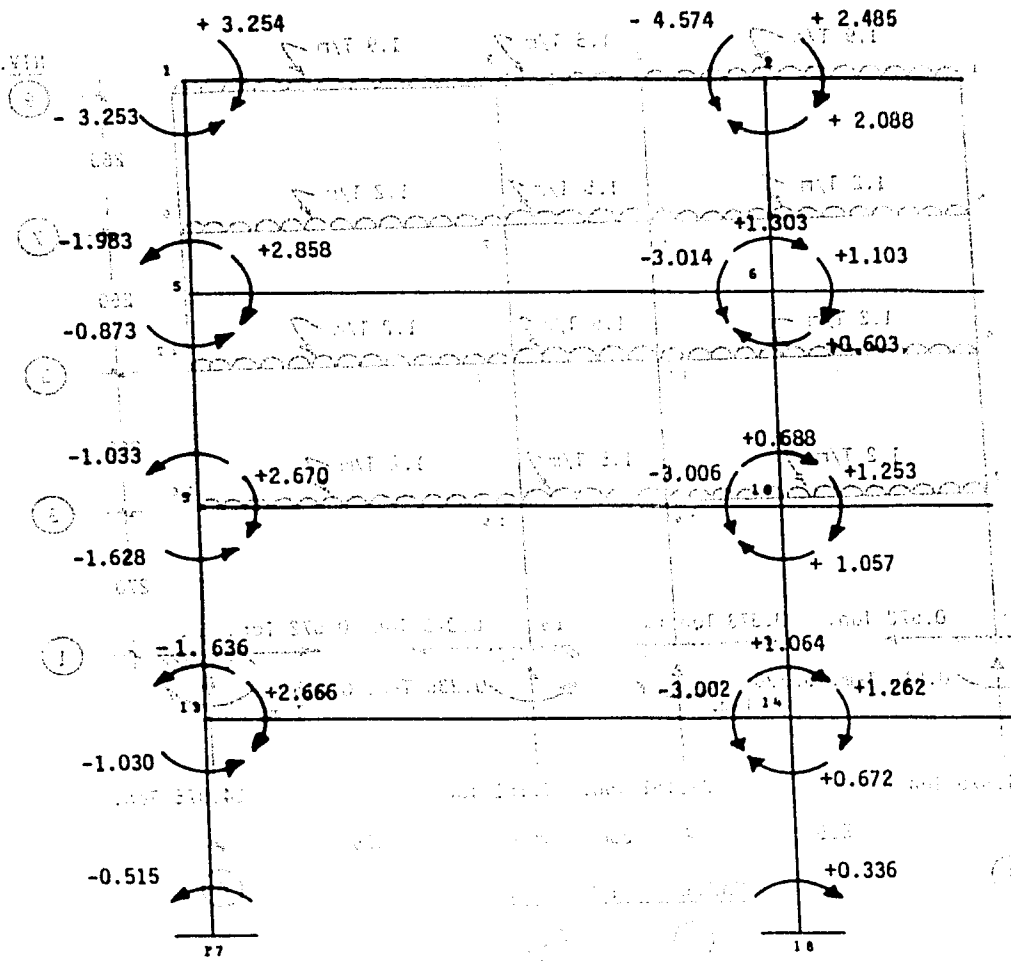
$$M_{ik} = \bar{M}_{ik} + 2 K_{ik} \theta_i + K_{ik} \theta_k$$

161

NUDO	BARRA	K _{ik}	2 K _{ik}	θ _i	θ _k	\bar{M}_{ik}	2 K _{ik} θ _i	K _{ik} θ _k	M _{ik}
1	1-2	2	4	- 0.603	+ 0.383	+ 4.9	- 2.412	+ 0.766	+ 3.254
	1-5	2.5	5	- 0.603	- 0.095	-----	- 3.015	- 0.238	- 3.253
2	2-1	2	4	+ 0.383	- 0.603	- 4.9	+ 1.532	- 1.206	- 4.574
	2-3	4.4	8.8	+ 0.383	- 0.383	+ 0.8	+ 3.370	- 1.685	+ 2.485
	2-6	2.5	5	+ 0.383	+ 0.069	-----	+ 1.915	+ 0.173	+ 2.088
5	5-1	2.5	5	- 0.095	- 0.603	-----	- 0.475	- 1.508	- 1.983
	5-6	2	4	- 0.095	+ 0.069	+ 3.1	- 0.380	+ 0.138	+ 2.858
	5-9	2.5	5	- 0.095	- 0.159	-----	- 0.475	- 0.398	- 0.873
6	6-5	2	4	+ 0.069	- 0.095	- 3.1	+ 0.276	- 0.190	- 3.014
	6-2	2.5	5	+ 0.069	+ 0.383	-----	+ 0.345	+ 0.958	+ 1.303
	6-7	4.4	8.8	+ 0.069	- 0.069	+ 0.8	+ 0.607	- 0.304	+ 1.103
	6-10	2.5	5	+ 0.069	+ 0.103	-----	+ 0.345	+ 0.258	+ 0.603

NUDO	BARRA	K1k	2 K1k	θ 1	θ k	M1k	2 K1k θ 1	K1k θ k	M1k
9	9-5	2.5	5	- 0.159	- 0.095	-----	- 0.795	- 0.238	- 1.033
	9-10	2	4	- 0.159	+ 0.103	+ 3.1	- 0.636	+ 0.206	+ 2.670
	9-13	3.4	6.8	- 0.159	- 0.161	-----	- 1.081	- 0.547	- 1.628
10	10-9	2	4	+ 0.103	- 0.159	- 3.1	+ 0.412	- 0.318	- 3.006
	10-6	2.5	5	+ 0.103	+ 0.069	-----	+ 0.515	+ 0.173	+ 0.688
	10-11	4.4	8.8	+ 0.103	- 0.103	+ 0.8	+ 0.906	- 0.453	+ 1.253
	10-14	3.4	6.8	+ 0.103	+ 0.105	-----	+ 0.700	+ 0.357	+ 1.057
13	13-9	3.4	6.8	- 0.161	- 0.159	-----	- 1.095	- 0.541	- 1.636
	13-14	2	4	- 0.161	+ 0.105	+ 3.1	- 0.644	+ 0.210	+ 2.566
	13-17	3.2	6.4	- 0.161	-----	-----	- 1.030	-----	- 1.030
14	14-13	2	4	+ 0.105	- 0.161	- 3.1	+ 0.420	- 0.322	- 3.032
	14-10	3.4	6.8	+ 0.105	+ 0.103	-----	+ 0.714	+ 0.350	+ 1.064
	14-15	4.4	8.8	+ 0.105	- 0.105	+ 0.8	+ 0.924	- 0.462	+ 1.262
	14-18	3.2	6.4	+ 0.105	-----	-----	+ 0.672	-----	+ 0.672

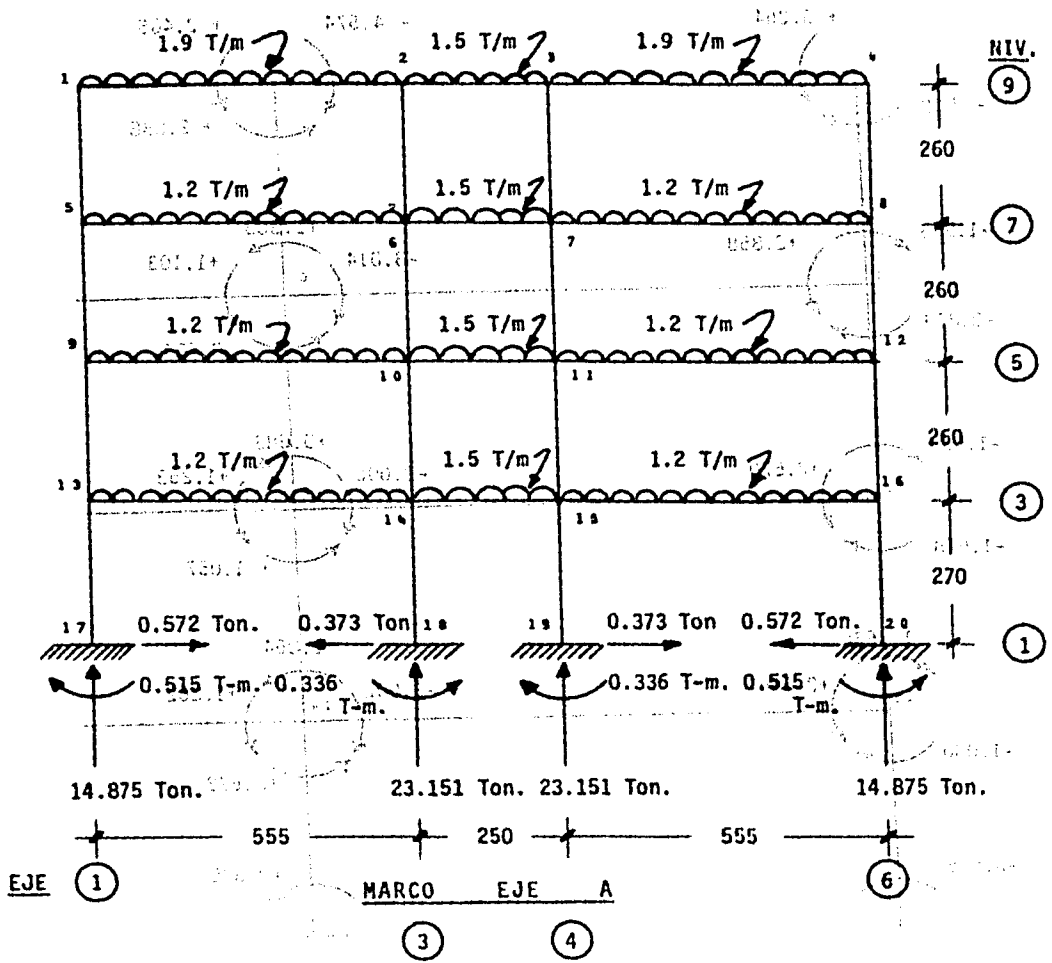
Momentos Finales Barra Sobre Nudo (b.s.n.)



MARCO EJE A

Momentos en Ton-m.

6). Diagrama de Cuerpo Libre.



MARCO EJE C

Los momentos de empotramiento de todos los ejes de las barras de acero se detallan en el cuadro siguiente:

1). Momentos de Empotramiento.

BARRA	W (T/m)	L (m.)	M _{ik} (T-m)	M _{k1} (T-m)
1-2	2.6 - 2.0	4.15	+ 3.5	- 3.1
2-3	2.0	1.40	+ 0.3	- 0.3
3-4	2.5	2.50	+ 1.3	- 1.3
7-8	0 - 2.2	4.15	+ 0.9	- 2.1
11-12				
21-22	2.1	4.15	+ 3.0	- 3.0
31-32				
12-13				
22-23	1.9	1.40	+ 0.3	- 0.3
32-33				
13-14				
23-24				
33-34	0.8	2.50	+ 0.4	- 0.4
41-42				
17-18	0 - 2.4	4.15	+ 1.0	- 2.3
27-28				
37-38	0 - 2.4	5.55	+ 2.7	- 4.9

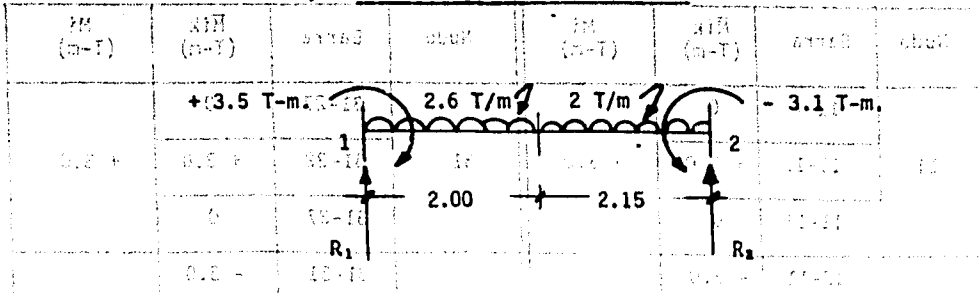
Los momentos de empotramiento de todos los extremos de las columnas; son nulos, debido a no estar sometidos a cargas externas.

2). Momentos de Desequilibrio.

		$M_i = \sum M_{ik}$					
Nudo	Barra	M_{ik} (T-m)	M_i (T-m)	Nudo	Barra	M_{ik} (T-m)	M_i (T-m)
1	1-2	+ 3.5	+ 3.5	22	22-21	- 3.0	- 2.7
	1-7	0			22-18	0	
2	2-1	- 3.1	- 2.8		22-23	+ 0.3	
	2-3	+ 0.3		22-28	0		
	2-8	0		23	23-22	- 0.3	
3	3-2	- 0.3	+ 1.0		23-13	0	+ 0.1
	3-4	+ 1.3			23-24	+ 0.4	
	3-13	0		23-33	0		
7	7-1	0	+ 0.9	27	27-21	0	+ 1.0
	7-8	+ 0.9			27-28	+ 1.0	
	7-11	0			27-31	0	
8	8-7	- 2.1	- 2.1	28	28-27	- 2.3	- 2.3
	8-2	0			28-22	0	
	8-12	0			28-32	0	

Nudo	Barra	Mik (T-m)	M1 (T-m)	Nudo	Barra	Mik (T-m)	M1 (T-m)
11	11-7	0	+ 3.0	31	31-27	3.0	+ 3.0
	11-12	+ 3.0			31-32	+ 3.0	
	11-17	0			31-37	0	
12	12-11	- 3.0	- 2.7	32	31-31	- 3.0	- 2.7
	12-8	0			32-28	0	
	12-13	+ 0.3			32-33	+ 0.3	
	12-18	0					
13	13-12	- 0.3	+ 0.1	33	33-32	- 0.3	+ 0.1
	13-3	0			33-23	0	
	13-14	+ 0.4			33-34	+ 0.4	
	13-23	0			33-38	0	
17	17-11	0	+ 1.0	37	37-31	0	+ 2.7
	17-18	+ 1.0			37-38	+ 2.7	
	17-21	0			37-43	0	
18	18-17	- 2.3	- 2.3	38	38-37	- 4.9	- 4.9
	18-12	0			38-33	0	
	18-22	0			38-41	0	
21	21-17	0	+ 3.0	41	41-38	0	+ 0.4
	21-22	+ 3.0			41-42	+ 0.4	
	21-27	0			41-44	0	

3). Momentos de Piso "Vertical"



$$R_1 = \frac{2.0 \times 4.15}{2} + 0.6 \times 2 \left(1 - \frac{0.482}{2} \right) + \frac{3.5 - 3.1}{4.15}$$

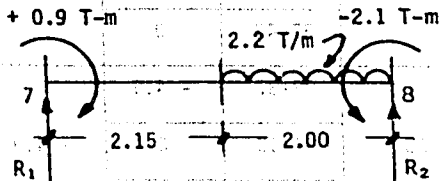
$$R_1 = 4.15 + 0.911 + 0.096$$

$$R_1 = 5.157 \text{ Ton.}$$

$$R_2 = 4.15 + 0.6 \times 2 \times \frac{0.482}{2} - 0.096$$

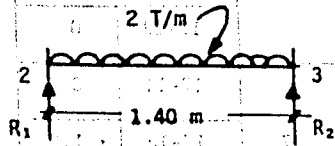
$$R_2 = 4.15 + 0.289 - 0.096$$

$$R_2 = 4.343 \text{ Ton.}$$



$$R_1 = W \frac{a}{2} + \frac{m_1 + m_2}{L}$$

$$R_1 = 2.2 \times 2 \times \frac{0.482}{2} + \frac{0.9 - 2.1}{4.15}$$



$$R_1 = R_2 = \frac{wL}{2} = \frac{2 \times 1.40}{2}$$

$$R_1 = R_2 = 1.4 \text{ Ton.}$$

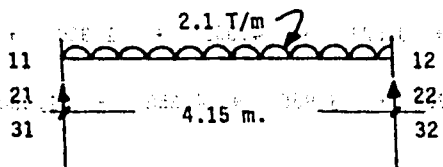
$$618.0 + \left(\frac{581.9}{3} - 1 \right) \times 4.5 = 289.0$$

$$R_1 = 1.060 - 0.289 = 0.771 \text{ Ton}$$

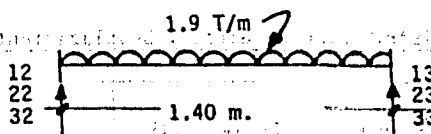
$$R_2 = W \left(1 - \frac{a}{2} \right) + \frac{m_1 + m_2}{L}$$

$$R_2 = 2.2 \times 2 \left(1 - \frac{0.482}{2} \right) + 0.289$$

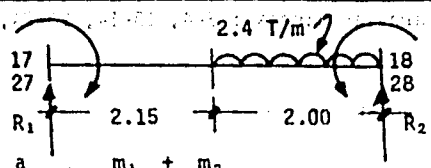
$$R_2 = 3.340 + 0.289 = 3.629 \text{ Ton}$$



$$R_1 = R_2 = \frac{wL}{2} = \frac{2.1 \times 4.15}{2} = 4.358 \text{ Ton}$$



$$R_1 = R_2 = \frac{1.9 \times 1.40}{2} = 1.330 \text{ Ton}$$



$$R_1 = W \frac{a}{2} + \frac{m_1 + m_2}{L}$$

$$R_1 = 2.4 \times 2 \times \frac{0.482}{2} + \frac{1.0 - 2.3}{4.15}$$

$$R_1 = 1.157 - 0.313 = 0.844 \text{ Ton}$$

$$R_2 = W \left(1 - \frac{a}{2} \right) + \frac{m_1 + m_2}{L}$$

$$R_2 = 2.4 \times 2 \left(1 - \frac{0.482}{2} \right) + 0.313$$

$$R_2 = 3.643 + 0.313 = 3.956 \text{ Ton.}$$

Por lo tanto :

$$Q_v = R_{21} + R_{23} + R_{27} + R_{12,11} + R_{12,13} + R_{18,17} + \\ + R_{22,21} + R_{22,23} + R_{28,27} + R_{32,31} + R_{32,33}$$

$$Q_v = 4.343 + 1.4 + 3.629 + 4.358 + 1.330 + 3.956 + \\ + 4.358 + 1.330 + 3.956 + 4.358 + 1.330$$

$$Q_v = 34.348 \text{ Ton.}$$

4). Distribución de Giros y Desplazamientos.

$$\theta_i = - \frac{M_i}{2K_i} + \sum \mu_{ik} \theta_k + \sum \nu_{ik} \psi_k$$

Para las Barras : 3-4, 13-14, 23-24, 33-34 y 41-42;

$$\phi_i = - \phi_k$$

o sea :

$$\theta_i = - \theta_k$$

Por simetría de la estructura.

$$\theta_1 = - \frac{M_1}{2K_1} + \mu_{12} \theta_2 + \mu_{17} \theta_7 + \mu_{12} \psi_{12}$$

$$\theta_1 = - \frac{M_1}{2 K_1} + \mu_{12} \theta_2 + \mu_{17} \theta_7 + \mu_{12} C_{12} \phi \text{ izq.} \quad (1)$$

$$\theta_1 = - \frac{3.5}{2 \times 8.7} - 0.213 \theta_2 - 0.287 \theta_7 - 0.213 (0.337) \phi \text{ izq.}$$

$$\theta_1 = - 0.201 - 0.213 \theta_2 - 0.287 \theta_7 - 0.072 \phi \text{ izq.} \quad (1)$$

$$\theta_2 = - \frac{M_2}{2 K_2} + \mu_{21} \theta_1 + \mu_{23} \theta_3 + \mu_{28} \theta_8 + \mu_{21} \psi_{21} + \mu_{23} \psi_{23}$$

$$\theta_2 = - \frac{M_2}{2 K_2} + \mu_{21} \theta_1 + \mu_{23} \theta_3 + \mu_{28} \theta_8 + \mu_{21} C_{21} \phi \text{ izq.} + \mu_{23} C_{23} \phi \text{ der.}$$

$$\theta_2 = + \frac{2.8}{2 \times 15.5} - 0.120 \theta_1 - 0.348 \theta_3 - 0.032 \theta_8 - 0.120 (0.337) \phi \text{ izq.} - 0.348 (1) \phi \text{ der.}$$

$$\theta_2 = 0.090 - 0.120 \theta_1 - 0.348 \theta_3 - 0.032 \theta_8 - 0.040 \phi \text{ izq.} - 0.348 \phi \text{ der.}$$

$$\theta_2 = 0.090 - 0.120 \theta_1 - 0.348 (\theta_3 + \phi \text{ der.}) - 0.032 \theta_8 - 0.040 \phi \text{ izq.} \quad (2)$$

$$\theta_3 = - \frac{M_3}{2 K_3} + \mu_{32} \theta_2 + \mu_{34} \theta_4 + \mu_{3,13} \theta_{13} + \mu_{32} \psi_{32}$$

$$\theta_3 = - \frac{1.0}{2 \times 19.4} - 0.279 \theta_2 - 0.157 \theta_4 - 0.064 \theta_{13} - 0.279 C_{32} \phi \text{ der.}$$

$$\theta_3 = - 0.026 - 0.279 \theta_2 - 0.157 \theta_4 - 0.064 \theta_{13} - 0.279 (1) \phi \text{ der.}$$

además : $\theta_4 = - \theta_3$

$$\theta_3 = - 0.026 - 0.279 \theta_2 + 0.157 \theta_3 - 0.064 \theta_{13} - 0.279 \phi \text{ der.}$$

$$\theta_3 - 0.157 \theta_3 = - 0.026 - 0.279 (\theta_2 + \phi \text{ der.}) - 0.064 \theta_{13}$$

$$0.843 \theta_3 = - 0.026 - 0.279 (\theta_2 + \phi \text{ der.}) - 0.064 \theta_{13}$$

$$\theta_3 = -0.031 - 0.331 (\theta_2 + \phi \text{ der.}) - 0.076 \theta_{13} \quad (3)$$

$$\theta_7 = -\frac{M_7}{2K_7} + \mu_{71}\theta_1 + \mu_{72}\theta_2 + \mu_{7,11}\theta_{11} + \mu_{72}\psi_{72}$$

$$\theta_7 = -\frac{0.9}{2 \times 11.4} - 0.220\theta_1 - 0.060\theta_2 - 0.220\theta_{11} - 0.060 C_{72} \phi \text{ izq.}$$

$$\theta_7 = -0.039 - 0.220\theta_1 - 0.060\theta_2 - 0.220\theta_{11} - 0.060 (0.337) \phi \text{ izq.}$$

$$\theta_7 = -0.039 - 0.220 (\theta_1 + \theta_{11}) - 0.060\theta_2 - 0.020 \phi \text{ izq.} \quad (4)$$

$$\theta_8 = -\frac{M_8}{2K_8} + \mu_{87}\theta_7 + \mu_{82}\theta_2 + \mu_{8,12}\theta_{12} + \mu_{87}\psi_{87}$$

$$\theta_8 = +\frac{2.1}{2 \times 3.4} - 0.206\theta_7 - 0.147\theta_2 - 0.147\theta_{12} - 0.206 C_{87} \phi \text{ izq.}$$

$$\theta_8 = 0.309 - 0.206\theta_7 - 0.147\theta_2 - 0.147\theta_{12} - 0.206 (0.337) \phi \text{ izq.}$$

$$\theta_8 = 0.309 - 0.206\theta_7 - 0.147 (\theta_2 + \theta_{12}) - 0.069 \phi \text{ izq.} \quad (5)$$

$$\theta_{11} = -\frac{M_{11}}{2K_{11}} + \mu_{11,7}\theta_7 + \mu_{11,12}\theta_{12} + \mu_{11,17}\theta_{17} + \mu_{11,12}\psi_{11,12}$$

$$\theta_{11} = -\frac{3.0}{2 \times 13.7} - 0.183\theta_7 - 0.134\theta_{12} - 0.183\theta_{17} - 0.134 C_{11,12} \phi \text{ izq.}$$

$$\theta_{11} = -0.109 - 0.183 (\theta_7 + \theta_{17}) - 0.134\theta_{12} - 0.134 (0.337) \phi \text{ izq.}$$

$$\theta_{11} = -0.109 - 0.183 (\theta_7 + \theta_{17}) - 0.134\theta_{12} - 0.045 \phi \text{ izq.} \quad (6)$$

$$\theta_{12} = -\frac{M_{12}}{2K_{12}} + \mu_{12,11}\theta_{11} + \mu_{12,8}\theta_8 + \mu_{12,13}\theta_{13} + \mu_{12,18}\theta_{18} +$$

$$+ \mu_{12,11}\psi_{12,11} + \mu_{12,13}\psi_{12,13}$$

$$\theta_{12} = \frac{3.7}{2 \times 16.5} - 0.112\theta_{11} - 0.030\theta_9 - 0.328\theta_{13} - 0.030\theta_{18} - 0.112 C_{12,11} \phi \text{ der.}$$

$$= 0.328 C_{12,13} \phi \text{ der.}$$

$$\theta_{12} = 0.082 - 0.112\theta_{11} - 0.030\theta_9 - 0.328\theta_{13} - 0.030\theta_{18} - 0.112 (0.337) \phi \text{ der.}$$

$$= 0.328 (1) \phi \text{ der.}$$

$$\theta_{12} = 0.082 - 0.112\theta_{11} - 0.030 (\theta_9 + \theta_{18}) - 0.328 (\theta_{13} + \phi \text{ der.}) - (7)$$

$$= 0.038 \phi \text{ der.}$$

$$\theta_{13} = -\frac{M_{13}}{2 K_{13}} + \mu_{13,12}\theta_{12} + \mu_{13,9}\theta_9 + \mu_{13,14}\theta_{14} + \mu_{13,23}\theta_{23} + \mu_{13,12}\psi_{13,12}$$

$$\text{pero: } \theta_{14} = -\theta_{13}$$

$$\theta_{13} = -\frac{0.1}{2 \times 21.9} - 0.246\theta_{12} - 0.057\theta_9 - 0.140\theta_{14} - 0.057\theta_{23} - 0.246 C_{13,12} \phi \text{ der.}$$

$$\theta_{13} = -0.002 - 0.246\theta_{12} - 0.057\theta_9 + 0.140\theta_{13} - 0.057\theta_{23} - 0.246 (1) \phi \text{ der.}$$

$$\theta_{13} - 0.140 \theta_{13} = -0.002 - 0.246 \theta_{12} - 0.057 (\theta_9 + \theta_{23}) - 0.246 \phi \text{ der.}$$

$$0.860 \theta_{13} = -0.002 - 0.246 (\theta_{12} + \phi \text{ der.}) - 0.057 (\theta_9 + \theta_{23}).$$

$$\theta_{13} = -0.002 - 0.286 (\theta_{12} + \phi \text{ der.}) - 0.066 (\theta_9 + \theta_{23}). \quad (8)$$

$$\theta_{17} = -\frac{M_{17}}{2 K_{17}} + \mu_{17,11}\theta_{11} + \mu_{17,18}\theta_{18} + \mu_{17,21}\theta_{21} + \mu_{17,18}\psi_{17,18}$$

$$\theta_{17} = -\frac{M_{17}}{2 K_{17}} + \mu_{17,11} \theta_{11} + \mu_{17,18} \theta_{18} + \mu_{17,21} \theta_{21} + \mu_{17,10} C_{17,10} \phi \text{ izq.}$$

$$\theta_{17} = -\frac{1.0}{2 \times 11} - 0.227 \theta_{11} - 0.046 \theta_{18} - 0.227 \theta_{21} - 0.046 (0.337) \phi \text{ izq.}$$

$$\theta_{17} = -0.045 - 0.227 (\theta_{11} + \theta_{21}) - 0.046 \theta_{18} - 0.016 \phi \text{ izq.}$$

$$\theta_{17} = -0.045 - 0.227 (\theta_{11} + \theta_{21}) - 0.046 \theta_{18} - 0.016 \phi \text{ izq.} \quad (9)$$

$$\theta_{18} = -\frac{M_{18}}{2 K_{18}} + \mu_{18,17} \theta_{17} + \mu_{18,12} \theta_{12} + \mu_{18,22} \theta_{22} + \mu_{18,19} \psi_{18,19}$$

$$\theta_{18} = +\frac{2.3}{2 \times 3} - 0.167 \theta_{17} - 0.166 \theta_{12} - 0.167 \theta_{22} - 0.167 C_{18,19} \phi \text{ izq.}$$

$$\theta_{18} = 0.383 - 0.167 (\theta_{17} + \theta_{22}) - 0.166 \theta_{12} - 0.167 (0.337) \phi \text{ izq.}$$

$$\theta_{18} = 0.383 - 0.167 (\theta_{12} + \theta_{17} + \theta_{22}) - 0.056 \phi \text{ izq.} \quad (10)$$

$$\theta_{21} = -\frac{M_{21}}{2 K_{21}} + \mu_{21,17} \theta_{17} + \mu_{21,22} \theta_{22} + \mu_{21,27} \theta_{27} + \mu_{21,22} C_{21,22} \phi \text{ izq.}$$

$$\theta_{21} = -\frac{3.0}{2 \times 13.7} - 0.182 \theta_{17} - 0.136 \theta_{22} - 0.182 \theta_{27} - 0.136 (0.337) \phi \text{ izq.}$$

$$\theta_{21} = -0.109 - 0.182 (\theta_{17} + \theta_{27}) - 0.136 \theta_{22} - 0.046 \phi \text{ izq.} \quad (11)$$

$$\theta_{22} = -\frac{M_{22}}{2 K_{22}} + \mu_{22,21} \theta_{21} + \mu_{22,18} \theta_{18} + \mu_{22,23} \theta_{23} + \mu_{22,28} \theta_{28} + \mu_{22,21} \psi_{22,21}$$

$$+ \mu_{22,23} \psi_{22,23}$$

$$\theta_{22} = +\frac{2.7}{2 \times 16.5} - 0.112 \theta_{21} - 0.030 \theta_{18} - 0.328 \theta_{23} - 0.030 \theta_{28} - 0.112 C_{22,21} \phi$$

$$\text{izq.} - 0.328 C_{22,23} \phi \text{ der.}$$

$$\theta_{22} = 0.082 - 0.112 \theta_{21} - 0.030 (\theta_{13} + \theta_{23}) - 0.328 \theta_{23} - 0.112 (0.337) \phi \text{ izq.}$$

$$\theta_{22} = 0.082 - 0.112 \theta_{21} - 0.030 (\theta_{13} + \theta_{23}) - 0.328 (\theta_{23} + \phi \text{ der.}) - 0.038 \phi \text{ izq.}$$

(12)

$$\theta_{23} = -\frac{M_{23}}{2 K_{23}} + \mu_{23,22} \theta_{22} + \mu_{23,13} \theta_{13} + \mu_{23,24} \theta_{24} + \mu_{23,33} \theta_{33} + \mu_{23,22} \psi_{23,22}$$

pero : $\theta_{24} = -\theta_{23}$

$$\theta_{23} = -\frac{0.1}{2 \times 21.9} - 0.247 \theta_{22} - 0.057 \theta_{13} - 0.139 \theta_{24} - 0.057 \theta_{33} - 0.247 C_{23,22} \phi$$

der.

$$\theta_{23} = -0.002 - 0.247 \theta_{22} - 0.057 (\theta_{13} + \theta_{33}) + 0.139 \theta_{23} - 0.247 (1) \phi \text{ der.}$$

$$\theta_{23} - 0.139 \theta_{23} = -0.002 - 0.247 \theta_{22} - 0.057 (\theta_{13} + \theta_{33}) - 0.247 \phi \text{ der.}$$

$$0.861 \theta_{23} = -0.002 - 0.247 (\theta_{22} + \phi \text{ der.}) - 0.057 (\theta_{13} + \theta_{33})$$

$$\theta_{23} = -0.002 - 0.287 (\theta_{22} + \phi \text{ der.}) - 0.066 (\theta_{13} + \theta_{33})$$

(13)

$$\theta_{27} = -\frac{M_{27}}{2 K_{27}} + \mu_{27,21} \theta_{21} + \mu_{27,26} \theta_{26} + \mu_{27,31} \theta_{31} + \mu_{27,26} \psi_{27,26}$$

$$\theta_{27} = -\frac{1.0}{2 \times 11} - 0.227 \theta_{21} - 0.046 \theta_{26} - 0.227 \theta_{31} - 0.046 C_{27,26} \phi \text{ izq.}$$

32

$$\theta_{27} = -0.045 - 0.227 (\theta_{21} + \theta_{31}) - 0.046 \theta_{28} - 0.046 (0.337) \phi \text{ izq.}$$

$$\theta_{27} = -0.045 - 0.227 (\theta_{21} + \theta_{31}) - 0.046 \theta_{28} - 0.016 \phi \text{ izq.} \quad (14)$$

$$\theta_{28} = -\frac{M_{28}}{2 K_{28}} + \mu_{28,27} \theta_{27} + \mu_{28,22} \theta_{22} + \mu_{28,32} \theta_{32} + \mu_{28,27} \psi_{28,27}$$

$$\theta_{28} = -\frac{M_{28}}{2 K_{28}} + \mu_{28,27} \theta_{27} + \mu_{28,22} \theta_{22} + \mu_{28,32} \theta_{32} + \mu_{28,27} C_{28,27} \phi \text{ izq.}$$

$$\theta_{28} = +\frac{2.3}{2 \times 3} - 0.167 \theta_{27} - 0.166 \theta_{22} - 0.167 \theta_{32} - 0.167 (0.337) \phi \text{ izq.}$$

$$\theta_{28} = 0.383 - 0.167 (\theta_{27} + \theta_{22} + \theta_{32}) - 0.056 \phi \text{ izq.}$$

$$\theta_{28} = +0.383 - 0.167 (\theta_{22} + \theta_{27} + \theta_{32}) - 0.056 \phi \text{ izq.} \quad (15)$$

$$\theta_{31} = -\frac{M_{31}}{2 K_{31}} + \mu_{31,27} \theta_{27} + \mu_{31,32} \theta_{32} + \mu_{31,37} \theta_{37} + \mu_{31,32} \psi_{31,32}$$

$$\theta_{31} = -\frac{3.0}{2 \times 13.7} - 0.182 \theta_{27} - 0.136 \theta_{32} - 0.182 \theta_{37} - 0.136 \psi_{31,32}$$

$$\theta_{31} = -0.109 - 0.182 (\theta_{27} + \theta_{37}) - 0.136 \theta_{32} - 0.136 C_{31,32} \phi \text{ izq.}$$

$$\theta_{31} = -0.109 - 0.182 (\theta_{27} + \theta_{37}) - 0.136 \theta_{32} - 0.136 (0.337) \phi \text{ izq.}$$

$$\theta_{31} = -0.109 - 0.182 (\theta_{27} + \theta_{37}) - 0.136 \theta_{32} - 0.046 \phi \text{ izq.} \quad (16)$$

$$\theta_{32} = -\frac{M_{32}}{2 K_{32}} + \mu_{32,31} \theta_{31} + \mu_{32,28} \theta_{28} + \mu_{32,33} \theta_{33} + \mu_{32,31} \psi_{32,31} +$$

$$+ \mu_{32,33} \psi_{32,33}$$

$$\theta_{32} = - \frac{M_{32}}{Z K_{32}} + \mu_{32,31} \theta_{31} + \mu_{32,20} \theta_{20} + \mu_{32,33} \theta_{33} + \mu_{32,31} C_{32,31} \phi \text{ 1zq.} +$$

$$+ \mu_{32,33} C_{32,33} \phi \text{ der.}$$

$$\theta_{32} = + \frac{2.7}{2 \times 15.5} - 0.120 \theta_{31} - 0.032 \theta_{20} - 0.348 \theta_{33} - 0.120 (0.337) \phi \text{ 1zq.} -$$

$$- 0.348 (1) \phi \text{ der.}$$

$$\theta_{32} = + 0.087 - 0.120 \theta_{31} - 0.032 \theta_{20} - 0.348 (\theta_{33} + \phi \text{ der.}) - 0.040 \phi \text{ 1zq.} \quad (17)$$

$$\theta_{33} = - \frac{M_{33}}{Z K_{33}} + \mu_{33,32} \theta_{32} + \mu_{33,23} \theta_{23} + \mu_{33,34} \theta_{34} + \mu_{33,30} \theta_{30} + \mu_{33,32} \psi_{33,32}$$

$$\text{pero : } \theta_{34} = - \theta_{33}$$

$$\theta_{33} = - \frac{0.1}{2 \times 24.4} - 0.222 \theta_{32} - 0.051 \theta_{23} - 0.125 \theta_{34} - 0.102 \theta_{30} -$$

$$- 0.222 C_{33,32} \phi \text{ der.}$$

$$\theta_{33} = - 0.002 - 0.222 \theta_{32} - 0.051 \theta_{23} + 0.125 \theta_{33} - 0.102 \theta_{30} -$$

$$- 0.222 (1) \phi \text{ der.}$$

$$\theta_{33} - 0.125 \theta_{33} = - 0.002 - 0.222 (\theta_{32} + \phi \text{ der.}) - 0.051 \theta_{23} - 0.102 \theta_{30}$$

$$0.875 \theta_{33} = - 0.002 - 0.222 (\theta_{32} + \phi \text{ der.}) - 0.051 \theta_{23} - 0.102 \theta_{30}$$

$$\theta_{33} = - 0.002 - 0.254 (\theta_{32} + \phi \text{ der.}) - 0.058 \theta_{23} - 0.117 \theta_{30} \quad (18)$$

$$\theta_{37} = - \frac{M_{37}}{Z K_{37}} + \mu_{37,31} \theta_{31} + \mu_{37,30} \theta_{30} + \mu_{37,41} \theta_{41}$$

EE
34

$$\theta_{33} = 0 \text{ (empotramiento).}$$

$$\theta_{37} = -\frac{2.7}{2 \times 9.4} - 0.266 \theta_{31} - 0.144 \theta_{38}$$

$$\theta_{37} = -0.144 - 0.266 \theta_{31} - 0.144 \theta_{38}$$

$$\theta_{37} = -0.144 (1 + \theta_{38}) - 0.266 \theta_{31} \quad (19)$$

$$\theta_{38} = -\frac{M_{38}}{2 K_{38}} + \mu_{38,37} \theta_{37} + \mu_{38,33} \theta_{33} + \mu_{38,41} \theta_{41}$$

$$\theta_{38} = +\frac{4.9}{2 \times 12.7} - 0.106 \theta_{37} - 0.197 \theta_{33} - 0.197 \theta_{41}$$

$$\theta_{38} = 0.193 - 0.106 \theta_{37} - 0.197 (\theta_{33} + \theta_{41}) \quad (20)$$

$$\theta_{41} = -\frac{M_{41}}{2 K_{41}} + \mu_{41,38} \theta_{38} + \mu_{41,42} \theta_{42} + \mu_{41,44} \theta_{44}$$

$$\theta_{41} = -\frac{0.4}{2 \times 9.3} - 0.269 \theta_{38} - 0.091 \theta_{42} - 0.140 \theta_{44}$$

pero : $\theta_{42} = -\theta_{41}$ (simetrfa).

y $\theta_{44} = 0$ (empotramiento)

$$\theta_{41} = -0.022 - 0.269 \theta_{38} + 0.091 \theta_{41}$$

$$\theta_{41} - 0.091 \theta_{41} = -0.022 - 0.269 \theta_{38}$$

$$0.909 \theta_{41} = -0.022 - 0.269 \theta_{38}$$

$$\theta_{41} = -0.024 - 0.296 \theta_{38} \quad (21)$$

$$\phi_n = \frac{Q_n \text{ hr}}{2 Kn} + \sum v_{ik} (\theta_i + \theta_k)$$

$$\begin{aligned} \phi_{1zq} &= \frac{Q_v \text{ hr}}{2 Kn} + v_{12} (\theta_1 + \theta_2) + v_{78} (\theta_7 + \theta_8) + \\ &+ (v_{17} + v_{18} + v_{27} + v_{28} + v_{37} + v_{38} + v_{27} + v_{28} + v_{37} + v_{38}) 1140.0 + 1281.0 - \\ &\quad + v_{11,12} (\theta_{11} + \theta_{12}) + v_{17,18} (\theta_{17} + \theta_{18}) + \\ &- (v_{21} + v_{22} + v_{27} + v_{28} + v_{31} + v_{32} + v_{27} + v_{28} + v_{31} + v_{32}) 2110.0 + (-1281.0) 2310.0 + \\ &\quad + v_{21,22} (\theta_{21} + \theta_{22}) + v_{27,28} (\theta_{27} + \theta_{28}) + \\ &(v_{31} + v_{32} + v_{37} + v_{38} + v_{27} + v_{28} + v_{31} + v_{32}) 2220.0 - \\ &\quad + v_{31,32} (\theta_{31} + \theta_{32}) + v_{23} (-\theta_2 - \theta_3) + \\ &\quad + v_{12,13} (-\theta_{12} - \theta_{13}) + v_{22,23} (-\theta_{22} - \theta_{23}) + \\ &\quad + v_{32,33} (-\theta_{32} - \theta_{33}) \end{aligned}$$

$$\begin{aligned} \phi_{1zq} &= \frac{34.348 (1.40)}{2 (45.271)} - 0.0413 (\theta_1 + \theta_2) - 0.0156 (\theta_7 + \theta_8) - \\ &- 0.0413 (\theta_{11} + \theta_{12}) - 0.0112 (\theta_{17} + \theta_{18}) - \\ &- 0.0413 (\theta_{21} + \theta_{22}) - 0.0112 (\theta_{27} + \theta_{28}) - \\ &- 0.0413 (\theta_{31} + \theta_{32}) + 0.358 (\theta_2 + \theta_3) + \\ &+ 0.358 (\theta_{12} + \theta_{13}) + 0.358 (\theta_{22} + \theta_{23}) + \\ &+ 0.358 (\theta_{32} + \theta_{33}) \end{aligned}$$

$$\begin{aligned} \phi_{1zq} &= 0.531 - 0.0413 (\theta_1 + \theta_2 + \theta_{11} + \theta_{12} + \theta_{21} + \theta_{22} + \theta_{31} + \theta_{32}) - \\ &- 0.0156 (\theta_7 + \theta_8) - 0.0112 (\theta_{17} + \theta_{18} + \theta_{27} + \theta_{28}) + \\ &+ 0.358 (\theta_2 + \theta_3 + \theta_{12} + \theta_{13} + \theta_{22} + \theta_{23} + \theta_{32} + \theta_{33}) \end{aligned}$$

$$\phi \text{ der.} = -\phi \{zq\}$$

$$\phi \text{ der.} = - 0.531 + 0.0413 (\theta_1 + \theta_2 + \theta_{11} + \theta_{12} + \theta_{21} + \theta_{22} + \theta_{31} + \theta_{32}) +$$

$$+ 0.0156 (\theta_7 + \theta_8) + 0.0112 (\theta_{17} + \theta_{18} + \theta_{27} + \theta_{28}) -$$

$$- 0.358 (\theta_2 + \theta_3 + \theta_{12} + \theta_{13} + \theta_{22} + \theta_{23} + \theta_{32} + \theta_{33})$$

(23)

... ..

... ..

... ..

... ..

... ..

... ..

... ..

... ..

... ..

... ..

... ..

... ..

... ..

... ..

NUDO 1	NUDO 2	NUDO 3	NUDO 7	NUDO 8	NUDO 11	NUDO 12	NUDO 13	NUDO 17	NUDO 18	NUDO 21	NUDO 22
1	2	3	4	5	6	7	8	9	10	11	12
E_{θ_1}	E_{θ_2}	E_{θ_3}	E_{θ_4}	E_{θ_5}	E_{θ_6}	E_{θ_7}	E_{θ_8}	E_{θ_9}	$E_{\theta_{10}}$	$E_{\theta_{11}}$	$E_{\theta_{12}}$
- 0.201	+ 0.114	- 0.069	+ 0.005	+ 0.291	- 0.110	+ 0.086	- 0.022	- 0.020	+ 0.372	- 0.105	+ 0.083
- 0.270	+ 0.324	+ 0.065	+ 0.015	+ 0.204	- 0.147	+ 0.265	+ 0.093	- 0.015	+ 0.293	- 0.142	+ 0.262
- 0.348	+ 0.416	+ 0.161	+ 0.037	+ 0.131	- 0.194	+ 0.356	+ 0.171	+ 0.002	+ 0.222	- 0.189	+ 0.352
- 0.391	+ 0.467	+ 0.221	+ 0.057	+ 0.089	- 0.225	+ 0.409	+ 0.217	+ 0.018	+ 0.182	- 0.218	+ 0.404
- 0.419	+ 0.496	+ 0.256	+ 0.069	+ 0.064	- 0.243	+ 0.440	+ 0.245	+ 0.029	+ 0.158	- 0.236	+ 0.435
- 0.434	+ 0.512	+ 0.277	+ 0.075	+ 0.050	- 0.254	+ 0.458	+ 0.261	+ 0.035	+ 0.144	- 0.248	+ 0.453
- 0.443	+ 0.522	+ 0.289	+ 0.080	+ 0.042	- 0.261	+ 0.469	+ 0.270	+ 0.039	+ 0.136	- 0.254	+ 0.463
- 0.449	+ 0.528	+ 0.296	+ 0.083	+ 0.037	- 0.265	+ 0.475	+ 0.275	+ 0.041	+ 0.131	- 0.258	+ 0.470
- 0.452	+ 0.531	+ 0.300	+ 0.085	+ 0.034	- 0.267	+ 0.479	+ 0.278	+ 0.043	+ 0.128	- 0.261	+ 0.473
- 0.454	+ 0.533	+ 0.302	+ 0.086	+ 0.032	- 0.269	+ 0.481	+ 0.280	+ 0.044	+ 0.127	- 0.262	+ 0.475
- 0.455	+ 0.534	+ 0.304	+ 0.086	+ 0.031	- 0.270	+ 0.483	+ 0.281	+ 0.044	+ 0.126	- 0.263	+ 0.477
- 0.456	+ 0.535	+ 0.304	+ 0.087	+ 0.030	- 0.270	+ 0.483	+ 0.282	+ 0.044	+ 0.125	- 0.263	+ 0.477
- 0.456	+ 0.535	+ 0.305	+ 0.087	+ 0.030	- 0.270	+ 0.483	+ 0.282	+ 0.044	+ 0.125	- 0.263	+ 0.477

		θ_{16}	θ_{17}	θ_{18}	θ_{19}	θ_{20}	θ_{21}	θ_{22}	θ_{23}	DESPLAZAMIENTOS	
NUDO 23	NUDO 27	NUDO 28	NUDO 31	NUDO 32	NUDO 33	NUDO 37	NUDO 38	NUDO 41	PISO 1ZQ.		PISO DER.
13	14	15	16	17	18	19	20	21	22		23
$E \theta_{23}$	$E \theta_{27}$	$E \theta_{28}$	$E \theta_{31}$	$E \theta_{32}$	$E \theta_{33}$	$E \theta_{37}$	$E \theta_{38}$	$E \theta_{41}$	$E \phi_{1zq}$		$E \phi_{der}$
- 0.024	- 0.021	+ 0.373	- 0.105	+ 0.088	- 0.023	- 0.116	+ 0.210	- 0.086	+ 0.608	- 0.608	
+ 0.093	- 0.016	+ 0.293	- 0.125	+ 0.288	+ 0.049	- 0.141	+ 0.215	- 0.088	+ 1.018	- 1.018	
+ 0.175	- 0.003	+ 0.220	- 0.169	+ 0.397	+ 0.120	- 0.130	+ 0.200	- 0.083	+ 1.267	- 1.267	
+ 0.223	+ 0.012	+ 0.176	- 0.200	+ 0.454	+ 0.168	- 0.120	+ 0.189	- 0.080	+ 1.413	- 1.413	
+ 0.251	+ 0.023	+ 0.152	- 0.218	+ 0.485	+ 0.197	- 0.113	+ 0.182	- 0.078	+ 1.498	- 1.498	
+ 0.268	+ 0.030	+ 0.137	- 0.229	+ 0.503	+ 0.214	- 0.109	+ 0.178	- 0.077	+ 1.548	- 1.548	
+ 0.277	+ 0.034	+ 0.129	- 0.235	+ 0.513	+ 0.224	- 0.107	+ 0.175	- 0.075	+ 1.577	- 1.577	
+ 0.283	+ 0.036	+ 0.125	- 0.238	+ 0.519	+ 0.230	- 0.106	+ 0.174	- 0.075	+ 1.594	- 1.594	
+ 0.286	+ 0.037	+ 0.122	- 0.240	+ 0.523	+ 0.233	- 0.105	+ 0.173	- 0.075	+ 1.604	- 1.604	
+ 0.288	+ 0.038	+ 0.120	- 0.242	+ 0.525	+ 0.235	- 0.105	+ 0.173	- 0.075	+ 1.610	- 1.610	
+ 0.289	+ 0.038	+ 0.119	- 0.242	+ 0.526	+ 0.236	- 0.105	+ 0.172	- 0.075	+ 1.613	- 1.613	
+ 0.290	+ 0.038	+ 0.119	- 0.243	+ 0.527	+ 0.237	- 0.104	+ 0.172	- 0.075	+ 1.615	- 1.615	
+ 0.290	+ 0.039	+ 0.118	- 0.243	+ 0.527	+ 0.237	- 0.104	+ 0.172	- 0.075	+ 1.616	- 1.616	

5). Momentos Finales.

$$M_{ik} = \bar{M}_{ik} + 2 K_{ik} \theta_i + k_{ik} \theta_k + k_{ik} \psi_{ik}$$

$$\psi_{ik} = C_{ik} \phi_n$$

Nudo	Barra	K _{ik}	2K _{ik}	θ _i	θ _k	φ _n	C _{ik}	ψ _{ik}	2K _{ik} θ _i	K _{ik} θ _k	K _{ik} ψ _{ik}	\bar{M}_{ik}	M _{ik}
1	1-2	3.7	7.4	- 0.456	+ 0.535	+ 1.616	0.337	+ 0.545	- 3.374	+ 1.980	+ 2.017	+ 3.5	+ 4.123
	1-7	5	10	- 0.456	+ 0.087	---	---	---	- 4.560	+ 0.435	---	---	- 4.125
2	2-1	3.7	7.4	+ 0.535	- 0.456	+ 1.616	0.337	+ 0.545	+ 3.959	- 1.687	+ 2.017	- 3.1	+ 1.189
	2-3	10.8	21.6	+ 0.535	+ 0.305	- 1.616	1	- 1.616	+11.556	+ 3.294	-17.453	+ 0.3	- 2.303
	2-8	1	2	+ 0.535	+ 0.030	---	---	---	+ 1.070	+ 0.030	---	---	+ 1.100
3	3-2	10.8	21.6	+ 0.305	+ 0.535	- 1.616	1	- 1.616	+ 6.588	+ 5.778	-17.453	- 0.3	- 5.387
	3-4	6.1	12.2	+ 0.305	- 0.305	---	---	---	+ 3.721	- 1.861	---	+ 1.3	+ 3.160
	3-13	2.5	5	+ 0.305	+ 0.282	---	---	---	+ 1.525	+ 0.705	---	---	+ 2.230
7	7-1	5	10	+ 0.087	- 0.456	---	---	---	+ 0.870	- 2.280	---	---	- 1.410
	7-8	1.4	2.8	+ 0.087	+ 0.030	+ 1.616	0.337	+ 0.545	+ 0.244	+ 0.042	+ 0.763	+ 0.9	+ 1.949
	7-11	5	10	+ 0.087	- 0.270	---	---	---	+ 0.870	- 1.350	---	---	- 0.480

Nudo	Barra	Kfk	2K1k	θl	θk	ϕn	Cik	ψik	2K1k θl	Kik θk	Kik ψik	Mfk	Mik
8	8-7	1.4	2.8	+ 0.030	+ 0.087	+ 1.616	0.337	+ 0.545	+ 0.084	+ 0.122	+ 0.763	- 2.1	- 1.131
	8-2	1	2	+ 0.030	+ 0.535	---	---	---	+ 0.060	+ 0.535	---	---	+ 0.595
	8-12	1	2	+ 0.030	+ 0.483	---	---	---	+ 0.060	+ 0.483	---	---	+ 0.543
11	11-7	5	10	- 0.270	+ 0.087	---	---	---	- 2.700	+ 0.435	---	---	- 2.265
	11-12	3.7	7.4	- 0.270	+ 0.483	+ 1.616	0.337	+ 0.545	- 1.998	+ 1.787	+ 2.017	+ 3.0	+ 4.806
	11-17	5	10	- 0.270	+ 0.044	---	---	---	- 2.700	+ 0.220	---	---	- 2.480
12	12-11	3.7	7.4	+ 0.483	- 0.270	+ 1.616	0.337	+ 0.545	+ 3.574	- 0.999	+ 2.017	- 3.0	+ 1.592
	12-8	1	2	+ 0.483	+ 0.030	---	---	---	+ 0.966	+ 0.030	---	---	+ 0.996
	12-13	10.8	21.6	+ 0.483	+ 0.282	- 1.616	1	- 1.616	+ 10.433	+ 3.046	- 17.453	+ 0.3	- 3.674
	12-18	1	2	+ 0.483	+ 0.125	---	---	---	+ 0.966	+ 0.125	---	---	+ 1.091
13	13-12	10.8	21.6	+ 0.282	+ 0.483	- 1.616	1	- 1.616	+ 6.901	+ 5.216	- 17.453	- 0.3	- 6.446
	13-3	2.5	5	+ 0.282	+ 0.305	---	---	---	+ 1.410	+ 0.763	---	---	+ 2.173
	13-14	6.1	12.2	+ 0.282	- 0.282	---	---	---	+ 3.440	- 1.720	+ ---	+ 0.4	+ 2.123
	13-23	2.5	5	+ 0.282	+ 0.290	---	---	---	+ 1.410	+ 0.725	---	---	+ 2.135

Nudo	Barra	Kik	2Kik	θi	εk	φn	Cfk	ψik	2Kik θi	Kikεk	Kikyik	Mik	Mik
17	17-11	5	10	+ 0.044	- 0.270	---	---	---	+ 0.044	- 1.350	---	---	- 0.910
	17-18	1	2	+ 0.044	+ 0.125	+ 1.616	0.337	+ 0.545	+ 0.088	+ 0.125	+ 0.545	+ 1.0	+ 1.758
	17-21	5	10	+ 0.044	- 0.263	---	---	---	+ 0.440	- 1.315	---	---	- 0.975
18	18-17	1	2	+ 0.125	+ 0.044	+ 1.616	0.337	+ 0.545	+ 0.250	+ 0.044	+ 0.545	- 2.3	+ 1.461
	18-12	1	2	+ 0.125	+ 0.483	---	---	---	+ 0.250	+ 0.483	---	---	+ 0.733
	18-22	1	2	+ 0.125	+ 0.477	---	---	---	+ 0.250	+ 0.477	---	---	+ 0.727
21	21-17	5	10	- 0.263	+ 0.044	---	---	---	- 2.630	+ 0.220	---	---	- 2.410
	21-22	3.7	7.4	- 0.263	+ 0.477	+ 1.616	0.337	+ 0.545	- 1.946	+ 1.765	+ 2.017	+ 3.0	+ 4.836
	21-27	5	10	- 0.263	+ 0.039	---	---	---	- 2.630	+ 0.195	---	---	- 2.435
22	22-21	3.7	7.4	+ 0.477	- 0.263	+ 1.616	0.337	+ 0.545	+ 3.530	- 0.973	+ 2.017	- 3.0	+ 1.574
	22-18	1	2	+ 0.477	+ 0.125	---	---	---	+ 0.954	+ 0.125	---	---	+ 1.079
	22-23	10.8	21.6	+ 0.477	+ 0.290	- 1.616	1	- 1.616	+ 10.303	+ 3.132	- 17.453	+ 0.3	- 3.718
	22-28	1	2	+ 0.477	+ 0.118	---	---	---	+ 0.954	+ 0.118	---	---	+ 1.072

17-11 17-18 17-21 18-17 18-12 18-22 21-17 21-22 21-27 22-21 22-18 22-23 22-28

5 10 1 2 5 10 3.7 7.4 5 10 3.7 7.4 1 2 10.8 21.6 1 2

+ 0.044 - 0.270 --- --- --- + 0.044 - 1.350 --- --- + 0.044 + 0.125 + 1.616 0.337 + 0.545 + 0.088 + 0.125 + 0.545 + 1.0 + 1.758

+ 0.044 - 0.263 --- --- --- + 0.440 - 1.315 --- --- + 0.250 + 0.044 + 0.545 - 2.3 + 1.461

+ 0.125 + 0.483 --- --- --- + 0.250 + 0.483 --- --- + 0.733

+ 0.125 + 0.477 --- --- --- + 0.250 + 0.477 --- --- + 0.727

- 0.263 + 0.044 --- --- --- - 2.630 + 0.220 --- --- - 2.410

- 0.263 + 0.477 + 1.616 0.337 + 0.545 - 1.946 + 1.765 + 2.017 + 3.0 + 4.836

- 0.263 + 0.039 --- --- --- - 2.630 + 0.195 --- --- - 2.435

+ 0.477 - 0.263 + 1.616 0.337 + 0.545 + 3.530 - 0.973 + 2.017 - 3.0 + 1.574

+ 0.477 + 0.125 --- --- --- + 0.954 + 0.125 --- --- + 1.079

+ 0.477 + 0.290 - 1.616 1 - 1.616 + 10.303 + 3.132 - 17.453 + 0.3 - 3.718

+ 0.477 + 0.118 --- --- --- + 0.954 + 0.118 --- --- + 1.072

Nudo	Barra	K1k	2K1k	θf	ek	φn	Cfk	ψfk	2K1kθ f	K1k θ k	K1k ψfk	Mfk	Mik
23	23-22	10.8	21.6	+ 0.290	+ 0.477	- 1.616	1	- 1.616	+ 6.264	+ 5.152	-17.453	- 0.3	- 6.337
	23-13	2.5	5	+ 0.290	+ 0.282	---	---	---	+ 1.450	+ 0.705	---	---	+ 2.155
	23-24	6.1	12.2	+ 0.290	- 0.290	---	---	---	+ 3.538	- 1.769	---	+ 0.4	+ 2.169
	23-33	2.5	5	+ 0.290	+ 0.237	---	---	---	+ 1.450	+ 0.593	---	---	+ 2.043
27	27-21	5	10	+ 0.039	- 0.263	---	---	---	+ 0.390	- 1.315	---	---	- 0.925
	27-28	1	2	+ 0.039	+ 0.118	+ 1.616	0.337	+ 0.545	+ 0.078	+ 0.118	+ 0.545	+ 1.0	+ 1.741
	27-31	5	10	+ 0.039	- 0.243	---	---	---	+ 0.390	- 1.215	---	---	- 0.825
28	28-27	1	2	+ 0.118	+ 0.039	+ 1.616	0.337	+ 0.545	+ 0.236	+ 0.039	+ 0.545	+ 2.3	+ 1.480
	28-22	1	2	+ 0.118	+ 0.477	---	---	---	+ 0.236	+ 0.477	---	---	+ 0.713
	28-32	1	2	+ 0.118	+ 0.527	---	---	---	+ 0.236	+ 0.527	---	---	+ 0.763
31	31-27	5	10	- 0.243	+ 0.039	---	---	---	- 2.430	+ 0.195	---	---	- 2.235
	31-32	3.7	7.4	- 0.243	+ 0.527	+ 1.616	0.337	+ 0.545	- 1.798	+ 1.950	+ 2.017	+ 3.0	+ 5.169
	31-37	5	10	- 0.243	- 0.104	---	---	---	- 2.430	- 0.520	---	---	- 2.950

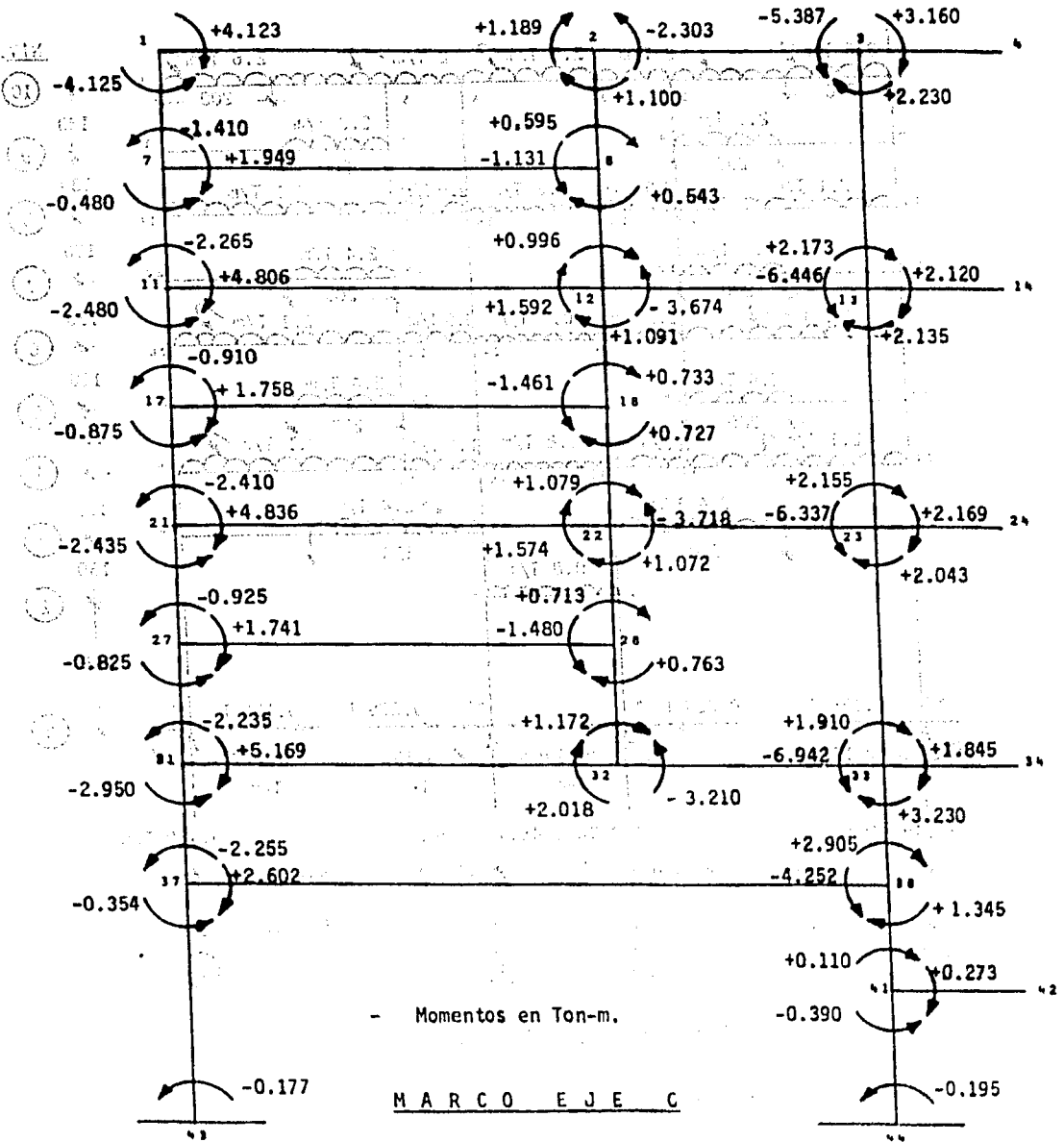
Nudo	Barra	Kik	2Kik	θi	θk	φn	Cik	ψik	2Kik θi	Kik θ k	Kik ψ ik	Mik	Mik
32	32-31	3.7	7.4	+ 0.527	- 0.243	+ 1.616	0.337	+ 0.545	+ 3.900	- 0.899	+ 2.017	- 3.0	+ 2.018
	32-28	1	2	+ 0.527	+ 0.118	---	---	---	+ 1.054	+ 0.118	---	---	+ 1.172
	32-33	10.8	21.6	+ 0.527	+ 0.237	- 1.616	1	- 1.616	+11.383	+ 2.560	-17.453	+ 0.3	- 3.210
33	33-32	10.8	21.6	+ 0.237	+ 0.527	- 1.616	1	- 1.616	+ 5.119	+ 5.692	-17.453	- 0.3	- 6.942
	33-23	2.5	5	+ 0.237	+ 0.290	---	---	---	+ 1.185	+ 0.725	---	---	+ 1.910
	33-34	6.1	12.2	+ 0.237	- 0.237	---	---	---	+ 2.891	- 1.446	---	+ 0.4	+ 1.845
	33-38	5	10	+ 0.237	+ 0.172	---	---	---	+ 2.370	+ 0.860	---	---	+ 3.230
37	37-31	5	10	- 0.104	- 0.243	---	---	---	- 1.040	- 1.215	---	---	- 2.255
	37-38	2.7	5.4	- 0.104	+ 0.172	---	---	---	- 0.562	+ 0.464	---	+ 2.7	+ 2.602
	37-43	1.7	3.4	- 0.104	---	---	---	---	- 0.354	---	---	---	- 0.354
38	38-37	2.7	5.4	+ 0.172	- 0.104	---	---	---	+ 0.929	- 0.281	---	- 4.9	- 4.252
	38-33	5	10	+ 0.172	+ 0.237	---	---	---	+ 1.720	+ 1.185	---	---	+ 2.905
	38-41	5	10	+ 0.172	- 0.075	---	---	---	+ 1.720	- 0.375	---	---	+ 1.345

+ 0.170

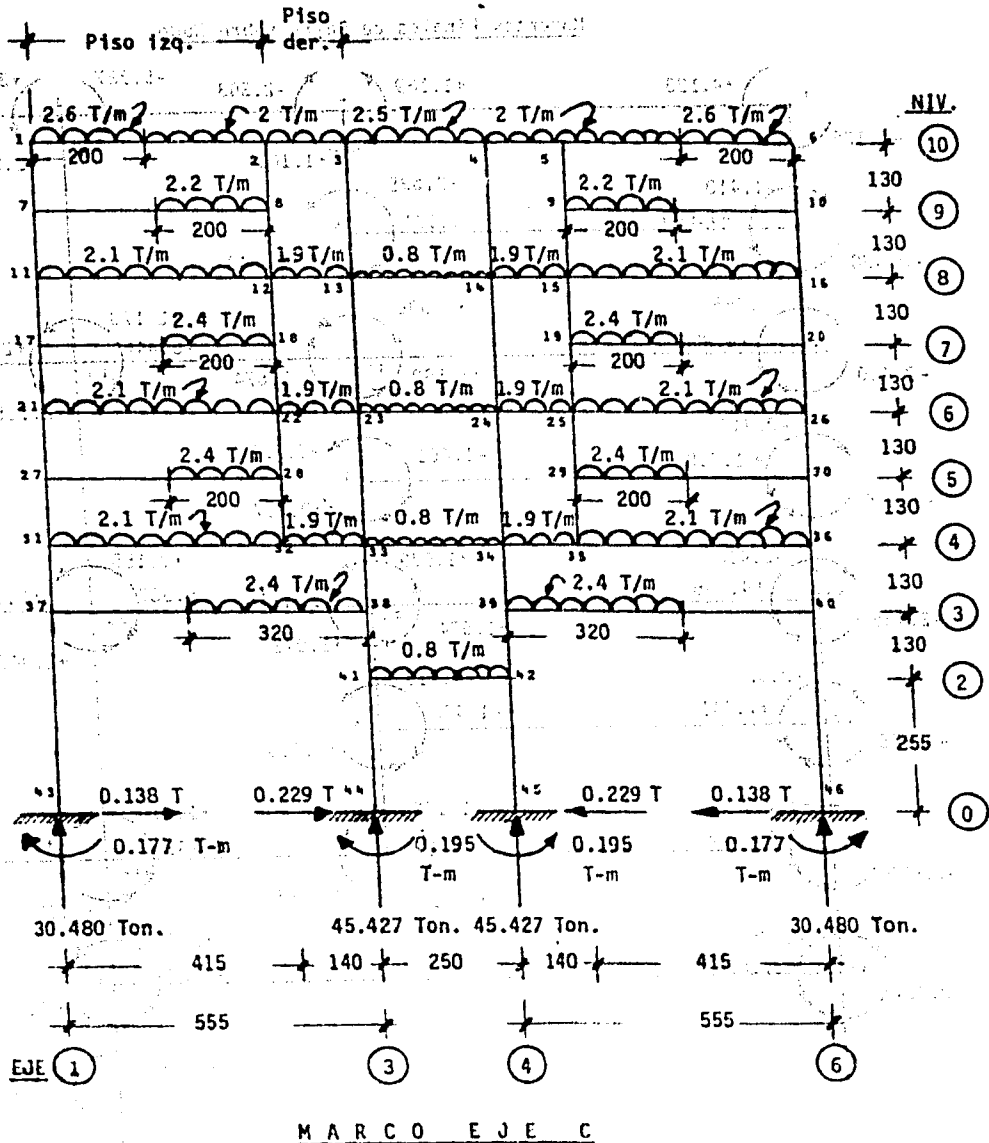
43

8

Momentos Finales de Barra sobre Nudo



6). Diagrama de Cuerpo Libre



- Acotaciones en cm.

MARCO EJES 1 Y 6

ES (m-T)	EM (m-T)	ES (m-T)	EM (m-T)	ES (m-T)	EM (m-T)	ES (m-T)	EM (m-T)
1). Momentos de Empotramiento.							

BARRA	W (T/m)	L (m)	Mik (T-m)	Mki (T-m)
1-2	3.0	6.65	+11.056	-11.056
4-5	1.5	3.85	+ 1.853	- 1.853
6-7	2.7	6.65	+ 9.950	- 9.950
11-12				
16-17				
9-10	1.4	3.85	+ 1.729	- 1.729
14-15				
19-20				
21-22	1.7 - 0.5	6.65	+ 8.535	- 8.149

2). Momentos de Desequilibrio.

$$M_i = \Sigma M_{ik} \quad (T-m)$$

ANÁLISIS DE BARRAS Y NUDOS

Nudo	Barra	Mik (T-m)	Mi (T-m)	Nudo	Barra	Mik (T-m)	Mi (T-m)
1	1-2	+11.056	+11.056	13	13-12	0	0
	1-6	0			13-14	0	
2	2-1	-11.056	-11.056		13-17	0	
	2-3	0		14	14-13	0	+1.729
3	3-2	0	0		14-9	0	
	3-4	0	0	14-15	+1.729		
	3-7	0		14-19	0		
4	4-3	0	+1.853	15	15-14	-1.729	-1.729
	4-5	+1.853			15-10	0	
	4-9	0			16-20	0	
5	5-4	-1.853	-1.853	16	16-11	0	+9.950
	5-10	0			16-17	+9.950	
6	6-1	0	+9.950		16-21	0	
	6-7	+9.950		17	17-16	-9.950	-9.950
	6-11	0			17-13	0	
7	7-6	-9.950	-9.950		17-18	0	
	7-3	0		18	18-17	0	0
	7-8	0			18-19	0	
8	8-7	0	0		18-22	0	
	8-9	0					
	8-12	0					

Nudo	Barra	Mik (T-m)	M1 (T-m)	Nudo	Barra	Mik (T-m)	M1 (T-m)
9	9-8	0	+1.729	19	19-18	0	+1.729
	9-4	0			19-14	0	
	9-10	+1.729			19-20	+1.729	
	9-14	0			19-25	0	
10	10-9	-1.729	-1.729	20	20-19	-1.729	-1.729
	10-5	0			20-15	0	
	10-15	0			20-26	0	
11	11-6	0	+9.950	21	21-16	0	+8.535
	11-12	+9.950			21-22	+8.535	
	11-16	0			21-23	0	
12	12-11	-9.950	-9.950	22	22-21	-8.149	-8.149
	12-8	0			22-18	0	
	12-13	0			22-24	0	

M _i (-T)	M _i (-T)	3). Distribución de Giros y Desplazamientos.
θ_1	$= -\frac{M_1}{2K_1}$	$+ \sum_{k=1}^n \mu_{1k} \theta_k + \sum_{k=1}^n \mu_{1k} \psi_{1k}$
θ_1	$= -\frac{M_1}{2K_1}$	$+ \mu_{12} \theta_2 + \mu_{16} \theta_6 + \mu_{16} \psi_{16}$
θ_1	$= -\frac{11.056}{2(7.8)}$	$- 0.340 \theta_2 - 0.160 \theta_6 - 0.160 (C_{16} \phi_{10} + C_{16} \phi_9)$
θ_1	$= -0.709$	$- 0.340 \theta_2 - 0.160 \theta_6 - 0.160 [1(\phi_{10}) + 1(\phi_9)]$
θ_1	$= -0.709$	$- 0.340 \theta_2 - 0.160 \theta_6 - 0.160 (\phi_{10} + \phi_9)$
θ_1	$= -0.709$	$- 0.340 \theta_2 - 0.160 (\theta_6 + \phi_{10} + \phi_9)$
θ_2	$= -\frac{M_2}{2K_2}$	$+ \mu_{21} \theta_1 + \mu_{23} \theta_3 + \mu_{23} \psi_{23}$
θ_2	$= +\frac{11.056}{2(10.3)}$	$- 0.258 \theta_1 - 0.242 \theta_3 - 0.242 C_{23} \phi_{10}$
θ_2	$= 0.537$	$- 0.258 \theta_1 - 0.242 \theta_3 - 0.242 (2) \phi_{10}$
θ_2	$= 0.537$	$- 0.258 \theta_1 - 0.242 \theta_3 - 0.484 \phi_{10}$

$$\theta_3 = -\frac{M_3}{2K_3} + \mu_{32} \theta_2 + \mu_{34} \theta_4 + \mu_{37} \theta_7 + \mu_{32} \psi_{32} + \mu_{37} \psi_{37}$$

$$\theta_3 = -0.218 \theta_2 - 0.064 \theta_4 - 0.218 \theta_7 - 0.218 C_{32} \phi_{10} - 0.218 C_{37} \phi_9$$

$$\theta_3 = -0.218 \theta_2 - 0.064 \theta_4 - 0.218 \theta_7 - 0.218 (2) \phi_{10} - 0.218 (2) \phi_9$$

$$\theta_3 = -0.218 \theta_2 - 0.064 \theta_4 - 0.218 \theta_7 - 0.436 \phi_{10} - 0.436 \phi_9$$

$$\theta_3 = - 0.064 \theta_4 - 0.218 (\theta_2 + \theta_7) - 0.436 (\phi_{10} + \phi_9)$$

$$\theta_4 = - \frac{M_4}{2 K_4} + \mu_{43} \theta_3 + \mu_{45} \theta_5 + \mu_{49} \theta_9 + \mu_{49} \psi_{49}$$

$$\theta_4 = - \frac{M_4}{2 K_4} + \mu_{43} \theta_3 + \mu_{45} \theta_5 + \mu_{49} \theta_9 + \mu_{49} (C_{49,9} \phi_9 + C_{49,8} \phi_8)$$

$$\theta_4 = - \frac{1.853}{2(7.7)} - 0.098 \theta_3 - 0.240 \theta_5 - 0.162 \theta_9 - 0.162 (1 \phi_9 + 1 \phi_8)$$

$$\theta_4 = - 0.120 - 0.098 \theta_3 - 0.240 \theta_5 - 0.162 \theta_9 - 0.162 (\phi_9 + \phi_8)$$

$$\theta_4 = - 0.120 - 0.098 \theta_3 - 0.240 \theta_5 - 0.162 (\theta_9 + \phi_9 + \phi_8)$$

$$\theta_5 = - \frac{M_5}{2 K_5} + \mu_{54} \theta_4 + \mu_{5,10} \theta_{10} + \mu_{5,10} \psi_{5,10}$$

$$\theta_5 = + \frac{1.853}{2(6.2)} - 0.298 \theta_4 - 0.202 \theta_{10} - 0.202 [C_{5,10,9} \phi_9 + C_{5,10,8} \phi_8]$$

$$\theta_5 = + 0.149 - 0.298 \theta_4 - 0.202 \theta_{10} - 0.202 [1 (\phi_9) + 1 (\phi_8)]$$

$$\theta_5 = + 0.149 - 0.298 \theta_4 - 0.202 (\theta_{10} + \phi_9 + \phi_8)$$

$$\theta_6 = - \frac{M_6}{2 K_6} + \mu_{61} \theta_1 + \mu_{67} \theta_7 + \mu_{6,11} \theta_{11} + \mu_{61} \psi_{61} + \mu_{6,11} \psi_{6,11}$$

$$\theta_6 = - \frac{M_6}{2 K_6} + \mu_{61} \theta_1 + \mu_{67} \theta_7 + \mu_{6,11} \theta_{11} + \mu_{61} [C_{61,10} \phi_{10} + C_{61,9} \phi_9] + \mu_{6,11} (C_{6,11,8} \phi_8 + C_{6,11,7} \phi_7)$$

$$\theta_6 = - \frac{9.950}{2(8.9)} - 0.141 \theta_1 - 0.218 \theta_7 - 0.141 \theta_{11} - 0.141 [1 (\phi_{10}) + 1 (\phi_9)] - 0.141 [1 (\phi_8) + 1 (\phi_7)]$$

$$\theta_6 = -0.559 - 0.141 \theta_1 - 0.218 \theta_7 - 0.141 \theta_{11} - 0.141 (\phi_6 + \phi_7) - 0.141 (\phi_6 + \phi_7)$$

$$\theta_6 = -0.559 - 0.218 \theta_7 - 0.141 (\theta_1 + \theta_{11} + \theta_{10} + \theta_9 + \phi_6 + \phi_7)$$

$$\theta_7 = -\frac{M_7}{2K_7} + \mu_{76} \theta_6 + \mu_{73} \theta_3 + \mu_{78} \theta_8 + \mu_{73} \psi_{73} + \mu_{78} \psi_{78}$$

$$\theta_7 = -\frac{M_7}{2K_7} + \mu_{76} \theta_6 + \mu_{73} \theta_3 + \mu_{78} \theta_8 + \mu_{73} C_{73} \phi_9 + \mu_{78} C_{78} \phi_8$$

$$\theta_7 = +\frac{9.950}{2(13.9)} - 0.140 \theta_6 - 0.180 \theta_1 - 0.180 \theta_3 - 0.180 (2) \phi_9 - 0.180 (2) \phi_8$$

$$\theta_7 = +0.358 - 0.140 \theta_6 - 0.180 \theta_3 - 0.180 \theta_8 - 0.360 \phi_9 - 0.360 \phi_8$$

$$\theta_7 = +0.358 - 0.140 \theta_6 - 0.180 (\theta_3 + \theta_8) - 0.360 (\phi_9 + \phi_8)$$

$$\theta_8 = -\frac{M_8}{2K_8} + \mu_{87} \theta_7 + \mu_{89} \theta_9 + \mu_{8,12} \theta_{12} + \mu_{87} \psi_{87} + \mu_{8,12} \psi_{8,12}$$

$$\theta_8 = -\frac{0}{2K_8} - 0.225 \theta_7 - 0.050 \theta_9 - 0.225 \theta_{12} - 0.225 C_{87} \phi_6 - 0.225 C_{8,12} \phi_7$$

$$\theta_8 = -0.225 \theta_7 - 0.050 \theta_9 - 0.225 \theta_{12} - 0.225 (2) \phi_6 - 0.225 (2) \phi_7$$

$$\theta_8 = -0.050 \theta_9 - 0.225 (\theta_7 + \theta_{12} + 2 \phi_6 + 2 \phi_7)$$

$$\theta_9 = -\frac{M_9}{2K_9} + \mu_{9,8}\theta_8 + \mu_{9,4}\theta_4 + \mu_{9,10}\theta_{10} + \mu_{9,14}\theta_{14} + \mu_{9,9}\psi_{9,9} + \mu_{9,14}\psi_{9,14}$$

$$\theta_9 = -\frac{M_9}{2K_9} + \mu_{9,8}\theta_8 + \mu_{9,4}\theta_4 + \mu_{9,10}\theta_{10} + \mu_{9,14}\theta_{14} + \mu_{9,9}(C_{9,9}\phi_9 + C_{9,9}\phi_8) + \mu_{9,14}(C_{9,14}\phi_7 + C_{9,14}\phi_6)$$

$$\theta_9 = -\frac{1.729}{2(9.9)} - 0.055\theta_8 - 0.126\theta_4 - 0.193\theta_{10} - 0.126\theta_{14} - 0.126[1(\phi_9) + 1(\phi_8)] - 0.126[1(\phi_7) + 1(\phi_6)]$$

$$\theta_9 = -0.087 - 0.055\theta_8 - 0.126\theta_4 - 0.193\theta_{10} - 0.126\theta_{14} - 0.126(\phi_9 + \phi_8) - 0.126(\phi_7 + \phi_6)$$

$$\theta_9 = -0.087 - 0.055\theta_8 - 0.193\theta_{10} - 0.126(\theta_4 + \theta_{14} + \phi_9 + \phi_8 + \phi_7 + \phi_6)$$

$$\theta_{10} = -\frac{M_{10}}{2K_{10}} + \mu_{10,9}\theta_9 + \mu_{10,5}\theta_5 + \mu_{10,15}\theta_{15} + \mu_{10,5}\psi_{10,5} + \mu_{10,15}\psi_{10,15}$$

$$\theta_{10} = -\frac{M_{10}}{2K_{10}} + \mu_{10,9}\theta_9 + \mu_{10,5}\theta_5 + \mu_{10,15}\theta_{15} + \mu_{10,5}(C_{10,5}\phi_9 + C_{10,5}\phi_8) + \mu_{10,15}(C_{10,15}\phi_7 + C_{10,15}\phi_6)$$

$$\theta_{10} = +\frac{1.729}{2 \times 8.8} - 0.216\theta_9 - 0.142\theta_5 - 0.142\theta_{15} - 0.142[(1)\phi_9 + (1)\phi_8] - 0.142[1(\phi_7) + (1)\phi_6]$$

$$\theta_{10} = +0.098 - 0.216\theta_9 - 0.142\theta_5 - 0.142\theta_{15} - 0.142(\phi_9 + \phi_8) - 0.142(\phi_7 + \phi_6)$$

$$\theta_{10} = + 0.098 - 0.216 \theta_9 - 0.142 (\theta_5 + \theta_{15} + \phi_9 + \phi_8 + \phi_7 + \phi_6)$$

$$\theta_{11} = - \frac{M_{11}}{2K_{11}} + \mu_{11,6} \theta_6 + \mu_{11,12} \theta_{12} + \mu_{11,16} \theta_{16} + \mu_{11,6} \psi_{11,6} + \mu_{11,16} \psi_{11,16}$$

$$\theta_{11} = - \frac{9.950}{2(12.4)} - 0.101 \theta_6 - 0.158 \theta_{12} - 0.241 \theta_{16} - 0.101 [C_{11,6,6} \phi_6 + C_{11,6,7} \phi_7] - 0.241 [C_{11,16,6} \phi_6 + C_{11,16,5} \phi_5]$$

$$\theta_{11} = - 0.401 - 0.101 \theta_6 - 0.158 \theta_{12} - 0.241 \theta_{16} - 0.101 [(1) \phi_6 + (1) \phi_7] - 0.241 [(1) \phi_6 + (1) \phi_5]$$

$$\theta_{11} = - 0.401 - 0.101 \theta_6 - 0.158 \theta_{12} - 0.241 \theta_{16} - 0.101 (\phi_6 + \phi_7) - 0.241 (\phi_6 + \phi_5)$$

$$\theta_{11} = - 0.401 - 0.158 \theta_{12} - 0.241 (\theta_{16} + \phi_6 + \phi_5) - 0.101 (\theta_6 + \phi_6 + \phi_7)$$

$$\theta_{11} = - 0.401 - 0.158 \theta_{12} - 0.101 (\theta_6 + \phi_7 + \phi_8) - 0.241 (\theta_{16} + \phi_5 + \phi_6)$$

$$\theta_{12} = - \frac{M_{12}}{2K_{12}} + \mu_{12,11} \theta_{11} + \mu_{12,6} \theta_6 + \mu_{12,11} \theta_{11} + \mu_{12,6} \psi_{12,6} + \mu_{12,11} \psi_{12,11}$$

$$\theta_{12} = + \frac{9.950}{2(13.9)} - 0.140 \theta_{11} - 0.180 \theta_6 - 0.180 \theta_{11} - 0.180 [C_{12,6,7} \phi_7] - 0.180 (C_{12,11,6} \phi_6)$$

$$\theta_{12} = + 0.358 - 0.140 \theta_{11} - 0.180 \theta_8 - 0.180 \theta_{13} - 0.180 (2) \phi_7 - 0.180 (2) \phi_6$$

$$\theta_{12} = + 0.358 - 0.140 \theta_{11} - 0.180 [\theta_8 + \theta_{13} + 2 \phi_7 + 2 \phi_6]$$

$$\theta_{13} = - \frac{M_{13}}{2 K_{13}} + \mu_{13,12} \theta_{12} + \mu_{13,14} \theta_{14} + \mu_{13,17} \theta_{17} + \mu_{13,12} \psi_{13,12} + \mu_{13,17} \psi_{13,17}$$

$$\theta_{13} = - \frac{0}{2(11.1)} - 0.225 \theta_{12} - 0.050 \theta_{14} - 0.225 \theta_{17} - 0.225 C_{13,12} \phi_6 - 0.225 C_{13,17} \phi_5$$

$$\theta_{13} = - 0.225 \theta_{12} - 0.050 \theta_{14} - 0.225 \theta_{17} - 0.225 (2) \phi_6 - 0.225 (2) \phi_5$$

$$\theta_{13} = - 0.225 (\theta_{12} + \theta_{17} + 2 \phi_6 + 2 \phi_5) - 0.050 \theta_{14}$$

$$\theta_{13} = - 0.050 \theta_{14} - 0.225 (\theta_{12} + \theta_{17} + 2 \phi_6 + 2 \phi_5)$$

$$\theta_{14} = - \frac{M_{14}}{2 K_{14}} + \mu_{14,13} \theta_{13} + \mu_{14,9} \theta_9 + \mu_{14,15} \theta_{15} + \mu_{14,19} \theta_{19} + \mu_{14,9} [C_{14,9,7} \phi_7 + C_{14,9,6} \phi_6] + \mu_{14,19} [C_{14,19,5} \phi_5 + C_{14,19,4} \phi_4]$$

$$\theta_{14} = - \frac{1.729}{2(13.4)} - 0.041 \theta_{13} - 0.093 \theta_9 - 0.142 \theta_{15} - 0.224 \theta_{19} - 0.093 [(1) \phi_7 + 1 (\phi_6)] - 0.224 [(1) \phi_5 + (1) \phi_4]$$

$$\theta_{14} = - 0.065 - 0.041 \theta_{13} - 0.093 \theta_9 - 0.142 \theta_{15} - 0.224 \theta_{19} - 0.093 (\phi_7 + \phi_6) - 0.224 (\phi_5 + \phi_4)$$

$$\theta_{14} = -0.065 - 0.041 \theta_{13} - 0.142 \theta_{15} - 0.093 (\theta_9 + \phi_6 + \phi_7) - 0.224 (\theta_{19} + \phi_4 + \phi_5)$$

$$\theta_{14} = -0.065 - 0.041 \theta_{13} - 0.142 \theta_{15} - 0.093 (\theta_9 + \phi_6 + \phi_7) - 0.224 (\theta_{19} + \phi_4 + \phi_5)$$

$$\theta_{15} = -\frac{M_{15}}{2 K_{15}} + \mu_{15,14} \theta_{14} + \mu_{15,10} \theta_{10} + \mu_{15,20} \theta_{20} + \mu_{15,10} \psi_{15,10} + \mu_{15,20} \psi_{15,20}$$

$$\theta_{15} = +\frac{1.729}{2(12.3)} - 0.155 \theta_{14} - 0.101 \theta_{10} - 0.244 \theta_{20} - 0.101 [C_{15,10,7} \phi_7 + C_{15,10,6} \phi_6] - 0.244 [C_{15,20,5} \phi_5 + C_{15,20,4} \phi_4]$$

$$\theta_{15} = +0.070 - 0.155 \theta_{14} - 0.101 \theta_{10} - 0.244 \theta_{20} - 0.101 [(1) \phi_7 + (1) \phi_6] - 0.244 [(1) \phi_5 + (1) \phi_4]$$

$$\theta_{15} = +0.070 - 0.155 \theta_{14} - 0.101 \theta_{10} - 0.244 \theta_{20} - 0.101 (\phi_7 + \phi_6) - 0.244 (\phi_5 + \phi_4)$$

$$\theta_{15} = +0.070 - 0.155 \theta_{14} - 0.101 (\theta_{10} + \phi_6 + \phi_7) - 0.244 (\theta_{20} + \phi_4 + \phi_5)$$

$$\theta_{16} = -\frac{M_{16}}{2 K_{16}} + \mu_{16,11} \theta_{11} + \mu_{16,17} \theta_{17} + \mu_{16,21} \theta_{21} + \mu_{16,11} \psi_{16,11} + \mu_{16,21} \psi_{16,21}$$

$$\theta_{16} = -\frac{9.950}{2(15.9)} - 0.188 \theta_{11} - 0.124 \theta_{17} - 0.188 \theta_{21} - 0.188 [C_{16,11,6} \phi_6 + C_{16,11,5} \phi_5] - 0.188 [C_{16,21,4} \phi_4 + C_{16,21,3} \phi_3]$$

$$\theta_{16} = -0.313 - \left[\begin{array}{l} 0.188 \theta_{11} + 0.124 \theta_{17} + 0.188 \theta_{21} + 0.188 [-(-1) \phi_6 + \\ + (1) \phi_5] - 0.188 [(-1) \phi_4 + (1) \phi_3] \end{array} \right]$$

$$\theta_{16} = -0.313 - 0.188 \theta_{11} - 0.124 \theta_{17} - 0.188 \theta_{21} - 0.188 (\phi_6 + \phi_5) - 0.188 (-\phi_4 + \phi_3)$$

$$\theta_{16} = -0.313 - 0.124 \theta_{17} - 0.188 (\theta_{11} + \theta_{21} + \phi_6 + \phi_5 + \phi_4 + \phi_3)$$

$$\theta_{17} = -\frac{M_{17}}{2 K_{17}} + \mu_{17,16} \theta_{16} + \mu_{17,13} \theta_{13} + \mu_{17,18} \theta_{18} + \mu_{17,13} \psi_{17,13} + \mu_{17,18} \psi_{17,18}$$

$$\theta_{17} = +\frac{9.950}{2(13.9)} - 0.140 \theta_{16} - 0.180 \theta_{13} - 0.180 \theta_{18} - 0.180 C_{17,13} \phi_3 - 0.180 C_{17,18} \phi_4$$

$$\theta_{17} = +0.358 - 0.140 \theta_{16} - 0.180 \theta_{13} - 0.180 \theta_{18} - 0.180 (2) \phi_3 - 0.180 (2) \phi_4$$

$$\theta_{17} = +0.358 - 0.140 \theta_{16} - 0.180 (\theta_{13} + \theta_{18} + 2\phi_3 + 2\phi_4)$$

$$\theta_{18} = -\frac{M_{18}}{2 K_{18}} + \mu_{18,17} \theta_{17} + \mu_{18,19} \theta_{19} + \mu_{18,22} \theta_{22} + \mu_{18,17} \psi_{18,17} + \mu_{18,22} \psi_{18,22}$$

$$\theta_{18} = -\frac{0}{2(11.1)} - 0.225 \theta_{17} - 0.050 \theta_{19} - 0.225 \theta_{22} - 0.225 C_{18,17} \phi_4 - 0.225 C_{18,22} \phi_3$$

$$\theta_{18} = -0.225 \theta_{17} - 0.050 \theta_{19} - 0.225 \theta_{22} - 0.225 (2) \phi_4 - 0.225 (2) \phi_3$$

$$\theta_{18} = -0.050 \theta_{19} - 0.225 (\theta_{17} + \theta_{22} + 2\phi_4 + 2\phi_3)$$

$$\theta_{19} = -\frac{M_{19}}{2K_{19}} + \mu_{19,18}\theta_{18} + \mu_{19,14}\theta_{14} + \mu_{19,20}\theta_{20} + \mu_{19,25}\theta_{25} +$$

$$+ \mu_{19,14}\psi_{19,14} + \mu_{19,25}\psi_{19,25}$$

$$\theta_{19} = -\frac{1.729}{2 \times 16.7} - 0.033 \theta_{18} - 0.130 \theta_{14} - 0.114 \theta_{20} - 0.173 \theta_{25} -$$

$$- 0.180 [C_{19,14_3} \phi_3 + C_{19,14_4} \phi_4] - 0.173 [C_{19,25_3} \phi_3 +$$

$$+ C_{19,25_2} \phi_2]$$

$$\theta_{19} = -0.052 - 0.033 \theta_{18} - 0.180 \theta_{14} - 0.114 \theta_{20} - 0.173 \theta_{25} -$$

$$- 0.180 [(1)\phi_3 + (1)\phi_4] - 0.173 [0.963 \phi_3 +$$

$$+ 0.963 \phi_2]$$

$$\theta_{19} = -0.052 - 0.033 \theta_{18} - 0.180 \theta_{14} - 0.114 \theta_{20} - 0.180 (\phi_3 + \phi_4) -$$

$$- 0.173 (0.963) (\phi_3 + \phi_2) - 0.173 \theta_{25}$$

$$\text{pero : } \theta_{25} = 0 \quad (\text{empotramiento})$$

$$\theta_{19} = -0.052 - 0.033 \theta_{18} - 0.114 \theta_{20} - 0.180 (\theta_{14} + \phi_3 + \phi_4) -$$

$$- 0.167 (\phi_3 + \phi_2)$$

$$\theta_{20} = -\frac{M_{20}}{2K_{20}} + \mu_{20,19}\theta_{19} + \mu_{20,15}\theta_{15} + \mu_{20,26}\theta_{26} + \mu_{20,15}\psi_{20,15} +$$

$$+ \mu_{20,26}\psi_{20,26}$$

$$\theta_{20} = +\frac{1.729}{2(15.6)} - 0.122 \theta_{19} - 0.192 \theta_{15} - 0.186 \theta_{26} - 0.192 [C_{20,15_3} \phi_3 +$$

$$+ C_{20,15_4} \phi_4] - 0.186 [C_{20,26_3} \phi_3 + C_{20,26_2} \phi_2]$$

$$\theta_{20} = + 0.055 - 0.122 \theta_{19} - 0.192 \theta_{15} - 0.186 \theta_{26} - 0.192 [(1) \phi_5 + (1) \phi_4] - 0.186 [0.963 \phi_3 + 0.963 \phi_2]$$

pero : $\theta_{26} = 0$ (empotramiento)

$$\theta_{20} = + 0.055 - 0.122 \theta_{19} - 0.192 [\theta_{15} + \phi_5 + \phi_4] - 0.186 (0.963) (\phi_3 + \phi_2)$$

$$\theta_{20} = + 0.055 - 0.122 \theta_{19} - 0.192 (\theta_{15} + \phi_5 + \phi_4) - 0.179 (\phi_3 + \phi_2)$$

$$\theta_{21} = - \frac{M_{21}}{2 K_{21}} + \mu_{21,16} \theta_{16} + \mu_{21,22} \theta_{22} + \mu_{21,23} \theta_{23} + \mu_{21,16} \psi_{21,16} + \mu_{21,23} \psi_{21,23}$$

$$\theta_{21} = - \frac{8.535}{2(16)} - 0.188 \theta_{16} - 0.122 \theta_{22} - 0.190 \theta_{23} - 0.188 [C_{21,16} \phi_4 + C_{21,16} \phi_3] - 0.190 [C_{21,23} \phi_2]$$

pero : $\theta_{23} = 0$

$$\theta_{21} = - 0.267 - 0.188 \theta_{16} - 0.122 \theta_{22} - 0.188 [(1) \phi_4 + (1) \phi_3] - 0.190 [(1.020) \phi_2]$$

$$\theta_{21} = - 0.267 - 0.188 \theta_{16} - 0.122 \theta_{22} - 0.188 (\phi_4 + \phi_3) - 0.190 (1.020) \phi_2$$

$$\theta_{21} = - 0.267 - 0.122 \theta_{22} - 0.188 (\theta_{16} + \phi_4 + \phi_3) - 0.194 \phi_2$$

$$\theta_{21} = - 0.267 - 0.122 \theta_{22} - 0.188 (\theta_{16} + \phi_4 + \phi_3) - 0.194 \phi_2$$

60

$$\theta_{22} = \frac{1}{2} \frac{M_{22}}{K_{22}} + \mu_{22,21} \theta_{21} + \mu_{22,18} \theta_{18} + \mu_{22,24} \theta_{24} + \mu_{22,19} \psi_{22,19} + \mu_{22,24} \psi_{22,24}$$

$$\theta_{22} = + \frac{8.149}{2(11.5)} - 0.170 \theta_{21} - 0.217 \theta_{18} - 0.113 \theta_{24} - 0.217 (C_{22,19} \phi_3) - 0.113 (C_{22,24} \phi_2)$$

$$\theta_{22} = + 0.354 - 0.170 \theta_{21} - 0.217 \theta_{18} - 0.113 \theta_{24} - 0.217 (2) \phi_3 - 0.113 (1.020) \phi_2$$

$$\theta_{22} = + 0.354 - 0.170 \theta_{21} - 0.217 \theta_{18} - 0.113 \theta_{24} - 0.217 (2) \phi_3 - 0.113 (1.020) \phi_2$$

$$\theta_{22} = + 0.354 - 0.170 \theta_{21} - 0.217 (\theta_{18} + 2 \phi_3) - 0.113 (\theta_{24} + 1.020 \phi_2)$$

pero : $\theta_{24} = 0$

$$\theta_{22} = + 0.354 - 0.170 \theta_{21} - 0.217 (\theta_{18} + 2 \phi_3) - 0.113 (1.020) \phi_2$$

$$\theta_{22} = + 0.354 - 0.170 \theta_{21} - 0.217 (\theta_{18} + 2 \phi_3) - 0.115 \phi_2$$

Distribución de Desplazamientos.

$$\phi_n = \frac{Q_n h_n - \bar{N}_n}{2 K_n} + \sum_{(n)} v_{ik} (\theta_i + \theta_k) + \frac{2}{3} \sum (v_{ik} C_{ik} \phi_i + \dots + v_{ik} C_{ik} \phi_{n-1} + v_{ik} C_{ik} \phi_{n+1})$$

$$Q_n = 0$$

$$\bar{N}_n = 0 \quad (\text{no hay})$$

$$\phi_{10} = v_{16,10} (\theta_1 + \theta_6) + v_{23} (\theta_2 + \theta_3) + \frac{2}{3} [v_{16,10} C_{16,9} \phi_9]$$

$$\phi_{10} = -0.167 (\theta_1 + \theta_6) - 0.667 (\theta_2 + \theta_3) + \frac{2}{3} (-0.167)$$

$$(1) \phi_9$$

$$\phi_{10} = -0.167 (\theta_1 + \theta_6 + \frac{2}{3} \phi_9) - 0.667 (\theta_2 + \theta_3)$$

$$\begin{aligned} \phi_9 = & v_{16,9} (\theta_1 + \theta_6) + v_{37} (\theta_3 + \theta_7) + v_{49} (\theta_4 + \theta_9) + \\ & + v_{5,10} (\theta_5 + \theta_{10}) + \frac{2}{3} [v_{16,9} C_{16,10} \phi_{10} + \\ & + v_{49,9} C_{49,8} \phi_8 + v_{5,10,9} C_{5,10,8} \phi_8] \end{aligned}$$

$$\begin{aligned} \phi_9 = & -0.136 (\theta_1 + \theta_6) - 0.545 (\theta_3 + \theta_7) - 0.136 (\theta_4 + \theta_9) - \\ & - 0.136 (\theta_5 + \theta_{10}) + \frac{2}{3} [-0.136 (1) \phi_{10} - \\ & - 0.136 (1) \phi_8 - 0.136 (1) \phi_8] \end{aligned}$$

$$\begin{aligned} \phi_9 = & -0.136 (\theta_1 + \theta_6) - 0.545 (\theta_3 + \theta_7) - 0.136 (\theta_4 + \theta_9) - \\ & - 0.136 (\theta_5 + \theta_{10}) - \frac{2}{3} (0.136) (\phi_{10} + 2 \phi_8) \end{aligned}$$

$$\begin{aligned} \phi_9 = & -0.545 (\theta_3 + \theta_7) - 0.136 [\theta_1 + \theta_6 + \theta_4 + \theta_9 + \theta_5 + \theta_{10} + \\ & + \frac{2}{3} (\phi_{10} + 2 \phi_8)] \end{aligned}$$

$$\begin{aligned} \phi_8 = & v_{6,11,8} (\theta_6 + \theta_{11}) + v_{78} (\theta_7 + \theta_8) + v_{49,8} (\theta_4 + \theta_9) + \\ & + v_{5,10,8} (\theta_5 + \theta_{10}) + \frac{2}{3} [v_{6,11,8} C_{6,11,7} \phi_7 + \\ & + v_{49,8} C_{49,9} \phi_9 + v_{5,10,8} C_{5,10,9} \phi_9] \end{aligned}$$

$$\begin{aligned} \phi_8 = & - 0.136 (\theta_6 + \theta_{11}) - 0.545 (\theta_7 + \theta_8) - 0.136 (\theta_9 + \theta_{14}) - \\ & - 0.136 (\theta_{10} + \theta_{15}) + \frac{2}{3} [- 0.136 (1) \phi_7 - \\ & - 0.136 (1) \phi_9 - 0.136 (1) \phi_9] \end{aligned}$$

$$\begin{aligned} \phi_8 = & - 0.136 (\theta_6 + \theta_{11}) - 0.545 (\theta_7 + \theta_8) - 0.136 (\theta_9 + \theta_{14}) - \\ & - 0.136 (\theta_{10} + \theta_{15}) + \frac{2}{3} (- 0.136) (\phi_7 + 2 \phi_9) \end{aligned}$$

$$\begin{aligned} \phi_8 = & - 0.545 (\theta_7 + \theta_8) - 0.136 [\theta_6 + \theta_{11} + \theta_9 + \theta_{14} + \theta_{10} + \theta_{15} + \\ & (\phi_7 + 2 \phi_9)] \end{aligned}$$

$$\begin{aligned} \phi_7 = & v_{6,11,7} (\theta_6 + \theta_{11}) + v_{8,12} (\theta_8 + \theta_{12}) + v_{9,14,7} (\theta_9 + \theta_{14}) + \\ & + v_{10,15,7} (\theta_{10} + \theta_{15}) + \frac{2}{3} [v_{6,11,7} c_{6,11,8} \phi_8 + \\ & + v_{9,14,7} c_{9,14,6} \phi_6 + v_{10,15,7} c_{10,15,6} \phi_6] \end{aligned}$$

$$\begin{aligned} \phi_7 = & - 0.136 (\theta_6 + \theta_{11}) - 0.545 (\theta_8 + \theta_{12}) - 0.136 (\theta_9 + \theta_{14}) - \\ & - 0.136 (\theta_{10} + \theta_{15}) + \frac{2}{3} [- 0.136 (1) \phi_8 - \\ & - 0.136 (1) \phi_6 - 0.136 (1) \phi_6] \end{aligned}$$

$$\begin{aligned} \phi_7 = & - 0.136 (\theta_6 + \theta_{11}) - 0.545 (\theta_8 + \theta_{12}) - 0.136 (\theta_9 + \theta_{14}) - \\ & - 0.136 (\theta_{10} + \theta_{15}) + \frac{2}{3} (- 0.136) (\phi_8 + 2 \phi_6) \end{aligned}$$

$$\begin{aligned} \phi_7 = & - 0.545 (\theta_8 + \theta_{12}) - 0.136 [\theta_6 + \theta_{11} + \theta_9 + \theta_{14} + \theta_{10} + \theta_{15} + \\ & + \frac{2}{3} (\phi_8 + 2 \phi_6)] \end{aligned}$$

$$\phi_6 = v_{11,16} (\theta_{11} + \theta_{16}) + v_{12,13} (\theta_{12} + \theta_{13}) + v_{9,14} (\theta_9 + \theta_{14}) + v_{10,15} (\theta_{10} + \theta_{15}) + \frac{2}{3} [v_{11,16} C_{11,16} \phi_5 + v_{9,14} C_{9,14} \phi_7 + v_{10,15} C_{10,15} \phi_7]$$

$$\phi_6 = - 0.290 (\theta_{11} + \theta_{16}) - 0.484 (\theta_{12} + \theta_{13}) - 0.121 (\theta_9 + \theta_{14}) - 0.121 (\theta_{10} + \theta_{15}) + \frac{2}{3} [- 0.290 (1) \phi_5 - 0.121 (1) \phi_7 - 0.121 (1) \phi_7]$$

$$\phi_6 = - 0.290 (\theta_{11} + \theta_{16}) - 0.484 (\theta_{12} + \theta_{13}) - 0.121 (\theta_9 + \theta_{14}) - 0.121 (\theta_{10} + \theta_{15}) + \frac{2}{3} [- 0.290 \phi_5 - 0.121 (2) \phi_7]$$

$$\phi_6 = - 0.290 (\theta_{11} + \theta_{16}) - 0.484 (\theta_{12} + \theta_{13}) - 0.121 (\theta_9 + \theta_{14}) - 0.121 (\theta_{10} + \theta_{15}) - \frac{2}{3} (0.290) \phi_5 - \frac{2}{3} (0.121) (2 \phi_7)$$

$$\phi_6 = - 0.484 (\theta_{12} + \theta_{13}) - 0.290 (\theta_{11} + \theta_{16} + \frac{2}{3} \phi_5) - 0.121 (\theta_9 + \theta_{14} + \theta_{10} + \theta_{15} + \frac{4}{3} \phi_7)$$

$$\phi_5 = v_{11,16_5} (\theta_{11} + \theta_{16}) + v_{13,17} (\theta_{13} + \theta_{17}) + v_{14,19_5} (\theta_{14} + \theta_{19}) + v_{15,20_5} (\theta_{15} + \theta_{20}) + \frac{2}{3} [v_{11,16_5} C_{11,16_6} \phi_6 + v_{14,19_5} C_{14,19_6} \phi_4 + v_{15,20_5} C_{15,20_6} \phi_4]$$

$$\phi_5 = -0.237 (\theta_{11} + \theta_{16}) - 0.395 (\theta_{13} + \theta_{17}) - 0.237 (\theta_{14} + \theta_{19}) - 0.237 (\theta_{15} + \theta_{20}) + \frac{2}{3} [-0.237 (1) \phi_6 - 0.237 (1) \phi_4 - 0.237 (1) \phi_4]$$

$$\phi_5 = -0.237 (\theta_{11} + \theta_{16}) - 0.395 (\theta_{13} + \theta_{17}) - 0.237 (\theta_{14} + \theta_{19}) - 0.237 (\theta_{15} + \theta_{20}) + \frac{2}{3} [-0.237 (\phi_6 + 2 \phi_4)]$$

$$\phi_5 = -0.395 (\theta_{13} + \theta_{17}) - 0.237 [\theta_{11} + \theta_{16} + \theta_{14} + \theta_{19} + \theta_{15} + \theta_{20} + \frac{2}{3} (\phi_6 + 2 \phi_4)]$$

$$\phi_4 = v_{16,21} (\theta_{16} + \theta_{21}) + v_{17,18} (\theta_{17} + \theta_{18}) + v_{14,19} (\theta_{14} + \theta_{19}) + v_{15,20} (\theta_{15} + \theta_{20}) + \frac{2}{3} [v_{16,21} C_{16,21} \phi_3 + v_{14,19} C_{14,19} \phi_5 + v_{15,20} C_{15,20} \phi_5]$$

$$\phi_4 = -0.237 (\theta_{16} + \theta_{21}) - 0.395 (\theta_{17} + \theta_{18}) - 0.237 (\theta_{14} + \theta_{19}) - 0.237 (\theta_{15} + \theta_{20}) + \frac{2}{3} [-0.237 (1) \phi_3 - 0.237 (1) \phi_5 - 0.237 (1) \phi_5]$$

$$\phi_4 = -0.237 (\theta_{16} + \theta_{21}) - 0.395 (\theta_{17} + \theta_{18}) - 0.237 (\theta_{14} + \theta_{19}) - 0.237 (\theta_{15} + \theta_{20}) + \frac{2}{3} [-0.237 (\phi_3 + 2 \phi_5)]$$

$$\phi_4 = -0.395 (\theta_{17} + \theta_{18}) - 0.237 [\theta_{16} + \theta_{21} + \theta_{19} + \theta_{25} + \theta_{20} + \frac{2}{3} (\phi_3 + 2\phi_5)]$$

$$\phi_5 = v_{16,21} (\theta_{16} + \theta_{21}) + v_{18,22} (\theta_{18} + \theta_{22}) + v_{19,25} (\theta_{19} + \theta_{25}) + v_{20,26} (\theta_{20} + \theta_{26}) + \frac{2}{3} [v_{16,21} C_{16,21} \phi_4 + v_{19,25} C_{19,25} \phi_2 + v_{20,26} C_{20,26} \phi_2]$$

$$\phi_3 = -0.245 (\theta_{16} + \theta_{21}) - 0.408 (\theta_{18} + \theta_{22}) - 0.228 (\theta_{19} + \theta_{25}) - 0.228 (\theta_{20} + \theta_{26}) + \frac{2}{3} [-0.245 (1) \phi_4 - 0.228 (0.963) \phi_2 - 0.228 (0.963) \phi_2]$$

pero : $\theta_{25} = \theta_{26} = 0$ (empotramiento)

$$\phi_3 = -0.245 (\theta_{16} + \theta_{21}) - 0.408 (\theta_{18} + \theta_{22}) - 0.228 (\theta_{19} + \theta_{20} + \theta_{26}) + \frac{2}{3} [-0.245 \phi_4 - 0.228 (0.963) (2) \phi_2]$$

$$\phi_3 = -0.245 (\theta_{16} + \theta_{21} + \frac{2}{3} \phi_4) - 0.408 (\theta_{18} + \theta_{22}) - 0.228 (\theta_{19} + \theta_{20} + 1.284 \phi_2)$$

$$\phi_2 = v_{21,23} (\theta_{21} + \theta_{23}) + v_{22,24} (\theta_{22} + \theta_{24}) + v_{19,25} (\theta_{19} + \theta_{25}) + v_{20,26} (\theta_{20} + \theta_{26}) + \frac{2}{3} [v_{19,25} C_{19,25} \phi_3 + v_{20,26} C_{20,26} \phi_3]$$

$$\phi_2 = -0.471 (\theta_{21} + \theta_{23}) - 0.201 (\theta_{22} + \theta_{24}) - 0.423 (\theta_{19} + \theta_{25}) - 0.423 (\theta_{20} + \theta_{26}) + \frac{2}{3} [-0.423 (0.963 \phi_1) - 0.423 (0.963) \phi_1]$$

$$\phi_2 = -0.471 (\theta_{21} + \theta_{23}) - 0.201 (\theta_{22} + \theta_{24}) - 0.423 (\theta_{19} + \theta_{25}) - 0.423 (\theta_{20} + \theta_{26}) - 0.423 \left(\frac{2}{3}\right) (0.963) (2 \phi_1)$$

pero : $\theta_{23} = \theta_{24} = \theta_{25} = \theta_{26} = 0$ (empotramiento)

$$\phi_2 = -0.471 (\theta_{21}) - 0.201 \theta_{22} - 0.423 (\theta_{19} + \theta_{20}) + \frac{2}{3} (0.963) (2 \phi_1)$$

$$\phi_2 = -0.471 \theta_{21} - 0.201 \theta_{22} - 0.423 (\theta_{19} + \theta_{20}) + 1.284 \phi_1$$

G I R O S						G I R O S				
NUDO 1	NUDO 2	NUDO 3	NUDO 4	NUDO 5	NUDO 6	NUDO 7	NUDO 8	NUDO 9	NUDO 10	NUDO 11
E MI / 2 KI.			E MI / 2 KI			E MI / 2 KI.				
- 0.709	+ 0.537	0	- 0.120	+ 0.149	- 0.559	+ 0.358	0	- 0.087	+ 0.098	- 0.401
E θ_1	E θ_2	E θ_3	E θ_4	E θ_5	E θ_6	E θ_7	E θ_8	E θ_9	E θ_{10}	E θ_{11}
- 0.709	+ 0.720	- 0.221	- 0.098	+ 0.178	- 0.459	+ 0.462	- 0.104	- 0.069	+ 0.088	- 0.355
- 0.863	+ 0.880	- 0.238	- 0.116	+ 0.181	- 0.449	+ 0.510	- 0.134	- 0.060	+ 0.092	- 0.354
- 0.911	+ 0.932	- 0.238	- 0.121	+ 0.178	- 0.444	+ 0.508	- 0.133	- 0.067	+ 0.088	- 0.373
- 0.927	+ 0.951	- 0.234	- 0.122	+ 0.176	- 0.435	+ 0.500	- 0.132	- 0.069	+ 0.086	- 0.383
- 0.933	+ 0.959	- 0.230	- 0.124	+ 0.175	- 0.430	+ 0.495	- 0.131	- 0.071	+ 0.085	- 0.388
- 0.936	+ 0.963	- 0.226	- 0.124	+ 0.174	- 0.427	+ 0.492	- 0.131	- 0.071	+ 0.085	- 0.391
- 0.937	+ 0.965	- 0.224	- 0.124	+ 0.174	- 0.425	+ 0.490	- 0.131	- 0.072	+ 0.085	- 0.392
- 0.937	+ 0.966	- 0.222	- 0.124	+ 0.174	- 0.424	+ 0.490	- 0.131	- 0.072	+ 0.085	- 0.393
- 0.937	+ 0.967	- 0.221	- 0.124	+ 0.174	- 0.423	+ 0.490	- 0.131	- 0.072	+ 0.085	- 0.394
- 0.937	+ 0.967	- 0.220	- 0.124	+ 0.174	- 0.423	+ 0.489	- 0.131	- 0.072	+ 0.085	- 0.394
- 0.937	+ 0.967	- 0.220	- 0.124	+ 0.174	- 0.423	+ 0.489	- 0.131	- 0.072	+ 0.085	- 0.394

G I R O S						G I R O S				
NUDO 12	NUDO 13	NUDO 14	NUDO 15	NUDO 16	NUDO 17	NUDO 18	NUDO 19	NUDO 20	NUDO 21	NUDO 22
E MI / 2 KI			E MI / 2 KI				E MI / 2 KI			
+ 0.358	0	- 0.065	+ 0.070	- 0.313	+ 0.358	0	- 0.052	+ 0.055	- 0.267	+ 0.354
E θ_{12}	E θ_{13}	E θ_{14}	E θ_{15}	E θ_{16}	E θ_{17}	E θ_{18}	E θ_{19}	E θ_{20}	E θ_{21}	E θ_{22}
+ 0.426	- 0.096	- 0.055	+ 0.070	- 0.246	+ 0.410	- 0.092	- 0.039	+ 0.046	- 0.221	+ 0.412
+ 0.463	- 0.207	- 0.046	+ 0.064	- 0.254	+ 0.452	- 0.176	- 0.043	+ 0.048	- 0.268	+ 0.441
+ 0.476	- 0.250	- 0.055	+ 0.050	- 0.268	+ 0.458	- 0.205	- 0.055	+ 0.037	- 0.278	+ 0.438
+ 0.480	- 0.272	- 0.059	+ 0.043	- 0.281	+ 0.456	- 0.219	- 0.063	+ 0.028	- 0.282	+ 0.432
+ 0.481	- 0.285	- 0.062	+ 0.039	- 0.289	+ 0.453	- 0.227	- 0.068	+ 0.022	- 0.235	+ 0.428
+ 0.482	- 0.292	- 0.064	+ 0.036	- 0.293	+ 0.451	- 0.231	- 0.072	+ 0.018	- 0.287	+ 0.425
+ 0.483	- 0.296	- 0.065	+ 0.035	- 0.296	+ 0.449	- 0.234	- 0.074	+ 0.015	- 0.288	+ 0.423
+ 0.483	- 0.298	- 0.066	+ 0.034	- 0.297	+ 0.448	- 0.236	- 0.075	+ 0.014	- 0.289	+ 0.423
+ 0.484	- 0.299	- 0.066	+ 0.034	- 0.297	+ 0.448	- 0.237	- 0.076	+ 0.013	- 0.290	+ 0.422
+ 0.483	- 0.300	- 0.066	+ 0.033	- 0.298	+ 0.447	- 0.237	- 0.076	+ 0.012	- 0.290	+ 0.422
+ 0.483	- 0.300	- 0.067	+ 0.033	- 0.298	+ 0.447	- 0.238	- 0.076	+ 0.012	- 0.290	+ 0.422

D E S P L A Z A M I E N T O S								
NIVEL 10	NIVEL 9	NIVEL 8	NIVEL 7	NIVEL 6	NIVEL 5	NIVEL 4	NIVEL 3	NIVEL 2
E Qn hr / 2 Kn				E Qn hr / 2 Kn				
E ϕ_{10}	E ϕ_9	E ϕ_8	E ϕ_7	E ϕ_6	E ϕ_5	E ϕ_4	E ϕ_3	E ϕ_2
- 0.138	+ 0.027	- 0.103	- 0.060	+ 0.020	+ 0.010	- 0.023	- 0.014	+ 0.026
- 0.212	+ 0.055	- 0.113	- 0.070	+ 0.056	+ 0.040	- 0.001	+ 0.011	+ 0.029
- 0.243	+ 0.069	- 0.110	- 0.078	+ 0.079	+ 0.063	+ 0.013	+ 0.032	+ 0.033
- 0.258	+ 0.074	- 0.105	- 0.083	+ 0.093	+ 0.078	+ 0.022	+ 0.046	+ 0.036
- 0.267	+ 0.075	- 0.102	- 0.086	+ 0.101	+ 0.088	+ 0.028	+ 0.054	+ 0.038
- 0.272	+ 0.075	- 0.100	- 0.087	+ 0.105	+ 0.093	+ 0.032	+ 0.059	+ 0.041
- 0.275	+ 0.075	- 0.099	- 0.088	+ 0.107	+ 0.097	+ 0.035	+ 0.062	+ 0.042
- 0.277	+ 0.074	- 0.099	- 0.089	+ 0.108	+ 0.098	+ 0.036	+ 0.063	+ 0.043
- 0.279	+ 0.073	- 0.098	- 0.089	+ 0.109	+ 0.099	+ 0.037	+ 0.064	+ 0.044
- 0.279	+ 0.073	- 0.098	- 0.089	+ 0.110	+ 0.100	+ 0.038	+ 0.064	+ 0.044
- 0.279	+ 0.073	- 0.098	- 0.089	+ 0.110	+ 0.100	+ 0.038	+ 0.064	+ 0.044

4). Momentos Finales

$$M_{ik} = \bar{M}_{ik} + 2 K_{ik} \theta_i + K_{ik} \theta_k + K_{ik} \psi_{ik}$$

$$\psi_{ik} = C_{ik} \phi_n$$

NUDO	BARRA	K _{ik}	2K _{ik}	θ _i	θ _k	φ _n	C _{ik}	ψ _{ik}	\bar{M}_{ik}	2K _{ik} θ _i	K _{ik} θ _k	K _{ik} ψ _{ik}	M _{ik}
1	1-2	5.3	10.6	- 0.937	+ 0.967	-----	-	-----	+ 11.056	- 9.932	+ 5.125	-----	+ 6.249
	1-6	2.5	5	- 0.937	- 0.423	- 0.279 + 0.073	1 1	- 0.279 + 0.073	-----	- 4.685	- 1.058	- 0.698 + 0.183	- 6.258
2	2-1	5.3	10.6	+ 0.967	- 0.937	-----	-	-----	- 11.056	+10.250	- 4.966	-----	- 5.772
	2-3	5	10	+ 0.967	- 0.220	- 0.279	2	- 0.558	-----	+ 9.670	- 1.100	- 2.790	+ 5.780
3	3-2	5	10	- 0.220	+ 0.967	- 0.279	2	- 0.558	-----	- 2.200	+ 4.835	- 2.790	- 0.155
	3-4	1.5	3	- 0.220	- 0.124	-----	-	-----	-----	- 0.660	- 0.186	-----	- 0.846
	3-7	5	10	- 0.220	+ 0.489	+ 0.073	2	+ 0.146	-----	- 2.200	+ 2.445	+ 0.730	+ 0.975
4	4-3	1.5	3	- 0.124	- 0.220	-----	-	-----	-----	- 0.372	- 0.330	-----	- 0.702
	4-5	3.7	7.4	- 0.124	+ 0.174	-----	-	-----	+ 1.853	- 0.918	+ 0.644	-----	+ 1.579
	4-9	2.5	5	- 0.124	- 0.072	+ 0.073 - 0.098	1 1	+ 0.073 - 0.098	-----	- 0.620	- 0.180	+ 0.183 - 0.245	- 0.862

NUDO	BARRA	Kik	2Kik	θ_i	θ_k	ϕ_n	Cik	ψ_{ik}	\bar{M}_{ik}	2Kik θ_i	Kik θ_k	Kik ψ_{ik}	Mik
5	5-4	3.7	7.4	+ 0.174	- 0.124	----	-	----	- 1.853	+ 1.288	- 0.459	----	- 1.024
	5-10	2.5	5	+ 0.174	+ 0.085	+ 0.073 - 0.098	1 1	+ 0.073 - 0.098	----	+ 0.870	+ 0.213	+ 0.183 - 0.245	+ 1.021
6	6-1	2.5	5	- 0.423	- 0.937	- 0.279 + 0.073	1 1	- 0.279 + 0.073	----	- 2.115	- 2.343	- 0.698 + 0.183	- 4.973
	6-7	3.9	7.8	- 0.423	+ 0.489	----	-	----	+ 9.950	- 3.299	+ 1.907	----	+ 8.558
	6-11	2.5	5	- 0.423	- 0.394	- 0.098 - 0.089	1 1	- 0.098 - 0.089	----	- 2.115	- 0.985	- 0.245 - 0.223	- 3.568
7	7-6	3.9	7.8	+ 0.489	- 0.423	----	-	----	- 9.950	+ 3.814	- 1.650	----	- 7.786
	7-3	5	10	+ 0.489	- 0.220	+ 0.073	2	+ 0.146	----	+ 4.890	- 1.100	+ 0.730	+ 4.520
	7-8	5	10	+ 0.489	- 0.131	- 0.098	2	- 0.196	----	+ 4.890	- 0.655	- 0.980	+ 3.255
8	8-7	5	10	- 0.131	+ 0.489	- 0.098	2	- 0.196	----	- 1.310	+ 2.445	- 0.980	+ 0.155
	8-9	1.1	2.2	- 0.131	- 0.072	----	-	----	----	- 0.288	- 0.079	----	- 0.367
	8-12	5	10	- 0.131	+ 0.483	- 0.089	2	- 0.178	----	- 1.310	+ 2.415	- 0.890	+ 0.215
9	9-8	1.1	2.2	- 0.072	- 0.131	----	-	----	----	- 0.158	- 0.144	----	- 0.302

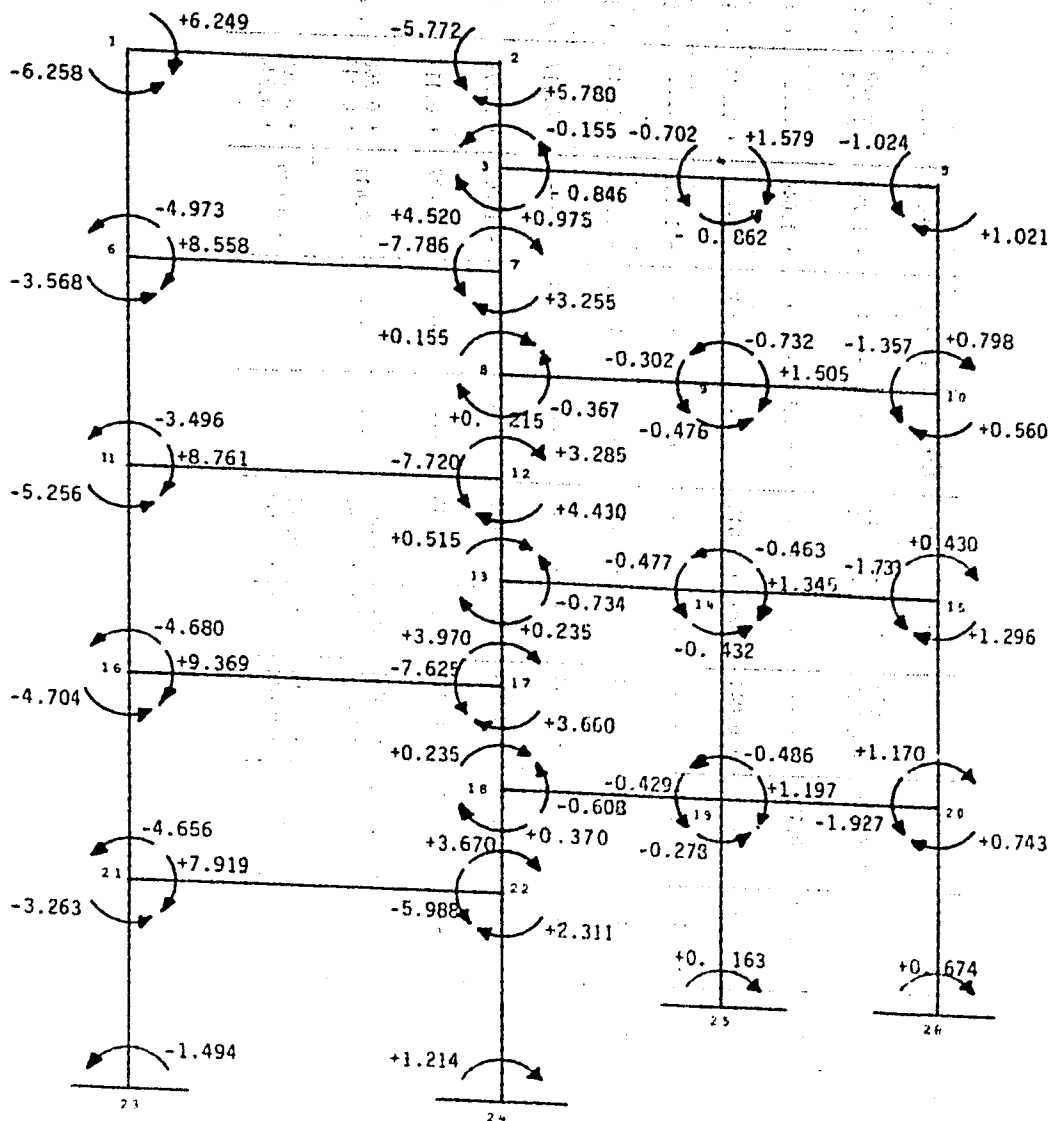
NUJO	BARRA	Kik	2Kik	θ_i	θ_k	ϕ_n	Cik	ψ_{ik}	\bar{M}_{ik}	2Kik θ_i	Kik θ_k	Kik ψ_{ik}	Mik
9	9-4	2.5	5	- 0.072	- 0.124	+ 0.073 - 0.098	1 1	+ 0.073 - 0.098	----	- 0.360	- 0.310	+ 0.183 - 0.245	- 0.732
	9-10	3.8	7.6	- 0.072	+ 0.085	----	-	-----	+ 1.729	- 0.547	+ 0.323	----	+ 1.505
	9-14	2.5	5	- 0.072	- 0.067	- 0.089 + 0.110	1 1	- 0.089 + 0.110	-----	- 0.360	- 0.168	- 0.223 + 0.275	- 0.476
10	10-9	3.8	7.6	+ 0.085	- 0.072	----	-	----	- 1.729	+ 0.646	- 0.274	----	- 1.357
	10-5	2.5	5	+ 0.085	+ 0.174	+ 0.073 - 0.098	1 1	+ 0.073 - 0.098	----	+ 0.425	+ 0.435	+ 0.183 - 0.245	+ 0.798
	10-15	2.5	5	+ 0.085	+ 0.033	- 0.089 + 0.110	1 1	- 0.089 + 0.110	----	+ 0.425	+ 0.083	- 0.223 + 0.275	+ 0.560
11	11-6	2.5	5	- 0.394	- 0.423	- 0.098 - 0.099	1 1	- 0.098 - 0.089	----	- 1.970	- 1.058	- 0.245 - 0.223	- 3.496
	11-12	3.9	7.8	- 0.394	+ 0.483	----	-	-----	+ 9.950	- 3.073	+ 1.884	----	+ 8.761
	11-16	6	12	- 0.394	- 0.298	+ 0.110 + 0.100	1 1	+ 0.110 + 0.100	----	- 4.728	- 1.788	+ 0.660 + 0.600	- 5.256
12	12-11	3.9	7.8	+ 0.483	- 0.394	----	-	-----	- 9.950	+ 3.767	- 1.537	----	- 7.720
	12-8	5	10	+ 0.483	- 0.131	- 0.089	2	- 0.178	----	+ 4.830	- 0.655	- 0.890	+ 3.285
	12-13	5	10	+ 0.483	- 0.300	+ 0.110	2	+ 0.220	----	+ 4.830	- 1.500	+ 1.100	+ 4.430

NUDO	BARRA	Kik	2Kik	θ_i	ϵ_k	ϕ_n	Cik	ψ_{ik}	\bar{M}_{ik}	2Kik θ_i	Kik ϵ_k	Kik ψ_{ik}	Mik
13	13-12	5	10	- 0.300	+ 0.483	+ 0.110	2	+ 0.220	----	- 3.000	+ 2.415	+ 1.100	+ 0.515
	13-14	1.1	2.2	- 0.300	- 0.067	----	-	----	----	- 0.660	- 0.074	----	- 0.734
	13-17	5	10	- 0.300	+ 0.447	+ 0.100	2	+ 0.200	----	- 3.000	+ 2.235	+ 1.000	+ 0.235
14	14-13	1.1	2.2	- 0.067	- 0.300	----	-	----	----	- 0.147	- 0.330	----	- 0.477
	14-9	2.5	5	- 0.067	- 0.072	- 0.089 + 0.110	1 1	- 0.089 + 0.110	----	- 0.335	- 0.180	- 0.223 + 0.275	- 0.463
	14-15	3.8	7.6	- 0.067	+ 0.033	----	-	----	+ 1.729	- 0.509	+ 0.125	----	+ 1.345
	14-19	6	12	- 0.067	- 0.076	+ 0.100 + 0.038	1 1	+ 0.100 + 0.038	----	- 0.804	- 0.456	+ 0.600 + 0.228	- 0.432
15	15-14	3.8	7.6	+ 0.033	- 0.067	----	-	----	- 1.729	+ 0.251	- 0.255	----	- 1.733
	15-10	2.5	5	+ 0.033	+ 0.085	- 0.089 + 0.110	1 1	- 0.089 + 0.110	----	+ 0.165	+ 0.213	- 0.223 + 0.275	+ 0.430
	15-20	6	12	+ 0.033	+ 0.012	+ 0.100 + 0.038	1 1	+ 0.100 + 0.038	----	+ 0.396	+ 0.072	+ 0.600 + 0.228	+ 1.296
16	16-11	6	12	- 0.298	- 0.394	+ 0.110 + 0.100	1 1	+ 0.110 + 0.100	----	- 3.576	- 2.364	+ 0.660 + 0.600	- 4.680
	16-17	3.9	7.8	- 0.298	+ 0.447	----	-	----	+ 9.950	- 2.324	+ 1.743	----	+ 9.369
	16-21	6	12	- 0.298	- 0.290	+ 0.038 + 0.064	1 1	+ 0.038 + 0.064	----	- 3.576	- 1.740	+ 0.228 + 0.384	- 4.704
17	17-16	3.9	7.8	+ 0.447	- 0.298	----	-	----	- 9.950	+ 3.487	- 1.162	----	- 7.625

NUDO	BARRA	kik	2Kik	θ_i	θ_k	ϕ_n	Cik	ψ_{ik}	Mik	2Kik θ_i	Kik θ_k	Kik ψ_{ik}	Mik
17	17-13	5	10	+ 0.447	- 0.300	+ 0.100	2	+ 0.200	----	+ 4.470	- 1.500	+ 1.000	+ 3.970
	17-18	5	10	+ 0.447	- 0.238	+ 0.038	2	+ 0.076	----	+ 4.470	- 1.190	+ 0.380	+ 3.660
18	18-17	5	10	- 0.238	+ 0.447	+ 0.038	2	+ 0.076	----	- 2.380	+ 2.235	+ 0.380	+ 0.235
	18-19	1.1	2.2	- 0.238	- 0.076	----	-	----	----	- 0.524	- 0.084	----	- 0.608
	18-22	5	10	- 0.238	+ 0.422	+ 0.064	2	+ 0.128	----	- 2.380	+ 2.110	+ 0.640	+ 0.370
19	19-18	1.1	2.2	- 0.076	- 0.238	----	-	----	----	- 0.167	- 0.262	----	- 0.429
	19-14	6	12	- 0.076	- 0.067	+ 0.100 + 0.038	1 1	+ 0.100 + 0.038	----	- 0.912	- 0.402	+ 0.600 + 0.228	- 0.486
	19-20	3.8	7.6	- 0.076	+ 0.012	----	-	----	+ 1.729	- 0.578	+ 0.046	----	+ 1.197
	19-25	5.8	11.6	- 0.076	----	+ 0.064 + 0.044	0.963 0.963	+ 0.062 + 0.042	----	- 0.882	----	+ 0.360 + 0.244	- 0.278
20	20-19	3.8	7.6	+ 0.012	- 0.076	----	-	----	- 1.729	+ 0.091	- 0.289	----	- 1.927
	20-15	6	12	+ 0.012	+ 0.033	+ 0.100 + 0.038	1 1	+ 0.100 + 0.038	----	+ 0.144	+ 0.198	+ 0.600 + 0.228	+ 1.170
	20-26	5.8	11.6	+ 0.012	----	+ 0.064 + 0.044	0.963 0.963	+ 0.062 + 0.042	----	+ 0.139	----	+ 0.360 + 0.244	+ 0.743

NUDO	BARRA	Kik	2Kik	θ_i	θ_k	ϕ_n	Cik	ψ_k	$\bar{N}ik$	2Kik θ_i	Kik θ_k	Kik ψ_k	Mik
21	21-16	6	12	- 0.290	- 0.298	+ 0.038 + 0.064	1 1	+ 0.038 + 0.064	----	- 3.480	- 1.788	+ 0.228 + 0.384	- 4.656
	21-22	3.9	7.8	- 0.290	+ 0.422	----	-	----	+ 8.535	- 2.262	+ 1.646	----	+ 7.919
	21-23	6.1	12.2	- 0.290	----	+ 0.044	1.020	+ 0.045	----	- 3.538	----	+ 0.275	- 3.263
22	22-21	3.9	7.8	+ 0.422	- 0.290	----	-	----	- 8.149	+ 3.292	- 1.131	----	- 5.988
	22-18	5	10	+ 0.422	- 0.238	+ 0.064	2	+ 0.128	----	+ 4.220	- 1.190	+ 0.640	+ 3.670
	22-24	2.6	5.2	+ 0.422	----	+ 0.044	1.020	+ 0.045	----	+ 2.194	----	+ 0.117	+ 2.311
23	23-21	6.1	12.2	----	- 0.290	+ 0.044	1.020	+ 0.045	----	----	- 1.769	+ 0.275	- 1.494
24	24-22	2.6	5.2	----	+ 0.422	+ 0.044	1.020	+ 0.045	----	----	+ 1.097	+ 0.117	+ 1.214
25	25-19	5.8	11.6	----	- 0.076	+ 0.064 + 0.044	0.963 0.963	+ 0.062 + 0.042	----	----	- 0.441	+ 0.360 + 0.244	+ 0.163
26	26-20	5.8	11.6	----	+ 0.012	+ 0.064 + 0.044	0.963 0.963	+ 0.062 + 0.042	----	----	+ 0.070	+ 0.360 + 0.244	+ 0.674

Momentos Finales de Barra sobre Nudo

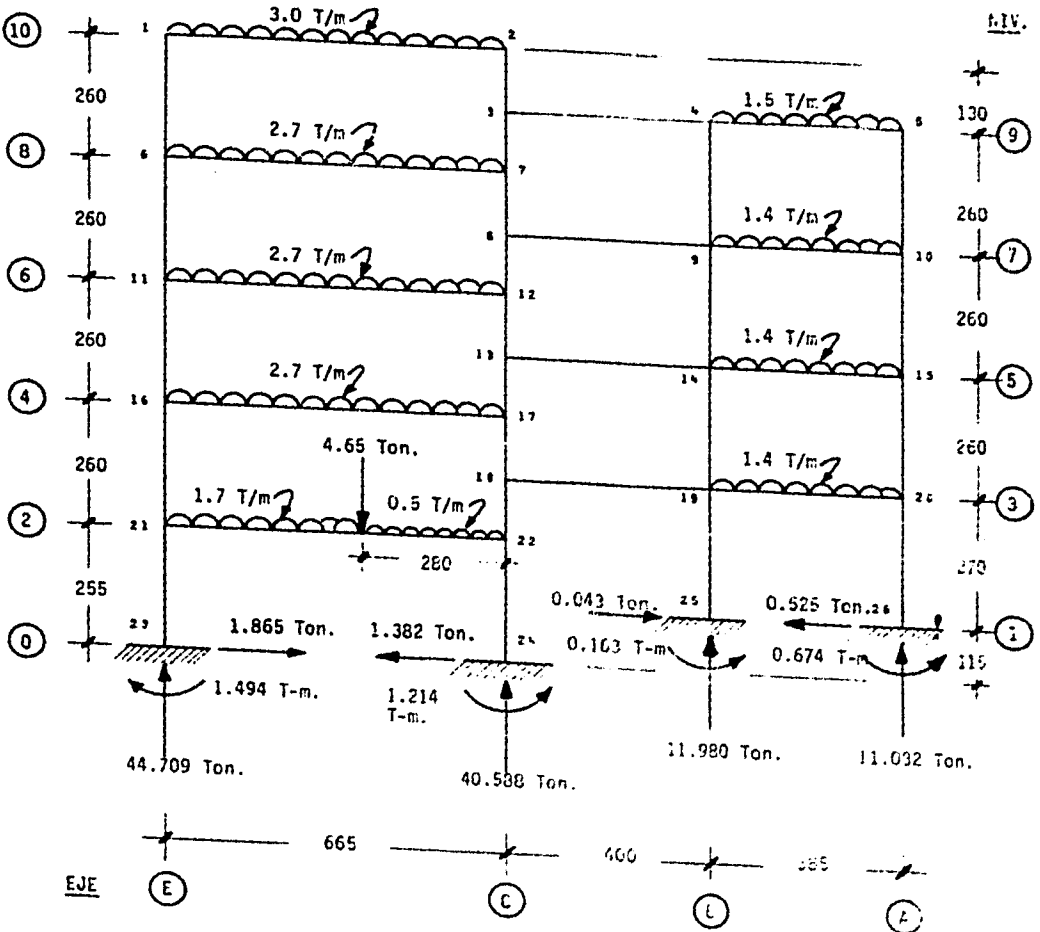


Momentos en Ton-m.

NIV.

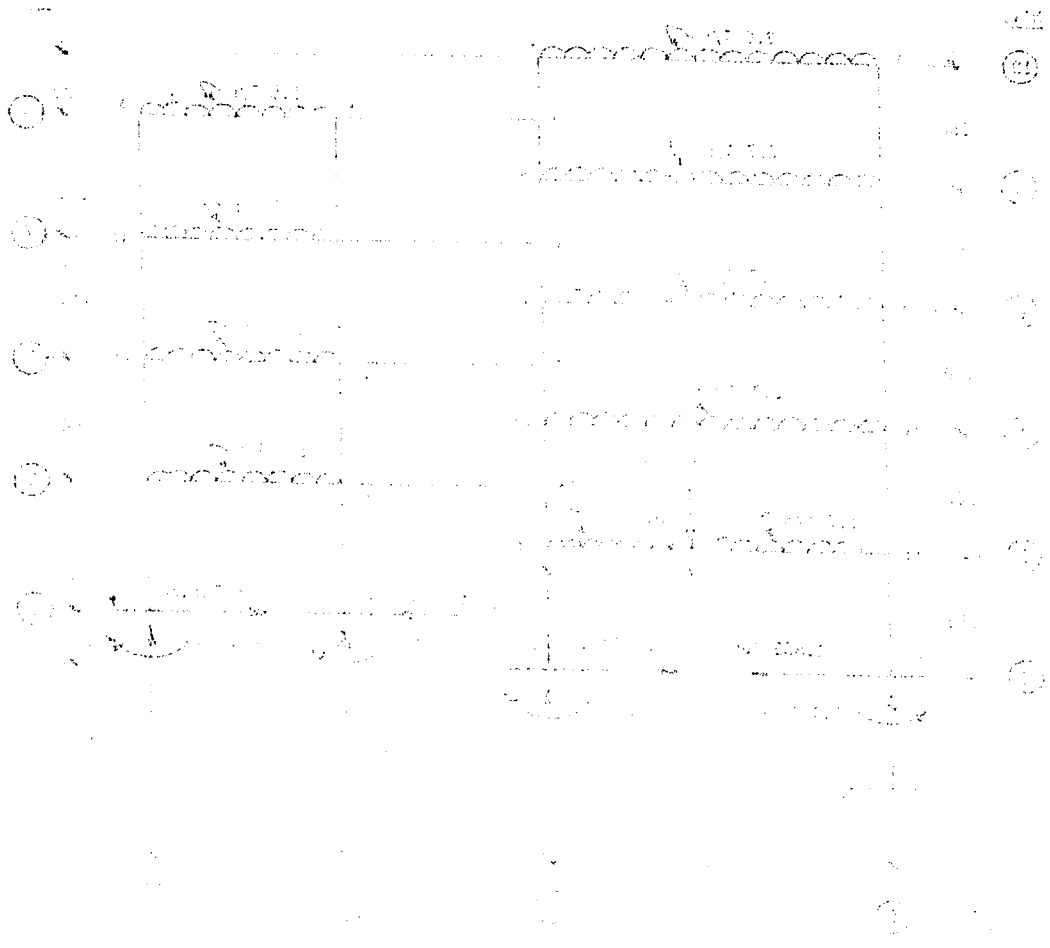
5). Diagrama de Cuerpo Libre

NIV.



M A R C O F E J E J V G

Acotaciones en cm.



CAPITULO SEGUNDO

ANALISIS POR CARGAS VERTICALES.

2.1.) Conceptos Generales.

En base al análisis por cargas verticales, se pueden determinar los distintos valores de los elementos mecánicos (Momentos Flexionantes Fuerzas Cortantes y Normales), generados en todos y cada uno de los miembros que integran la estructura de un edificio, por la combinación de Carga Muerta (CM) más Carga Viva (CV).

Las cargas a considerar, son las obtenidas anteriormente bajo la denominación de Cargas Totales para Análisis por Cargas Verticales.

Por otra parte, la estructura del edificio, está constituida por losas planas aligeradas, apoyadas sobre columnas. Por tal motivo, se regirá por lo indicado en el inciso : 4.3.- Losas, de las "Normas Técnicas Complementarias del Reglamento de Construcciones para el Distrito Federal", en su parte relativa al Diseño y Construcción de Estructuras de Concreto.

A continuación, se señalan algunos párrafos relativos a los Conceptos e Hipótesis, etc., mas relevantes, referentes a las Losas Planas :

4.3.6. Losas Planas.

a). Conceptos Generales.

Losas Planas son aquellas que transfieren la carga directamente a las columnas.

Pueden ser macizas de peralte constante o aligeradas por algún medio (bloques de material ligero, moldes para formar alveolos en la losa, etc.)

La losa puede apoyar directamente sobre las columnas o a través de ábacos, capiteles o una combinación de ambos.

En ocasiones se utiliza una trabe de borde en la periferia de la losa. En otros casos los bordes de la losa se apoyan sobre muros.

En cada tablero de una losa plana se distinguen tres franjas en cada dirección. La central de ancho igual a la mitad del claro del tablero en la dirección en que se mide el ancho, y las extremas o de columnas, cada una de ancho igual a un cuarto de dicho tablero.

b). Hipótesis para el Análisis.

Los momentos flexionantes y fuerzas cortantes pueden obtenerse por medio de métodos reconocidos de análisis-elástico considerando las siguientes hipótesis.

1.-Se supone que la estructura se divide en marcos ortogonales, cada uno de ellos formado por una fila de columnas y franjas de losa con ancho igual a la distancia entre líneas medias de los tableros adyacentes al eje de columnas considerado. Al analizar los marcos, en cada dirección deben usarse las cargas totales que actúan en las losas.

2.-Al calcular las rigideces relativas de los miembros, el momento de inercia de cualquier sección (de columnas o de trabes), puede tomarse como el de la sección de concreto no agrietada y sin considerar el refuerzo.

Debe tenerse presente la variación del momento de inercia a lo largo de los ejes de los miembros, debido a capiteles y ábacos. También se tendrán en cuenta los efectos de trabes y agujeros.

c). Distribución de los Momentos en las Franjas.

Los momentos flexionantes en secciones críticas a lo largo de las losas de cada marco se distribuirán entre las franjas de columna y las franjas centrales, de acuerdo con los porcentajes indicados en la tabla siguiente :

	Franjas en Columna	Franjas Centrales
Momentos Positivos.	60	40
Momentos Negativos.	75	25

Para el dimensionamiento por flexión en las secciones críticas cercanas a los apoyos, deberá compararse la fracción $(1 - \alpha)$ que debe transmitirse por flexión en un ancho igual a $c_2 + 2h$, centrado con el eje de columnas, contra los porcentajes señalados en la tabla, y para los momentos positivos al centro del claro, se distribuirán conforme se indica en la mencionada tabla.

2.2). Método de Kani.

Para el análisis de los marcos, que en ambas direcciones componen la estructura del edificio; se usará el método iterativo de Gaspar Kani, del cual, se obtendrán sus expresiones generales.

2.2.1.). Definiciones.

- M_{ik} = Momento final de barra por el efecto de las cargas en el extremo "i" de la barra "k".
- R_{ik} = Momento de empotramiento debido a la carga lateral en el extremo "i" de la barra "k".

$$M'_{ik} = \frac{2EI}{L} \theta_i$$

Momento en el extremo "i" de la barra ik (debido al giro θ_i).

$$M'_{ki} = \frac{2EI}{L} \theta_k$$

Momento en el extremo "k" de la barra ik (debido al giro θ_k).

$$M''_{ik} = \frac{6EI}{L^2} \Delta$$

Momento en el extremo "i" de la barra ik (debido al desplazamiento lineal relativo (Δ) de "k" con respecto a "i").

$$m''_{ik} = \frac{6EI}{L^2} \delta$$

Momento parcial en el extremo "i" de la barra (continua) ik (debido al desplazamiento lineal relativo "parcial" δ).

Q

Cortante de entrepiso.

T_{ik}

Cortante de la barra ik, no sujeta a carga externa intermedia.

$$M_i = \sum M'_{ik}$$

Momento desequilibrado en un nudo determinado.

$$Q = - \sum T_{ik}$$

En un corte de equilibrio de cortantes determinado.

$$M''_{ik} = \sum m''_{ik}$$

De una misma barra.

$$K_{ik} = \frac{I}{L}$$

Rigidéz relativa de la barra ik.

$$K_i = \sum K_{ik}$$

Rigidéz relativa del nudo i.

$$C_{ik} = \frac{h_r}{h_{ik}}$$

Coefficiente de reducción para columnas de diferente altura pero de sección constante.

$\mu_{ik} = \frac{1}{2} f_{ik}$ del factor de distribución angular de la barra ik .

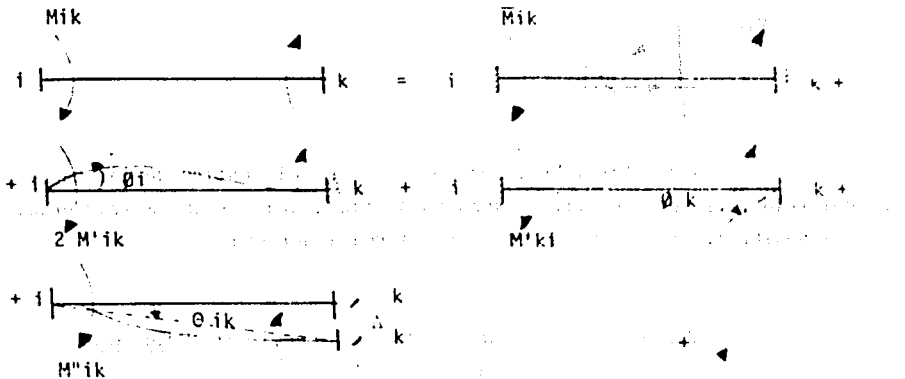
h_r Altura arbitraria de columnas en un piso r (por ejemplo, la que aparece con más frecuencia).

h_{ik} Altura real de la columna ik en el piso r .

ν_{ik} Factor de distribución lineal de la barra ik .

$M_r = \frac{Q_r h_r}{3}$ Momento de piso.

2.2.2.) Convención de Signos.



Para el método de Kani, se suponen positivos los momentos de barra sobre nudo (b.s.n), cuando tienen el sentido de las manecillas del reloj. Por lo tanto, los giros de los nudos, son negativos en el sentido de las manecillas del reloj y positivos en sentido contrario.

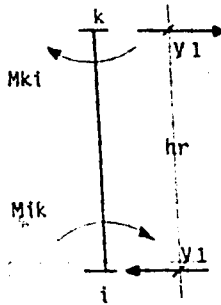
Sin embargo, como el término de la última viga desplazada (desplazamiento lineal relativo), es positivo, resulta que la rotación...

cuerda, es positiva en el sentido de las manecillas del reloj.

En fin, observese que la convención de signos adoptada, es congruente con la ecuación que permite obtener los momentos finales de barra sobre nudo (b.s.n), de una barra cualquiera y que es :

$$M_{ik} = \bar{M}_{ik} + 2 M'_{ik} + M''_{ki} + M'''_{ik}$$

Por otra parte, se tiene que :



$$V_1 = \frac{M_{ik} + M_{ki}}{hr}$$

Ya que M_{ik} y M_{ki} , son positivos en el sentido de las manecillas del reloj, V_1 será positivo cuando su sentido, sea derecha a izquierda, y Q será negativo, si su sentido es de izquierda a derecha.

2.2.3.). Ecuación Fundamental del Pendiente-Deformación -- Transformada.

La Ecuación Transformada del Pendiente-Deformación, para barras no articuladas de sección transversal constante, es :

$$M_{ik} = \bar{M}_{ik} + 2 EK (2 \theta_i + \theta_k + 3 \theta_{ik})$$

Haciendo operaciones y considerando, que :

$$k = \frac{I}{L}$$


$$y \quad \theta_{1k} = \frac{\Delta}{L}$$

$$M_{1k} = \bar{M}_{1k} + 2 E \frac{I}{L} (2 \theta_1 + \theta_k + 3 \frac{\Delta}{L})$$

$$M_{1k} = \bar{M}_{1k} + \frac{4 EI}{L} \theta_1 + \frac{2 EI}{L} \theta_k + \frac{6 EI}{L^2} \Delta$$

$$M_{1k} = \bar{M}_{1k} + 2 (\frac{2 EI}{L} \theta_1) + \frac{2 EI}{L} \theta_k + \frac{6 EI}{L^2} \Delta$$

Tomando en cuenta las definiciones anteriores :

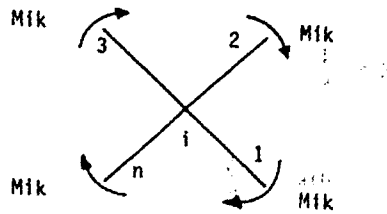
$$M_{1k} = \bar{M}_{1k} + 2 M'_{1k} + M'_{k1} + M''_{1k} \quad (I)$$

Esta ecuación, deberá aplicarse para obtener los momentos finales b.s.n. (barra sobre nudo), de cualquier barra en cualquier caso.

A). Ecuación para obtener la contribución angular : M'_{1k} .

a). Estructuras sin grados de libertad, o con contribución θ_1 neta nula ($M''_{1k} = 0$) (Giros únicamente).

Supongamos que el elemento de estructura



de estructura, el elemento de estructura

$$\sum M_{ik} = 0$$

Tantos sumandos, cuantas barras concurren al nudo i.

Por lo tanto :

$$\sum (M_{ik} + 2 M'_{ik} + M'_{ki}) = 0$$

$$\sum M_{ik} + 2 \sum M'_{ik} + \sum M'_{ki} = 0$$

$$0 \text{ sea } M_i$$

$$M_i + 2 \sum M'_{ik} + \sum M'_{ki} = 0$$

Despejando :

$$2 \sum M'_{ik} = -M_i - \sum M'_{ki}$$

$$\sum M'_{ik} = -\frac{1}{2} (M_i + \sum M'_{ki}) \quad (1)$$

Según la definición :

$$M'_{ik} = \frac{2EI}{L} \theta_i = 2EK\theta_i \quad (2)$$

Por lo tanto :

$$\Sigma M'_{ik} = 2EK_1\theta_i + 2EK_2\theta_i + \dots +$$

$$+ 2E K_n \theta_i$$

$$\Sigma M'_{ik} = \theta_i \Sigma 2EK$$

$$\therefore \theta_i = \frac{\Sigma M'_{ik}}{2E\Sigma K} \quad (3)$$

Sustituyendo(3)en(2), se tiene :

$$M'_{ik} = 2EK \frac{\Sigma M'_{ik}}{2E\Sigma K} = \frac{K}{\Sigma K} \Sigma M'_{ik}$$

o sea :

$$M'_{ik} = \frac{K}{\Sigma K} \Sigma M'_{ik} \quad (4)$$

Sustituyendo(1)en(4) se tiene :

$$M'_{ik} = \frac{K}{\Sigma K} \left(-\frac{1}{2} (M_i + \Sigma M'_{ki}) \right)$$

Finalmente :

$$M'_{ik} = -\frac{1}{2} \frac{K}{\Sigma K} (M_i + \Sigma M'_{ki})$$

Como sabemos que :

(S)

$$\mu_{ik} = -\frac{1}{2} \frac{K}{\Sigma K}$$

Se tendrá :

$$M'_{ik} = \mu_{ik} \{ M_i + \Sigma M'_{ki} \} \quad (II)$$

b). Estructuras con grados de libertad (desplazamientos);
es decir, con contribuciones lineales.

La ecuación fundamental (I), queda :

$$\Sigma M_{ik} = 0$$

$$\Sigma \{ \bar{M}_{ik} + 2 M'_{ik} + M'_{ki} + M''_{ik} \} = 0$$

$$\Sigma \bar{M}_{ik} + 2 \Sigma M'_{ik} + \Sigma M'_{ki} + \Sigma M''_{ik} = 0$$

0 sea :

$$M_i + 2 \Sigma M'_{ik} + \Sigma M'_{ki} + \Sigma M''_{ik} = 0$$

Despejando :

$$2 \Sigma M'_{ik} = -M_i - \Sigma M'_{ki} - \Sigma M''_{ik}$$

$$\Sigma M'_{ik} = -\frac{1}{2} \{ M_i + \Sigma M'_{ki} + \Sigma M''_{ik} \} \quad (5)$$

Como la expresión (3), no se modifica, se puede sustituir (5) en (4) y obtener :

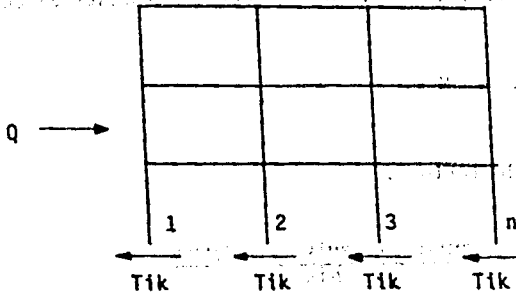
$$M'_{ik} = -\frac{1}{2} \frac{K}{\Sigma K} \{ M_i + \Sigma M'_{ki} + \Sigma M''_{ik} \}$$

Finalmente :

$$M'_{ik} = \mu_{ik} \{ M_i + \Sigma M'_{ki} + \Sigma M''_{ik} \} \quad (III)$$

B). Ecuación para obtener la contribución lineal M''_{ik} .

a). Estructura con columnas de igual altura en un entrepiso.



Equilibrio de Cortantes :

$$Q = -\Sigma Tik$$

Tantos sumandos cuantas barras intervienen en el corte de equilibrio.

Pero :

90. $T_{ik} = \frac{M_{ik} + M_{ki}}{h_{ik}}$

$$T_{ik} = \frac{M_{ik} + M_{ki}}{h_{ik}}$$

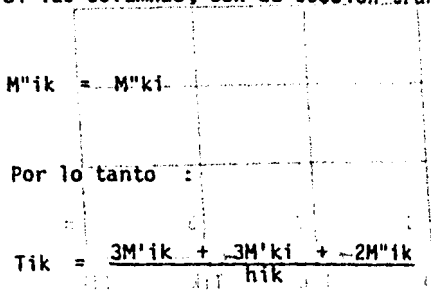
O sea :

$$T_{ik} = \frac{M_{ik} + 2M'_{ik} + M'_{ki} + M''_{ik} + M_{ki} + 2M'_{ki} + M'_{ik} + M''_{ki}}{h_{ik}}$$

No existiendo cargas intermedias.

$$M_{ik} = M_{ki} = 0$$

Si las columnas, son de seccion transversal constante :



$$M''_{ik} = -M''_{ki}$$

Por lo tanto :

$$T_{ik} = \frac{3M'_{ik} + 3M'_{ki} + 2M''_{ik}}{h_{ik}}$$

Tomando en cuenta la convencion de signos establecida :

$$Q = - \sum T_{ik} = - \sum \frac{3M'_{ik} + 3M'_{ki} + 2M''_{ik}}{h_{ik}}$$

$$Q = - \frac{3}{h_{ik}} \sum (M'_{ik} + M'_{ki} + \frac{2}{3} M''_{ik})$$

$$\frac{Qh_{ik}}{3} = - \sum (M'_{ik} + M'_{ki}) - \frac{2}{3} \sum M''_{ik}$$

Despejando :

$$\frac{2}{3} \Sigma M''_{ik} = -\frac{Q_{ik}}{3} \Sigma (M'_{ik} + M'_{ki})$$

$$\Sigma M''_{ik} = -\frac{3}{2} \left\{ \frac{Q_{ik}}{3} + \Sigma (M'_{ik} + M'_{ki}) \right\} \quad (6)$$

De la definición de M''_{ik} , se tiene :

$$M''_{ik} = \frac{6EI}{L^2} \Delta = \frac{6E}{L} \frac{I}{L} \Delta = \frac{6E}{L} K \Delta$$

O sea :

$$M''_{ik} = \frac{6EK}{h_{ik}} \Delta$$

Por lo tanto, (6) se puede reescribir:

Por lo tanto :

$$\Sigma M''_{ik} = \frac{6EK_1}{h_{ik}} \Delta + \frac{6EK_2}{h_{ik}} \Delta + \dots + \frac{6EK_n}{h_{ik}} \Delta$$

En ffn :

$$\Sigma M''_{ik} = \frac{6E\Delta}{h_{ik}} (K_1 + K_2 + \dots + K_n)$$

$$\Sigma M''_{ik} = \frac{6E\Delta}{h_{ik}} \Sigma K$$

Despejando :

$$\Delta = \frac{h_{ik}}{6E\Sigma K} \Sigma M''_{ik} \quad (7)$$

De la Definición :

$$M''_{ik} = \frac{6EK}{h^3k} A$$

Sustituyendo (7) en la expresión anterior :

$$M''_{ik} = \frac{6EK}{h^3k} \frac{h^3k}{6E\Sigma K} \Sigma M''_{ik}$$

O sea :

$$M''_{ik} = \frac{K}{\Sigma K} \Sigma M''_{ik} \quad (8)$$

Sustituyendo (6) en (8), se tiene :

$$M''_{ik} = \frac{K}{\Sigma K} \left\{ -\frac{3}{2} \left[\frac{Qh}{3} + \Sigma (M'_{ik} + M'_{ki}) \right] \right\}$$

Arreglando :

$$M''_{ik} = -\frac{3}{2} \frac{K}{\Sigma K} \left[\frac{Qh}{3} + \Sigma (M'_{ik} + M'_{ki}) \right]$$

Tomando en cuenta que :

$$v_{ik} = -\frac{3}{2} \frac{K}{\Sigma K}$$

y

$$M_r = \frac{Qh}{3} \quad (\text{Momento de piso});$$

Se tendrá que :

$$M''_{ik} = v_{ik} \left[M_r + \sum_r (M'_{ik} + M'_{ki}) \right] \quad (IV)$$

b). Estructuras con columnas de diferente altura en un entre piso.

Si se establece una altura ficticia de corte, denominada h_r y que se recomienda, sea la altura que más se repite en el corte; - para cada columna, se puede establecer una constante :

$$C_{ik} = \frac{h_r}{h_{ik}} \quad (9)$$

Recordando que :

$$T_{ik} = \frac{3M'_{ik} + 3M'_{ki} + 2M''_{ik}}{h_{ik}}$$

Multiplicando ambos miembros por h_r :

$$T_{ik} \cdot h_r = \frac{h_r}{h_{ik}} (3M'_{ik} + 3M'_{ki} + 2M''_{ik})$$

Sustituyendo (9) en la expresión anterior :

$$T_{ik} \cdot h_r = C_{ik} (3M'_{ik} + 3M'_{ki} + 2M''_{ik})$$

$$T_{ik} = \frac{C_{ik} (3M'_{ik} + 3M'_{ki} + 2M''_{ik})}{h_r}$$

Por otra parte :

... sup <math>T_{ik} >

$$Q = - \sum T_{ik}$$

$$(VI) \quad \left[\left(14''M + 21''M \right) \frac{\Delta}{3} + \gamma M \right] \Delta \omega = 21''M$$

$$Q = - \sum \frac{C_{ik} (3 M''_{ik} + 3 M''_{ki} + 2 M''_{ik})}{hr}$$

... de las cuales se deduce que...

$$Q = - \frac{3}{hr} \sum C_{ik} (M''_{ik} + M''_{ki} + \frac{2}{3} M''_{ik})$$

... entonces $\frac{Qhr}{3} = - \sum C_{ik} (M''_{ik} + M''_{ki}) - \sum \frac{2}{3} C_{ik} M''_{ik}$

Despejando :

$$\sum \frac{2}{3} C_{ik} M''_{ik} = - \frac{Qhr}{3} - \sum C_{ik} (M''_{ik} + M''_{ki})$$

$$\sum C_{ik} M''_{ik} = - \frac{3}{2} \left[\frac{Qhr}{3} + \sum C_{ik} (M''_{ik} + M''_{ki}) \right] \quad (10)$$

De la definición se desprende :

$$C_{ik} \cdot M''_{ik} = C_{ik} \frac{6EK}{h^3k} \Delta$$

$$\sum C_{ik} M''_{ik} = C_{ik} \frac{6EK_1}{h^3k} \Delta + C_{ik} \frac{6EK_2}{h^3k} \Delta + \dots + C_{ik} \frac{6EK_n}{h^3k} \Delta$$

Pero :

$$(11) \quad C_{1k} = \frac{hr}{hTK}$$

Por lo tanto :

$$h_{1k} = \frac{hr}{C_{1k}}$$

Sustituyendo valores :

$$\Sigma C_{1k} M''_{1k} = C_{1k} \frac{6EK_1}{hr} \Delta + C_{1k} \frac{6EK_2}{hr} \Delta$$

$$+ \dots + C_{1k} \frac{6EK_n}{hr} \Delta$$

$$\Sigma C_{1k} M''_{1k} = C_{1k}^2 \frac{6EK_1}{hr} \Delta + C_{1k}^2 \frac{6EK_2}{hr} \Delta +$$

$$+ \dots + C_{1k}^2 \frac{6EK_n}{hr} \Delta$$

$$\Sigma C_{1k} M''_{1k} = \frac{6E\Delta}{hr} (C_{1k}^2 K_1 + C_{1k}^2 K_2 + \dots + C_{1k}^2 K_n)$$

$$\Sigma C_{1k} M''_{1k} = \frac{6E\Delta}{hr} \Sigma C_{1k}^2 K$$

...

30

Despejando :

$$\Delta = \frac{hr}{6E \sum C_{ik}^2 K} \sum C_{ik} M''_{ik} \quad (11)$$

Por otra parte, se tiene que :

$$M''_{ik} = \frac{6EK}{h^2 K} \Delta = \frac{6EK}{hr} \Delta$$

$$M''_{ik} = \frac{C_{ik}}{hr} 6EK \Delta \quad (12)$$

Sustituyendo (11) en(12)

$$M''_{ik} = \frac{C_{ik}}{hr} \frac{6EK}{hr} \frac{hr}{6E \sum C_{ik}^2 K} \sum C_{ik} M''_{ik}$$

$$M''_{ik} = \frac{C_{ik} K}{\sum C_{ik}^2 K} \sum C_{ik} M''_{ik} \quad (13)$$

Sustituyendo (10) en (13)

$$M''_{ik} = \frac{C_{ik} K}{\sum C_{ik}^2 K} \left(-\frac{3}{2} \left[\frac{Qhr}{3} + \sum C_{ik} (M''_{ik} + M''_{ki}) \right] \right)$$

Arreglando :

$$M''_{ik} = -\frac{3}{2} \frac{C_{ik} K}{\sum C_{ik}^2 K} \left[\frac{Qhr}{3} + \sum C_{ik} (M''_{ik} + M''_{ki}) \right]$$

Tomando en cuenta que :

$$v_{ik} = - \frac{3}{2} \frac{C_{ik} K}{\sum C_{ik} K}$$

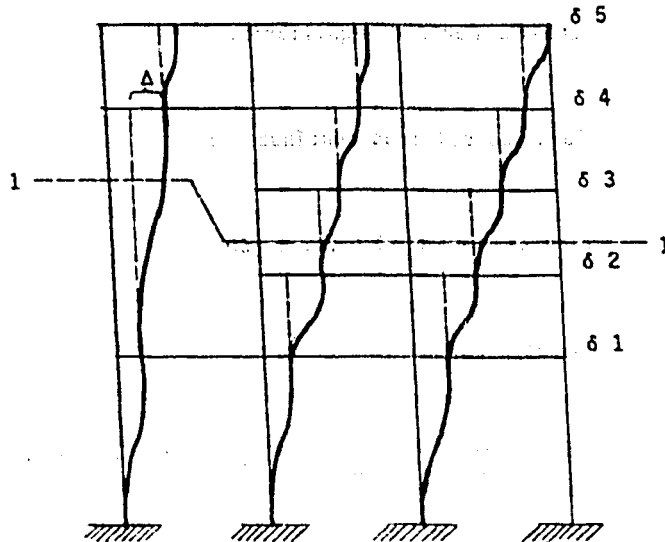
Y

$$M_r = \frac{Qhr}{3}$$

Se tendrá finalmente que :

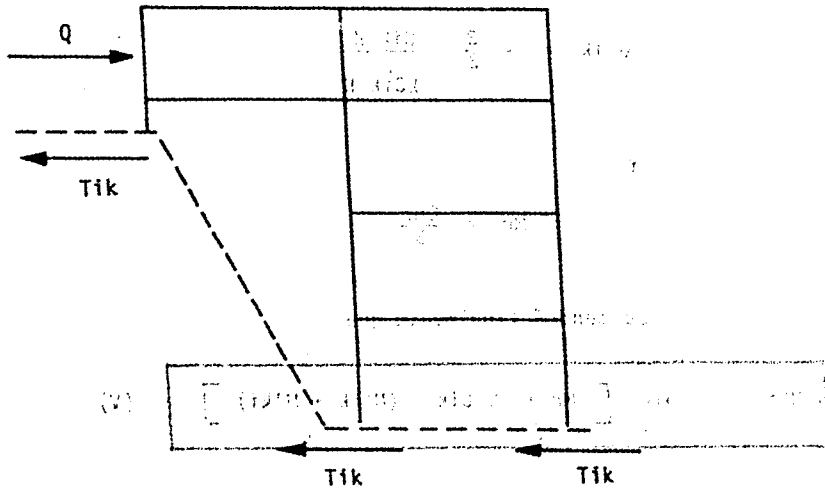
$$M''_{ik} = v_{ik} \left[M_r + \sum C_{ik} (M'_{ik} + M'_{ki}) \right] \quad (V)$$

c). Estructura con columnas continuas o de diferente altura.



COLUMNA CONTINUA

$$\Delta = \delta 2 + \delta 3 + \delta 4$$



Considerando el equilibrio del elemento de longitud Δ que se muestra a continuación:

En el mismo corte de equilibrio.

Para las columnas continuas :

$$\Delta = \delta_1 + \delta_2 + \delta_3 + \dots + \delta_n$$

Por otra parte :

$$M''_{ik} = \frac{6EK}{h_{TK}} \Delta = \frac{6EK}{h_{TK}} (\delta_1 + \delta_2 + \delta_3 + \dots + \delta_n)$$

$$M''_{ik} = m''_{ik(1)} + m''_{ik(2)} + m''_{ik(3)} + \dots + m''_{ik(n)}$$

La contribución lineal total, es igual a la suma de contribuciones lineales parciales.

...

Si la columna, no es continua :

$$M''_{ik} = m''_{ik}$$

$$\frac{(M''_{MS} + 1/2 M''_{ME} + M''_{MS})}{h_k} \dots$$

Ecuación de equilibrio del "n" corte :

$$(M''_{MS} \frac{C}{h_k} + 1/2 M''_{ME} + M''_{MS}) \dots$$

$$Q = -\Sigma T_{ik}$$

$$(M''_{MS} \frac{C}{h_k}) \dots$$

$$T_{ik} = \frac{3M''_{ik} + 3M''_{ki} + 2M''_{ik}}{h_{ik}}$$

Imponiendo las mismas restricciones de carga y sección - que en el caso anterior.

Si se establece una altura ficticia de ese corte, deno - minada (hr) y que se recomienda sea la altura que más se repita en el corte; para cada columna, se puede establecer una constante :

$$C_{ik} = \frac{hr}{h_{ik}} \quad (9)$$

Una columna continua, tendrá tantos C_{ik}, cuantos niveles - abarque y una constante C_{ik} por cada corte de equilibrio en que intervenga.

Por lo tanto :

$$T_{ik} = \frac{C_{ik} (3M''_{ik} + 3M''_{ki} + 2M''_{ik})}{hr}$$

Por otra parte :

... condiciones de los ...
 $Q = - \sum T_{ik}$

$$Q = - \frac{\sum C_{ik} (3M'_{ik} + 3M'_{ki} + 2M''_{ik})}{hr}$$

... condiciones de los ...

$$Q = - \frac{3}{hr} \sum C_{ik} (M'_{ik} + M'_{ki} + \frac{2}{3} M''_{ik})$$

$$\frac{Qhr}{3} = - \sum C_{ik} (M'_{ik} + M'_{ki}) - \sum \frac{2}{3} (C_{ik} M''_{ik})$$

Despejando :

$$\sum \frac{2}{3} C_{ik} M''_{ik} = - \frac{Qhr}{3} - \sum C_{ik} (M'_{ik} + M'_{ki})$$

$$\sum C_{ik} M''_{ik} = - \frac{3}{2} \left[\frac{Qhr}{3} + \sum C_{ik} (M'_{ik} + M'_{ki}) \right] \tag{14}$$

Existiendo columnas continuas, interesa hallar aislada - mente una contribución lineal parcial cualquiera m''_{ik} . (n)

De la definición, se desprende que :

$$C_{ik} M''_{ik} = C_{ik} m''_{ik} + C_{ik} m''_{ik} + \dots$$

(1) (2)

$$+ C_{ik} m''_{ik} + C_{ik} m''_{ik} + C_{ik} m''_{ik} + \dots$$

(n-1) (n) (n+1)

$$C_{ik} M''_{ik} = \sum_g C_{ik} m''_{ik} \dots$$

en el cual $g = \text{grado de continuidad}$.

Por lo tanto :

$$\sum C_{ik} M^{ik} = \sum \sum C_{ik} m^{ik}$$

Desarrollando este 2o. miembro :

$$\begin{aligned} \sum C_{ik} M^{ik} &= \sum (C_{ik} m^{ik} + \dots + C_{ik} m^{ik} \\ &+ C_{ik} m^{ik} + C_{ik} m^{ik} + \dots) \end{aligned}$$

$$\begin{aligned} \sum C_{ik} M^{ik} &= \sum (C_{ik} m^{ik} + \dots + C_{ik} m^{ik} + \\ &+ C_{ik} m^{ik} + \dots) + \sum C_{ik} m^{ik} \end{aligned}$$

Despejando :

$$\begin{aligned} \sum C_{ik} m^{ik} &= \sum C_{ik} M^{ik} - \sum (C_{ik} m^{ik} + \dots \\ &+ \dots + C_{ik} m^{ik} + C_{ik} m^{ik} + \dots) \end{aligned} \quad (15)$$

Sustituyendo (14) en (15) se tiene :

$$\begin{aligned} \sum C_{ik} m^{ik} &= - \frac{3}{2} \left[\frac{Qhr}{3} + \sum C_{ik} (M^{ik} + M^{ki}) \right. \\ &+ \frac{2}{3} \sum (C_{ik} m^{ik} + C_{ik} m^{ik} + \dots + C_{ik} m^{ik} + \end{aligned}$$

$$+ C_{ik} m''_{ik} \Big|_{(n+1)} \Big] \delta n = (16)$$

De la definición :

$$\Sigma C_{ik} m''_{ik} = C_{ik} \frac{6EK_1}{hr} \delta n + C_{ik} \frac{6EK_2}{hr} \delta n + \dots$$

Por lo tanto :

$$\Sigma C_{ik} m''_{ik} = \left(\frac{C_{ik} 6EK_1}{hr} \right) \delta n + \left(\frac{C_{ik} 6EK_2}{hr} \right) \delta n + \dots$$

Arreglando :

$$\Sigma C_{ik} m''_{ik} = \frac{6E}{hr} \delta n \Sigma C_{ik} K$$

Factorizando :

$$\Sigma C_{ik} m''_{ik} = \frac{6E}{hr} \delta n \Sigma C_{ik} K$$

Despejando :

$$\delta n = \frac{hr}{6E \Sigma C_{ik} K} \Sigma C_{ik} m''_{ik} \quad (17)$$

Por otra parte, tenemos que :

$$m''_{ik}(n) = \frac{6EK}{hik} \delta n = \frac{6EK}{hr} \frac{\delta n}{\sum C_{ik}} = \frac{C_{ik}}{\sum C_{ik}} \frac{6EK}{hr} \delta n$$

O sea :

$$m''_{ik}(n) = \frac{C_{ik}}{\sum C_{ik}} \frac{6EK}{hr} \delta n \quad (18)$$

Sustituyendo (17) en (18), se tiene :

$$m''_{ik}(n) = \frac{C_{ik}}{\sum C_{ik}} \frac{6EK}{hr} \frac{hr}{6 \sum C_{ik} K} \sum C_{ik} m''_{ik}(n)$$

Simplificando :

$$m''_{ik}(n) = \frac{C_{ik} K}{\sum C_{ik} K} \sum C_{ik} m''_{ik}(n) \quad (19)$$

Sustituyendo (16) en (19), es :

$$m''_{ik}(n) = \frac{3}{2} \frac{C_{ik} K}{\sum C_{ik} K} \left[\frac{Qhr}{3} + \sum C_{ik} (M'_{ik} + M'_{ki}) + \frac{2}{3} \sum C_{ik} (m''_{ik}(1) + m''_{ik}(2) + \dots + m''_{ik}(n-1) + m''_{ik}(n) + \dots) \right]$$

Tomando en cuenta, que :

$$v_{ik} = -\frac{3}{2} \frac{C_{ik} K}{\sum C_{ik} K_{i0}} \quad (n)$$

y

$$M_r = \frac{Qhr}{3I} \quad (n)$$

Se tiene finalmente que :

$$m''_{ik} = v_{ik} \left[M_r + \sum C_{ik} (M''_{ik} + M''_{ki}) + \frac{2}{3} \sum C_{ik} (m''_{ik(1)} + m''_{ik(2)} + \dots + m''_{ik(n-1)} + m''_{ik(n-2)} + \dots) \right]$$

(VI)

Si existe alguna columna articulada :

1o.) En las ecuaciones (II), tómesese una K' que sea $\frac{3}{4} K$; siendo K la relación $\frac{1}{L}$ real. Usese esa K' en donde aparezca K .

2o.) En las ecuaciones (V) y (VI), además de usar $K' = \frac{3}{4} K$, tómesese una altura de la columna $h' = \frac{3}{2} h$, para valuar C_{ik} , ó en donde aparezca la h real; además, la ecuación (VI), se modifica de la siguiente forma; - tomando $m = 1$ para empotramiento y $m = \frac{3}{4}$ para columna articulada.

$$m''_{ik} = -\frac{3}{2} \frac{C_{ik} K}{\sum C_{ik} mK} \quad (VI)$$

2.3.). Análisis de los Marcos Ortogonales.

...

La estructura del edificio que nos ocupa, se compone de una serie de ocho marcos ortogonales, que son respectivamente : A, B, C, E, 1, 3, 4 y 6; de los cuales, los correspondientes a los ejes 1 y 6 y 3-4, son idénticos en geometría y carga.

Dichos marcos, se ilustran a continuación, señalando su geometría, cargas y rigideces relativas.

Posteriormente, se efectuará el análisis de todos y cada uno de ellos, empleando el método de Kani descrito anteriormente.

Debido a la simetría en geometría y cargas; este marco no presenta desplazamientos lineales horizontales (contribución lineal nula : $M^{ik} = 0$).

1). Momentos de Empotramiento (T-m)

BARRA	W (Ton)	L (m)	M_{ik} (T-m)	M_{ki} (T-m)
1-2	2.2-2.7	5.55	+ 6.1	- 6.6
2-3	2.4	2.50	+ 1.3	- 1.3
5-6				
9-10	1.6	5.55	+ 4.1	- 4.1
13-14				
6-7				
10-11	1.9	2.50	+ 1.0	- 1.0
14-15				

2). Momentos de Desequilibrio (Ton-m)

NUDO	BARRA	R_{ik}	M_i	NUDO	BARRA	R_{ik}	M_i
1	1-2	+ 6.1	+ 6.1	9	9-5	0	+ 4.1
	1-5	0			9-10	+ 4.1	
2	2-1	- 6.6	- 5.3		9-13	0	
	2-3	+ 1.3		10	10-9	- 4.1	
	2-6	0			10-6	0	
5	5-1	0	+ 4.1		10-11	+ 1.0	
	5-6	+ 4.1		10-14	0		
	5-9	0		13	13-9	0	
6	6-5	- 4.1	- 3.1		13-14	+ 4.1	
	6-2	0			13-17	0	
	6-7	+ 1.0		14	14-13	- 4.1	
	6-10	0			14-10	0	
			14-15		+ 1.0		
				14-18	0		

$$M_i = \sum R_{ik}$$

3). Rigideces y factores de distribución angular.

NUDO	BARRA	r_{ik}	f_{ik}	μ_{ik}	NUDO	BARRA	r_{ik}	f_{ik}	μ_{ik}
1	1-2	2	0.444	-0.222	9	9-5	2.5	0.316	-0.158
	1-5	2.5	0.556	-0.278		9-10	2	0.253	-0.127
	Σ	4.5	1.000	-0.500		9-13	3.4	0.431	-0.215
2	2-1	2	0.225	-0.113	10	Σ	7.9	1.000	-0.500
	2-3	4.4	0.494	-0.247		10-9	2	0.163	-0.082
	2-6	2.5	0.281	-0.140		10-6	2.5	0.203	-0.101
	Σ	8.9	1.000	-0.500		10-11	4.4	0.358	-0.179
5	5-1	2.5	0.357	-0.178	13	10-14	3.4	0.276	-0.138
	5-6	2	0.286	-0.144		Σ	12.3	1.000	-0.500
	5-9	2.5	0.357	-0.178		13-9	3.4	0.395	-0.198
	Σ	7.0	1.000	-0.500		13-14	2	0.233	-0.117
6	6-5	2	0.176	-0.088	14	13-17	3.2	0.372	-0.185
	6-2	2.5	0.219	-0.110		Σ	8.6	1.000	-0.500
	6-7	4.4	0.386	-0.192		14-13	2	0.154	-0.077
	6-10	2.5	0.219	-0.110		14-10	3.4	0.262	-0.131
	Σ	11.4	1.000	-0.500		14-15	4.4	0.338	-0.169
					14-18	3.2	0.246	-0.123	
					Σ	13.0	1.000	-0.500	

$r_{ik} = K_{ik}$; rigidez angular relativa de la barra ik .

$K_i = \Sigma r_{ik}$; rigidez angular relativa del nudo i .

4). Distribución de Momentos.

$$M'_{ik} = \mu_{ik} [M_i + \Sigma M'_{ki}]$$

01 0000
PRIMER CICLO

[0 + 0 + 6.0 + 6.0 - 12.0 -] 900.0

NUDO 1

- M' 12 = - 0.222 [6.1 + 0 + 0.]
- M' 12 = - 1.4
- M' 15 = - 0.278 (6.1)
- M' 15 = - 1.7

NUDO 2

- M' 21 = - 0.113 [- 5.3 - 1.4 + 0 + 0.]
- M' 21 = - 0.113 (- 6.7) = + 0.8
- M' 23 = - 0.247 (- 6.7) = + 1.7
- M' 26 = - 0.140 (- 6.7) = + 0.9

NUDO 5

- M' 51 = - 0.178 [4.1 - 1.7 + 0 + 0.]
- M' 51 = - 0.178 (2.4) = - 0.4
- M' 56 = - 0.144 (2.4) = - 0.3
- M' 59 = - 0.178 (2.4) = - 0.4

NUDO 6

- M' 65 = - 0.088 [- 3.1 - 0.3 + 0.9 + 0 + 0]
- M' 65 = - 0.088 (- 2.5) = + 0.2
- M' 62 = - 0.110 (- 2.5) = + 0.3
- M' 67 = - 0.192 (- 2.5) = + 0.5
- M' 6,10 = - 0.110 (- 2.5) = + 0.3

NUDO 9

- M' 95 = - 0.158 [4.1 - 0.4 + 0 + 0]
- M' 95 = - 0.158 (3.7) = - 0.6
- M' 9,10 = - 0.127 (3.7) = - 0.5
- M' 9,13 = - 0.215 (3.7) = - 0.8

NUDO 10

$$M^*_{10,9} = - 0.082 [- 3.1 - 0.5 + 0.3 + 0 + 0]$$

$$M^*_{10,9} = - 0.082 (- 3.3) = + 0.3$$

$$M^*_{10,6} = - 0.101 (- 3.3) = + 0.3$$

$$M^*_{10,11} = - 0.179 (- 3.3) = + 0.6$$

$$M^*_{10,14} = - 0.138 (- 3.3) = + 0.5$$

NUDO 13

$$M^*_{13,9} = - 0.198 [4.1 - 0.8 + 0.0]$$

$$M^*_{13,9} = - 0.198 (3.3) = - 0.7$$

$$M^*_{13,14} = - 0.117 (3.3) = - 0.4$$

$$M^*_{13,17} = - 0.185 (3.3) = - 0.6$$

NUDO 14

$$M^*_{14,13} = - 0.077 [- 3.1 - 0.4 + 0.5 + 0]$$

$$M^*_{14,13} = - 0.077 (- 3.0) = + 0.2$$

$$M^*_{14,10} = - 0.131 (- 3.0) = + 0.4$$

$$M^*_{14,15} = - 0.169 (- 3.0) = + 0.5$$

$$M^*_{14,18} = - 0.123 (- 3.0) = + 0.4$$

CUARTO CICLONUDO 1

$$M^*_{12} = - 0.222 [6.1 + 1.0 - 0.3]$$

$$M^*_{12} = - 0.222 (6.8) = - 1.5$$

$$M^*_{15} = - 0.278 (6.8) = - 1.9$$

NUDO 2

$$M^*_{21} = - 0.113 [- 5.3 - 1.5 - 2.1 + 0.3]$$

$$M^*_{21} = - 0.113 (- 8.6) = + 1.0$$

$$M^*_{23} = - 0.247 (- 8.6) = + 2.1$$

$$M^*_{26} = - 0.140 (- 8.6) = + 1.2$$

NUDO 5

$$M'_{51} = - 0.178 [4.1 - 1.9 + 0.2 - 0.6]$$

$$M'_{51} = - 0.178 (1.8) = - 0.3$$

$$M'_{56} = - 0.144 (1.8) = - 0.3$$

$$M'_{59} = - 0.178 (1.8) = - 0.3$$

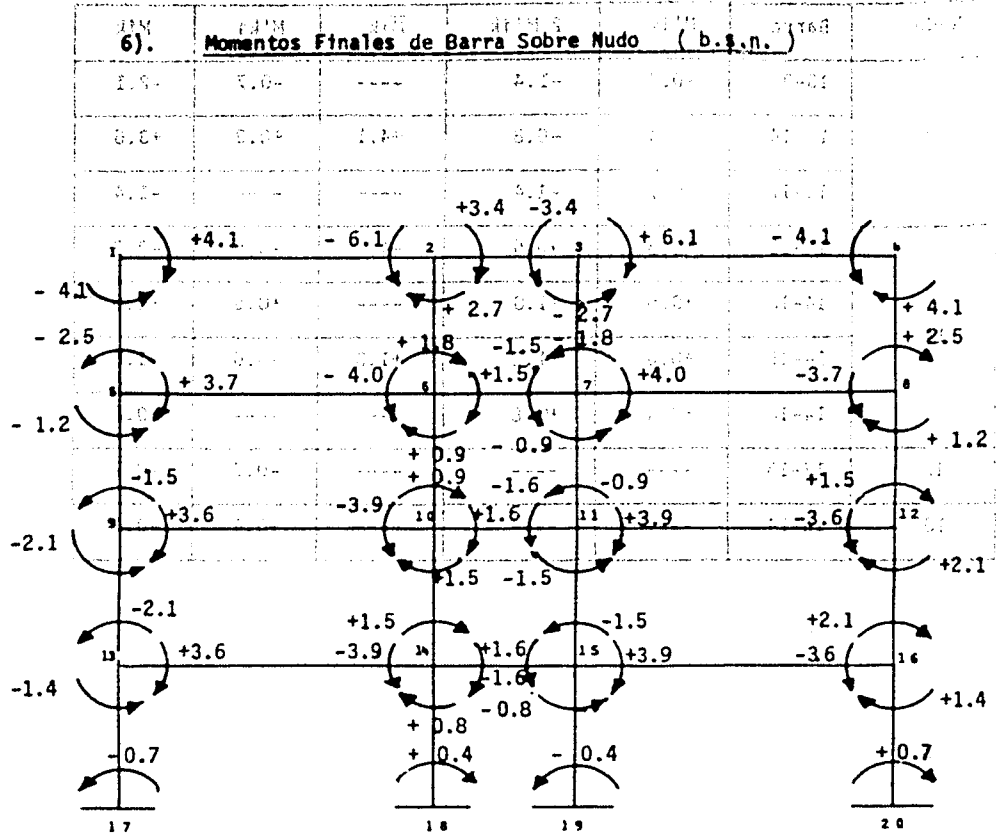
MEMBRO	NUDO	COORDENADA	VALOR	COMENTARIO
	NUDO 6			
M' 65			- 0.088 [- 3.1 - 0.3 + 1.2 - 0.5 + 0.3]	
M' 65			- 0.088 (- 2.4) = + 0.2	
M' 68			- 0.110 (- 2.4) = + 0.3	
M' 67			- 0.192 (- 2.4) = + 0.5	
M' 6,10			- 0.110 (- 2.4) = + 0.3	
	NUDO 9			
M' 95			- 0.158 [4.1 - 0.3 + 0.3 - 0.7]	
M' 95			- 0.158 (3.4) = - 0.6	
M' 9,10			- 0.127 (3.4) = - 0.4	
M' 9,11			- 0.215 (3.4) = - 0.7	
	NUDO 10			
M' 10,9			- 0.082 [- 3.1 - 0.4 + 0.3 - 0.6 + 0.5]	
M' 10,9			- 0.082 (- 3.3) = + 0.3	
M' 10,6			- 0.101 (- 3.3) = + 0.3	
M' 10,11			- 0.179 (- 3.3) = + 0.6	
M' 10,14			- 0.138 (- 3.3) = + 0.5	
	NUDO 13			
M' 13,9			- 0.198 [4.1 - 0.7 + 0.3]	
M' 13,9			- 0.198 (3.7) = - 0.7	
M' 13,14			- 0.117 (3.7) = - 0.4	
M' 13,17			- 0.185 (3.7) = - 0.7	
	NUDO 14			
M' 14,12			- 0.077 [- 3.1 - 0.4 + 0.5 - 0.6]	
M' 14,12			- 0.077 (- 3.6) = + 0.3	
M' 14,10			- 0.131 (- 3.6) = + 0.5	
M' 14,15			- 0.169 (- 3.6) = + 0.6	
M' 14,16			- 0.123 (- 3.6) = + 0.4	

5). Cálculo de Momentos Finales.

$$M_{ik} = \frac{2.0}{8.0} M_{ik} + \frac{2.0}{8.0} M_{ik} + M'_{ki}$$

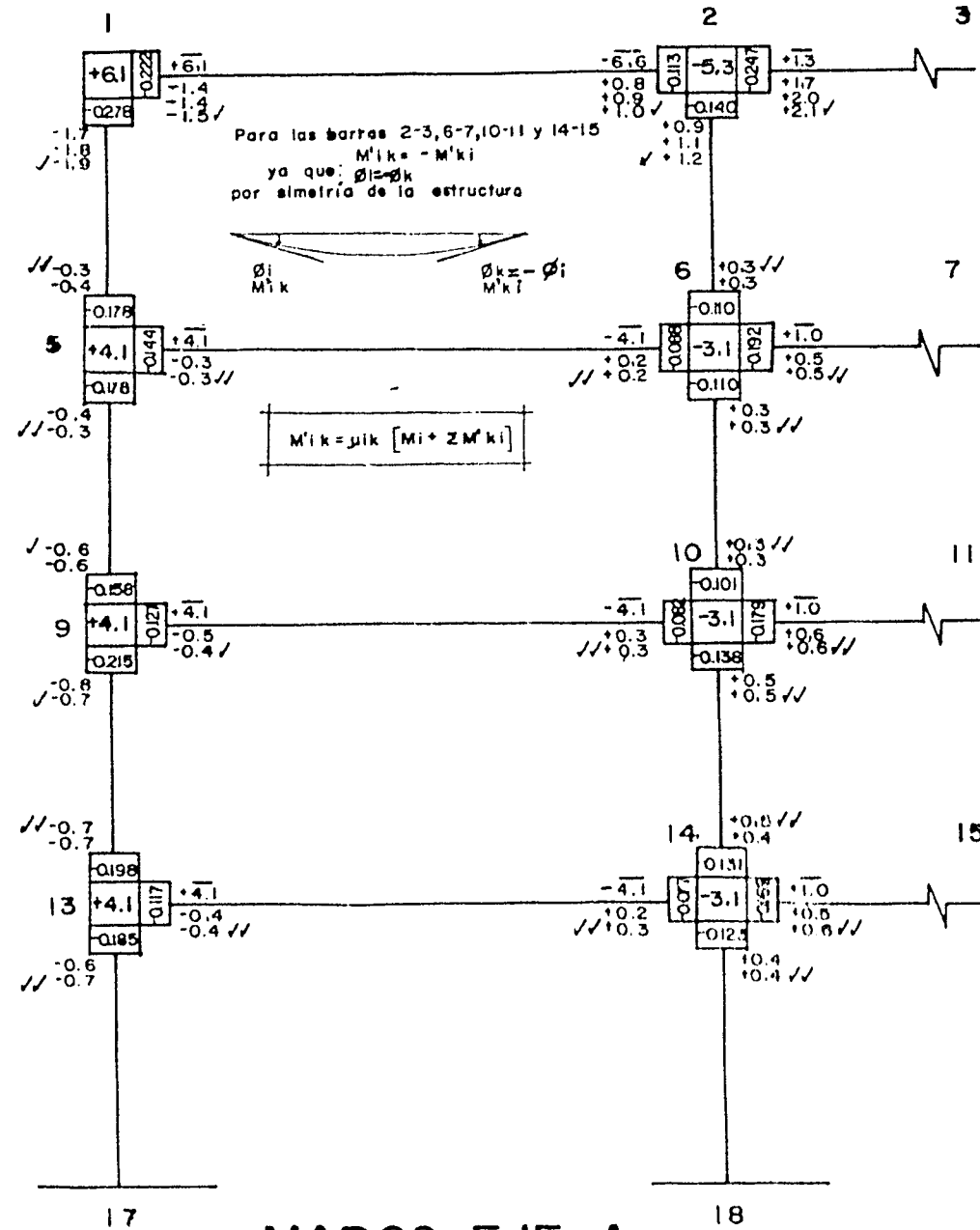
Nudo	Barra	M'ik	2 M'ik	Mik	M'ki	Mik
1	1-2	-1.5	-3.0	+6.1	+1.0	+4.1
	1-5	-1.9	-3.8	----	-0.3	-4.1
2	2-1	-1.0	+2.0	-6.6	-1.5	-6.1
	2-3	+2.1	+4.2	+1.3	-2.1	+3.4
	2-6	+1.2	+2.4	----	+0.3	+2.7
5	5-1	-0.3	-0.6	----	-1.9	-2.5
	5-6	-0.3	-0.6	+4.1	+0.2	+3.7
	5-9	-0.3	-0.6	----	-0.6	-1.2
6	6-5	+0.2	+0.4	-4.1	-0.3	-4.0
	6-2	+0.3	+0.6	----	+1.2	+1.8
	6-7	+0.5	+1.0	+1.0	-0.5	+1.5
	6-10	+0.3	+0.6	----	+0.3	+0.9
9	9-5	-0.6	-1.2	----	-0.3	-1.5
	9-10	-0.4	-0.8	+4.1	+0.3	+3.6
	9-13	-0.7	-1.4	----	-0.7	-2.1
10	10-9	+0.3	+0.6	-4.1	-0.4	-3.9
	10-6	+0.3	+0.6	----	+0.3	+0.9
	10-11	+0.6	+1.2	+1.0	-0.6	+1.6
	10-14	+0.5	+1.0	----	+0.5	+1.5

Nudo	Barras	M'ik	2 M'ik	Wik	M'ki	Wik
13	13-9	-0.7	-1.4	----	-0.7	-2.1
	13-14	-0.4	-0.8	+4.1	+0.3	+3.6
	13-17	-0.7	-1.4	----	----	-1.4
14	14-13	+0.3	+0.6	-4.1	-0.4	-3.9
	14-10	+0.5	+1.0	----	+0.5	+1.5
	14-15	+0.6	+1.2	+1.0	-0.6	+1.6
	14-18	+0.4	+0.8	----	----	+0.8
17	17-13	----	----	----	-0.7	-0.7
18	18-14	----	----	----	+0.4	+0.4



MARCO EJE A

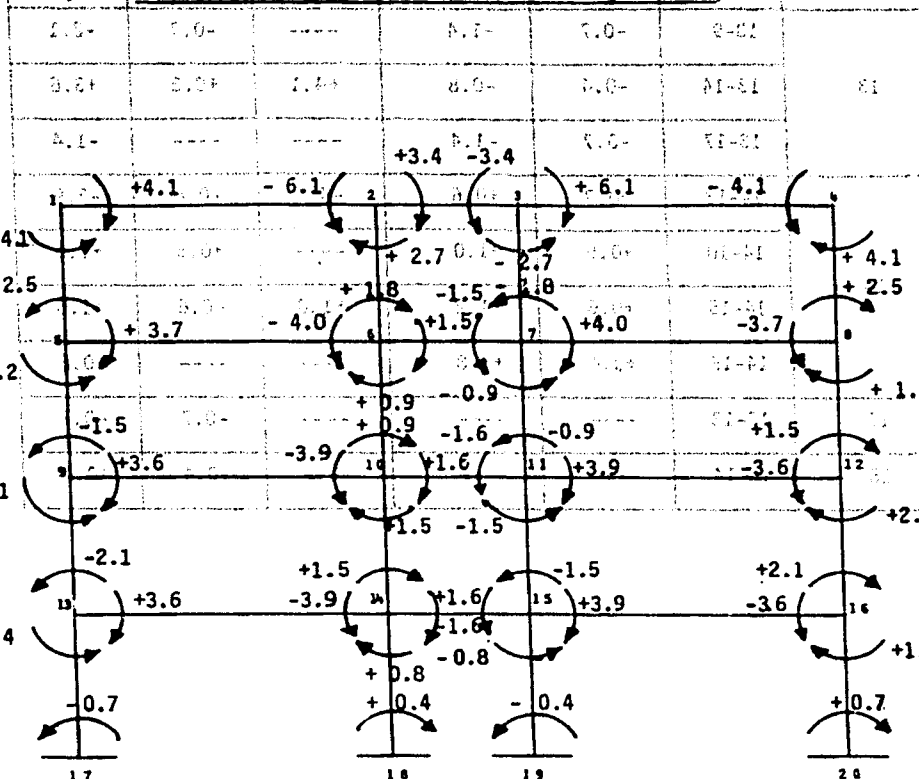
- Momentos en Ton-m.



MARCO EJE A
(Análisis por carga Vertical)

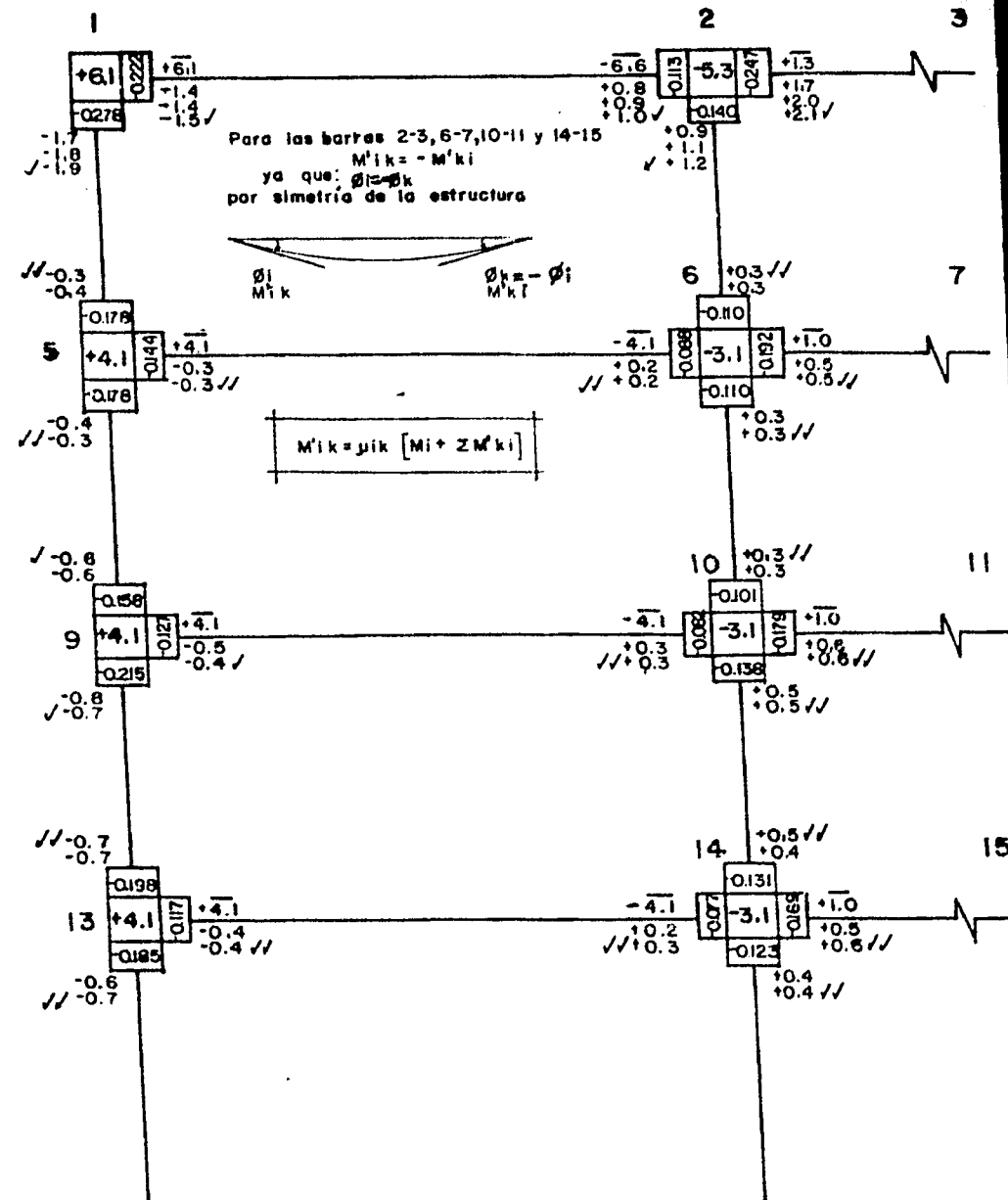
NOTA: El símbolo (✓) indica repetición del valor.

6). **Momentos Finales de Barra Sobre Nudo (b.s.n.)**



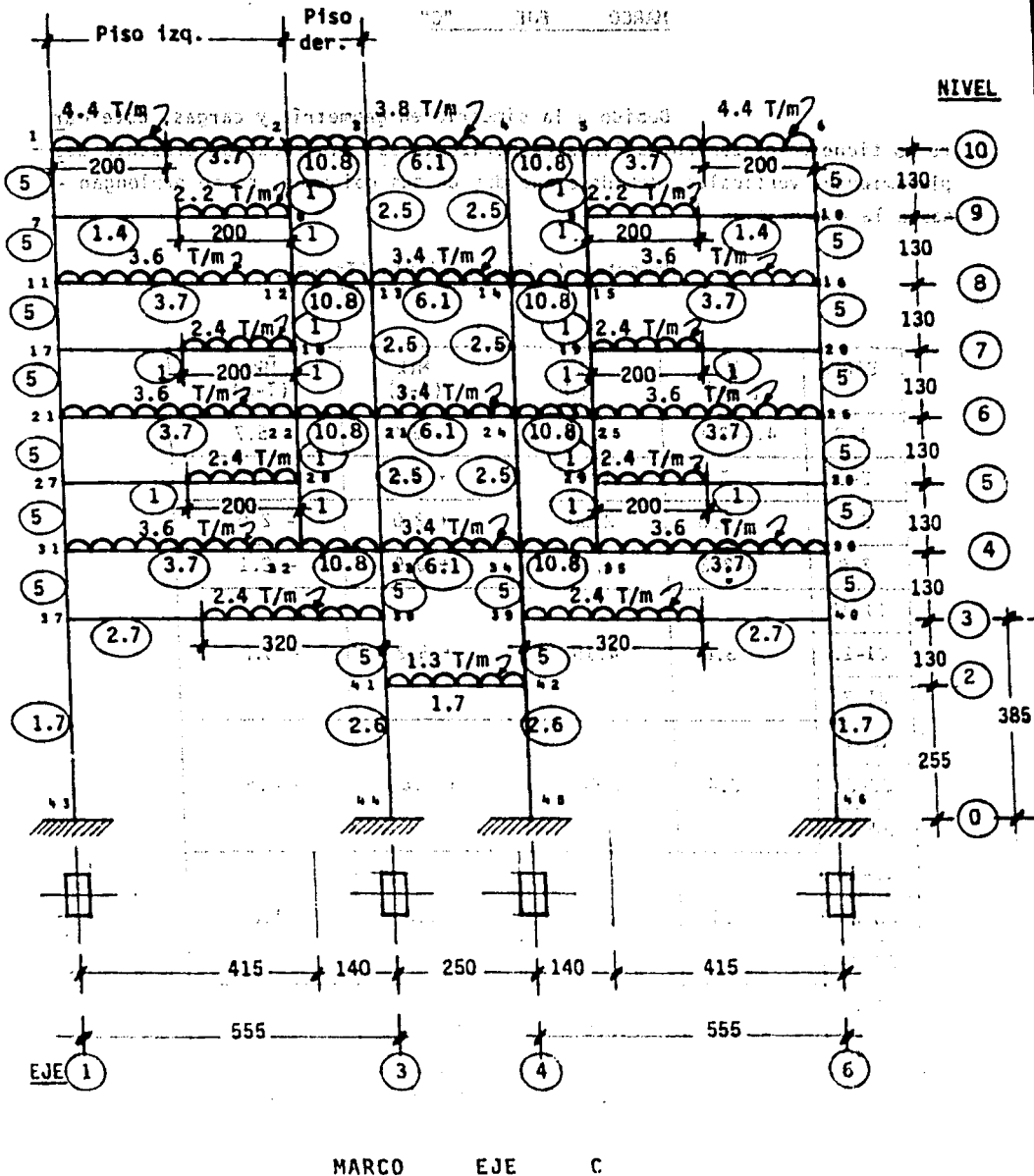
MARCO EJE A

- Momentos en Ton-m.



MARCO EJE A
 (Análisis por carga Vertical)

NOTA: El símbolo (✓) indica repetición del valor.



○ Rígideces relativas.
 Acotaciones en centímetros.

MARCO EJE "C"

Debido a la simetría en geometría y cargas, este marco no tiene desplazamientos lineales horizontales, sin embargo, presenta desplazamientos verticales, debido a que dos de sus columnas, no se prolongan hasta la cimentación.

1). Momentos de Empotramiento (Ton-m).

BARRA	W (T/m)	L (m)	Mik (T-m)	Mki (T-m)
1-2	4.4-3.8	4.15	+ 6.0	- 5.7
2-3	3.8	1.40	+ 0.6	- 0.6
3-4	3.8	2.50	+ 2.0	- 2.0
7-8	0-2.2	4.15	+ 0.9	- 2.1
11-12				
21-22	3.6	4.15	+ 5.2	- 5.2
31-32				
12-13				
22-23	3.4	1.40	+ 0.6	- 0.6
32-33				
13-14				
23-24	3.4	2.50	+ 1.8	- 1.8
33-34				
17-18				
27-28	0-2.4	4.15	+ 1.0	- 2.3
37-38	0-2.4	5.55	+ 2.7	- 4.9
41-42	1.3	2.50	+ 0.7	- 0.7

2). Momentos de Desequilibrio (Ton-m)

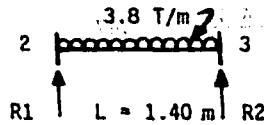
NUDO	BARRA	Mik	Mi	NUDO	BARRA	Mik	Mi
1	1-2	+ 6.0	+ 6.0	22	22-21	- 5.2	- 4.6
	1-7	0			22-18	0	
2	2-1	- 5.7	- 5.1		22-23	+ 0.6	
	2-3	+ 0.6			22-28	0	
	2-8	0		23	23-22	- 0.6	
3	3-2	- 0.6	23-13		0		
	3-4	+ 2.0	23-24		+ 1.8		
	3-13	0	23-33		0		
7	7-1	0	+ 0.9	27	27-21	0	+ 1.0
	7-8	+ 0.9			27-28	+ 1.0	
	7-11	0			27-31	0	
8	8-7	- 2.1	- 2.1	28	28-27	- 2.3	- 2.3
	8-2	0			28-22	0	
	8-12	0			28-32	0	
11	11-7	0	+ 5.2	31	31-27	0	+ 5.2
	11-12	+ 5.2			31-32	+ 5.2	
	11-17	0			31-37	0	
12	12-11	- 5.2	- 4.6	32	32-31	- 5.2	- 4.6
	12-8	0			32-28	0	
	12-13	+ 0.6			32-33	+ 0.6	
	12-18	0		33	33-32	- 0.6	+ 1.2
13	13-12	- 0.6	33-23		0		
	13-3	0	33-34		+ 1.8		
	13-14	+ 1.8	33-38		0		
	13-23	0					

$$R_1 = \frac{3.8 \times 4.15}{2} + 0.6 \times 2 \left(1 - \frac{0.482}{2} \right) + \frac{6.022 - 5.7}{4.15}$$

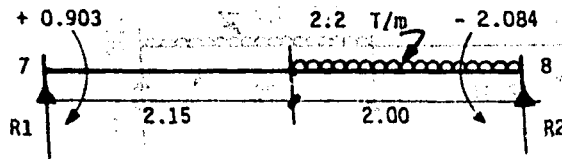
$$R_1 = 7.885 + 0.9108 + 0.0776 = 8.8734$$

$$R_2 = \frac{3.8 \times 4.15}{2} + 0.6 \times 2 \times \frac{0.482}{2} - \frac{6.022 - 5.7}{4.15}$$

$$R_2 = 7.885 + 0.2892 - 0.0776 = 8.0966$$



$$R_1 = R_2 = \frac{3.8 \times 1.4}{2} = 2.66$$



$$R_1 = W \frac{a}{2} + \frac{m_1 + m_2}{L}$$

$$R_1 = 2.2 \times 2 \times \frac{0.482}{2} + \frac{0.903 - 2.084}{4.15}$$

$$R_1 = 1.0604 - 0.2846 = 0.7758$$

$$R_2 = W \left(1 - \frac{a}{2} \right) + \frac{m_1 + m_2}{L}$$

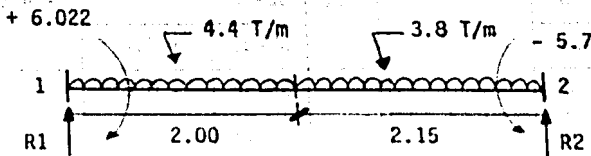
(m-nof) oindifrupe220 ab zofnemom .(S

NUDO	BARRA	\bar{M}_{ik}	M_i	NUDO	BARRA	\bar{M}_{ik}	M_i
17	17-11	0		37	37-31	0	
	17-18	+ 1.0	+ 1.0		37-38	+ 2.7	+ 2.7
	17-21	0.0	0.0		37-43	0.0	0.0
18	18-17	- 2.3	- 2.3	38	38-37	- 4.9	- 4.9
	18-12	0.0	0.0		38-33	0.0	0.0
	18-22	0.0	0.0		38-41	0.0	0.0
21	21-17	0.0	0.0	41	41-38	0.0	0.0
	21-22	+ 5.2	+ 5.2		41-42	+ 0.7	+ 0.7
	21-27	0.0	0.0		41-44	0.0	0.0

$$M_i = \sum \bar{M}_{ik}$$

3): Momentos de piso "vertical"

Con el objeto de valorar la magnitud de la fuerza (Qv) que provoca el desplazamiento vertical de las columnas discontinuas, es necesario determinar el valor de todas y cada una de las acciones, que sumadas permiten obtenerla:

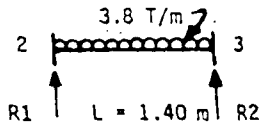


$$R_1 = \frac{3.8 \times 4.15}{2} + 0.6 \times 2 \left(1 - \frac{0.482}{2} \right) + \frac{6.022 - 5.7}{4.15}$$

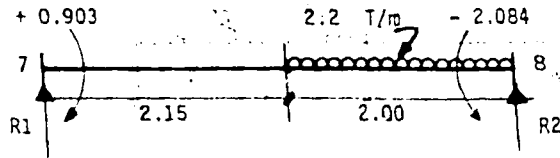
$$R_1 = 7.885 + 0.9108 + 0.0776 = 8.8734$$

$$R_2 = \frac{3.8 \times 4.15}{2} + 0.6 \times 2 \times \frac{0.482}{2} - \frac{6.022 - 5.7}{4.15}$$

$$R_2 = 7.885 + 0.2892 - 0.0776 = 8.0966$$



$$R_1 = R_2 = \frac{3.8 \times 1.4}{2} = 2.66$$



$$R_1 = W \frac{a}{2} + \frac{m_1 + m_2}{L}$$

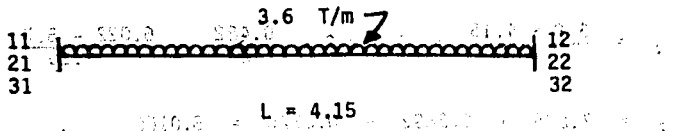
$$R_1 = 2.2 \times 2 \times \frac{0.482}{2} + \frac{0.903 - 2.084}{4.15}$$

$$R_1 = 1.0604 - 0.2846 = 0.7758$$

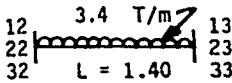
$$R_2 = W \left(1 - \frac{a}{2} \right) + \frac{m_1 - m_2}{L}$$

$$R_2 = 2.2 \times 2 \left(1 - \frac{0.482}{2} \right) + \frac{0.903 - 2.084}{4.15}$$

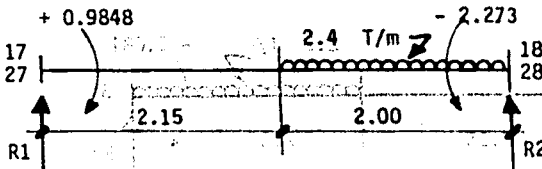
$$R_2 = 3.3396 + 0.2846 = 3.6242$$



$$R_1 = R_2 = \frac{wL}{2} = \frac{3.6 \times 4.15}{2} = 7.47$$



$$R_1 = R_2 = \frac{3.4 \times 1.4}{2} = 2.38$$



$$R_1 = W \frac{a}{2} + \frac{m_1 + m_2}{L}$$

$$R_1 = 2.4 \times 2 \times \frac{0.482}{2} + \frac{0.9848 - 2.273}{4.15}$$

$$R_1 = 1.1568 - 0.3104 = 0.8464$$

$$R_2 = W \left(1 - \frac{a}{2} \right) + \frac{m_1 + m_2}{L}$$

"Inverso" del 4

$$R_2 = 2.4 \times 2 \left(1 - \frac{0.482}{0.122} \right) + 0.3104$$

$$R_2 = 3.6432 + 0.3104 = 3.9536$$

Por lo tanto :

$$Q_v = - R_{21} - R_{23} - R_{27} - R_{12,11} - R_{12,13} - R_{18,17}$$

$$- R_{22,21} - R_{22,23} - R_{28,27} - R_{32,31} - R_{32,33}$$

$$Q_v = - 8.0966 - 2.66 - 3.6242 - 7.47 - 2.38 -$$

$$- 3.9536 - 7.47 - 2.38 - 3.9536 - 7.47 - 2.38$$

$$Q_v = - 51.838 \text{ Ton.}$$

$$Q_v = - 51.9 \text{ Ton.}$$

Piso "Izquierdo"

$$Q_v \text{ Izq.} = - 51.9 \text{ Ton.}$$

$$\text{Si tomamos : } hr = 1.40 \text{ m.}$$

$$Mrv \text{ Izq.} = \frac{Q_v \cdot hr}{3} = - \frac{51.9 \times 1.4}{3} = - 24.22$$

$$Mrv \text{ Izq.} = - 24.2 \text{ T-m.}$$

Piso "Derecho"

Qv Der. = +51.9 Ton.

Tomando : hr = 1.40 m.

$$\text{Mrv Der.} = \frac{Qr \text{ hr}}{3} = \frac{51.9 \times 1.4}{3} = 24.22$$

Mrv Der. = + 24.2 T-m.

4). Rigideces y factores de distribución angular.

NUDO	BARRA	r _{ik}	f _{ik}	μ _{ik}	NUDO	BARRA	r _{ik}	f _{ik}	μ _{ik}
1	1-2	3.7	0.425	-0.213	22	22-21	3.7	0.224	-0.112
	1-7	5	0.575	-0.287		22-18	1	0.061	-0.030
	Σ	8.7	1.000	-0.500		22-23	10.8	0.654	-0.328
2	2-1	3.7	0.239	-0.120	23	22-28	1	0.061	-0.030
	2-3	10.8	0.697	-0.348		Σ	16.5	1.000	-0.500
	2-8	1.	0.064	-0.032		23-22	10.8	0.493	-0.247
	Σ	15.5	1.000	-0.500		23-13	2.5	0.114	-0.057
3	3-2	10.8	0.557	-0.279	27	23-24	6.1	0.279	-0.139
	3-4	6.1	0.314	-0.157		23-33	2.5	0.114	-0.057
	3-13	2.5	0.129	-0.064		Σ	21.9	1.000	-0.500
	Σ	19.4	1.000	-0.500		27-21	5	0.455	-0.227
7	7-1	5	0.439	-0.220	28	27-28	1	0.090	-0.046
	7-8	1.4	0.122	-0.060		27-31	5	0.455	-0.227
	7-11	5	0.439	-0.220		Σ	11	1.000	-0.500
	Σ	11.4	1.000	-0.500		28-27	1	0.333	-0.167
8	8-7	1.4	0.412	-0.206	28-22	1	0.334	-0.166	
	8-2	1	0.294	-0.147	28-32	1	0.333	-0.167	
	8-12	1	0.294	-0.147	Σ	3	1.000	-0.500	
	Σ	3.4	1.000	-0.500					

"vertical" call

100.0

NUDO	BARRA	rik	fik	μik	NUDO	BARRA	rik	fik	μik
11	11-7	5	0.365	-0.183	31	31-27	5	0.365	-0.182
	11-12	3.7	0.270	-0.134		31-32	3.7	0.270	-0.136
	11-17	5	0.365	-0.183		31-37	5	0.365	-0.182
	Σ	13.7	1.000	-0.500		Σ	13.7	1.000	-0.500
12	12-11	3.7	0.224	-0.112	32	32-31	3.7	0.239	-0.120
	12-8	1	0.060	-0.030		32-28	1	0.064	-0.032
	12-13	10.8	0.656	-0.328		32-33	10.8	0.697	-0.348
	12-18	1	0.060	-0.030		Σ	15.5	1.000	-0.500
	Σ	16.5	1.000	-0.500		33	33-32	10.8	0.443
13	13-12	10.8	0.493	-0.246	33-23		2.5	0.102	-0.051
	13-3	2.5	0.114	-0.057	33-34		6.1	0.250	-0.125
	13-14	6.1	0.279	-0.140	33-38		5	0.205	-0.102
	13-23	2.5	0.114	-0.057	Σ		24.4	1.000	-0.500
	Σ	21.9	1.000	-0.500	37	37-31	5	0.532	-0.266
17	17-11	5	0.455	-0.227		37-38	2.7	0.287	-0.144
	17-18	1	0.090	-0.046		37-43	1.7	0.181	-0.090
	17-21	5	0.455	-0.227		Σ	9.4	1.000	-0.500
	Σ	11	1.000	-0.500	38	38-37	2.7	0.212	-0.106
18	18-17	1	0.333	-0.167		38-33	5	0.394	-0.197
	18-12	1	0.334	-0.166		38-41	5	0.394	-0.197
	18-22	1	0.333	-0.167		Σ	12.7	1.000	-0.500
	Σ	3	1.000	-0.500	41	41-38	5	0.538	-0.269
21	21-17	5	0.365	-0.182		41-42	1.7	0.183	-0.091
	21-22	3.7	0.270	-0.136		41-44	2.6	0.279	-0.140
	21-27	5	0.365	-0.182		Σ	9.3	1.000	-0.500
	Σ	13.7	1.000	-0.500					

5). Rigideces y factores de distribución lineal.

Pisos "verticales" : "izquierdo" y "derecho"

$$C_{ik} = \frac{h_r}{h_{ik}}$$

Si : $h_r = 1,40 \text{ m.}$

Piso "izquierdo"

$$C_{12} = \frac{1.4}{4.15} = 0.337$$

000.0-000.0	000.0	000.0	$C_{9,10} = \frac{1.4}{4.15} = 0.337$	47m	ARRAB	000.0
000.0-000.0	000.0	000.0	$C_{11,12} = \frac{1.4}{4.15} = 0.337$	47m	ARRAB	000.0
000.0-000.0	000.0	000.0	$C_{17,18} = \frac{1.4}{4.15} = 0.337$	47m	ARRAB	000.0
000.0-000.0	000.0	000.0	$C_{21,22} = \frac{1.4}{4.15} = 0.337$	47m	ARRAB	000.0
000.0-000.0	000.0	000.0	$C_{27,28} = \frac{1.4}{4.15} = 0.337$	47m	ARRAB	000.0
000.0-000.0	000.0	000.0	$C_{31,32} = \frac{1.4}{4.15} = 0.337$	47m	ARRAB	000.0

Piso "derecho"

$$C_{23} = \frac{1.4}{1.4} = 1$$

$$C_{12,13} = \frac{1.4}{1.4} = 1$$

$$C_{22,23} = \frac{1.4}{1.4} = 1$$

$$C_{32,33} = \frac{1.4}{1.4} = 1$$

Por lo tanto, los factores de distribución lineal para las columnas de los pisos izquierdo y derecho, valen :

$$v_{ik} = - \frac{3}{2} \frac{C_{ik} K_{ik}}{\sum C_{ik} K_{ik}}$$

$$v_{12} = - \frac{3}{2} C_{12} K_{12} / C_{12}^2 K_{12} + C_{9,10}^2 K_{9,10} + C_{11,12}^2 K_{11,12} + C_{17,18}^2 K_{17,18} + C_{21,22}^2 K_{21,22} + C_{27,28}^2 K_{27,28} + C_{31,32}^2 K_{31,32} + C_{23}^2 K_{23} + C_{12,13}^2 K_{12,13} + C_{22,23}^2 K_{22,23} + C_{32,33}^2 K_{32,33}$$

$$v_{12} = - \frac{3}{2} 0.337 (3.7) / 0.337^2(3.7) + 0.337^2(1.4) + 0.337^2(3.7) + 0.337^2(1) + 0.337^2(3.7) + 0.337^2(1) + 0.337^2(3.7) + 1^2(10.8) + 1^2(10.8) + 1^2(10.8)$$

$$v_{12} = - \frac{3}{2} \frac{0.337 (3.7)}{0.337^2 (3.7) (1+1+1+1) + 0.337^2 (1.4) + 0.337^2 (1+1) + 1^2 (10.8 + 10.8 + 10.8 + 10.8)}$$

$$v_{12} = - \frac{3}{2} \frac{0.337 (3.7)}{0.337^2 (3.7) (4) + 0.337^2 (1.4) + 0.337^2 (2) + 1^2 (10.8) (4)}$$

$$v_{12} = - \frac{3}{2} \frac{0.337 (3.7)}{1.684 + 0.159 + 0.228 + 43.2}$$

$$v_{12} = - \frac{3}{2} \frac{1.2469}{45.271}$$

$$v_{12} = - \frac{3}{2} (0.02754)$$

$$v_{12} = - 0.0413$$

$$v_{78} = - \frac{3}{2} \frac{C_{78} K_{78}}{45.271}$$

$$v_{78} = - \frac{3}{2} \frac{0.337 (1.4)}{45.271} = - \frac{3}{2} (0.01042)$$

$$v_{78} = - 0.0156$$

$$v_{11,12} = - \frac{3}{2} \frac{C_{11,12} K_{11,12}}{45.271}$$

$$v_{11,12} = - \frac{3}{2} \frac{0.337 (3.7)}{45.271}$$

$$v_{11,12} = - 0.0413$$

$$v_{17,18} = - \frac{3}{2} \frac{C_{17,18} K_{17,18}}{45.271}$$

$$v_{17,18} = - \frac{3}{2} \frac{0.337 (1)}{45.271}$$

$$v_{17,18} = - \frac{3}{2} (0.007444)$$

$$v_{17,18} = - 0.0112$$

...

$$V_{21,22} = - \frac{3}{2} \frac{C_{21,22} K_{11,22}}{45.271} \quad (A) (B.01)^2 + (C)^2 V_{22,0}$$

$$V_{21,22} = - \frac{3}{2} \frac{0.337 (3.7)}{45.271}$$

$$V_{21,22} = - 0.0413$$

$$V_{27,28} = - \frac{3}{2} \frac{0.337 (1)}{45.271}$$

$$V_{27,28} = - \frac{3}{2} (0.007444)$$

$$V_{27,28} = - 0.0112$$

$$V_{31,32} = - \frac{3}{2} \frac{C_{31,32} K_{31,32}}{45.271}$$

$$V_{31,32} = - \frac{3}{2} \frac{0.337 (3.7)}{45.271}$$

$$V_{31,32} = - 0.0413$$

$$V_{23} = - \frac{3}{2} \frac{C_{23} K_{23}}{45.271}$$

$$V_{23} = - \frac{3}{2} \frac{1 (10.8)}{45.271}$$

$$V_{23} = - \frac{3}{2} (0.23856)$$

$$V_{23} = - 0.358$$

$$V_{12,13} = - \frac{3}{2} \frac{C_{12,13} K_{12,13}}{45.271}$$

$$V_{12,13} = - \frac{3}{2} \frac{1 (10.8)}{45.271}$$

$$V_{12,13} = - 0.358$$

$$v_{22,22} = -\frac{3}{2} \frac{C_{22,22} K_{22,22}}{45.271} \quad \text{DEBIDO A LOS PISOS VERTICALES}$$

$$v_{22,22} = -\frac{3}{2} \frac{1 (10.8)}{45.271} \quad \text{DEBIDO A LOS PISOS VERTICALES}$$

$$0 + 1.0 + 0.358 = 0.358 \quad (1.0 + 0.358 = 1.358) \quad \text{DEBIDO A LOS PISOS VERTICALES}$$

$$0.358 = 0.358 + 0.358 + 0.358 = 1.074 \quad \text{DEBIDO A LOS PISOS VERTICALES}$$

$$v_{32,32} = -\frac{3}{2} \frac{C_{32,32} K_{32,32}}{45.271} \quad \text{DEBIDO A LOS PISOS VERTICALES}$$

$$v_{32,32} = -\frac{3}{2} \frac{1 (10.8)}{45.271} \quad \text{DEBIDO A LOS PISOS VERTICALES}$$

$$0 + 1.0 + 1.0 = 2.0 \quad (1.0 + 1.0 = 2.0) \quad \text{DEBIDO A LOS PISOS VERTICALES}$$

$$v_{32,32} = -\frac{3}{2} \frac{1 (10.8)}{45.271} \quad \text{DEBIDO A LOS PISOS VERTICALES}$$

Comprobación :

$$\sum C_{ik} \cdot v_{ik} = -\frac{3}{2}$$

$$C_{12} v_{12} + C_{70} v_{70} + C_{11,12} v_{11,12} + C_{17,18} v_{17,18} + C_{21,22} v_{21,22} + C_{27,28} v_{27,28} + C_{31,32} v_{31,32} + C_{29} v_{29} + C_{12,13} v_{12,13} + C_{22,23} v_{22,23} + C_{32,33} v_{32,33} = -\frac{3}{2}$$

$$0.337 (-0.0413) + 0.337 (-0.0156) + 0.337 (-0.0413) + 0.337 (-0.0112) + 0.337 (-0.0413) + 0.337 (-0.0112) + 0.337 (-0.0413) + 1 (-0.358) + 1 (-0.358) + 1 (-0.358) = -\frac{3}{2} = -1.5 \quad \checkmark$$

6). Distribución de Momentos.

$$M'_{ik} = \mu_{ik} [M_i + \sum M'_{ki} + \sum M''_{ik}]$$

Para pisos verticales :

$$M''_{ik} = v_{ik} [M_r + \sum_r C_{ik} (M'_{ik} + M'_{ki})]$$

DECIMO CICLOPiso "Izquierdo"

$$M''_{31,32} = - 0.0413 \left[- 24.2 + 0.337 (- 1.6 + 3.2 + 0.1 + 0 - 1.7 + 2.9 + 0.1 + 0 - 1.7 + 2.9 + 0.3 - 0.2 - 2.8 + 3.2) + 1 (- 9.2 - 3.8 - 8.5 - 4.4 - 8.6 - 4.3 - 9.4 - 5) \right]$$

$$M''_{31,32} = - 0.0413 \left[- 24.2 + 0.337 (4.7) + 1 (- 53.2) \right]$$

$$M''_{31,32} = - 0.0413 (- 24.2 + 1.5839 - 53.2)$$

$$M''_{31,32} = - 0.0413 (- 75.816) = + 3.1$$

$$M''_{27,28} = - 0.0112 (- 75.816) = + 0.8$$

$$M''_{21,22} = - 0.0413 (- 75.816) = + 3.1$$

$$M''_{17,18} = - 0.0112 (- 75.816) = + 0.8$$

$$M''_{11,12} = - 0.0413 (- 75.816) = + 3.1$$

$$M''_{7,8} = - 0.0156 (- 75.816) = + 1.2$$

$$M''_{12} = - 0.0413 (- 75.816) = + 3.1$$

Piso "Derecho"

$$M'_{32,33} = - 0.358 \left[75.816 \right] = - 27.1$$

$$M'_{22,23} = - 0.358 (75.816) = - 27.1$$

$$M'_{12,13} = - 0.358 (75.816) = - 27.1$$

$$M'_{23} = - 0.358 (75.816) = - 27.1$$

NUDO 1

$$M'_{12} = - 0.213 \left[6 + 3.2 + 0.9 + 3.1 \right]$$

$$M'_{12} = - 0.213 (13.2) = - 2.8$$

$$M'_{17} = - 0.287 (13.2) = - 3.8$$

NUDO 2

$$M'_{21} = - 0.120 \left[- 5.1 - 2.8 + 5 - 0.2 + 3.1 - 27.1 \right]$$

$$M'_{21} = - 0.120 (- 27.1) = + 3.3$$

$$M'_{2,3} = 0.0348 (-27.1) = -0.94$$

$$M'_{2,6} = -0.032 (-27.1) = +0.87$$

NUDO 3

$$M'_{3,2} = 0.279 (2.8 + 1 - 27.1) = -23.0$$

$$M'_{3,3} = 0.279 (-18.1) = -5.0$$

$$M'_{3,6} = 0.157 (-18.1) = -2.8$$

$$M'_{3,13} = 0.064 (-18.1) = -1.2$$

NUDO 7

$$M'_{7,1} = 0.220 (0.9 - 3.8 - 0.2 - 2.3 + 1.2) = -4.2$$

$$M'_{7,2} = 0.220 (-4.2) = -0.9$$

$$M'_{7,6} = 0.060 (-4.2) = -0.3$$

$$M'_{7,11} = 0.220 (-4.2) = -0.9$$

NUDO 8

$$M'_{8,7} = 0.206 (-2.1 + 0.3 + 0.9 + 0.8 + 1.2) = 3.1$$

$$M'_{8,7} = -0.206 (1.1) = -0.2$$

$$M'_{8,2} = -0.147 (1.1) = -0.2$$

$$M'_{8,12} = -0.147 (1.1) = -0.2$$

NUDO 11

$$M'_{11,7} = 0.183 (-5.2 + 0.9 + 2.9 + 0.6 + 3.1) = 2.3$$

$$M'_{11,7} = -0.183 (12.7) = -2.3$$

$$M'_{11,12} = -0.134 (12.7) = -1.7$$

$$M'_{11,17} = -0.183 (12.7) = -2.3$$

NUDO 12

$$M'_{12,11} = 0.112 (-4.6 - 1.7 - 0.2 + 4.3 + 0 + 3.1 - 27.1) = -2.9$$

$$M'_{12,11} = -0.112 (-26.2) = +2.9$$

$$M'_{12,6} = -0.030 (-26.2) = +0.8$$

$$M'_{12,13} = -0.328 (-26.2) = +8.6$$

$$M'_{12,10} = 0.030 (-26.2) = 0.8$$

$$\text{NUDO } \underline{13}$$

$$M'_{13,12} = -0.246 [1.2 + 8.6 + 1.2 + 2.4 + 1 - 27.1]$$

$$M'_{13,12} = 0.246 (-17.5) = 4.3$$

$$M'_{13,2} = 0.057 (-17.5) = 1.0$$

$$M'_{13,16} = 0.140 (-17.5) = 2.5$$

$$M'_{13,23} = 0.057 (-17.5) = 1.0$$

$$\text{NUDO } \underline{17}$$

$$M'_{17,11} = -0.227 [-1 + 2.3 + 0 - 2.3 + 0.8]$$

$$M'_{17,11} = 0.227 (-2.8) = 0.6$$

$$M'_{17,16} = 0.046 (-2.8) = 0.1$$

$$M'_{17,21} = 0.227 (-2.8) = 0.6$$

$$\text{NUDO } \underline{18}$$

$$M'_{18,17} = -0.167 [-2.3 + 0.1 + 0.8 + 0.8 + 0.8]$$

$$M'_{18,17} = 0.167 (0.2) = 0.0$$

$$M'_{18,12} = -0.166 (0.2) = 0.0$$

$$M'_{18,22} = -0.167 (0.2) = 0.0$$

$$\text{NUDO } \underline{21}$$

$$M'_{21,17} = -0.182 [-5.2 + 0.6 + 2.9 + 0.6 + 3.1]$$

$$M'_{21,17} = 0.182 (12.4) = 2.3$$

$$M'_{21,22} = 0.136 (12.4) = 1.7$$

$$M'_{21,27} = 0.182 (12.4) = 2.3$$

$$\text{NUDO } \underline{22}$$

$$M'_{22,21} = -0.112 [-4.6 - 1.7 + 0 + 4.4 + 0 + 3.1 - 27.1]$$

$$M'_{22,21} = 0.112 (-25.9) = 2.9$$

$$M'_{22,10} = 0.030 (-25.9) = 0.8$$

$$M'_{22,210} = - (0.328 () - 25.9) = + 8.5$$

$$M'_{22,290} = - (0.030 () - 25.9) = + 0.8$$

NUDO 23

$$[1.32 - 5.0 M'_{23,22} = - 0.247] [1.2 + 8.5 + 1 - 2.5 + 0.9 - 27.1]$$

$$M'_{23,22} = - (0.247 () - 18) = + 4.4$$

$$M'_{23,13} = - (0.057 () - 18) = + 1.0$$

$$M'_{23,24} = - (0.139 () - 18) = + 2.5$$

$$M'_{23,31} = - (0.057 () - 18) = + 1.0$$

NUDO 27

$$M'_{27,210} = - 0.227 [1 - 2.3 + 0 - 2.1 + 0.8]$$

$$M'_{27,21} = - 0.227 (- 2.6) = + 0.6$$

$$M'_{27,28} = - 0.046 (- 2.6) = + 0.1$$

$$M'_{27,31} = - 0.227 (- 2.6) = + 0.6$$

NUDO 28

$$[M'_{28,27} = - 0.167] [- 2.3 + 0.1 + 0.8 + 0.8 + 0.8]$$

$$M'_{28,27} = - 0.167 (0.2) = - 0.0$$

$$M'_{28,22} = - 0.166 (0.2) = - 0.0$$

$$M'_{28,22} = - 0.167 (0.2) = - 0.0$$

NUDO 31

$$M'_{31,27} = - 0.182 [5.2 + 0.6 + 3.2 - 0.3 + 3.1]$$

$$M'_{31,27} = - 0.182 (11.8) = - 2.1$$

$$M'_{31,32} = - 0.136 (11.8) = - 1.6$$

$$M'_{31,37} = - 0.182 (11.8) = - 2.1$$

NUDO 32

$$M'_{32,31} = - 0.120 [- 4.6 - 1.6 + 0 + 3.8 + 3.1 - 27.1]$$

$$M'_{32,31} = - 0.120 (- 26.4) = + 3.2$$

$$M'_{32,20} = -0.032 (-26.4) = +0.8$$

$$M'_{32,33} = -0.348 (-26.4) = +9.2$$

NUDO 33

$$M'_{33,32} = -0.222 [1.2 + 9.2 + 1 - 2.1 + 0.7 - 27.1]$$

$$M'_{33,32} = -0.222 (-17.1) = +3.8$$

$$M'_{33,23} = -0.051 (-17.1) = +0.9$$

$$M'_{33,34} = -0.125 (-17.1) = +2.1$$

$$M'_{33,36} = -0.102 (-17.1) = +1.7$$

NUDO 37

$$M'_{37,33} = -0.266 [2.7 - 2.1 + 0.4]$$

$$M'_{37,33} = -0.266 (1) = -0.3$$

$$M'_{37,38} = -0.144 (1) = -0.1$$

$$M'_{37,43} = -0.090 (1) = -0.1$$

NUDO 38

$$M'_{38,37} = -0.106 [-4.9 - 0.1 + 1.7 - 0.4]$$

$$M'_{38,37} = -0.106 (-3.7) = +0.4$$

$$M'_{38,33} = -0.197 (-3.7) = +0.7$$

$$M'_{38,43} = -0.197 (-3.7) = +0.7$$

NUDO 41

$$M'_{41,38} = -0.269 [0.7 + 0.7 + 0.1]$$

$$M'_{41,38} = -0.269 (1.5) = -0.4$$

$$M'_{41,42} = -0.091 (1.5) = -0.1$$

$$M'_{41,44} = -0.140 (1.5) = -0.2$$

7). Cálculo de Momentos Finales.

$$M_{ik} = \bar{M}_{ik} + 2 M'_{ik} + M''_{ki} + M'''_{ik}$$

Para columnas continuas :

$$M''_{ik} = \Sigma m''_{ik}$$

Nudo	Barra	M'_{ik}	$2M'_{ik}$	\bar{M}_{ik}	M''_{ki}	M'''_{ik}	M_{ik}
1	1-2	- 2.8	- 5.6	+ 6.0	+ 3.3	+ 3.1	+ 6.8
	1-7	- 3.8	- 7.6	-	+ 0.9	-	- 6.7
2	2-1	+ 3.3	+ 6.6	- 5.7	- 2.8	+ 3.1	+ 1.2
	2-3	+ 9.4	+18.8	+ 0.6	+ 5.0	-27.1	- 2.7
	2-8	+ 0.9	+ 1.8	-	- 0.2	-	+ 1.6

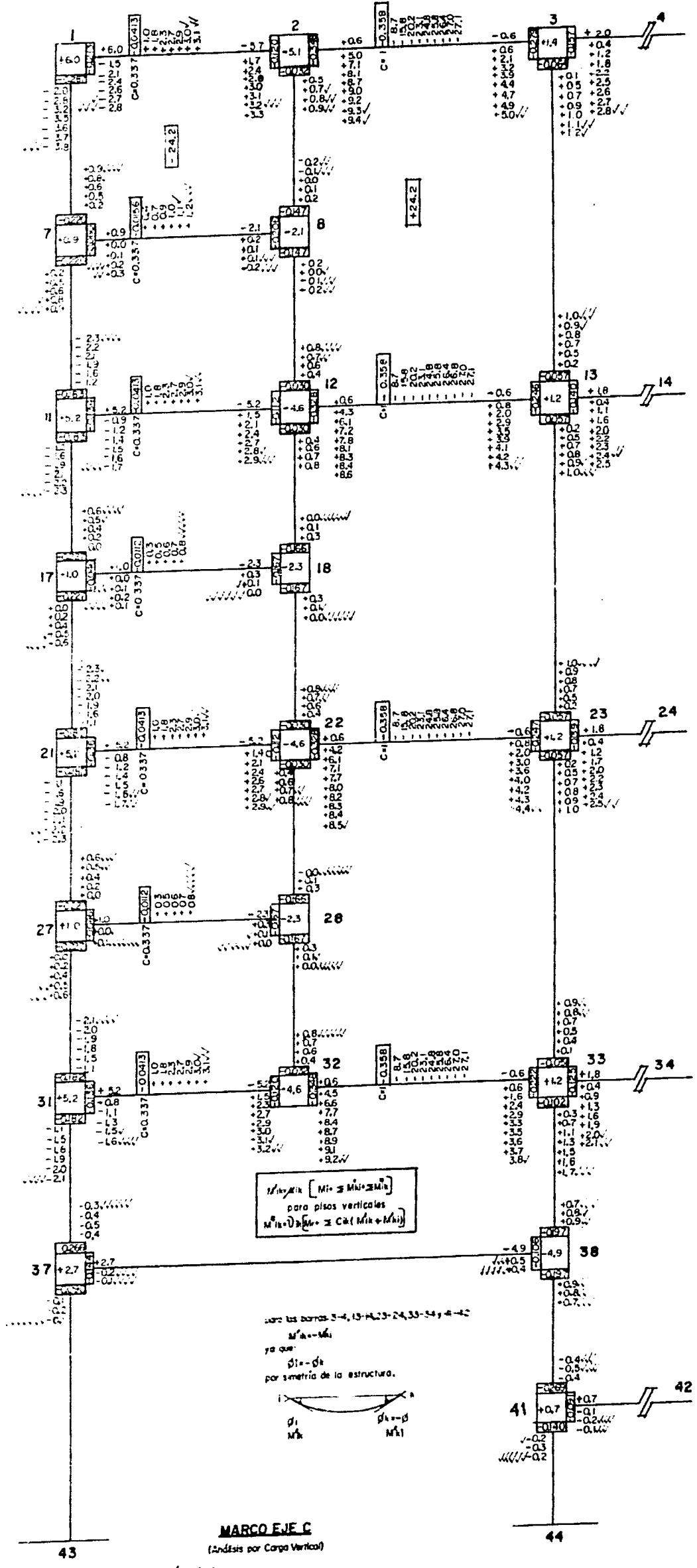
Nudo	Barra	M'ik	2M'ik	M'ik	M'ik	M'ik	M'ik
3	3-2	+ 5	+ 10	- 0.6	+ 9.4	-27.1	- 8.3
	3-4	+ 2.8	+ 5.6	+ 2	- 2.8	-	+ 4.8
	3-13	+ 1.2	+ 2.4	-	+ 1.0	-	+ 3.4
7	7-1	+ 0.9	+ 1.8	-	- 3.8	-	- 2
	7-8	+ 0.3	+ 0.6	+ 0.9	- 0.2	+ 1.2	+ 2.5
	7-11	+ 0.9	+ 1.8	-	- 2.3	-	- 0.5
8	8-7	- 0.2	- 0.4	- 2.1	+ 0.3	+ 1.2	- 1
	8-2	- 0.2	- 0.4	-	+ 0.9	-	+ 0.5
	8-12	- 0.2	- 0.4	-	+ 0.8	-	+ 0.4
11	11-7	- 2.3	- 4.6	-	+ 0.9	-	- 3.7
	11-12	- 1.7	- 3.4	+ 5.2	+ 2.9	+ 3.1	+ 7.8
	11-17	- 2.3	- 4.6	-	+ 0.6	-	- 4
12	12-11	+ 2.9	+ 5.8	- 5.2	- 1.7	+ 3.1	+ 2
	12-8	+ 0.8	+ 1.6	-	- 0.2	-	+ 1.4
	12-13	+ 8.6	+ 17.2	+ 0.6	+ 4.3	-27.1	- 5
	12-18	+ 0.8	+ 1.6	-	+ 0.0	-	+ 1.6
13	13-12	+ 4.3	+ 8.6	- 0.6	+ 8.6	-27.1	-10.5
	13-3	+ 1.0	+ 2.0	-	+ 1.2	-	+ 3.2
	13-14	+ 2.5	+ 5	+ 1.8	- 2.5	-	+ 4.3
	13-23	+ 1.0	+ 2.0	-	+ 1.0	-	+ 3
17	17-11	+ 0.6	+ 1.2	-	- 2.3	-	- 1.1
	17-18	+ 0.1	+ 0.2	+ 1.0	+ 0.0	+ 0.8	+ 2
	17-21	+ 0.6	+ 1.2	-	- 2.3	-	- 1.1
18	18-17	+ 0.0	+ 0.0	- 2.3	+ 0.1	+ 0.8	- 1.4
	18-12	+ 0.0	+ 0.0	-	+ 0.8	-	+ 0.8
	18-22	+ 0.0	+ 0.0	-	+ 0.8	-	+ 0.8
21	21-17	- 2.3	- 4.6	-	+ 0.6	-	- 4
	21-22	- 1.7	- 3.4	+ 5.2	+ 2.9	+ 3.1	+ 7.8

Nudo	Barra	M'ik	2M'ik	Mik	M'kt	M'ik	Mik
21	21-27	- 2.3	- 4.6	-	+ 0.6	-	- 4.5
	22-21	+ 2.9	+ 5.8	- 5.2	- 1.7	+ 3.1	+ 2.5
22	22-18	+ 0.8	+ 1.6	-	+ 0.0	-	+ 1.6
	22-23	+ 8.5	+17.0	+ 0.6	+ 4.4	-27.1	- 5.1
	22-28	+ 0.8	+ 1.6	-	+ 0.0	-	+ 1.6
	23-22	+ 4.4	+ 8.8	- 0.6	+ 8.5	-27.1	-10.4
23	23-13	+ 1.0	+ 2.0	-	+ 1.0	-	+ 3
	23-24	+ 2.5	+ 5.0	+ 1.8	- 2.5	-	+ 4.3
	23-33	+ 1.0	+ 2.0	-	+ 0.9	-	+ 2.9
27	27-21	+ 0.6	+ 1.2	-	- 2.3	-	- 1.1
	27-28	+ 0.1	+ 0.2	+ 1.0	+ 0.0	+ 0.3	+ 2
	27-31	+ 0.6	+ 1.2	-	- 2.1	-	- 0.9
28	28-27	+ 0.0	+ 0.0	- 2.3	+ 0.1	+ 0.8	- 1.4
	28-22	+ 0.0	+ 0.0	-	+ 0.8	-	+ 0.8
	28-32	+ 0.0	+ 0.0	-	+ 0.8	-	+ 0.8
31	31-27	- 2.1	- 4.2	-	+ 0.6	-	- 3.6
	31-32	- 1.6	- 3.2	+ 5.2	+ 3.2	+ 3.1	+ 8.3
	31-37	- 2.1	- 4.2	-	- 0.3	-	- 4.5
32	32-31	+ 3.2	+ 6.4	- 5.2	- 1.6	+ 3.1	+ 2.7
	32-28	+ 0.8	+ 1.6	-	+ 0.0	-	+ 1.6
	32-33	+ 9.2	+ 18.4	+ 0.6	+ 3.8	-27.1	- 4.3
33	33-32	+ 3.8	+ 7.6	- 0.6	+ 9.2	-27.1	-10.9
	33-23	+ 0.9	+ 1.8	-	+ 1.0	-	+ 2.8
	33-34	+ 2.1	+ 4.2	+ 1.8	- 2.1	-	+ 3.9
	33-38	+ 1.7	+ 3.4	-	+ 0.7	-	+ 4.1
37	37-31	- 0.3	- 0.6	-	- 2.1	-	- 2.7
	37-38	- 0.1	- 0.2	+ 2.7	+ 0.4	-	+ 2.9
	37-43	- 0.1	- 0.2	-	-	-	- 0.2

Nudo	Barra	M'ik	2M'ik	Mik	M'ki	M ^o ik	Mik
38	38-37	+ 0.4	+ 0.8	- 4.9	- 0.1	-	- 4.2
	38-33	+ 0.7	+ 1.4	-	+ 1.7	-	+ 3.1
	38-41	+ 0.7	+ 1.4	-	- 0.4	-	+ 1.0
41	41-38	- 0.4	- 0.8	-	+ 0.7	-	- 0.1
	41-42	- 0.1	- 0.2	+ 0.7	+ 0.1	-	+ 0.6
	41-44	- 0.2	- 0.4	-	-	-	- 0.4
43	43-37	-	-	-	- 0.1	-	- 0.1
44	44-41	-	-	-	- 0.2	-	- 0.2

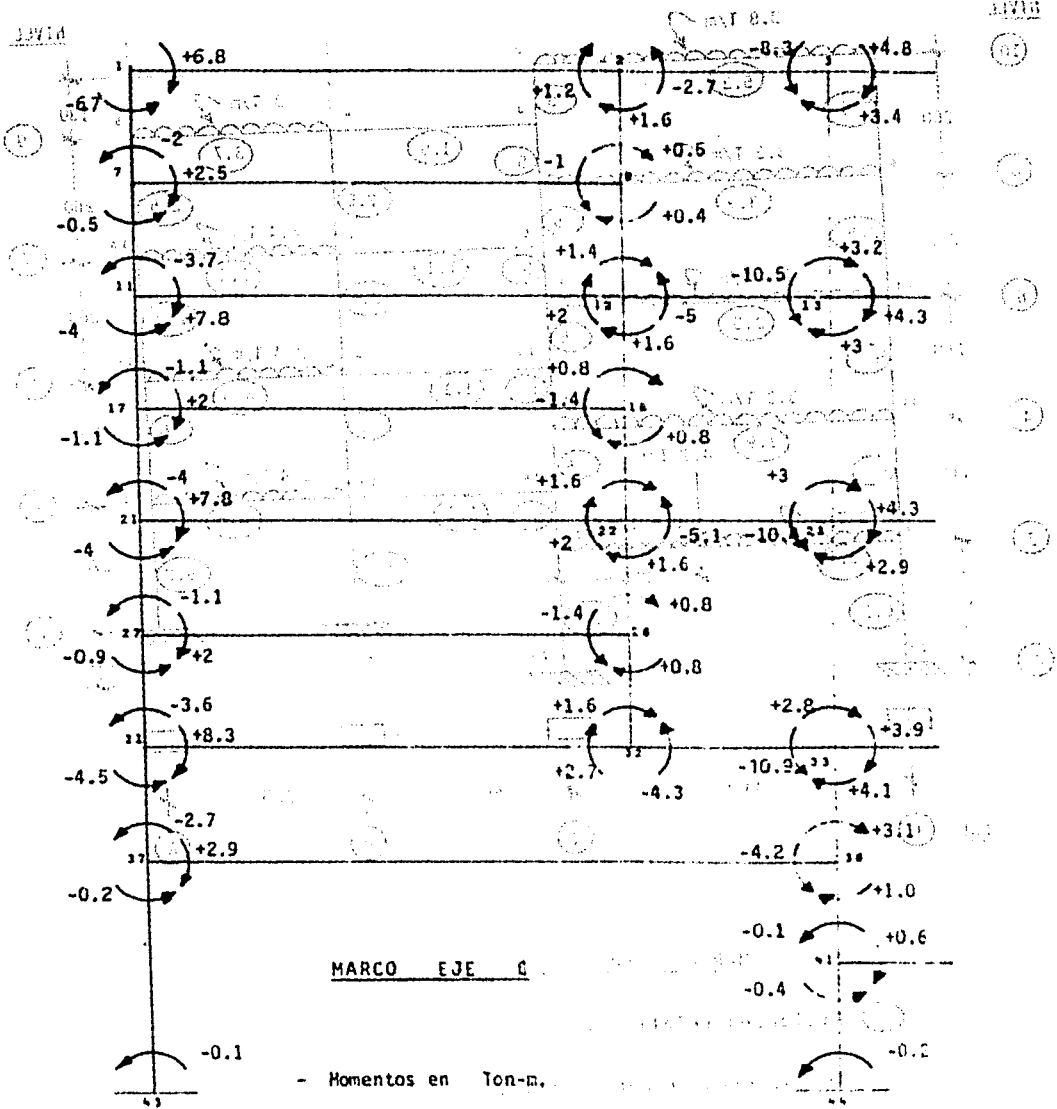
72
85
16
85
80

PISO "IZQUIERDO" PISO "DERECHO"

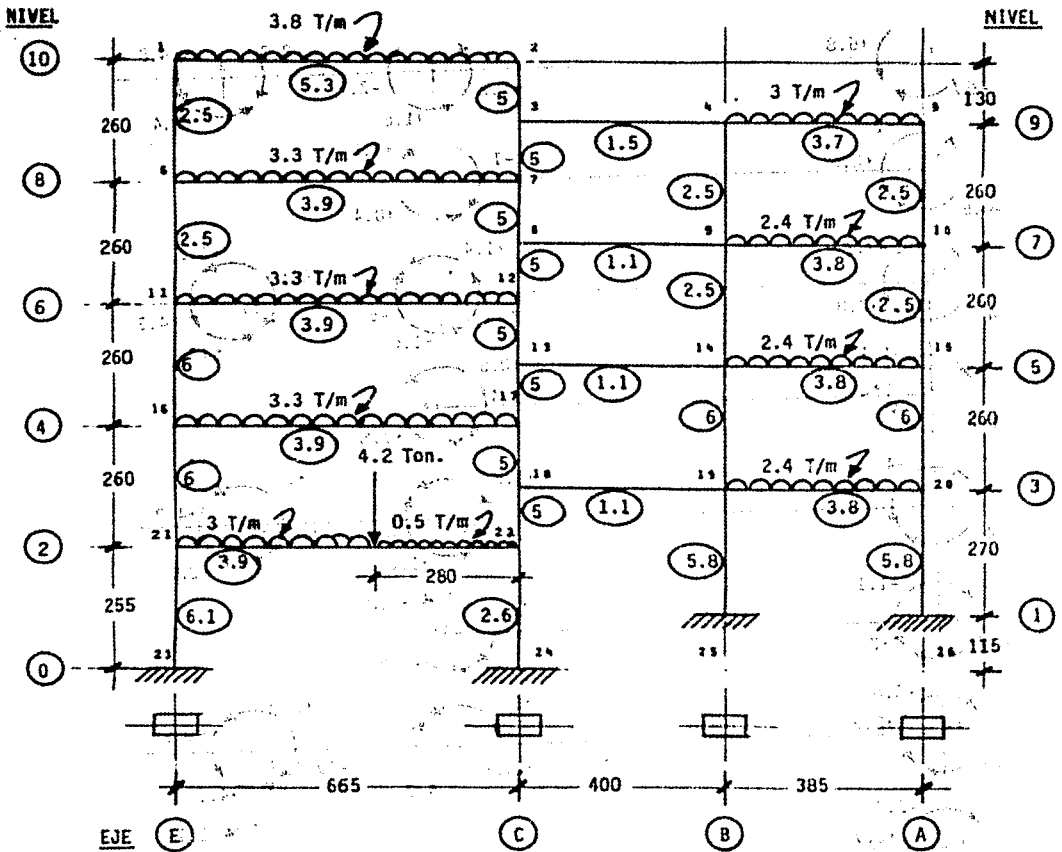


NOTA El símbolo (.) indica repetición del valor.

8). Momentos Finales de Barra sobre Nudo (b.s.n.)



(... ..) about angles fixed on column's extremities



MARCO EJES 1 Y 6

○ Rigideces relativas.

— Acotaciones en centímetros.

- MARCOS EJES (1) y (6)

Debido a la antisimetría en geometría y cargas, estos marcos presentan desplazamientos lineales horizontales, a pesar de que no existen fuerzas exteriores que los propicien ($Q_1 = 0$).

1). Momentos de Empotramiento

BARRA	W (Ton/m)	L (m)	Mik (T-m)	Mki (T-m)
1-2	3.8	6.65	+ 14.0	- 14.0
4-5	3.81	3.85	+ 3.7	- 3.7
6-7			0	0
11-12	3.3	6.65	+ 12.2	- 12.2
16-17			0	0
9-10			0	0
14-15	2.4	3.85	+ 3.0	- 3.0
19-20			0	0
21-22	3.05	6.65	+ 12.0	- 12.0

2). Momentos de Desequilibrio

NUDO	BARRA	Mik	Mi	NUDO	BARRA	Mik	Mi
1	1-2	+ 14.0	+ 14.0	13	13-12	0	0
	1-6	0			13-14	0	
2	2-1	- 14.0	- 14.0		13-17	0	
	2-3	0					
3	3-2	0	0	14	14-13	0	+ 3.0
	3-4	0			14-9	0	
	3-7	0			14-15	+ 3.0	
			14-19		0		

Debido a las variaciones en geometría y cargas, estas

NUDO	BARRA	Mik	Mi	NUDO	BARRA	Mik	Mi
4	4-3	0	+ 3.7	15	15-14	- 3.0	- 3.0
	4-5	+ 3.7			15-19	0	
	4-9	0			15-20	0	
5	5-4	- 3.7	- 3.7	16	16-11	0	+12.2
	5-10	0			16-17	+12.2	
6	6-1	0	+12.2		17	16-21	
	6-7	+12.2		17-16		-12.2	
	6-11	0		17-13		0	
7	7-6	-12.2	-12.2	18	17-18	0	0
	7-3	0			18-17	0	
	7-8	0			18-19	0	
8	8-7	0	0	19	18-22	0	+ 3.0
	8-9	0			19-18	0	
	8-12	0			19-14	0	
9	9-8	0	+ 3.0	20	19-20	+ 3.0	- 3.0
	9-4	0			19-25	0	
	9-10	+ 3.0			20-19	- 3.0	
	9-14	0			20-15	0	
10	10-9	- 3.0	- 3.0	21	20-26	0	+12.0
	10-5	0			21-16	0	
	10-15	0			21-22	+12.0	
11	11-6	0	+12.2	22	21-23	0	- 9.8
	11-12	+12.2			22-21	- 9.8	
	11-16	0			22-18	0	
12	12-11	-12.2	-12.2		22-24	0	
	12-8	0					
	12-13	0					

$M_i = \sum Mik$

3). Momentos de Piso.

Todos son nulos

4). Rigideces y Factores de Distribución Angular.

NUDO	BARRA	r_{ik}	f_{ik}	μ_{ik}	NUDO	BARRA	r_{ik}	f_{ik}	μ_{ik}
1	1-2	5.3	0.679	-0.340	13	13-12	5	0.450	-0.225
	1-6	2.5	0.321	-0.160		13-14	1.1	0.100	-0.050
	Σ	7.8	1.000	-0.500		13-17	5	0.450	-0.225
2	2-1	5.3	0.515	-0.258	Σ	11.1	1.000	-0.500	
	2-3	5	0.485	-0.242	14	14-13	1.1	0.082	-0.041
	Σ	10.3	1.000	-0.500	14-9	2.5	0.187	-0.093	
3	3-2	5	0.435	-0.218	14	14-15	3.8	0.284	-0.142
	3-4	1.5	0.130	-0.064	Σ	6.0	0.447	-0.224	
	3-7	5	0.435	-0.218	Σ	13.4	1.000	-0.500	
	Σ	11.5	1.000	-0.500	15	15-14	3.8	0.309	-0.155
4	4-3	1.5	0.195	-0.098	15	15-10	2.5	0.203	-0.101
	4-5	3.7	0.481	-0.240	15-20	6	0.488	-0.244	
	4-9	2.5	0.324	-0.162	Σ	12.3	1.000	-0.500	
	Σ	7.7	1.000	-0.500	16	16-11	6	0.377	-0.188
5	5-4	3.7	0.597	-0.298	16	16-17	3.9	0.246	-0.124
	5-10	2.5	0.403	-0.202	16-21	6	0.377	-0.188	
	Σ	6.2	1.000	-0.500	Σ	15.9	1.000	-0.500	
6	6-1	2.5	0.281	-0.141	17	17-16	3.9	0.280	-0.140
	6-7	3.9	0.438	-0.218	17-13	5	0.360	-0.180	
	6-11	2.5	0.281	-0.141	17-18	5	0.360	-0.180	
	Σ	8.9	1.000	-0.500	Σ	13.9	1.000	-0.500	
7	7-6	3.9	0.280	-0.140	18	18-17	5	0.450	-0.225
	7-3	5	0.360	-0.180	18-19	1.1	0.100	-0.050	
	7-8	5	0.360	-0.180	18-22	5	0.450	-0.225	
	Σ	13.9	1.000	-0.500	Σ	11.1	1.000	-0.500	
8	8-7	5	0.450	-0.225	19	19-18	1.1	0.066	-0.033
	8-9	1.1	0.100	-0.050	19-14	6	0.359	-0.180	
	8-12	5	0.450	-0.225	19-20	3.8	0.228	-0.114	
	Σ	11.1	1.000	-0.500	19-25	5.8	0.347	-0.173	
9	9-8	1.1	0.111	-0.055	Σ	16.7	1.000	-0.500	
	9-4	2.5	0.253	-0.126	20	20-19	3.8	0.244	-0.122
	9-10	3.8	0.383	-0.193	20-15	6	0.385	-0.192	
	9-14	2.5	0.253	-0.126	20-26	5.8	0.371	-0.186	
	Σ	9.9	1.000	-0.500	Σ	15.6	1.000	-0.500	

Los datos son los siguientes

NUDO	BARRA	r_{ik}	f_{ik}	μ_{ik}	NUDO	BARRA	r_{ik}	f_{ik}	μ_{ik}
10	10-9	3.8	0.432	-0.216	21	21-16	6	0.375	-0.188
	10-5	2.5	0.284	-0.142		21-22	3.9	0.244	-0.122
	10-15	2.5	0.284	-0.142		21-23	6.1	0.381	-0.190
	Σ	8.8	1.000	-0.500		Σ	16.0	1.000	-0.500
11	11-6	2.5	0.202	-0.101	22	22-21	3.9	0.339	0.170
	11-12	3.9	0.315	-0.158		22-18	5	0.435	-0.217
	11-16	6	0.483	-0.241		22-24	2.6	0.226	-0.113
	Σ	12.4	1.000	-0.500		Σ	11.5	1.000	-0.500
12	12-11	3.9	0.280	-0.140					
	12-8	5	0.360	-0.180					
	12-13	5	0.360	-0.180					
	Σ	13.9	1.000	-0.500					

$r_{ik} = K_{ik}$; Rigidez angular relativa de la barra ik.

$K_i = \Sigma r_{ik}$; Rigidez angular relativa del nudo i.

$f_{ik} = \frac{r_{ik}}{\Sigma r_{ik}}$; Factor de distribución angular de la barra ik.

$\mu_{ik} = \frac{1}{2} f_{ik}$; $\frac{1}{2}$ del factor de distribución angular de la barra ik.

5). Rigideces y Factores de Distribución lineal.

En este caso, se tienen varias columnas continuas, - que son precisamente las : 1-6, 4-9, 5-10, 6-11, 9-14, 10-15, 11-16, 14-19, - 15-20, 16-21, 19-25 y 20-26; estas tendrán dos C_{ik} , cada una, ya que intervendrán en dos cortes de equilibrio.

La columna 1-6, correspondera a los pisos 10 y 9; - las columnas 4-9 y 5-10, a los pisos 9 y 8; la columna 6-11, a los pisos 8 y 7, las columnas 9-14 y 10-15 a los pisos 7 y 6; la columna 11-16, a los pisos 6 y 5; las columnas 14-19 y 15-20, a los pisos 5 y 4; la columna 16-21, a los pisos 4 y 3; las columnas 19-25 y 20-26, a los pisos 3 y 2 respectivamente.

La altura de corte para los pisos 10, 9, 8, 7, 6, - 5, 4, 3 y 2, será : $h_r = 2.60$ m.

Con estas alturas, se calcularán los coeficientes - de reducción " C_{ik} " ;

$$C_{fk} = \frac{Q \text{ hr}}{h1k}$$

PISO $\frac{1}{10} = \frac{03.5}{03.5} = 1$

$C_{16,10} = \frac{2.60}{2.60} = 1$ $\frac{1}{10} = \frac{03.5}{03.5} = 1$

$C_{23} = \frac{2.60}{1.30} = 2$ $\frac{1}{10} = \frac{03.5}{03.5} = 1$

PISO $\frac{1}{9} = \frac{03.5}{03.5} = 1$

$C_{16,9} = \frac{2.60}{2.60} = 1$ $\frac{1}{9} = \frac{03.5}{03.5} = 1$

$C_{37} = \frac{2.60}{1.30} = 2$ $\frac{1}{9} = \frac{03.5}{03.5} = 1$

$C_{49,9} = \frac{2.60}{2.60} = 1$ $\frac{1}{9} = \frac{03.5}{03.5} = 1$

$C_{5,10,9} = \frac{2.60}{2.60} = 1$ $\frac{1}{9} = \frac{03.5}{03.5} = 1$

PISO $\frac{1}{8} = \frac{03.5}{03.5} = 1$

$C_{6,11,8} = \frac{2.60}{2.60} = 1$ $\frac{1}{8} = \frac{03.5}{03.5} = 1$

$C_{78} = \frac{2.60}{1.30} = 2$ $\frac{1}{8} = \frac{03.5}{03.5} = 1$

$C_{49,8} = \frac{2.60}{2.60} = 1$ $\frac{1}{8} = \frac{03.5}{03.5} = 1$

$C_{5,10,8} = \frac{2.60}{2.60} = 1$ $\frac{1}{8} = \frac{03.5}{03.5} = 1$

PISO $\frac{1}{7} = \frac{03.5}{03.5} = 1$

$C_{6,11,7} = \frac{2.60}{2.60} = 1$ $\frac{1}{7} = \frac{03.5}{03.5} = 1$

$C_{8,12} = \frac{2.60}{1.30} = 2$ $\frac{1}{7} = \frac{03.5}{03.5} = 1$

$C_{9,14,7} = \frac{2.60}{2.60} = 1$ $\frac{1}{7} = \frac{03.5}{03.5} = 1$

$C_{10,15,7} = \frac{2.60}{2.60} = 1$ $\frac{1}{7} = \frac{03.5}{03.5} = 1$

CAL

PISO		6	
		470	010

$C_{11,16}$	$= \frac{2.60}{2.60} = 1$	I = 08.5	0219
$C_{12,13}$	$= \frac{2.60}{1.30} = 2$	S = 08.5	
$C_{9,14}$	$= \frac{2.60}{2.60} = 1$	S = 08.5	
$C_{10,15}$	$= \frac{2.60}{2.60} = 1$	S = 08.5	0219

PISO		5	
		08.5	0219

$C_{11,16}$	$= \frac{2.60}{2.60} = 1$	S = 08.5	0219
$C_{13,17}$	$= \frac{2.60}{1.30} = 2$	I = 08.5	
$C_{14,19}$	$= \frac{2.60}{2.60} = 1$	I = 08.5	
$C_{15,20}$	$= \frac{2.60}{2.60} = 1$	I = 08.5	0219

PISO		4	
		08.5	0219

$C_{16,21}$	$= \frac{2.60}{2.60} = 1$	S = 08.5	0219
$C_{17,18}$	$= \frac{2.60}{1.30} = 2$	I = 08.5	
$C_{14,19}$	$= \frac{2.60}{2.60} = 1$	I = 08.5	
$C_{15,20}$	$= \frac{2.60}{2.60} = 1$	I = 08.5	0219

PISO		3	
		08.5	0219

$C_{16,21}$	$= \frac{2.60}{2.60} = 1$	S = 08.5	0219
$C_{18,22}$	$= \frac{2.60}{1.30} = 2$	I = 08.5	
$C_{19,25}$	$= \frac{2.60}{2.70} = 0.963$	I = 08.5	
$C_{20,26}$	$= \frac{2.60}{2.70} = 0.963$	I = 08.5	

$$C_{21,23} = \frac{2.60}{2.55} = 1.020$$

$$C_{22,23} = \frac{2.60}{2.55} = 1.020$$

$$C_{19,25} = \frac{2.60}{2.70} = 0.963$$

$$C_{20,25} = \frac{2.60}{2.70} = 0.963$$

Por lo tanto, los factores de distribución lineal, para las columnas de todos y cada uno de los pisos, valen :

$$v_{ik} = -\frac{3}{2} \frac{C_{ik} K_{ik}}{\sum C_{ik} K_{ik}}$$

PISO 10

$$v_{16,10} = -\frac{3}{2} \frac{C_{16,10} K_{16,10}}{C_{16,10} K_{16,10} + C_{23,10} K_{23,10}}$$

$$v_{16,10} = -\frac{3}{2} \frac{1(2.5)}{1(2.5) + 2(5)} = -\frac{3}{2} \frac{2.5}{22.5}$$

$$v_{16,10} = -\frac{3}{2} \frac{2.5}{2.5 + 20} = -\frac{3}{2} \frac{2.5}{22.5}$$

$$v_{16,10} = -0.167$$

$$v_{23,10} = -\frac{3}{2} \frac{C_{23,10} K_{23,10}}{C_{16,10} K_{16,10} + C_{23,10} K_{23,10}}$$

$$v_{23,10} = -\frac{3}{2} \frac{2(5)}{22.5} = -\frac{3}{2} \frac{10}{22.5}$$

$$v_{23,10} = -0.667$$

Comprobación :

$$\sum C_{ik} v_{ik} = -\frac{3}{2}$$

$$C_{16,10} v_{16,10} + C_{23,10} v_{23,10} = -\frac{3}{2}$$

$$1(-0.167) + 2(-0.667) = -\frac{3}{2}$$

$$-0.167 - 1.334 = -\frac{3}{2}$$

$$-1.501 = -\frac{3}{2} \quad \checkmark$$

PISO 9

$$v_{16,9} = - \frac{3}{2} C_{16,9} K_{16} / C_{16,9} K_{16} + C_{37}^2 K_{37} + C_{49}^2 K_{49} + C_{5,10}^2 K_{5,10}$$

$$v_{16,9} = - \frac{3}{2} 1 (2.5) / 1^2 (2.5) + 2^2 (5) + 1^2 (2.5) + 1^2 (2.5)$$

$$v_{16,9} = - \frac{3}{2} 2.5 / 2.5 + 20 + 2.5 + 2.5$$

$$v_{16,9} = - \frac{3}{2} 2.5 / 27.5$$

$v_{16,9} = - 0.136$

$$v_{37,9} = - \frac{3}{2} C_{37} K_{37} / 27.5 = - \frac{3}{2} 2 (5) / 27.5$$

$v_{37,9} = - \frac{3}{2} 10 / 27.5$

$v_{37,9} = - 0.545$

$$v_{49,9} = - \frac{3}{2} C_{49} K_{49} / 27.5 = - \frac{3}{2} 1 (2.5) / 27.5$$

$v_{49,9} = - \frac{3}{2} 2.5 / 27.5$

$v_{49,9} = - 0.136$

$$v_{5,10,9} = - \frac{3}{2} C_{5,10} K_{5,10} / 27.5 = - \frac{3}{2} 1 (2.5 / 27.5)$$

$v_{5,10,9} = - 0.136$

Comprobación :

$$\Sigma C_{ik} v_{ik} = - \frac{3}{2}$$

$$C_{16,9} v_{16,9} + C_{37} v_{37,9} + C_{49} v_{49,9} + C_{5,10} v_{5,10,9} = - \frac{3}{2}$$

$$1 (- 0.136) + 2 (- 0.545) + 1 (- 0.136) + 1 (- 0.136) = - \frac{3}{2}$$

$$- 0.136 - 1.090 - 0.136 - 0.136 = - \frac{3}{2}$$

$$- 1.498 = - \frac{3}{2} \checkmark$$

PISO 8

$$v_{6,11,8} = - \frac{3}{2} C_{6,11,8} K_{6,11} / C_{6,11,8} K_{6,11} + C_{78}^2 K_{78} + C_{9,8}^2 K_{9,8} + C_{10,10}^2 K_{10,10}$$

$$v_{6,11} = -\frac{3}{2} \cdot 1 (2.5) / 1^2(2.5) + 2^2(5) + 1^2(2.5) + 1^2(2.5) = -\frac{3}{2} \cdot 2.5 / 27.5 = -0.136$$

$$v_{6,11} = -\frac{3}{2} \cdot 2.5 / 2.5 + 20 + 2.5 + 2.5 = -\frac{3}{2} \cdot 2.5 / 27.5 = -0.136$$

$$v_{6,11} = -0.136$$

$$v_{78} = -\frac{3}{2} C_{78} K_{78} / 27.5 = -\frac{3}{2} \cdot 2 (5) / 27.5 = -0.545$$

$$v_{78} = -0.545$$

$$v_{89} = -\frac{3}{2} C_{89} K_{89} / 27.5 = -\frac{3}{2} \cdot 1 (2.5) / 27.5 = -0.136$$

$$v_{89} = -0.136$$

$$v_{5,10} = -\frac{3}{2} C_{5,10} K_{5,10} / 27.5 = -\frac{3}{2} \cdot 1 (2.5) / 27.5 = -0.136$$

$$v_{5,10} = -0.136$$

$$v_{5,10} = -0.136$$

Comprobación :

$$\Sigma C_{ik} v_{ik} = -\frac{3}{2} [C_{6,11} v_{6,11} + C_{78} v_{78} + C_{89} v_{89} + C_{5,10} v_{5,10}] = -\frac{3}{2} [1(-0.136) + 2(-0.545) + 1(-0.136) + 1(-0.136)] = -\frac{3}{2} [-0.136 - 1.090 - 0.136 - 0.136] = -\frac{3}{2} [-1.498] = 1.498$$

PISO

$$v_{6,11} = -\frac{3}{2} C_{6,11} K_{6,11} / C_{6,11}^2 K_{6,11} + C_{6,12}^2 K_{6,12} + C_{5,10}^2 K_{5,10} + C_{10,15}^2 K_{10,15}$$

$$v_{6,11} = -\frac{3}{2} \cdot 1 (2.5) / 1^2(2.5) + 2^2(5) + 1^2(2.5) + 1^2(2.5)$$

$$v_{6,11} = -\frac{3}{2} \cdot 2.5 / 2.5 + 20 + 2.5 + 2.5 = -\frac{3}{2} \cdot 2.5 / 27.5$$

$$v_{6,11} = -0.136$$

$$v_{8,12} = -\frac{3}{2} C_{8,12} K_{8,12} / 27.5$$

$$v_{8,12} = -\frac{3}{2} \cdot 2 \cdot (5) / (27.5) = -\frac{3}{2} \cdot 10 / 27.5 = -\frac{30}{27.5} = -1.090$$

$$v_{8,12} = -0.545$$

$$v_{9,14} = -\frac{3}{2} C_{9,14} K_{9,14} / 27.5 = -\frac{3}{2} \cdot 1 \cdot (2.5) / 27.5 = -\frac{3.75}{27.5} = -0.136$$

$$v_{9,14} = -0.136$$

$$v_{10,15} = -\frac{3}{2} C_{10,15} K_{10,15} / 27.5 = -\frac{3}{2} \cdot 1 \cdot (2.5) / 27.5 = -\frac{3.75}{27.5} = -0.136$$

$$v_{10,15} = -0.136$$

Comprobación:

$$\Sigma C_{ik} v_{ik} = -\frac{3}{2}$$

$$C_{8,11} v_{8,11} + C_{8,12} v_{8,12} + C_{9,14} v_{9,14} + C_{10,15} v_{10,15} = -\frac{3}{2}$$

$$-0.136 - 1.090 - 0.136 - 0.136 = -\frac{3}{2}$$

$$-1.498 = -\frac{3}{2} \checkmark$$

PISO 6

$$v_{11,16} = -\frac{3}{2} C_{11,16} K_{11,16} / C_{11,16}^2 K_{11,16} + C_{12,13} K_{12,13} + C_{9,14}^2 K_{9,14} + C_{10,15}^2 K_{10,15}$$

$$v_{11,16} = -\frac{3}{2} \cdot 1 \cdot (6) / (1^2(6) + 2^2(5) + 1^2(2.5) + 1^2(2.5))$$

$$v_{11,16} = -\frac{3}{2} \cdot 6 / (6 + 20 + 2.5 + 2.5) = -\frac{3}{2} \cdot 6 / 31$$

$$v_{11,16} = -0.290$$

$$v_{12,13} = -\frac{3}{2} C_{12,13} K_{12,13} / 31 = -\frac{3}{2} \cdot 2 \cdot (5.0) / 31$$

$$v_{12,13} = -0.484$$

$$v_{9,14} = -\frac{3}{2} C_{9,14} K_{9,14} / 31 = -\frac{3}{2} \cdot 1 \cdot (2.5) / 31$$

$$v_{9,14} = -0.121$$

$$v_{10,15} = -\frac{3}{2} C_{10,15} K_{10,15} / 31 = -\frac{3}{2} \cdot 1 \cdot (2.5) / 31$$

$$v_{10,15} = -0.121$$

$$\begin{aligned}
 & + \dots + \sum C_{ik} v_{ik} = \frac{3}{2} \dots \\
 C_{11,16} v_{11,16} + C_{12,17} v_{12,17} + C_{13,19} v_{13,19} + C_{14,20} v_{14,20} + C_{15,20} v_{15,20} &= -\frac{3}{2} \\
 1(-0.290) + 2(-0.484) + 1(-0.121) + 1(-0.121) &= -\frac{3}{2} \\
 -0.290 - 0.968 - 0.121 - 0.121 &= -\frac{3}{2} \\
 -1.5 &= -\frac{3}{2} \quad \checkmark
 \end{aligned}$$

RISO

$$\begin{aligned}
 v_{11,16} &= -\frac{3}{2} \frac{C_{11,16} K_{11,16}}{C_{11,16}^2 K_{11,16} + C_{12,17}^2 K_{12,17} + C_{13,19}^2 K_{13,19} + C_{14,20}^2 K_{14,20}} \\
 v_{11,16} &= -\frac{3}{2} \frac{1(6)}{1^2(6) + 2^2(5) + 1^2(6) + 1^2(6)} \\
 v_{11,16} &= -\frac{3}{2} \frac{6}{6 + 20 + 6 + 6} = -\frac{3}{2} \frac{6}{38} \\
 \boxed{v_{11,16} = -0.237}
 \end{aligned}$$

$$\begin{aligned}
 v_{12,17} &= -\frac{3}{2} \frac{C_{12,17} K_{12,17}}{38} = -\frac{3}{2} \frac{2(5)}{38} \\
 \boxed{v_{12,17} = -0.395}
 \end{aligned}$$

$$\begin{aligned}
 v_{13,19} &= -\frac{3}{2} \frac{C_{13,19} K_{13,19}}{38} = -\frac{3}{2} \frac{1(6)}{38} \\
 \boxed{v_{13,19} = -0.237}
 \end{aligned}$$

$$\begin{aligned}
 v_{14,20} &= -\frac{3}{2} \frac{C_{14,20} K_{14,20}}{38} = -\frac{3}{2} \frac{1(6)}{38} \\
 \boxed{v_{14,20} = -0.237}
 \end{aligned}$$

Comprobación :

$$\begin{aligned}
 & \sum C_{ik} v_{ik} = \frac{3}{2} \\
 C_{11,16} v_{11,16} + C_{12,17} v_{12,17} + C_{13,19} v_{13,19} + C_{14,20} v_{14,20} &= -\frac{3}{2} \\
 1(-0.237) + 2(-0.395) + 1(-0.237) + 1(-0.237) &= -\frac{3}{2} \\
 -0.237 - 0.790 - 0.237 - 0.237 &= -\frac{3}{2} \\
 -1.501 &= -\frac{3}{2} \quad \checkmark
 \end{aligned}$$

$$v_{16,21} = -\frac{3}{2} C_{16,21} K_{16,21} / C_{16,21}^2 + C_{17,18} K_{17,18} + \dots$$

$$v_{16,21} = -\frac{3}{2} (1(6) / (1^2(6) + 2^2(5) + 1^2(6) + 1^2(6))) + (0.963^2 - 1) \dots$$

$$v_{16,21} = -\frac{3}{2} 6 / 6 + 20 + 6 + 96.0 - \frac{3}{2} 16 / 38 \cdot 0.963^2 - 0.963^2 - \dots$$

$v_{16,21} = -0.237$

$$v_{17,18} = -\frac{3}{2} C_{17,18} K_{17,18} / 38 = -\frac{3}{2} 2(5) / 38$$

$v_{17,18} = -0.395$

$$v_{18,19} = -\frac{3}{2} C_{18,19} K_{18,19} / 38 = -\frac{3}{2} 1(6) / 38$$

$v_{18,19} = -0.237$

$$v_{15,20} = -\frac{3}{2} C_{15,20} K_{15,20} / 38 = -\frac{3}{2} 1(6) / 38$$

$v_{15,20} = -0.237$

Comprobación :

$$\Sigma C_{ik} v_{ik} = -\frac{3}{2}$$

$$C_{16,21} v_{16,21} + C_{17,18} v_{17,18} + C_{18,19} v_{18,19} + C_{15,20} v_{15,20} = -\frac{3}{2} \cdot 1.501 = -\frac{3}{2}$$

PISO 3

$$v_{16,21} = -\frac{3}{2} C_{16,21} K_{16,21} / C_{16,21}^2 + C_{19,22} K_{19,22} + C_{19,25} K_{19,25} + C_{20,26} K_{20,26} + \dots$$

$$v_{16,21} = -\frac{3}{2} 1(6) / (1^2(6) + 2^2(5) + 0.963^2(5.8) + 0.963^2(5.8))$$

$$v_{16,21} = -\frac{3}{2} 6 / 6 + 20 + 5.378 + 5.378 = -\frac{3}{2} 6 / 36.756$$

$v_{16,21} = -0.245$

$$v_{18,22} = -\frac{3}{2} C_{18,22} K_{18,22} / 36.756 = -\frac{3}{2} 2(5) / 36.756$$

$v_{18,22} = -0.408$

$$v_{19,25_3} = -\frac{3}{2} C_{19,25_3} K_{19,25} / 36.756 = -\frac{3}{2} 0.963 (5.8) / 36.756$$

$$v_{19,25_3} = -0.228$$

$$v_{20,26_3} = -\frac{3}{2} C_{20,26_3} K_{20,26} / 36.756 = -\frac{3}{2} 0.963 (5.8) / 36.756$$

$$v_{20,26_3} = -0.228$$

Comprobación :

$$\Sigma C_{ik} v_{ik} = -\frac{3}{2}$$

$$C_{16,21_3} v_{16,21_3} + C_{18,22} v_{18,22} + C_{19,25_3} v_{19,25_3} + C_{20,26_3} v_{20,26_3} = -\frac{3}{2}$$

$$1 (-0.245) + 2 (-0.408) + 0.963 (-0.228) + 0.963 (-0.228) = -\frac{3}{2}$$

$$-0.245 - 0.816 - 0.220 - 0.220 = -\frac{3}{2}$$

$$-1.501 = -\frac{3}{2} \checkmark$$

PISO 2

$$v_{21,23} = -\frac{3}{2} C_{21,23} K_{21,23} / C_{21,23}^2 K_{21,23} + C_{22,24}^2 K_{22,24} + C_{19,25_2}^2 K_{19,25} + C_{20,26_2}^2 K_{20,26}$$

$$v_{21,23} = -\frac{3}{2} 1.020 (6.1) / 1.02^2 (6.1) + 1.02^2 (2.6) + 0.963^2 (5.8) + 0.963^2 (5.8)$$

$$v_{21,23} = -\frac{3}{2} 6.222 / 6.346 + 2.705 + 5.379 + 5.379 = -\frac{3}{2} 6.222 / 19.809$$

$$v_{21,23} = -0.471$$

$$v_{22,24} = -\frac{3}{2} C_{22,24} K_{22,24} / 19.809 = -\frac{3}{2} 1.020 (2.6) / 19.809$$

$$v_{22,24} = -0.201$$

$$v_{19,25_2} = -\frac{3}{2} C_{19,25_2} K_{19,25} / 19.809 = -\frac{3}{2} 0.963 (5.8) / 19.809$$

$$v_{19,25_2} = -0.423$$

$$v_{20,26_2} = -\frac{3}{2} C_{20,26_2} K_{20,26} / 19.809 = -\frac{3}{2} 0.963 (5.8) / 19.809$$

$$v_{20,26_2} = -0.423$$

6). Distribución de Momentos.

$$M'_{ik} = \mu_{ik} \left[M_i + \sum M'_{ki} + \sum M''_{ik} \right]$$

$$m''_{ik} = \nu_{ik} \left[M_r + \sum C_{ik} (M'_{ik} + M'_{ki}) + \frac{2}{3} \sum C_{ik} (m''_{ik} + m''_{ik} + \dots + m''_{ik} + m''_{ik} + \dots) \right]$$

(n) (1) (2)

(n-1) (n+1)

SEXTO CICLONUDO 1

$$M'_{12} = -0.340 [-14 + 6.5 - 1.3 - 0.9 + 0.2]$$

$$M'_{12} = -0.340 (18.5) = -6.3$$

$$M'_{16} = -0.160 (18.5) = -3$$

NUDO 2

$$M'_{21} = -0.258 [-14 - 6.3 - 1.2 - 3.7]$$

$$M'_{21} = -0.258 (-25.2) = +6.5$$

$$M'_{23} = -0.242 (-25.2) = +6.1$$

NUDO 3

$$M'_{32} = -0.218 [0 + 6.1 - 0.4 + 3 - 3.7 + 0.7]$$

$$M'_{32} = -0.218 (5.7) = -1.2$$

$$M'_{34} = -0.064 (5.7) = -0.4$$

$$M'_{37} = -0.218 (5.7) = -1.2$$

NUDO 4

$$M'_{43} = -0.098 [3.7 - 0.4 + 1.3 - 0.3 + 0.2 - 0.3]$$

$$M'_{43} = -0.098 (4.2) = -0.4$$

$$M'_{45} = -0.240 (4.2) = -1.0$$

$$M'_{49} = -0.162 (4.2) = -0.7$$

NUDO 5

$$M'_{54} = -0.298 [-3.7 - 1 + 0.4 + 0.2 - 0.3]$$

$$M'_{54} = -0.298 (-4.4) = +1.3$$

$$M'_{5,10} = -0.202 (-4.4) = +0.9$$

NUDO 6

$$M'_{61} = -0.141 [12.2 - 3 + 2.4 - 1.2 - 0.9 + 0.2 - 0.3 - 0.3]$$

$$M'_{61} = -0.141 (9.1) = -1.3$$

- $M'_{6,7} = - 0.218 (9.1) = - 2$
- $M'_{6,11} = - 0.141 (9.1) = - 1.3$
- NUDO 7
- $M'_{7,6} = - 0.140 [- 12.2 - 2 - 1.2 - 0.8 + 0.7 - 1.3]$
- $M'_{7,6} = - 0.140 (- 16.8) = + 2.4$
- $M'_{7,9} = - 0.180 (- 16.8) = + 3$
- $M'_{7,8} = - 0.180 (- 16.8) = + 3$
- NUDO 8
- $M'_{8,7} = - 0.225 [0 + 3 - 0.1 + 3 - 1.3 - 1.1]$
- $M'_{8,7} = - 0.225 (3.5) = - 0.8$
- $M'_{8,9} = - 0.050 (3.5) = - 0.2$
- $M'_{8,12} = - 0.225 (3.5) = - 0.8$
- NUDO 9
- $M'_{9,8} = - 0.055 [3 - 0.2 - 0.7 + 0.5 - 0.3 + 0.2 - 0.3 - 0.3 + 0.3]$
- $M'_{9,8} = - 0.055 (2.2) = - 0.1$
- $M'_{9,8} = - 0.126 (2.2) = - 0.3$
- $M'_{9,10} = - 0.193 (2.2) = - 0.4$
- $M'_{9,14} = - 0.126 (2.2) = - 0.3$
- NUDO 10
- $M'_{10,9} = - 0.216 [- 3 - 0.4 + 0.9 + 0.2 + 0.2 - 0.3 - 0.3 + 0.3]$
- $M'_{10,9} = - 0.216 (- 2.4) = + 0.5$
- $M'_{10,5} = - 0.142 (- 2.4) = + 0.3$
- $M'_{10,15} = - 0.142 (- 2.4) = + 0.3$
- NUDO 11
- $M'_{11,6} = - 0.101 [12.2 - 1.3 + 2.3 - 2 - 0.3 - 0.3 + 0.6 + 0.6]$
- $M'_{11,6} = - 0.101 (11.8) = - 1.2$
- $M'_{11,12} = - 0.158 (11.8) = - 1.9$
- $M'_{11,16} = - 0.241 (11.8) = - 2.8$
- NUDO 12
- $M'_{12,11} = - 0.140 [- 12.2 - 1.9 - 0.8 - 1.6 - 1.1 + 1]$

M' 12,11	= - 0.140 (- 16.6) = + 2.3	$\frac{1.0}{1.0} = 1.0$	012.0	= -	
M' 12,9	= - 0.180 (- 16.6) = + 3	$\frac{1.0}{1.0} = 1.0$	141.0	= -	
M' 12,13	= - 0.180 (- 16.6) = + 3	$\frac{0.001}{0.001} = 1.0$	041.0	= -	
	<u>NUDO 13</u>				
M' 13,12	= - 0.225 [0 + 3 - 0.1 + 2.7 + 1 + 1]	$\frac{0.1}{0.1} = 1.0$	041.0	= -	
M' 13,12	= - 0.225 (7.6) = - 1.7	$\frac{0.1}{0.1} = 1.0$	041.0	= -	
M' 13,14	= - 0.050 (7.6) = - 0.4	$\frac{0.1}{0.1} = 1.0$	041.0	= -	
M' 13,17	= - 0.225 (7.6) = - 1.7	$\frac{0.001}{0.001} = 1.0$	041.0	= -	
	<u>NUDO 14</u>				
M' 14,13	= - 0.041 [3 - 0.4 - 0.3 + 0.3 - 0.7 - 0.3 + 0.3 + 0.6 + 0.3]	$\frac{0.0}{0.0} = 1.0$	030.0	= -	
M' 14,13	= - 0.041 (2.8) = - 0.1	$\frac{0.0}{0.0} = 1.0$	030.0	= -	
M' 14,9	= - 0.093 (2.8) = - 0.3	$\frac{0.0}{0.0} = 1.0$	030.0	= -	
M' 14,15	= - 0.142 (2.8) = - 0.4	$\frac{0.0}{0.0} = 1.0$	030.0	= -	
M' 14,19	= - 0.224 (2.8) = - 0.6	$\frac{0.0}{0.0} = 1.0$	030.0	= -	
	<u>NUDO 15</u>				
M' 15,14	= - 0.153 [- 3 - 0.4 + 0.3 + 0.2 - 0.3 + 0.3 + 0.6 + 0.3]	$\frac{0.0}{0.0} = 1.0$	041.0	= -	
M' 15,14	= - 0.153 (- 2) = + 0.3	$\frac{0.0}{0.0} = 1.0$	041.0	= -	
M' 15,18	= - 0.101 (- 2) = + 0.2	$\frac{0.0}{0.0} = 1.0$	041.0	= -	
M' 15,20	= - 0.244 (- 2) = + 0.5	$\frac{0.01}{0.01} = 1.0$	041.0	= -	
	<u>NUDO 16</u>				
M' 16,11	= - 0.188 [12.2 - 2.8 + 2.1 - 2.5 + 0.6 + 0.6 + 0.3 + 0.5]	$\frac{0.0}{0.0} = 1.0$	041.0	= -	
M' 16,11	= - 0.188 (11) = - 2.1	$\frac{0.0}{0.0} = 1.0$	041.0	= -	
M' 16,17	= - 0.124 (11) = - 1.4	$\frac{0.0}{0.0} = 1.0$	041.0	= -	
M' 16,21	= - 0.188 (11) = - 2.1	$\frac{0.0}{0.0} = 1.0$	041.0	= -	
	<u>NUDO 17</u>				
M' 17,16	= - 0.140 [- 12.2 - 1.4 - 1.7 - 1.4 + 1 + 0.6]	$\frac{0.0}{0.0} = 1.0$	041.0	= -	
M' 17,16	= - 0.140 (- 15.1) = + 2.1	$\frac{0.0}{0.0} = 1.0$	041.0	= -	
M' 17,13	= - 0.180 (- 15.1) = + 2.7	$\frac{0.0}{0.0} = 1.0$	041.0	= -	
M' 17,18	= - 0.180 (- 15.1) = + 2.7	$\frac{0.0}{0.0} = 1.0$	041.0	= -	

NUDO 18

$M'_{18,17} = -0.225 [0 + 2.7 - 0.1 + 2.6 + 0.6 + 0.8]$
 $M'_{18,17} = -0.225 (6.6) = -1.5$
 $M'_{18,19} = -0.050 (6.6) = -0.3$
 $M'_{18,22} = -0.225 (6.6) = -1.5$

NUDO 19

$M'_{19,18} = -0.033 [3 - 0.3 - 0.6 + 0.2 + 0.6 + 0.3 + 0.4 + 0.4]$
 $M'_{19,18} = -0.033 (4) = -0.1$
 $M'_{19,14} = -0.180 (4) = -0.7$
 $M'_{19,20} = -0.114 (4) = -0.5$
 $M'_{19,25} = -0.173 (4) = -0.7$

NUDO 20

$M'_{20,19} = -0.122 [-3 - 0.5 + 0.5 + 0.6 + 0.3 + 0.4 + 0.5]$
 $M'_{20,19} = -0.122 (-1.2) = +0.1$
 $M'_{20,15} = -0.192 (-1.2) = +0.2$
 $M'_{20,26} = -0.186 (-1.2) = +0.2$

NUDO 21

$M'_{21,16} = -0.188 [12 - 2.1 + 2 + 0.3 + 0.5 + 0.6]$
 $M'_{21,16} = -0.188 (13.3) = -2.5$
 $M'_{21,22} = -0.122 (13.3) = -1.6$
 $M'_{21,23} = -0.190 (13.3) = -2.5$

NUDO 22

$M'_{22,21} = -0.170 [-9.8 - 1.6 - 1.5 + 0.8 + 0.2]$
 $M'_{22,21} = -0.170 (-11.9) = +2$
 $M'_{22,18} = -0.217 (-11.9) = +2.6$
 $M'_{22,26} = -0.113 (-11.9) = +1.3$

PISO 10

$m''_{16,10} = -0.167 [0 + 1 (-3 - 1.3) + 2 (6.1 - 1.2) + \frac{2}{3} (1) (0.2)]$
 $m''_{16,10} = -0.167 [-4.3 + 2 (4.9) + 0.1]$

$$\begin{aligned}
 m''_{16, 10} &= -0.167 (-4.3 + 9.8 + 0.1) \\
 m''_{16, 10} &= -0.167 (5.6) = -0.9 \\
 M''_{23} &= -0.667 (5.6) = -3.7 \\
 &\quad \text{PISO } 9 \\
 m''_{16, 9} &= -0.136 [0 + 1(-3 - 1.3) + 2(-1.2 + 3) + 1(-0.7 - 0.3) \\
 &\quad + 1(0.9 + 0.3) + \frac{2}{3} \{1(-0.9) + 1(-0.3) + \\
 &\quad + 1(-0.3)\}] \\
 m''_{16, 9} &= -0.136 [-4.3 + 2(1.8) - 1 + 1.2 + \frac{2}{3}(-1.5)] \\
 m''_{16, 9} &= -0.136 (-4.3 + 3.6 - 1 + 1.2 - 1) \\
 m''_{16, 9} &= -0.136 (-1.5) = +0.2 \\
 M''_{37} &= -0.545 (-1.5) = +0.8 \\
 m''_{4, 9} &= -0.136 (-1.5) = +0.2 \\
 m''_{5, 10, 9} &= -0.136 (-1.5) = +0.2 \\
 &\quad \text{PISO } 8 \\
 m''_{6, 11, 8} &= -0.136 [0 + 1(-1.3 - 1.2) + 2(3 - 0.8) + 1(-0.7 - 0.3) + \\
 &\quad + 1(0.9 + 0.3) + \frac{2}{3} \{1(-0.3) + 1(0.2) + 1(0.2)\}] \\
 m''_{6, 11, 8} &= -0.136 [(-2.5 + 2(2.2) - 1 + 1.2 + \frac{2}{3}(0.1))] \\
 m''_{6, 11, 8} &= -0.136 (-2.5 + 4.4 - 1 + 1.2 + 0.1) \\
 m''_{6, 11, 8} &= -0.136 (2.2) = -0.3 \\
 M''_{78} &= -0.545 (2.2) = -1.2 \\
 m''_{4, 9, 8} &= -0.136 (2.2) = -0.3 \\
 m''_{5, 10, 8} &= -0.136 (2.2) = -0.3 \\
 &\quad \text{PISO } 7 \\
 m''_{6, 11, 7} &= -0.136 [0 + 1(-1.3 - 1.2) + 2(-0.8 + 3) + 1(-0.3 - 0.3) + \\
 &\quad + 1(0.3 + 0.2) + \frac{2}{3} \{1(-0.3) + 1(0.3) + 1(0.3)\}] \\
 m''_{6, 11, 7} &= -0.136 [-2.5 + 2(2.2) - 0.6 + 0.5 + \frac{2}{3}(0.3)] \\
 m''_{6, 11, 7} &= -0.136 (-2.5 + 4.4 - 0.6 + 0.5 + 0.2) \\
 m''_{6, 11, 7} &= -0.136 (2) = -0.3 \\
 M''_{8, 12} &= -0.545 (2) = -1.1 \\
 m''_{9, 14, 7} &= -0.136 (2) = -0.3 \\
 m''_{10, 15, 7} &= -0.136 (2) = -0.3
 \end{aligned}$$

(5.0) 000.0 + (PISO 06) (1.1) 2 + 0.6 -] 242.0 =

$$m''_{11,16} = -0.290 [0 + 1 (+2.8 - 2.1) + 2 (3 - 1.7) + 1 (-0.3 - 0.3) + [(0 + 1 (0.3 + 0.2) + \frac{2}{3} (1 (0.6) + 1 (-0.3) + 1 (-0.3))]]$$

$$m''_{11,16} = -0.290 [-2.9 + 2 (1.3) - 0.6 + 0.5 + \frac{2}{3} (0)]$$

$$m''_{11,16} = -0.290 (-4.9 + 2.6 - 0.6 + 0.5)$$

$$m''_{11,16} = -0.290 (-2.4) = +0.70$$

$$M''_{12,13} = -0.484 (-2.4) = +1.20$$

$$m''_{9,14} = -0.121 (-2.4) = +0.30$$

$$m''_{10,15} = -0.121 (-2.4) = +0.3$$

(7.0) 000.0 + (PISO 05) (0.2) 2 + 0] 174.0 =

$$m''_{11,16} = -0.237 [0 + 1 (-2.8 - 2.1) + 2 (-1.7 + 2.7) + 1 (-0.6 - 0.7) + [(0.5 + 0.2) + \frac{2}{3} (1 (0.7) + 1 (0.3) + 1 (0.3))]]$$

$$m''_{11,16} = -0.237 [-4.9 + 2 (1) - 1.3 + 0.7 + \frac{2}{3} (1.3)]$$

$$m''_{11,16} = -0.237 (-4.9 + 2 - 1.3 + 0.7 + 0.9)$$

$$m''_{11,16} = -0.237 (-2.6) = +0.60$$

$$M''_{13,17} = -0.395 (-2.6) = +1.00$$

$$m''_{14,19} = -0.237 (-2.6) = +0.60$$

$$m''_{15,20} = -0.237 (-2.6) = +0.60$$

PISO 4

$$m''_{16,21} = -0.237 [0 + 1 (-2.1 - 2.5) + 2 (2.7 - 1.5) + 1 (-0.6 - 0.7) + [(0.5 + 0.2) + \frac{2}{3} (1 (0.5) + 1 (0.6) + 1 (0.6))]]$$

$$m''_{16,21} = -0.237 [-4.6 + 2 (1.2) - 1.3 + 0.7 + \frac{2}{3} (1.7)]$$

$$m''_{16,21} = -0.237 (-4.6 + 2.4 - 1.3 + 0.7 + 1.1)$$

$$m''_{16,21} = -0.237 (-1.7) = +0.4$$

$$M''_{17,18} = -0.395 (-1.7) = +0.7$$

$$m''_{14,19} = -0.237 (-1.7) = +0.4$$

$$m''_{15,20} = -0.237 (-1.7) = +0.4$$

PISO 3

$$m''_{16,21} = -0.245 [0 + 1 (-2.1 - 2.5) + 2 (-1.5 + 2.6) + 0.963 (-0.7) + [0.963 (0.2) + \frac{2}{3} (1 (0.4) + 0.963 (0.5) + 0.963 (0.5))]]$$

NOI

$$m''_{16,21} = -0.245 [-4.6 + 2(1.1) + 0.963(0.7) + 0.963(0.2) + (2.0 - 0.0)] + (0.4 + \frac{2}{3})(0.4 + 0.5)] + 0] \cdot 0.85.0 = \dots$$

$$[m''_{16,21}] = \pm 0.245 [-4.6 + 2(1.1) + 0.7(0.2 + \frac{2}{3})(1.4)]$$

$$m''_{16,21} = -0.245 (-4.6 + 2.2 - 0.7 + 0.2 + 0.9) \cdot 0.85.0 = \dots$$

$$m''_{16,21} = -0.245 (-2) + 0.5(2.0 - 0.5 + 0.4) \cdot 0.85.0 = \dots$$

$$M''_{18,22} = -0.408 (-1.973) + 0.8(0.5 - 0.5) \cdot 0.85.0 = \dots$$

$$m''_{19,25} = -0.228 (-1.973) + 0.4(0.5 - 0.5) \cdot 0.85.0 = \dots$$

$$m''_{20,26} = -0.228 (-1.973) + 0.4(0.5 - 0.5) \cdot 1.81.0 = \dots$$

PISO 2

$$M''_{21,23} = -0.471 [0 + 1.02(-2.5) + 1.02(1.3) + 0.963(-0.7) + (2.0 - 0.0)] + (0.4 + \frac{2}{3})(0.963(0.2) + 0.963(0.4) + 0.963(0.4))] \cdot 0.85.0 = \dots$$

$$M''_{21,23} = -0.471 [-2.55 + 1.326 - 0.674 + 0.193 + \frac{2}{3}(0.385 + 0.385)] \cdot 0.85.0 = \dots$$

$$M''_{21,23} = -0.471 (-2.55 + 1.326 - 0.674 + 0.193 + 0.513) \cdot 0.85.0 = \dots$$

$$M''_{21,23} = -0.471 (-1.192) + 0.6(0.5 - 0.5) \cdot 0.85.0 = \dots$$

$$M''_{22,24} = -0.201 (-1.192) + 0.2(0.5 - 0.5) \cdot 0.85.0 = \dots$$

$$m''_{19,25} = -0.423 (-1.192) + 0.5(0.5 - 0.5) \cdot 0.85.0 = \dots$$

$$m''_{20,26} = -0.423 (-1.192) + 0.5(0.5 - 0.5) \cdot 0.85.0 = \dots$$

7). Cálculo de Momentos Finales.

$$M_{ik} = \bar{M}_{ik} + 2 M'_{ik} + M''_{ki} + M''_{ik}$$

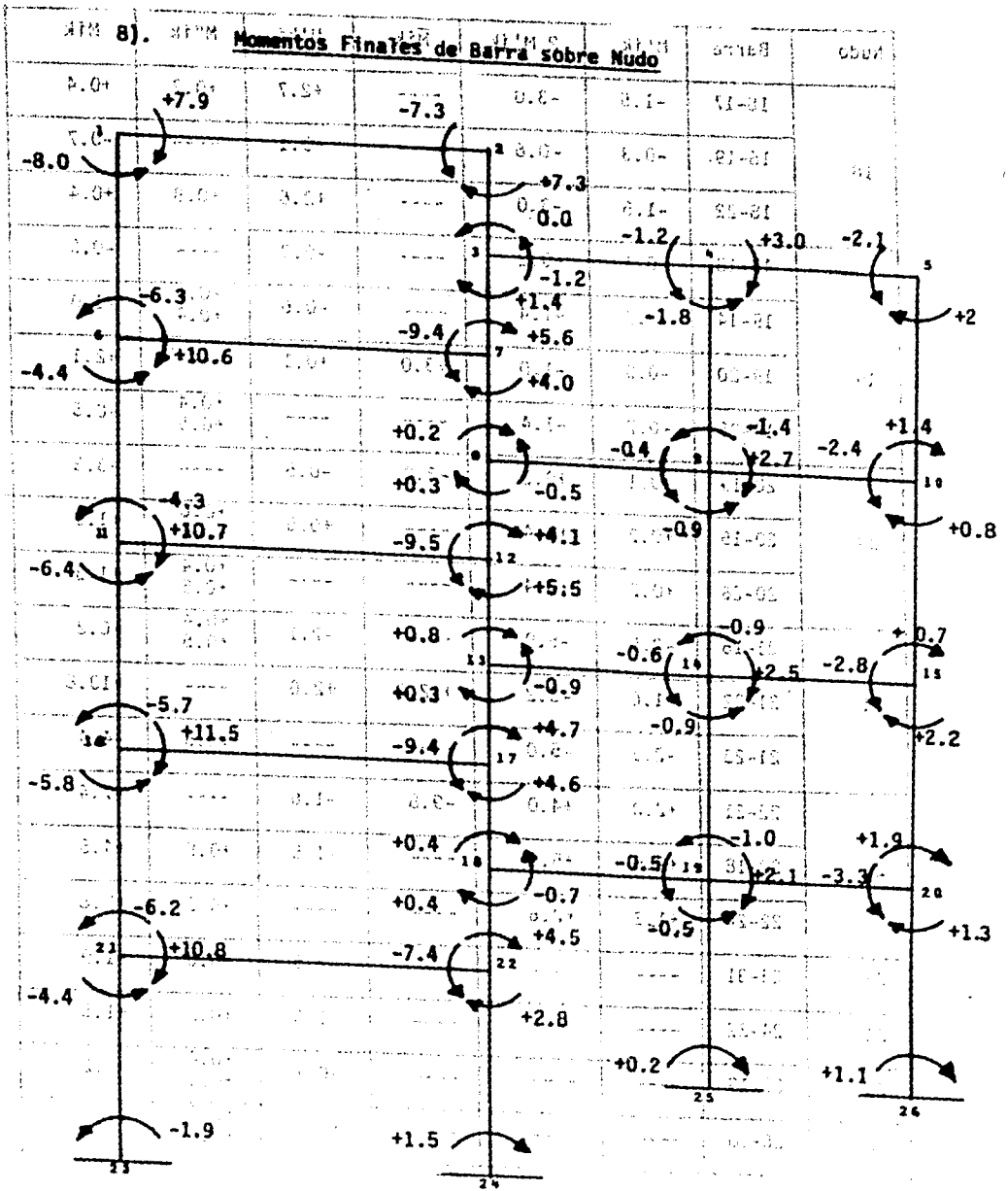
$$M''_{ik} = \Sigma m''_{ik}$$

Nudo	Barra	M'ik	2 M'ik	M̄ik	M'ki	M''ik	Mik
1	1-2	-6.3	-12.6	+14.0	+6.5	----	+7.9
	1-6	-3.0	-6.0	-----	-1.3	-0.9 +0.2	-8.0
2	2-1	+6.5	+13.0	-14.0	-6.3	-----	-7.3
	2-3	+6.1	+12.2	----	-1.2	-3.7	+7.3
3	3-2	-1.2	-2.4	----	+6.1	-3.7	+0.0
	3-4	-0.4	-0.8	----	-0.4	----	-1.2
	3-7	-1.2	-2.4	----	+3.0	+0.8	+1.4

Nudo	Barra	M'1k	2 M'1k	M'1k	M'1k	M'1k	M'1k
4	4-3	-0.4	-0.8	----	-0.4	----	-1.2
	4-5	-1.0	-2.0	+3.7	+1.3	----	+3.0
	4-9	-0.7	-1.4	----	-0.3	+0.2 -0.3	-1.8
5	5-4	+1.3	+2.6	-3.7	-1.0	----	-2.1
	5-10	+0.9	+1.8	----	+0.3	+0.2 -0.3	+2.0
6	6-1	-1.3	-2.6	----	-3.0	-0.9 +0.2	-6.3
	6-7	-2.0	-4.0	+12.2	+2.4	----	+10.6
	6-11	-1.3	-2.6	----	-1.2	-0.3 -0.3	-4.4
7	7-6	+2.4	+4.8	-12.2	-2.0	----	-9.4
	7-3	+3.0	+6.0	----	-1.2	+0.8	+5.6
	7-8	+3.0	+6.0	----	-0.8	-1.2	+4.0
8	8-7	-0.8	-1.6	----	+3.0	-1.2	+0.2
	8-9	-0.2	-0.4	----	-0.1	----	-0.5
	8-12	-0.8	-1.6	----	+3.0	-1.1	+0.3
9	9-8	-0.1	-0.2	----	-0.2	----	-0.4
	9-4	-0.3	-0.6	----	-0.7	+0.2 -0.3	-1.4
	9-10	-0.4	-0.8	+3.0	+0.5	----	+2.7
	9-14	-0.3	-0.6	----	-0.3	-0.3 +0.3	-0.9
10	10-9	+0.5	+1.0	-3.0	-0.4	----	-2.4
	10-5	+0.3	+0.6	----	+0.9	+0.2 -0.3	+1.4
	10-15	+0.3	+0.6	----	+0.2	-0.3 +0.3	+0.8

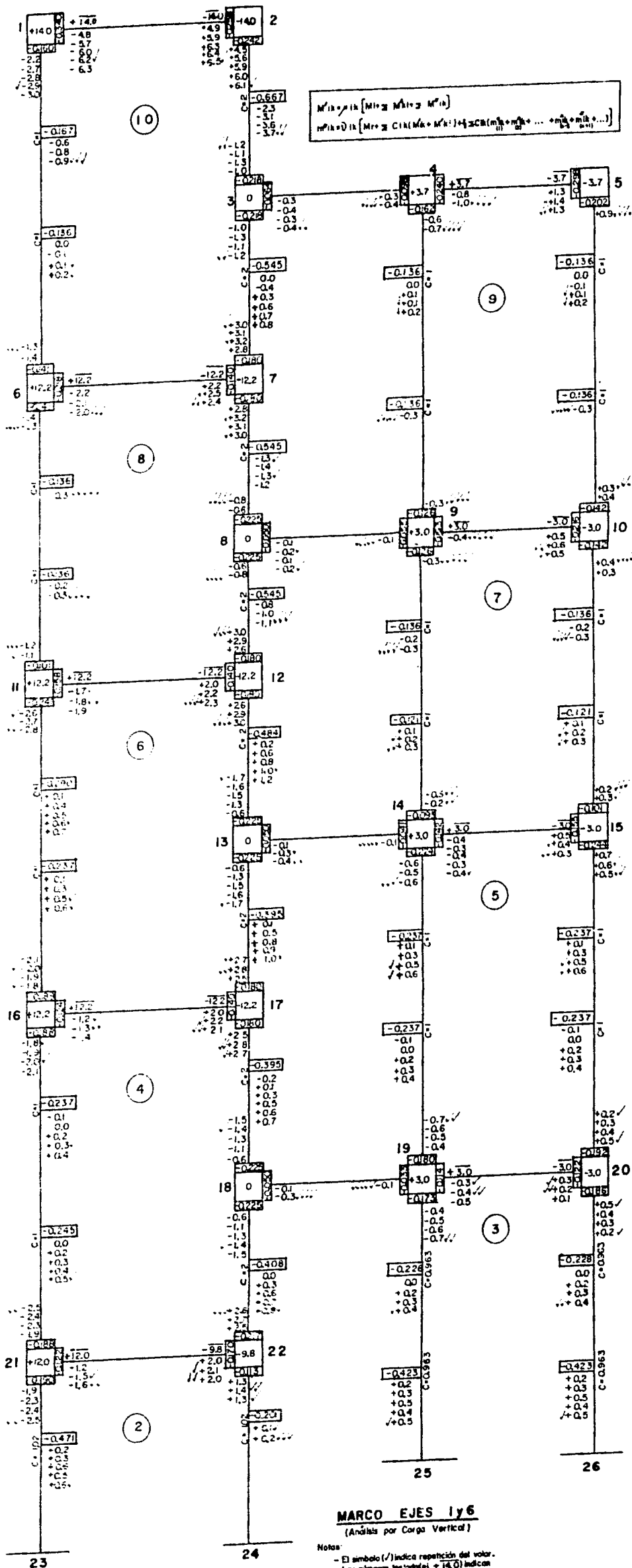
Nudo	Barra	M'lk	2 M'lk	Mlk	M'kl	M'lk	Mlk
11	11-6	-1.2	-2.4	---	-1.3	-0.3	-4.3
	11-12	-1.9	-3.8	+12.2	+2.3	---	+10.7
	11-16	-2.8	-5.6	---	-2.1	+0.7	-6.4
12	12-11	+2.3	+4.6	-12.2	-1.9	---	-9.5
	12-8	+3.0	+6.0	---	-0.8	-1.1	+4.1
	12-13	+3.0	+6.0	---	-1.7	+1.2	+5.5
13	13-12	-1.7	-3.4	---	+3.0	+1.2	+0.8
	13-14	-0.4	-0.8	---	-0.1	---	-0.9
	13-17	-1.7	-3.4	---	+2.7	+1.0	+0.3
14	14-13	-0.1	-0.2	---	-0.4	---	-0.6
	14-9	-0.3	-0.6	---	-0.3	-0.3	-0.9
	14-15	-0.4	-0.8	+3.0	+0.3	---	+2.5
	14-19	-0.6	-1.2	---	-0.7	+0.6	-0.9
15	15-14	+0.3	+0.6	-3.0	-0.4	---	-2.8
	15-10	+0.2	+0.4	---	+0.3	-0.3	+0.7
	15-20	+0.5	+1.0	---	+0.2	+0.6	+2.2
16	16-11	-2.1	-4.2	---	-2.8	+0.7	-5.7
	16-17	-1.4	-2.8	+12.2	+2.1	---	+11.5
	16-21	-2.1	-4.2	---	-2.5	+0.4	-5.8
17	17-16	+2.1	+4.2	-12.2	-1.4	---	-9.4
	17-13	+2.7	+5.4	---	-1.7	+1.0	+4.7
	17-18	+2.7	+5.4	---	-1.5	+0.7	+4.6

Nudo	Barra	M'1k	2 M'1k	Rtk	M'ki	M'1k	Mik
18	18-17	-1.5	-3.0	----	+2.7	+0.7	+0.4
	18-19	-0.3	-0.6	----	-0.1	-----	-0.7
	18-22	-1.5	-3.0	----	+2.6	+0.8	+0.4
19	19-18	-0.1	-0.2	----	-0.3	----	-0.5
	19-14	-0.7	-1.4	----	-0.6	+0.6 +0.4	-1.0
	19-20	-0.5	-1.0	+3.0	+0.1	-----	+2.1
	19-25	-0.7	-1.4	----	----	+0.4 +0.5	-0.5
20	20-19	+0.1	+0.2	-3.0	-0.5	----	-3.3
	20-15	+0.2	+0.4	----	+0.5	+0.6 +0.4	+1.9
	20-26	+0.2	+0.4	----	----	+0.4 +0.5	+1.3
21	21-16	-2.5	-5.0	----	-2.1	+0.4 +0.5	-6.2
	21-22	-1.6	-3.2	+12.0	+2.0	----	+10.8
	21-23	-2.5	-5.0	----	----	+0.6	-4.4
22	22-21	+2.0	+4.0	-9.8	-1.6	----	-7.4
	22-18	+2.6	+5.2	----	-1.5	+0.8	+4.5
	22-24	+1.3	+2.6	----	----	+0.2	+2.8
23	23-31	----	----	----	-2.5	+0.6	-1.9
24	24-22	----	----	----	+1.3	+0.2	+1.5
25	25-19	----	----	----	-0.7	+0.4 +0.5	+0.2
26	26-20	----	----	----	+0.2	+0.4 +0.5	+1.1



MARCO EJES 1 Y 6

Momentos en Ton-m.



MARCO EJES 1 y 6
(Análisis por Carga Vertical)

Notas:
 - El símbolo (/) indica repetición del valor.
 - Los números entre corchetes [] indican Momentos de Empotramiento.

... (III)

C A P I T U L O T E R C E R O
=====

...
ANÁLISIS POR CARGAS HORIZONTALES

3.1.). Conceptos Generales.

En una zona sísmica como es el Valle de México, es indispensable el análisis sísmico, de los marcos de edificios sujetos a fuerzas laterales provocadas por dichos fenómenos; ya que el desplazamiento horizontal de los nudos, puede provocar incrementos notables de los Momentos Flexionantes y Fuerzas Cortantes o Normales, de las barras que componen la estructura, y en algunos casos, incluso el cambio de signo de los mismos.

3.2.). Acciones Accidentales.

De acuerdo con el Artículo 212, Título IV del Reglamento de Construcciones para el Distrito Federal, se consideraran acciones accidentales, las siguientes :

- I). Sismo. Las acciones dinámicas o sus equivalentes estáticas debidas a sismos, deberán considerarse en la forma que se especifica en el Capítulo XXXVII.
- II). Viento. Las acciones estáticas y dinámicas debidas al viento se determinarán en la forma que se especifica en el Capítulo XXXVIII.

III). Otras Acciones Accidentales. Estas serán explosiones, incendios y otras acciones que puedan ocurrir en casos extraordinarios; I R A O

En general, no será necesario incluirlas en el diseño formal, sino únicamente tomar precauciones, en la estructuración y en los detalles constructivos, para evitar comportamiento catastrófico de la construcción en casos de ocurrir tales acciones.

Sin embargo, el análisis sólo se realizará tomando en cuenta las fuerzas debidas al sismo, puesto que es poco probable que se presenten en forma simultánea varias acciones; y se considera, que la condición más crítica para la estructura, será la provocada precisamente por el sismo.

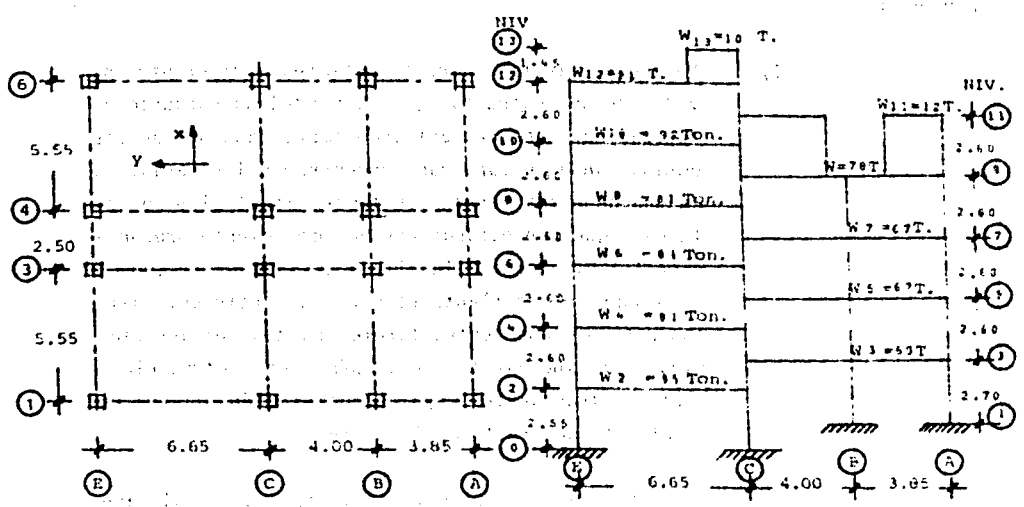
3.3.). Pesos Totales y Centros de Gravedad por Nivel.

NIVEL	PESO TOTAL (Ton)	CENTROS DE GRAVEDAD		E J E S	
		$\bar{x}(m)$	$\bar{y}(m)$	x	y
13	10	7.00	1.00	C	1
12	21	7.00	4.10	C	1
11	12	7.00	2.95	A	1
10	92	7.00	3.40	C	1
9	78	7.00	3.57	A	1
8	81	7.00	3.40	C	1
7	67	7.00	3.57	A	1
6	31	7.00	3.40	C	1
5	67	7.00	3.57	A	1

Centro de gravedad de la planta

NIVEL	PESO TOTAL (Ton)	CENTROS DE GRAVEDAD		E J E S	
		$\bar{x}(m)$	$\bar{y}(m)$	x	y
4	81	7.00	3.40	C	I
3	69	7.00	3.57	A	L
2	55	7.00	4.48	C	1

Para el cálculo de W (Peso Total), se tomaron como base las cargas muertas y vivas que especifican los Capítulos XXXV y XXXVI respectivamente.



PLANTA TIPO

ELEVACION EN SECCION
según el plano

801

3.4.). Análisis Sísmico Estático.

ORDENAMIENTO DE CONSTRUCCIONES	VALOR C (C)	VALOR Q (Q)	VALOR C/Q
De acuerdo con el Artículo 238 correspondiente al Capítulo XXXVII del Diseño por Sismo del Reglamento de Construcciones para el Distrito Federal, las estructuras con altura menor de 60 metros, podrán analizarse de acuerdo con el método estático al que se refiere el Artículo 240 del Reglamento.			

3.4.1.). Análisis Estático.

De acuerdo con el Artículo 240 del Reglamento, para efectuar el análisis estático de una estructura, se procederá en la forma siguiente :

- 1). Para calcular las fuerzas cortantes a diferentes niveles de una estructura, se supondrá un conjunto de fuerzas horizontales actuando sobre cada uno de los puntos donde se supongan concentradas las masas. Cada una de estas fuerzas se tomará igual al peso de la masa que corresponde por un coeficiente proporcional a h , siendo h la altura de la masa en cuestión sobre el desplante (o nivel a partir del cual las deformaciones estructurales pueden ser apreciables), sin incluir tanques, apéndices u otros elementos estructurales cuya estructuración difiera radicalmente del resto de la misma.

El factor de proporcionalidad se tomará de tal manera que la relación V/h en la base sea igual a c/Q , pero no menor que a_0 , siendo Q el factor de ductilidad que se define en el Artículo 235 del Reglamento y c el valor dado por la tabla del Artículo 234 del mismo ordenamiento. Al calcular V/h se tendrán en cuenta los pesos de tanques, apéndices y otros ele-

- estructuras adosadas al edificio existente, cuyos **mentos cuya estructuración difiera radicalmente de la del resto de la estructura y las fuerzas laterales a ellos, calculadas según se especifica en el inciso V de este Artículo.**
- En la estructura que nos ocupa, no se adoptarán fuerzas menores que las calculadas.

3.4.2.). Valuación de las Fuerzas Laterales en los Entrepisos.

De acuerdo con lo señalado en los Artículos 232, 233 y 234 del Reglamento de Construcciones para el Distrito Federal, la construcción que nos ocupa; pertenece al grupo B, Tipo I y se localiza en la Zona II (terreno de transición), por lo cual, se tienen los siguientes valores para el factor de ductilidad (Q), coeficiente sísmico (c) y a_0 (valor de a para T=0)

$$\begin{aligned} Q &= 4.0 \\ c &= 0.20 \\ a_0 &= 0.045 \end{aligned}$$

Por lo tanto, el factor de proporcionalidad, valdrá :

$$\begin{aligned} V/W &= c/Q \\ V/W &= 0.20/4 = 0.05 > a_0 = 0.045 \end{aligned}$$

Para la valuación de las fuerzas sísmicas, así como la distribución de sus efectos entre los elementos resistentes en cada entrepiso, se aceptan generalmente las siguientes hipótesis :

- 1). Es posible considerar que la fuerza cortante sísmica en cualquier entrepiso actúa paralelamente a un sistema de elementos que resisten empujes laterales en una sola dirección, paralela a su plano. Debe su ponerse además que en todos los entrepisos existen-

dos sistemas ortogonales de elementos resistentes -
que trabajan independientemente.

En tal caso, siempre será posible descomponer la -
cortante sísmica en un entrepiso, en dos componen -
tes que satisfagan la condición impuesta al prin -
cipio de este inciso.

II). La rigidez de entrepiso de cada marco o muro, es co
nocida.

III). Las losas de piso son indeformables.

IV). Se supondrá que el efecto del temblor equivale al -
de un sistema de fuerzas horizontales que actúa en -
dirección paralela a uno de los sistemas de elemen -
tos resistentes y obran en el centro de gravedad -
de cada nivel.

En base a la estructuración del edificio, constituí -
do por medios niveles, se hará la siguiente hipóte -
sis adicional a las anteriores.

V). Cuando el sismo actúe en la dirección del eje de -
las "x", se considerará que la fuerza cortante sísmica que actúa en los niveles : 13, 12, 10, 8, 6, -
4 y 2, provocará empujes laterales, que serán absor -
bidos únicamente por los marcos C y E.

Por otra parte, la fuerza cortante por sismo que ac -
túa en los niveles 11, 9, 7, 5 y 3; provocará empu -
jes laterales, que resistirán única y exclusivamen -
te los marcos A, B y C.

Lo anterior, se comprende mejor de la elevación (en
corte) del edificio.

169 FUERZAS SISMICAS, CORTANTE, POSICION DEL CORTANTE EN CADA PISO.

MARCOS Ejes A, B Y C (Sismo según el Eje "X")

Ahora bien, cuando el sismo actúe en la dirección -

POSICION DEL CORTANTE	EJE "Y"	EJE "X"	EJE "Z"	EJE "A"	EJE "B"	EJE "C"
de. Eje "Y", se considera que la fuerza cortante sísmica, provocará empujes laterales que serán soportados por los marcos 1, 3, 4 y 6.						
3.4.2.1.). Fuerzas Sísmicas, Cortante y Posición del Cortante en cada piso.						
De acuerdo a lo señalado en el presente Capítulo, se procederá a la valuación de las fuerzas sísmicas, cortantes y posiciones del cortante, según la dirección en que actúe el sismo, elaborando para ello las correspondientes tablas.						
[Empty table rows for data]						

... [Faint text at the bottom of the page]

881 FUERZAS SISMICAS, CORTANTE, POSICION DEL CORTANTE EN CADA PISO.

MARCOS EJES A, B Y C (Sismo según el Eje "x")

- distribución de las fuerzas para la obtención de la acción

NI- VEL:	ENTRE PISO:	W _i (Ton)	h _i (m)	W _i h _i (T-m)	F _i (Ton)	V _x (Ton)	EJE DE REF. x	C.de G. y _i	F _i x _i (T-m)	ΣF _i x _i y _i	POSICION DEL CORTANTE $y_v = \frac{\sum F_i x_i y_i}{V_x}$
11		12	14.25	171	1.1		A	2.95	3.2	3.2	
	11					1.1					2.91
9		78	11.65	908.7	5.6		A	3.57	20.0	23.2	
	9					6.7					3.46
7		67	9.05	606.4	3.7		A	3.57	13.2	36.4	
	7					10.4					3.50
5		67	6.45	432.2	2.7		A	3.57	9.6	46.0	
	5					13.1					3.51
3		69	3.85	265.7	1.6		A	3.57	5.7	51.7	
	3					14.7					3.52
S U M A S		293		2384.0	14.7						

$$V / W = c/Q$$

$$V / W = 0.20 / 4 = 0.05 > a_0 = 0.045$$

$$F_i = \frac{W_i h_i}{\sum W_i h_i} \quad c W = \frac{W_i h_i}{2384} \times 0.05 \times 293 = 0.006145 \quad W_i h_i$$

$$V = c W = 0.05 \times 293 = 14.7 \text{ Ton.}$$

FUERZAS SISMICAS, CORTANTE, POSICION DEL CORTANTE EN CADA PISO.
 FUERZAS SISMICAS, CORTANTE, POSICION DEL CORTANTE EN CADA PISO.

MARCOS EJES C Y E (Sismo según el Eje "x")

NI- VEL	ENTRE PISO	W (Ton)	h (m)	W _i h _i (T-m)	Fix (Ton)	V _x (Ton)	EJE DE REF.	C.O.E G. y	Fix y (T-m)	ΣFix y	POSICION DEL CORTANTE
		0.5	10.0	5.0	1.0		C	1.00	1.00	1.00	$y_v = \frac{\sum Fix \cdot y}{V \cdot x}$
13		10	17.00	170	1.0		C	1.00	1.0	1.0	
	13					1.0					1.00
12		21	15.55	326.6	1.8		C	4.10	7.4	8.4	
	12					2.8					3.00
10		92	12.95	1191.4	6.8		C	3.40	23.1	31.5	
	10					9.6					3.30
8		81	10.35	838.4	4.7		C	3.40	16.0	47.5	
	8					14.3					3.30
6		81	7.75	627.8	3.6		C	3.40	12.2	59.7	
	6					17.9					3.30
4		81	5.15	417.2	2.4		C	3.40	8.2	67.9	
	4					20.3					3.30
2		55	2.55	140.3	0.8		C	4.48	3.6	71.5	
	2					21.1					3.40
S U M A S		421		3711.7	21.1						

Q = 4.0
 c = 0.20
 a₀ = 0.045
 V/W = c / Q
 V/W = 0.20 / 4 = 0.05 > a₀ = 0.045

$$F_i = \frac{W_i \cdot h_i}{\sum W_i \cdot h_i} \cdot c \cdot W = \frac{W_i \cdot h_i}{3711.7} \times 0.05 \times 421 = 0.005671 \cdot W_i \cdot h_i$$

$$V = c \cdot W = 0.05 \times 421 = 21.1 \text{ Ton.}$$

FUERZAS SISMICAS, CORTANTE, POSICION DEL CORTANTE EN CADA PISO.

MARCOS EJES 1, 3, 4 Y 6 (Sistema según el Eje "y")
 FUERZAS SISMICAS CORTANTE POSICION DEL CORTANTE EN CADA PISO
 MARCOS EJES 1 Y 3 (Sistema según el Eje "x")

NI-VEL.	ENTRE PISO	W1 (Ton)	h1 (m)	W1h1 (T-m)	F1y (Ton)	Vy (Ton)	EJE DE REF.	C.DE G.	F1y x̄ (T-m)	ΣF1y x̄ (T-m)	POSICION DEL CORTANTE
13	13	10	17.00	170.0	1.0	1.0	1	7.00	7.0	7.0	
						1.0					7.00
12	12	21	15.55	326.6	1.9	2.9	1	7.00	12.6	19.6	
						2.9					7.00
11	11	12	14.25	171.0	1.0	3.9	1	7.00	6.3	25.9	
						3.9					7.00
10	10	92	12.95	1191.4	7.0	10.9	1	7.00	44.1	70.0	
						10.9					7.00
9	9	78	11.65	908.7	5.3	16.2	1	7.00	33.6	103.6	
						16.2					7.00
8	8	81	10.35	838.4	4.9	21.1	1	7.00	32.2	135.8	
						21.1					7.00
7	7	67	9.05	606.4	3.6	24.7	1	7.00	23.1	158.9	
						24.7					7.00
6	6	81	7.75	627.8	3.7	28.4	1	7.00	23.8	182.7	
						28.4					7.00
5	5	67	6.45	432.2	2.5	30.9	1	7.00	16.8	199.5	
						30.9					7.00
4	4	81	5.15	417.2	2.4	33.3	1	7.00	16.1	215.6	
						33.3					7.00
3	3	69	3.85	265.7	1.6	34.9	1	7.00	10.5	226.1	
						34.9					7.00
2	2	55	2.55	140.3	0.8	35.7	1	7.00	5.6	231.7	
						35.7					7.00
S U M A S		714.0		6095.7	35.7						

$Q = 4.0; V / W = c / Q; V / W = 0.20 / 4 = 0.05 > a_0 = 0.045$

$V = cW = 0.05 \times 714 = 35.7 \text{ Ton.}$

$c = 0.20 F1 = \frac{W1 h1}{\Sigma W1 h1} \cdot cW = \frac{W1 h1}{6095.7} \times 0.05 \times 714; F1 = 0.005856 W1 h1$

$a_0 = 0.045$

3.4.3). Rigideces de Entrepiso.

De acuerdo a lo especificado en el "Folleto Complementario, Diseño Sísmico de Edificios", se define a la Rigidez de Entrepiso, como "la relación entre la fuerza cortante resistida por un marco, muro o contra-viento en un entrepiso y el desplazamiento horizontal relativo entre los dos niveles consecutivos".

Asimismo, se señala, que la rigidez así definida, no es independiente del sistema de fuerzas laterales. Por tanto, para calcularla con rigor, debe conocerse tal sistema con anterioridad, lo cual en general no es posible. Ahora bien, en marcos ordinarios de edificios, el empleo de sistemas de cargas que no son estrictamente proporcionales al definitivo de análisis introduce errores de poca importancia, y usualmente las rigideces calculadas a partir de hipótesis simplificadoras sobre la forma del sistema de fuerzas laterales son satisfactorias.

En base a lo antes mencionado, y ante lo inadecuado del empleo de las fórmulas de Wilbur para el cálculo de Rigideces de Entrepiso; sobre todo para los marcos correspondientes a los Ejes 1, 3, 4 y 6, se calcularán las rigideces de entrepiso, de la siguiente forma :

I). Se aplicarán las fuerzas totales debidas al sistema, a todos y cada uno de los marcos que componen el edificio.

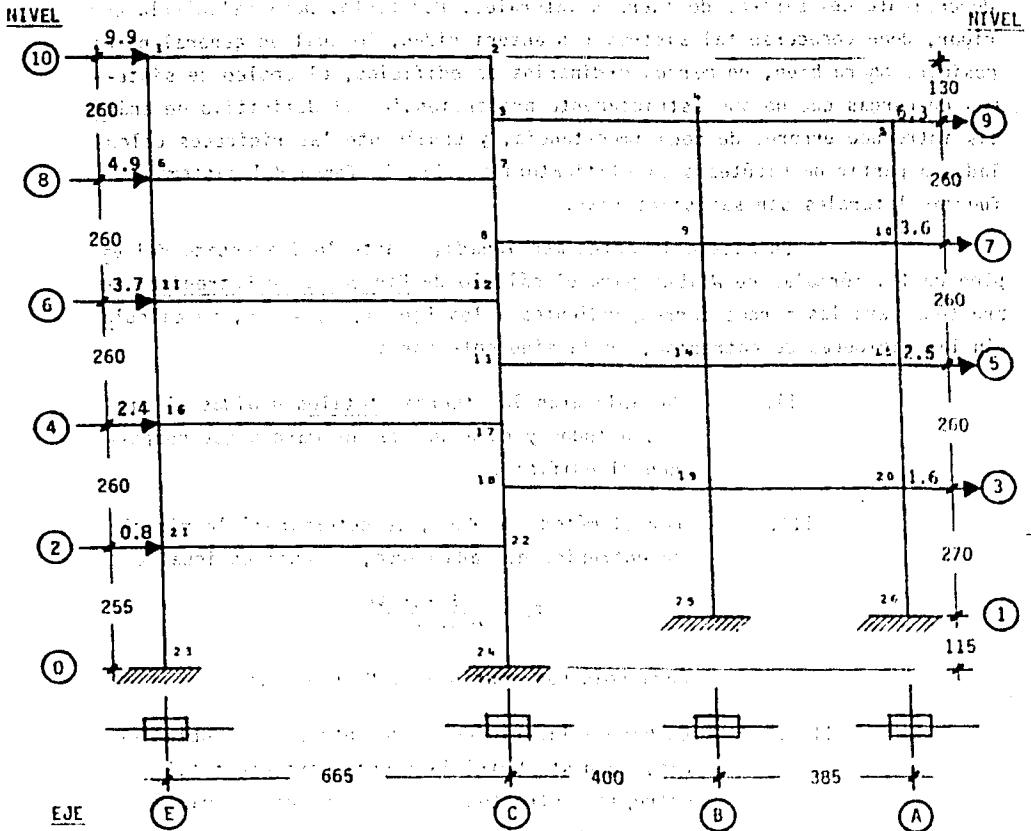
II). Por el método de Kani, se determinará la rigidez de entrepiso de cada marco, la cual es igual a :

$$R_n = \frac{6 E K_n V_n}{M''in h_n}$$

Para columnas continuas : $M''in = m''in$.

III). En base a las rigideces de entrepiso ya obtenidas, se distribuirá la fuerza cortante total de entrepiso entre todos y cada uno de los marcos que resisten dicha fuerza y se obtendrán los elementos mecánicos correspondientes, usando el método de Kani.

3.4.3.1.1). A continuación, se ejemplifica la obtención de "rigideces de entrepiso" correspondientes a todos y cada uno de los entrepisos del Marco Ejes 1 y 6:



- Fuerzas Totales debidas al sismo en Ton.
- Acotaciones en cm.

0219
1). Momentos de Empotramiento.

$M_{ik} = 0$
 Todos son nulos, debido a no existir cargas externas que los provoquen.

0219
2). Momentos de Desequilibrio.

$M_i = 0$
 Todos son nulos, ya que no existen momentos de empotramiento.

3). Rigideces y Factores de Distribución Angular.

Son los mismos que los ya obtenidos en el inciso 2.3.5 del Capítulo 2.

4). Momentos de Piso.

PISO 10

Si tomamos : $hr = 2.60 \text{ m.}$

$$Qr_{10} = - 9.9 \text{ Ton.}$$

$$Mr_{10} = \frac{Qr \cdot hr}{3} = - \frac{9.9 \times 2.6}{3} = - 8.6 \text{ T-m}$$

PISO 9

$hr = 2.60 \text{ m.}$

$$Qr_9 = - 9.9 - 6.3 = - 16.2 \text{ Ton.}$$

$$Mr_9 = \frac{Qr \cdot hr}{3} = - \frac{16.2 \times 2.6}{3} = - 14.0 \text{ T-m.}$$

PISO 8

$hr = 2.60 \text{ m.}$

$$Qr_8 = - 9.9 - 6.3 - 4.9 = - 21.1 \text{ Ton.}$$

$$Mr_8 = \frac{Qr \cdot hr}{3} = - \frac{21.1 \times 2.6}{3} = - 18.3 \text{ T-m}$$

PISO 7

$hr = 2.60 \text{ m.}$

$$Qr_7 = - 9.9 - 6.3 - 4.9 - 3.6 = - 24.7 \text{ Ton.}$$

$$Mr_7 = \frac{Qr \cdot hr}{3} = - \frac{24.7 \times 2.6}{3} = - 21.4 \text{ T-m}$$

PISO 6

hr = 2.60 m.

Qr₆ = - 9.9 - 6.3 - 4.9 - 3.6 - 3.7 = - 28.4 Ton.

Mr₆ = $\frac{Qr \cdot hr}{3} = \frac{28.4 \times 2.60}{3} = - 24.6 \text{ T-m}$

PISO 5

hr = 2.60 m.

Qr₅ = - 9.9 - 6.3 - 4.9 - 3.6 - 3.7 - 2.5 = - 30.9 Ton.

Mr₅ = $\frac{Qr \cdot hr}{3} = \frac{30.9 \times 2.60}{3} = - 26.8 \text{ T-m}$

PISO 4

hr = 2.60 m.

Qr₄ = - 9.9 - 6.3 - 4.9 - 3.6 - 3.7 - 2.5 - 2.4 = - 33.3 Ton.

Mr₄ = $\frac{Qr \cdot hr}{3} = \frac{33.3 \times 2.60}{3} = - 28.9 \text{ T-m}$

PISO 3

hr = 2.60 m.

Qr₃ = - 9.9 - 6.3 - 4.9 - 3.6 - 3.7 - 2.5 - 2.4 - 1.6 = - 34.9 Ton.

Mr₃ = $\frac{Qr \cdot hr}{3} = \frac{34.9 \times 2.60}{3} = - 30.2 \text{ T-m}$

PISO 2

hr = 2.60 m.

Qr₂ = - 9.9 - 6.3 - 4.9 - 3.6 - 3.7 - 2.5 - 2.4 - 1.6 - 0.8 = - 35.7 Ton.

Mr₂ = $\frac{Qr \cdot hr}{3} = \frac{35.7 \times 2.60}{3} = - 30.9 \text{ T-m}$

5). Rigideces y Factores de Distribución Lineal.

Los coeficientes de reducción (Cik), así como los factores de distribución lineal, son idénticos a los ya obtenidos en el inciso

2.3.5 del Capítulo 2, en virtud de haber tomado la misma altura de corte pa-

ra, todos los entrepisos ($h_n = 2.60 \text{ m}$).

6). Aplicando el método de Kani, se obtuvieron los momentos debidos a giros y desplazamientos, así como los momentos finales.

$$M_{ik} = \bar{M}_{ik} + 2 M'_{ik} + M'_{ki} + M''_{ik}$$

Para columnas continuas :

$$M''_{ik} = \Sigma m''_{ik}$$

NUDO	BARRA	M'ik	2M'ik	M'ki	M''ik	Mik
1	1-2	- 1.4	- 2.8	- 2.3	---	- 5.1
	1-6	- 0.7	- 1.4	- 2.2	+ 4.1 + 4.5	+ 5.0
2	2-1	- 2.3	- 4.6	- 1.4	---	- 6.0
	2-3	- 2.2	- 4.4	- 5.9	+16.4	+ 6.1
3	3-2	- 5.9	-11.8	- 2.2	+16.4	+ 2.4
	3-4	- 1.7	- 3.4	- 0.5	---	- 3.9
	3-7	- 5.9	-11.8	-4.6	+18.0	+ 1.6
4	4-3	- 0.5	- 1.0	- 1.7	---	- 2.7
	4-5	- 1.2	- 2.4	- 2.2	---	- 4.6
	4-9	- 0.8	- 1.6	- 2.1	+ 4.5 + 6.7	+ 7.5

- 54 0700 ob 64116 amara si obsevoj redad ob bujriy no ,S oiojiged feb 2.5.2

NUDO	BARRA	M'ik	2M'ik	M'ik	M'ik	M'ik
5	5-4	- 2.2	- 4.4	- 1.2	---	- 5.6
	5-10	- 1.5	- 3.0	- 2.6	+ 4.5 + 6.7	+ 5.6
6	6-1	- 2.2	- 4.4	- 0.7	+ 4.1 + 4.5	+ 3.5
	6-7	- 3.3	- 6.6	- 3.6	---	-10.2
	6-11	- 2.2	- 4.4	- 3.6	+ 6.7 + 7.8	+ 6.5
7	7-6	- 3.6	- 7.2	- 3.3	---	-10.5
	7-3	- 4.6	- 9.2	- 5.9	+18.0	+ 2.9
	7-8	- 4.6	- 9.2	-10.4	+27.0	+ 7.4
8	8-7	-10.4	-20.8	- 4.6	+27.0	+ 1.6
	8-9	- 2.3	- 4.6	- 0.9	---	- 5.5
	8-12	-10.4	-20.8	- 6.5	+31.1	+ 3.8
9	9-8	- 0.9	- 1.8	- 2.3	---	- 4.1
	9-4	- 2.1	- 4.2	- 0.8	+ 4.5 + 6.7	+ 6.2
	9-10	- 3.2	- 6.4	- 4.0	---	-10.4
	9-14	- 2.1	- 4.2	- 3.1	+ 7.8 + 7.8	+ 8.3
10	10-9	- 4.0	- 8.0	- 3.2	---	-11.2
	10-5	- 2.6	- 5.2	- 1.5	+ 4.5 + 6.7	+ 4.5
	10-15	- 2.6	- 5.2	- 3.5	+ 7.8 + 7.8	+ 6.9

NUDO	BARRA	M'ik	2M'ik	M'ki	M'ik	Mik
11	11-6	- 3.6	- 7.2	- 2.2	+ 6.7 + 7.8	+ 5.1
	11-12	- 5.6	-11.2	- 5.0	---	-16.2
	11-16	- 8.5	-17.0	- 9.0	+18.8 +17.9	+10.7
12	12-11	- 5.0	-10.0	- 5.6	---	-15.6
	12-8	- 6.5	-13.0	-10.4	+31.1	+ 7.7
	12-13	- 6.5	-13.0	-10.6	+31.4	+ 7.8
13	13-12	-10.6	-21.2	- 6.5	+31.4	+ 3.7
	13-14	- 2.4	- 4.8	- 1.4	---	- 6.2
	13-17	-10.6	-21.2	- 6.3	+29.8	+ 2.3
14	14-13	- 1.4	- 2.8	- 2.4	---	- 5.2
	14-9	- 3.1	- 6.2	- 2.1	+ 7.8 + 7.8	+ 7.3
	14-15	- 4.7	- 9.4	- 5.4	---	-14.8
	14-19	- 7.4	-14.8	- 9.1	+17.9 +18.5	+12.5
15	15-14	- 5.4	-10.8	- 4.7	---	-15.5
	15-10	- 3.5	- 7.0	- 2.6	+ 7.8 + 7.8	+ 6.0
	15-20	- 8.5	-17.0	-10.0	+17.9 +18.5	+ 9.4
16	16-11	- 9.0	-18.0	- 8.5	+18.8 +17.9	+10.2
	16-17	- 5.9	-11.8	- 4.9	---	-16.7
	16-21	- 9.0	-18.0	- 7.5	+18.5 +13.4	+ 6.4

NUDD1	BARRA	M'ik	2M'ik	M'ki	M'ik	M'ik
17	17-16	-4.9	-9.8	-5.9	---	-15.7
	17-13	-6.3	-12.6	-10.6	+29.8	+6.6
	17-18	-6.3	-12.6	-9.4	+30.8	+8.8
18	18-17	-9.4	-18.8	-6.3	+30.8	+5.7
	18-19	-2.1	-4.2	-1.7	---	-5.9
	18-22	-9.4	-18.8	-3.6	+22.3	-0.1
19	19-18	-1.7	-3.4	-2.1	---	-5.5
	19-14	-9.1	-18.2	-7.4	+17.9 +18.5	+10.8
	19-20	-5.8	-11.6	-6.4	---	-18.0
	19-25	-8.8	-17.6	---	+12.4 +17.8	+12.6
20	20-19	-6.4	-12.8	-5.8	---	-18.6
	20-15	-10.0	-20.0	-8.5	+17.9 +18.5	+7.9
	20-26	-9.7	-19.4	---	+12.4 +17.8	+10.8
21	21-16	-7.5	-15.0	-9.0	+18.5 +13.4	+7.9
	21-22	-4.9	-9.8	-2.8	---	-12.6
	21-23	-7.6	-15.2	---	+19.8	+4.6
22	22-21	-2.8	-5.6	-4.9	---	-10.5
	22-18	-3.6	-7.2	-9.4	+22.3	+5.7
	22-24	-1.9	-3.8	---	+8.5	+4.7

NUDO	BARRA	M ^{ik}	2M ^{ik}	2193M ^{ik}	M ^{ik}	M ^{ik}
23	23-21	---	---	1716	+ 19.8	+12.2
24	24-22	---	---	- 119 "	+ 8.5	+ 6.6
25	25-19	---	---	818 "	+ 12.4	+21.4
26	26-20	---	---	- 9.7 "	+ 12.4	+20.5
					+ 17.8	

7). Rigideces de Entrepiso.

El Momento debido al desplazamiento lineal relativo (Δ)

se define como :

$$M^{in} = \frac{6 E I}{L^2} \Delta$$

Si $h = L$ ($h =$ altura de la columna del piso "n")

$$M^{in} = \frac{6 E I}{h} \frac{\Delta}{hn}$$

$$M^{in} = 6 E K_{in} \frac{\Delta}{hn}$$

Despejando :

$$\Delta = \frac{M^{in} hn}{6 E K_{in}}$$

Por definición de Rigidez de Entrepiso :

$$R_n = \frac{V_n}{\Delta}$$

Sustituyendo el valor de Δ :

$$R_n = \frac{V_n}{\frac{M^{in} hn}{6 E K_{in}}} = \frac{6 E K_{in} V_n}{M^{in} hn}$$

Finalmente :

$$R_n = \frac{6 E K_{in} V_n}{M^{in} hn}$$

En el caso de columnas continuas :

$$M^{in} = m^{in}$$

La rigidez de entrepiso queda así expresada en función de los momentos debidos al desplazamiento.

En virtud de que ya se conocen los momentos debidos al desplazamiento de todas y cada una de las columnas del edificio; así como - sus alturas y rigideces relativas y las fuerzas cortantes que obran en cada piso, se pueden determinar facilmente las rigideces de entrepiso.

ALM	ALM	ENTREPISO	ALM	ALM	ALM
3.51+	3.51 +	Columna 2-3	---	19-22	23
3.5 +	3.5 K ₂₃ = 95t	---	---	23-24	25
3.12+	3.51 V ₁₀ = 89.9 Ton.	---	---	21-22	23
3.05+	3.51 M ₂₃ = 16.4 T-m.	---	---	23-24	25
	3.51 h ₁₀ = 1.30 m.				

$$R_{10} = \frac{6 E (5) (9.9)}{16.4 (1.30)} = 13.9 E$$

(1) Columna 1-6 (Continua)

$$K_{16} = 2.5$$

$$V_{10} = 9.9 \text{ Ton.}$$

$$M_{16,10} = 4.1 \text{ T-m.}$$

$$h_{10} = 2.60 \text{ m.}$$

$$R_{10} = \frac{6 E (2.5) (9.9)}{4.1 (2.60)} = 13.9 E$$

ENTREPISO 9

Columna 3-7

$$K_{37} = 5$$

$$V_9 = 16.2 \text{ Ton.}$$

$$M_{37} = 18.0 \text{ T-m.}$$

$$h_9 = 1.30 \text{ m.}$$

$$R_9 = \frac{6 E (5) (16.2)}{18 (1.3)} = 20.8 E$$

Columna 1-6 (continua)

$$K_{16} = 2.5$$

$$V_9 = 16.2$$

$$M_{16,9} = 4.5 \text{ T-m}$$

$$h_{16} = 2.60 \text{ m.}$$

$$R_9 = \frac{6 E (2.5) (16.2)}{4.5 (2.60)} = 20.8 E$$

Columna 4-9 (continua)

$$\begin{aligned}
 K_{4,9} &= 2.5 \\
 V_9 &= 16.2 \text{ Ton.} \\
 M''_{4,9} &= 4.5 \text{ T-m.} \\
 h_{4,9} &= 2.60 \text{ m.} \\
 R_9 &= \frac{6 E (2.5) (16.2)}{4.5 (2.60)} = 20.8 \text{ E.}
 \end{aligned}$$

ENTREPISO 8Columna 7-8

$$\begin{aligned}
 K_{7,8} &= 5 \\
 V_8 &= 21.1 \text{ Ton.} \\
 M''_{7,8} &= 27.0 \text{ T-m.} \\
 h_{7,8} &= 1.30 \text{ m.} \\
 R_8 &= \frac{6 E (5) (21.1)}{27 (1.30)} = 18.0 \text{ E.}
 \end{aligned}$$

Columna 4-9 (continua)

$$\begin{aligned}
 K_{4,9} &= 2.5 \\
 V_9 &= 21.1 \text{ Ton.} \\
 M''_{4,9} &= 6.7 \text{ T-m.} \\
 h_{4,9} &= 2.60 \text{ m.} \\
 R_9 &= \frac{6 E (2.5) (21.1)}{6.7 (2.60)} = 18.2 \text{ E}
 \end{aligned}$$

ENTREPISO 7Columna 8-12

$$\begin{aligned}
 K_{8,12} &= 5 \\
 V_7 &= 24.7 \text{ Ton.} \\
 M''_{8,12} &= 31.1 \text{ T-m} \\
 h_{8,12} &= 1.30 \text{ m.} \\
 R_7 &= \frac{6 E (5) (24.7)}{31.1 (1.30)} = 18.3 \text{ E}
 \end{aligned}$$

Columna 10-15 (continua)

$$K_{10,15} = 2.5$$

$$V_7 = 24.7 \text{ Ton.}$$

$$M''_{10,15} = 7.8 \text{ T-m}$$

$$h_{10,15} = 2.60 \text{ m.}$$

$$R_7 = \frac{6 E (2.5) (24.7)}{7.8 (2.60)} = 18.3 E$$

ENTREPISO 6Columna 12-13

$$K_{12,13} = 5$$

$$V_6 = 28.4 \text{ Ton.}$$

$$M''_{12,13} = 31.4 \text{ T-m.}$$

$$h_{12,13} = 1.30 \text{ m.}$$

$$R_6 = \frac{6 E (5) (28.4)}{31.4 (1.30)} = 20.9$$

Columna 11-16 (Continua)

$$K_{11,16} = 6$$

$$V_6 = 28.4 \text{ Ton.}$$

$$M''_{11,16} = 18.8 \text{ T-m.}$$

$$h_{11,16} = 2.60 \text{ m.}$$

$$R_6 = \frac{6 E (6) (28.4)}{18.8 (2.60)} = 20.9$$

ENTREPISO 5Columna 13-17

$$K_{13,17} = 5$$

$$V_5 = + 30.9 \text{ Ton.}$$

$$M''_{13,17} = 29.8 \text{ T-m.}$$

$$h_{13,17} = 1.30 \text{ m.}$$

$$R_5 = \frac{6 E (5) (30.9)}{29.8 (1.30)} = 23.9$$

Columna 15-20 (continua)

$$\begin{aligned}
 K_{15,20} &= 6 \\
 V_s &= 30.9 \text{ Ton.} \\
 m''_{15,20} &= 17.9 \text{ T-m.} \\
 h_{15,20} &= 2.60 \text{ m.} \\
 R_s &= \frac{6 E (-6) (30.9)}{17.9 (2.60)} = 23.9
 \end{aligned}$$

ENTREPISO 4Columna 17-18

$$\begin{aligned}
 K_{17,18} &= 5 \\
 V_h &= 33.3 \text{ Ton.} \\
 M''_{17,18} &= 30.8 \text{ T-m.} \\
 h_{17,18} &= 1.30 \text{ m.} \\
 R_h &= \frac{6 E (-5) (33.3)}{30.8 (1.30)} = 25.0
 \end{aligned}$$

Columna 16-21 (continua)

$$\begin{aligned}
 K_{16,21} &= 6 \\
 V_h &= 33.3 \text{ Ton.} \\
 m''_{16,21} &= 18.5 \text{ T-m.} \\
 h_{16,21} &= 2.60 \text{ m.} \\
 R_h &= \frac{6 E (6) (33.3)}{18.5 (2.60)} = 24.9
 \end{aligned}$$

ENTREPISO 3Columna 18-22

$$\begin{aligned}
 M''_{18,22} &= 22.3 \text{ T-m} \\
 K_{18,22} &= 5 \\
 V_s &= 34.9 \text{ Ton.} \\
 h_{18,22} &= 1.30 \text{ m.} \\
 R_s &= \frac{6 E (5) (34.9)}{22.3 (1.30)} = 36.1
 \end{aligned}$$

Columna 19-25

$K_{19,25} = 5.8$
 $V_2 = 34.9 \text{ Ton.}$
 $M''_{19,25} = 12.4 \text{ T-m.}$
 $h_{19,25} = 2.70 \text{ m.}$
 $R_2 = \frac{6 E (5.8) (34.9)}{12.4 (2.70)^2} = 36.3$

ENTREPISO 2

Columna 21-23

$K_{21,23} = 6.1$
 $V_2 = 35.7 \text{ Ton.}$
 $M''_{21,23} = 19.8 \text{ T-m.}$
 $h_{21,23} = 2.55 \text{ m.}$
 $R_2 = \frac{6 E (6.1) (35.7)}{19.8 (2.55)^2} = 25.9$

Columna 22-24

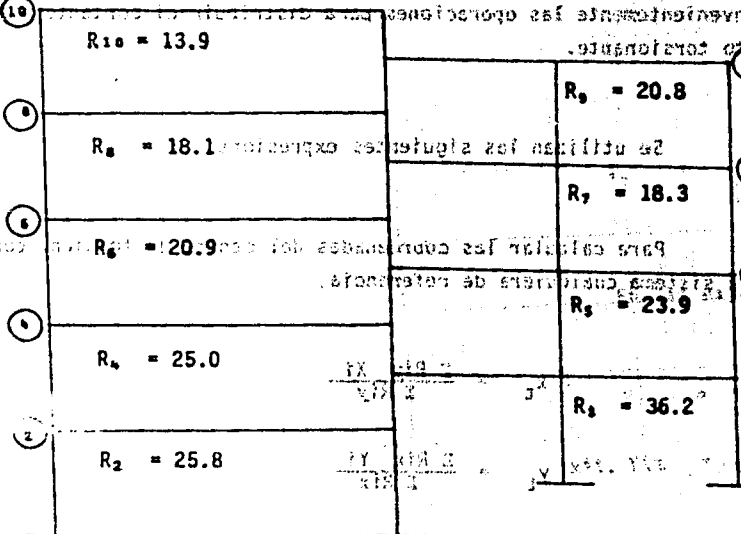
$K_{22,24} = 2.6$
 $V_2 = 35.7 \text{ Ton.}$
 $M''_{22,24} = 8.5 \text{ T-m.}$
 $h_{22,24} = 2.55 \text{ m.}$
 $R_2 = \frac{6 E (2.6) (35.7)}{8.5 (2.55)^2} = 25.7 \text{ E}$

Columna 19-25 (continua)

$K_{19,25} = 5.8$
 $V_2 = 35.7$
 $M''_{19,25} = 17.8$
 $h_{19,25} = 2.70$
 $R_2 = \frac{6 E (5.8) (35.7)}{17.8 (2.70)^2} = 25.9 \text{ E}$

En el ejemplo anterior, se puede observar que en los distintos entresijos, se obtuvo la "Rigidez de Entresijo", partiendo de los valores de distintas columnas, únicamente para fines de comprobación, ya que basta con tomar los valores correspondientes a una sola de las columnas del entresijo, para obtener la Rigidez del mismo.

Una vez determinadas las rigideces de entresijos en el nivel de cada piso, se procede a la distribución de momentos entre los elementos que forman parte de cada piso, de acuerdo con las siguientes reglas, donde se indican los factores de distribución de momentos.



La fuerza cortante que debe ser considerada en cada elemento, se obtiene al dividir el momento en el extremo superior del elemento por la altura del mismo. Así, se obtiene la fuerza cortante en el extremo superior del elemento. De la misma manera se obtiene la fuerza cortante en el extremo inferior del elemento.

MARCO EJES 1 y 6

(Rigideces de entresijo)

3.4.3.2.). Distribución de Cortantes entre los Elementos -
Resistentes en cada piso.

De manera semejante a como se obtuvieron las "Rigideces de Entrepiso", en el ejemplo anterior, se determinarán las mismas para todos y cada uno de los marcos que componen la estructura del edificio, aplicando en cada caso, las fuerzas totales debidas al sismo.

Una vez determinadas las rigideces de entrepiso, es fácil realizar la distribución de cortantes entre los elementos resistentes en cada piso, de cada marco : de acuerdo con las siguientes tablas, donde se sistematizan convenientemente las operaciones para distribuir el cortante sísmico y el momento torsionante.

Se utilizan las siguientes expresiones :

Para calcular las coordenadas del centro de torsión, con respecto a un sistema cualquiera de referencia.

$$x_t = \frac{\sum R_{iy} \cdot X_i}{\sum R_{iy}}$$

$$y_t = \frac{\sum R_{ix} \cdot Y_i}{\sum R_{ix}}$$

La fuerza cortante que debe ser resistida por un marco cualquiera en un piso, es igual a la suma de dos efectos : el debido a la fuerza cortante del piso, supuesta actuando en el centro de rigideces y el debido al momento torsionante del piso. Si la dirección analizada del sismo es paralela al eje x, se obtienen los siguientes cortantes :

no ocurren en cada marco en el mismo sentido.

En los marcos x e y, por efecto de la fuerza cortante aplicada en el centro de rigideces.

	$R_x = e R V_x$	$\frac{R_{ix}}{\Sigma R_{ix}}$	$R_x = e R$
	$R_y = e R V_y$	$\frac{R_{iy}}{\Sigma R_{iy}}$	$R_y = e R$
	$R_x = e R$		$R_x = e R$
			$R_y = e R$

En los marcos x e y, por efecto de la torsión.

$$V_T = \frac{M_t}{\left(\Sigma R_{ix} Y_{it}^2 + \Sigma R_{iy} X_{it}^2 \right)}$$

	$R_x = e R V_T$	$\frac{M_t R_{ix} Y_{it}}{\left(\Sigma R_{ix} Y_{it}^2 + \Sigma R_{iy} X_{it}^2 \right)}$	$R_x = e R$
	$R_y = e R V_T$	$\frac{M_t R_{iy} X_{it}}{\left(\Sigma R_{ix} Y_{it}^2 + \Sigma R_{iy} X_{it}^2 \right)}$	$R_y = e R$
			$R_x = e R$
			$R_y = e R$

En las expresiones anteriores:

V = fuerza cortante sísmica en el entrepiso considerado

x_{it}, Y_{it} = coordenadas de los elementos resistentes con respecto al centro de torsión del entrepiso en cuestión.

M_t = Momento torsionante en el entrepiso considerado.

$$M_t = V (1.5 e \pm 0.05 L)$$

e = excentricidad calculada como la distancia entre la línea de acción del cortante y el centro de torsión.

L = La mayor dimensión de la planta considerada del edificio, medida perpendicularmente a la dirección del

sismo. El signo, deberá tomarse en cada marco en -
 - tal forma, que dé lugar a los máximos esfuerzos.

9	$R_9 = 7.7$		
7	$R_7 = 7.7$		
5	$R_5 = 9.0$		
3	$R_3 = 12.4$		

MARCO EJE A

9	$R_9 = 8.2$		
7	$R_7 = 8.2$		
5	$R_5 = 9.6$		
3	$R_3 = 12.9$		

MARCO EJE B

10	$R_{10} = 33.1$		
9	$R_9 = 33.3$		
8	$R_8 = 31.7$		
7	$R_7 = 31.1$		
6	$R_6 = 30.5$		
5	$R_5 = 31.0$		
4	$R_4 = 31.6$		
3	$R_3 = 19.0$		
2	$R_2 = 18.3$		

MARCO EJE C

10	$R_{10} = 9.1$		
9	$R_9 = 9.0$		
8	$R_8 = 10.5$		
7	$R_7 = 11.4$		
6	$R_6 = 16.7$		

MARCO EJE D

10	$R_{10} = 10.3$		
9	$R_9 = 17.2$		
8	$R_8 = 16.2$		
7	$R_7 = 16.2$		
6	$R_6 = 18.4$		
5	$R_5 = 21.2$		
4	$R_4 = 24.2$		
3	$R_3 = 34.7$		
2	$R_2 = 24.0$		

RIGIDECES DE ENTREPISO.

MARCOS EJES 3 y 4

(Todas las rigideces indicadas, deben multiplicarse por E).

DISTRIBUCION DE CARGAS ENTRE LOS ELEMENTOS RESISTENTES EN CADA PISO

MARCOS - EJES C-V-E

Entrepiso 10 : $V_x = 9.6$ Ton. $V_y = 3.30$ m.

$$M_{tx} = 9.6 [1.5(3.30) - 1.30] \pm 0.05(6.80)$$

$$M_{tx_1} = 32.1 ; M_{tx_2} = 25.5$$

$$\sum R_{ix} y^2 + \sum R_{iy} x^2 = 316.4 + 1394.4 = 1710.8$$

EJE	R _{ix}	Y _i	R _{ix} Y _i	Y _i ²	R _{ix} Y _i ²	R _{iy} X _i ²	EFECTO DE V _x			EFECTO DE V _y Torsión
							Directo V _x R _{ix} Σ R _{ix}	Torsión	Total	
C	33.1	0.00	0.0	-1.30	-43.0	55.9	7.5	0.6	6.9	0.2
E	9.1	6.65	60.5	5.35	48.7	260.5	2.1	0.9	3.0	0.2
Σ	42.2		60.5			316.4	9.6	0.3	9.9	

$$Y_t = 60.5 / 46.2 = 1.30 \text{ m.}$$

MARCOS - EJES 1, 3, 4 y 6

Entrepiso 10 : $V_y = 10.9$ Ton. $X_v = 7.00$ m.

$$M_{ty} = 10.9 [1.5(7.00) - 7.00] \pm 0.05(14)$$

$$M_{ty_1} = 7.6 ; M_{ty_2} = 7.6$$

EJE	R _{iy}	X _i	R _{iy} X _i	X _i ²	R _{iy} X _i ²	R _{ix} Y _i ²	EFECTO DE V _y			EFECTO DE V _x Torsión
							Directo V _y R _{iy} Σ R _{iy}	Torsión	Total	
1	13.9	0.00	0.0	-7.00	-97.3	681.1	3.1	0.4	3.5	1.8
3	10.3	5.75	59.2	-1.25	-12.9	16.1	2.3	0.1	2.4	0.2
4	10.3	8.25	85.0	1.25	12.9	16.1	2.3	0.1	2.4	0.2
6	13.9	14.00	194.6	7.00	97.3	681.1	3.1	0.4	3.5	1.8
Σ	48.4		338.8			1394.4	10.8	1.0	11.8	

$$x_t = 338.8 / 48.4 = 7.00 \text{ m.}$$

DISTRIBUCION DE CORTANTES ENTRE LOS ELEMENTOS RESISTENTES EN CADA PISOMARCOS EJES A, B Y C

Entrepiso 9 : $V_x = 6.7$ Ton. $V_y = 3.46$ m.
 $Mtx = 6.7 [1.5(3.46 - 6.00) \pm 0.05(8.00)]$
 $Mtx_1 = -22.85$; $Mtx_2 = -28.21$
 $\Sigma Rix y^2 it + \Sigma Riy x^2 it = 429.1 + 2092.2 = 2521.3$

EJE	Rix	Riy	Rix Yi	Yit	Rix Yit	Rix Y ² it	EFECTO DE Vx			EFECTO DE Vy Torsión
							Directo Vx Rix Σ Rix	Torsión	Total	
A	7.7	0.00	0.0	-6.00	-46.2	277.2	1.1	0.5	1.6	0.2
B	8.2	3.85	31.6	-2.15	-17.6	37.9	1.1	0.2	1.3	0.1
C	33.3	7.85	261.4	1.85	61.6	114.0	4.5	-0.6	3.9	0.3
Σ	49.2		293.0			429.1	6.7	0.1	6.8	

$$Yt = Rix Yi / Rix = 293 / 49.2 = 6.00 \text{ m.}$$

MARCOS EJES 1, 3, 4 Y 6

Entrepiso 9 : $V_y = 16.2$ Ton $V_x = 7.00$ m.
 $Mty = 16.2 [1.5(7 - 7) \pm 0.05(14)]$
 $Mty_1 = 11.3$; $Mty_2 = 11.3$

EJE	Riy	Xi	Riy Xi	Xit	Riy Xit	Riy x ² it	EFECTO DE Vy			EFECTO DE Vx Torsión
							Directo Vy Riy Σ Riy	Torsión	Total	
1	20.8	0.00	0.0	-7.00	-145.6	1019.2	4.4	0.7	5.1	1.6
3	17.2	5.75	98.9	-1.25	-21.5	26.9	3.7	0.1	3.8	0.2
4	17.2	8.25	141.9	1.25	21.5	26.9	3.7	0.1	3.8	0.2
6	20.8	14.00	291.2	7.00	145.6	1019.2	4.4	0.7	5.1	1.6
Σ	76.0		532.0			2092.2	16.2	1.6	17.8	

$$Xt = 532 / 76 = 7.00 \text{ m.}$$

DISTRIBUCION DE CORTANTES ENTRE LOS ELEMENTOS RESISTENTES EN CADA PISOMARCOS EJES C, D Y EEntrepiso 8 : $V_{x0.8} = 14.3$ Ton. $h = 3.30$ m.

$$[(0.8) M_{t0}] = (14.3 - [1.5(3.30) - 1.50] \pm 0.05 (6.80))$$

$$M_{t1} = 43.5 ; M_{t2} = 33.7$$

$$V_{x0.8} = S.AMI + 2.0SP = \Sigma R_{ix} y_{21t} + \Sigma R_{iy} x_{21t} = 310.4 + 1824.6 = 2135.0$$

EJES	Rix	Yi	Rix Yi	Yit	Rix Yit	Riy x _{21t}	EFECTO DE Vx			EFECTO DE Vy Torsión
							Directo Vx Rix Σ Rix	Torsión	Total	
C	31.7	0.00	0.0	-1.50	-47.6	71.4	11.1	-0.8	10.3	0.3
E	9.0	6.65	59.9	5.15	46.4	239.0	3.2	0.9	4.1	0.3
Σ	40.7		59.9			310.4	14.3	0.1	14.4	

$$Yt = 59.9 / 40.7 = 1.50$$

MARCOS EJES 1, 3, 4 Y 6Entrepiso 8 : $V_y = 21.1$ Ton. $X_y = 7.00$ m.

$$M_{t1} = 21.1 [1.5(7 - 7) \pm 0.05(14)]$$

$$M_{t1} = 14.8 ; M_{t2} = -14.8$$

EJES	Riy	Xi	Riy Xi	Xit	Riy Xit	Riy x _{21t}	EFECTO DE Vy			EFECTO DE Vx Torsión
							Directo Vy Riy Σ Riy	Torsión	Total	
1	18.1	0.00	0.0	-7.00	-126.7	886.9	5.6	0.9	6.5	2.6
3	16.2	5.75	93.2	-1.25	-20.3	25.4	5.0	0.1	5.1	0.4
4	16.2	8.25	133.7	1.25	20.3	25.4	5.0	0.1	5.1	0.4
6	18.1	14.00	253.4	7.00	126.7	886.9	5.6	0.9	6.5	2.6
Σ	68.6		480.3			1824.6	21.2	2.0	23.2	

$$Xt = 480.3 / 68.6 = 7.00 \text{ m.}$$

DISTRIBUCION DE CORTANTES ENTRE LOS ELEMENTOS RESISTENTES EN CADA PISO

MARCOS Y EJES 3/A, B, C

Entrepiso 7 : $V_{x0} = 10.4$ Ton $l_{01} = 3.50$ m. : 8 (columnas)

$[(3.8) M_{x0} = 10.4 - [(1.5)(3.50) - (5.90) \pm 0.05 (8.00)]$

$M_{x1} = -33.380; M_{x2} = 41.6$

$\Sigma R_{ix} = \Sigma R_{ix} y^2 + \Sigma R_{iy} x^2 = 420.5 + 1844.2 = 2264.7$

EJE	R _{ix}	Y ₁	R _{ix} Y ₁	Y ₁ ²	R _{ix} Y ₁ ²	R _{ix} Y ₂ ²	EFECTO DE V _x			EFECTO DE V _y Torsión
							Directo V _x R _{ix} Σ R _{ix}	Torsión	Total	
A	7.7	0.00	0.0	-5.90	-45.4	267.9	1.7	0.8	2.5	0.3
B	8.2	3.85	31.6	-2.05	-16.8	34.4	1.8	0.3	2.1	0.1
C	31.1	7.85	244.1	1.95	60.6	118.2	6.9	-0.9	6.0	0.5
Σ	47.0		275.7			420.5	10.4	0.2	10.6	

$Y_t = 275.7 / 47 = 5.90$ m.

MARCOS - EJES - 1, 3, 4 Y 6

Entrepiso 7 : $V_y = 24.7$ Ton $X_v = 7.00$ m.

$M_{ty} = 24.7 [1.5 (7 - 7) \pm 0.05 (14)]$

$M_{ty1} = 17.3 ; M_{ty2} = -17.3$

EJE	R _{iy}	X ₁	R _{iy} X ₁	X ₁ ²	R _{iy} X ₁ ²	R _{iy} X ₂ ²	EFECTO DE V _y			EFECTO DE V _x Torsión
							Directo V _y R _{iy} Σ R _{iy}	Torsión	Total	
1	18.3	0.00	0.0	-7.00	-128.1	896.7	6.6	1.0	7.6	2.4
3	16.2	5.75	93.2	-1.25	-20.3	25.4	5.8	0.2	6.0	0.4
4	16.2	8.25	133.7	1.25	20.3	25.4	5.8	0.2	6.0	0.4
6	18.3	14.00	256.2	7.00	128.1	896.7	6.6	1.0	7.6	2.4
Σ	69.0		483.1			1844.2	24.8	2.4	27.2	

$X_t = 483.1 / 69 = 7.00$

DISTRIBUCION DE CORTANTES ENTRE LOS ELEMENTOS RESISTENTES EN CADA PISO

MARCOS EJES C Y E

Entrepiso 6 : $V_x = 17.9$ Ton. $V_y = 3.30$ m.

$Mtx = 17.9 [1.5 (3.30 - 1.70) \pm 0.05 (6.80)]$

$Mtx_1 = 49.0 ; Mtx_2 = -36.9$

$\Sigma Rix y^2 it + \Sigma Riy x^2 it = 345.5 + 2105.8 = 2451.3$

$I_{TXX} = 4.8045 + 5.004 = 9.8085$

EJE	Rix	Yi	Rix Yi	Yit	Rix Yit	Rix Y ² it	EFECTO DE Vx			EFECTO DE Vy Torsión
							Directo $\frac{V_x Rix}{\Sigma Rix}$	Torsión	Total	
C	30.5	0.00	0.0	-1.70	-51.9	88.2	13.3	-0.8	12.5	0.4
E	10.5	6.65	69.8	4.95	52.0	257.3	4.6	1.0	5.6	0.4
Σ	41.0		69.8			345.5	17.9	0.2	18.1	

$Y_t = 69.8 / 41 = 1.70$

MARCOS EJES 1, 3, 4 y 6

Entrepiso 6 : $V_y = 28.4$ Ton. $X_v = 7.00$ m.

$Mty = 28.4 [-1.5 (7 - 7) \pm 0.05 (14)]$

$Mty_1 = 19.9 ; Mty_2 = -19.9$

EJE	Riy	Xi	Riy Xi	Xit	Riy Xit	Riy X ² it	EFECTO DE Vy			EFECTO DE Vx Torsión
							Directo $\frac{V_y Riy}{\Sigma Riy}$	Torsión	Total	
1	20.9	0.00	0.0	-7.00	-146.3	1024.1	7.6	1.2	8.8	2.9
3	18.4	-5.75	105.8	-1.25	-23.0	28.8	6.6	0.2	6.8	0.5
4	18.4	8.25	151.8	1.25	23.0	28.8	6.6	0.2	6.8	0.5
6	20.9	14.00	292.6	7.00	146.3	1024.1	7.6	1.2	8.8	2.9
Σ	78.6		550.2			2105.8	28.4	2.8	31.2	

$X_t = 550.2 / 78.6 = 7.00$ m.

DISTRIBUCION DE CORTANTES ENTRE LOS ELEMENTOS RESISTENTES EN CADA PISO

MARCOS EJES A, B Y C

Entrepiso 5 (5.00 m) $V_x = 13.1$ Ton. $V_y = 3.51$ m.
 $Mtx = 13.1 [1.5 (3.51 - 5.70) \pm 0.05 (8.00)]$
 $Mtx_1 = -37.8$; $Mtx_2 = -48.3$
 $\Sigma Rix y^2it + \Sigma Riy x^2it = 468.7 + 2408.4 = 2877.1$

EJE	Rix	Yi	Rix Yi	Yit	Riy Xit	Riy X ² it	EFECTO DE Vx			EFECTO DE Vy Torsión
							Directo Vx Rix Σ RIX	Torsión	Total	
A	9.0	0.00	0.0	-5.70	-51.3	292.4	2.4	0.9	3.3	0.4
B	9.6	3.85	37.0	-1.85	-17.8	32.9	2.5	0.3	2.8	0.1
C	31.0	7.85	243.4	2.15	66.7	143.4	8.2	-0.9	7.3	0.5
Σ	49.6		280.4			468.7	13.1	0.3	13.4	

$Yt = 280.4 / 49.6 = 5.70$ m.

MARCOS EJES 1, 3, 4 Y 6

Entrepiso 5 : $V_y = 30.9$ Ton. $X_v = 7.00$ m.
 $Mty = 30.9 [1.5 (7 - 7) \pm 0.05 (14)]$
 $Mty_1 = 21.6$; $Mty_2 = -21.6$

EJE	Riy	Xi	Riy Xi	Xit	Riy Xit	Riy X ² it	EFECTO DE Vy			EFECTO DE Vx Torsión
							Directo Vy Riy Σ Riy	Torsión	Total	
1	23.9	0.00	0.0	-7.00	-167.3	1171.1	8.2	1.3	9.5	2.8
3	21.2	5.75	121.9	-1.25	-26.5	33.1	7.3	0.2	7.5	0.4
4	21.2	8.25	174.9	1.25	26.5	33.1	7.3	0.2	7.5	0.4
6	23.9	14.00	334.6	7.00	167.3	1171.1	8.2	1.3	9.5	2.8
Σ	90.2		631.4			2408.4	31.0	3.0	34.0	

$Xt = 631.4 / 90.2 = 7.00$ m.

DISTRIBUCION DE CORTANTES ENTRE LOS ELEMENTOS RESISTENTES EN CADA PISO TIPO

MARCOS EJES CILY EDDIAN

Entrepiso 4 : $V_x = 20.3$ Ton. $Y_v = 3.30$ m. $C = 0.05$
 $[0.05 Mtx] = 20.3 [1.5 (3.30 - 1.80) \pm 0.05 (6.80)]$
 $Mtx_1 = 52.6$; $Mtx_2 = 38.8$
 $0.05 V_x = 1.015$ $\Sigma Rix y^2 it + \Sigma Riy x^2 it = 370.6 + 2525.8 = 2896.4$

EJE	Rix	Yi	Rix Yi	Yit	Riy Yit	Riy X ² it	EFECTO DE Vx			EFECTO DE Vy Torsión
							Directo Vx Rix Σ Rix	Torsión	Total	
C	31.6	0.00	0.0	-1.80	- 56.9	102.4	14.9	- 0.8	14.1	0.5
E	11.4	6.65	75.8	4.85	55.3	268.2	5.4	1.0	6.4	0.4
Σ	43.0		75.8			370.6	20.3	0.2	20.5	

$Y_t = 75.8 / 43 = 1.80$ m.

MARCOS EJES 1, 3, 4 Y 6

Entrepiso 4 : $V_y = 33.3$ Ton. $X_v = 7.00$ m.
 $Mty = 33.3 [1.5 (7 - 7) \pm 0.05 (14)]$
 $Mty_1 = 23.3$; $Mty_2 = - 23.3$

EJE	Riy	Xi	Riy Xi	Xit	Riy Xit	Riy X ² it	EFECTO DE Vy			EFECTO DE Vx Torsión
							Directo Vy Riy Σ Riy	Torsión	Total	
1	25.0	0.00	0.0	-7.00	- 175.0	1225.0	8.5	1.4	9.9	3.2
3	24.2	5.75	139.2	-1.25	- 30.3	37.9	8.2	0.2	8.4	0.6
4	24.2	8.25	199.7	1.25	30.3	37.9	8.2	0.2	8.4	0.6
6	25.0	14.00	350.0	7.00	175.0	1225.0	8.5	1.4	9.9	3.2
Σ	98.4		688.9			2525.8	33.4	3.2	36.6	

$X_t = 688.9 / 98.4 = 7.00$

DISTRIBUCION DE CORTANTES ENTRE LOS ELEMENTOS RESISTENTES EN CADA PISO

MARCOS EJES A, B Y C

Entrepiso 3 : $V_x = 14.7$ Ton. $Y_t = 3.52$ m.

$$M_{tx} = 14.7 [1.5 (3.52 - 4.50) \pm 0.05 (8.00)]$$

$$M_{tx_1} = - 15.7 : M_{tx_2} = - 27.5$$

$$\Sigma R_{ix} y^2 + \Sigma R_{iy} x^2 = 470.8 + 3656.2 = 4127.0$$

EJE	Rix	Yi	Rix Yi	Yit	Rix Yit	Rix Y ² it	EFECTO DE Vx			EFECTO DE Vy Torsión
							Directo Vx Rix / Σ Rix	Torsión	Total	
A	12.4	0.00	0.0	-4.50	- 55.8	251.1	-4.1	0.4	4.5	0.3
B	12.9	3.85	49.7	-0.70	- 9.0	6.3	4.3	0.1	4.4	0.1
C	19.0	7.85	149.2	3.35	63.7	213.4	6.3	-0.2	6.1	0.4
Σ	44.3		198.9			470.8	14.7	0.3	15.0	

$$Y_t = 198.9 / 44.3 = 4.50 \text{ m.}$$

MARCOS EJES 1, 3, 4 Y 6

Entrepiso 3 : $V_y = 34.9$ Ton. $X_v = 7.00$ m.

$$M_{ty} = 34.9 [1.5 (7 - 7) \pm 0.05 (14)]$$

$$M_{ty_1} = 24.4 : M_{ty_2} = - 24.4$$

EJE	Riy	Xi	Riy Xi	Xit	Riy Xit	Riy x ² it	EFECTO DE Vy			EFECTO DE Vx Torsión
							Directo Vy Riy / Σ Riy	Torsión	Total	
1	36.2	0.00	0.0	-7.00	- 253.4	1773.8	8.9	1.5	10.4	1.7
3	34.7	5.75	199.5	-1.25	- 43.4	54.3	8.5	0.3	8.8	0.3
4	34.7	8.25	286.3	1.25	43.4	54.3	8.5	0.3	8.8	0.3
6	36.2	14.00	506.8	7.00	253.4	1773.8	8.9	1.5	10.4	1.7
Σ	141.8		992.6			3656.2	34.8	3.6	38.4	

$$X_t = 992.6 / 141.8 = 7.00 \text{ m.}$$

DISTRIBUCION DE CORTANTES ENTRE LOS ELEMENTOS RESISTENTES EN CADA PISO

MARCOS EJES C Y E

Entrepiso 2 :	$V_x = 21.1 \text{ Ton.}$	$V_y = 3.40 \text{ m.}$	
	$Mtx = 21.1 [-1.5(3.4 - 4.40) \pm 0.05(6.80)]$		
	$Mtx_1 = -24.5$; $Mtx_2 = -38.8$		
	$\Sigma Rix \cdot Y^2it + \Sigma Riy \cdot X^2it = 245.1 + 2603.4 = 2848.5$		

E J E	Rix	Yi	Rix Yi	Yit	Rix Yit	Rix Y ² it	EFECTO DE Vx			EFECTO DE Vy Torsión
							Directo	Torsión	Total	
							Vx Rix Σ Rix			
C	8.3	0.00	0.0	-4.40	-36.5	160.6	7.0	0.5	7.5	0.3
E	16.7	6.65	111.1	2.25	37.6	84.5	14.1	-0.3	13.8	0.3
Σ	25.0		111.1			245.1	21.1	0.2	21.3	

$Y_t = 111.1 / 25.0 = 4.40 \text{ m.}$

MARCOS EJES 1, 3, 4 Y 6

Entrepiso 2 :	$V_y = 35.7 \text{ Ton.}$	$V_x = 7.00 \text{ m.}$	
	$Mty = 35.7 [1.5(7 - 7) \pm 0.05(14)]$		
	$Mty_1 = 25.0$; $Mty_2 = -25.0$		

E J E	Riy	Xi	Riy Xi	Xit	Riy Xit	Riy X ² it	EFECTO DE Vy			EFECTO DE Vx Torsión
							Directo	Torsión	Total	
							Vy Riy Σ Riy			
1	25.8	0.00	0.0	-7.00	-180.6	1264.2	9.2	1.6	10.8	2.5
3	24.0	5.75	138.0	-1.25	-30.0	37.5	8.6	0.3	8.9	0.4
4	24.0	8.25	198.0	1.25	30.0	37.5	8.6	0.3	8.9	0.4
6	25.8	14.00	361.2	7.00	180.6	1264.2	9.2	1.6	10.8	2.5
Σ	99.6		697.2			2603.4	35.6	3.8	39.4	

$X_t = 697.2 / 99.6 = 7.00 \text{ m.}$

MARCOS EJES A, B Y C

FUERZAS SISMICAS Y CORTANTES DE ENTREPISO TOTALES (Directos más Torsión)

3 Y 0 2000 2000MM

NIV.	ENTRE PISO	MARCO EJE A		MARCO EJE B		MARCO EJE C		TOTALES	
		Vx	F1x	Vx	F1x	Vx	F1x	Vx	F1x
9			1.6		1.3		3.9		6.8
	9	1.6	---	1.3	---	3.9	---	6.8	---
7			0.9		0.8		2.1		3.8
	7	2.5	---	2.1	---	6.0	---	10.6	---
5			0.8		0.7		1.3		2.8
	5	3.3	---	2.8	---	7.3	---	13.4	---
3			1.2		1.6		-1.2		1.6
	3	4.5	---	4.4	---	6.1	---	15.0	---
Σ			4.5		4.4		6.1		15.0

MARCOS EJES C Y E

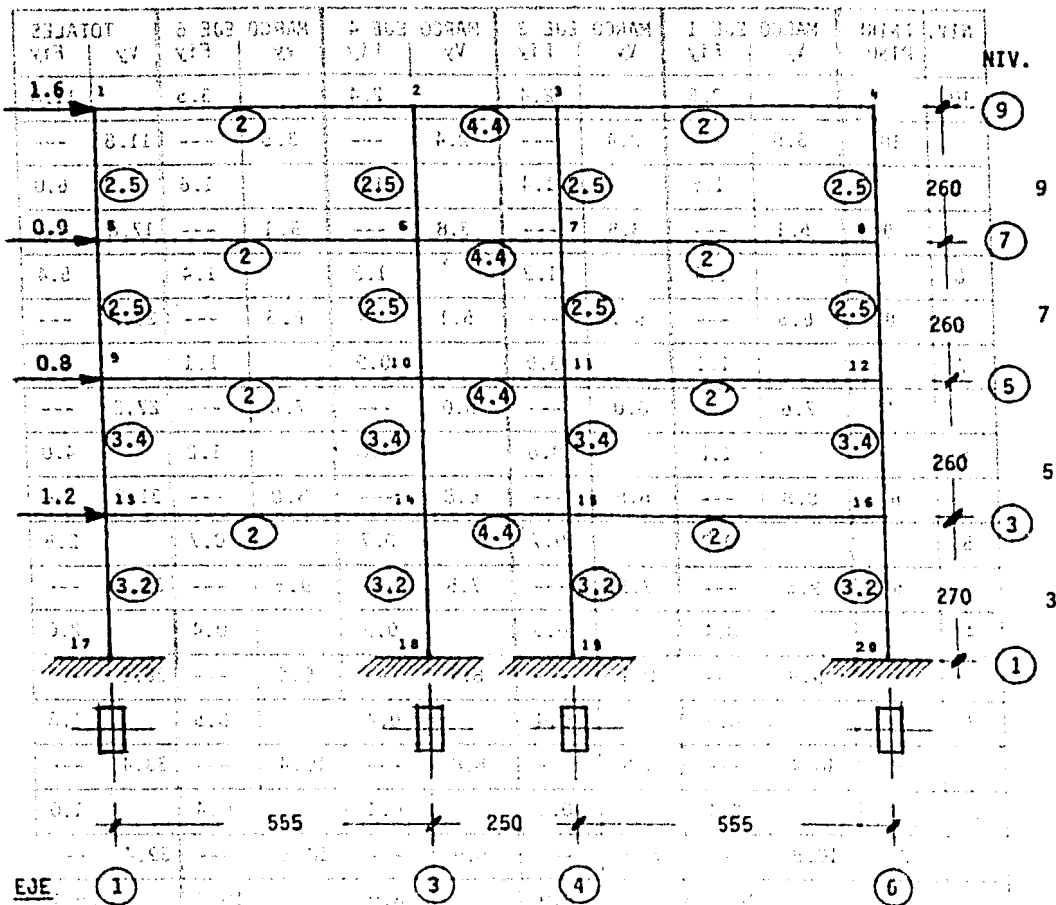
FUERZAS SISMICAS Y CORTANTES DE ENTREPISO TOTALES (Directos más Torsión)

NIVEL	ENTREPISO	MARCO EJE C		MARCO EJE E		TOTALES	
		Vx	F1x	Vx	F1x	Vx	F1x
10			6.9		3.0		9.9
	10	6.9	---	3.0	---	9.9	---
8			3.4		1.1		4.5
	8	10.3	---	4.1	---	14.4	---
6			2.2		1.5		3.7
	6	12.5	---	5.6	---	18.1	---
4			1.6		0.8		2.4
	4	14.1	---	6.4	---	20.5	---
2			-6.6		7.4		0.8
	2	7.5	---	13.8	---	21.3	---
SUMAS			7.5		13.8		21.3

MARCOS EJES 1, 3, 4 Y 6FUERZAS SISMICAS Y CORTANTES DE ENTREPISO TOTALES (Directos más Torsión)

NIV.	ENTRE PISO	MARCO EJE 1		MARCO EJE 3		MARCO EJE 4		MARCO EJE 6		TOTALES	
		Vy	Fly	Vy	Fly	Vy	Fly	Vy	Fly	Vy	Fly
10			3.5		2.4		2.4		3.5		11.8
	10	3.5	---	2.4	---	2.4	---	3.5	---	11.8	---
9			1.6		1.4		1.4		1.6		6.0
	9	5.1	---	3.8	---	3.8	---	5.1	---	17.8	---
8			1.4		1.3		1.3		1.4		5.4
	8	6.5	---	5.1	---	5.1	---	6.5	---	23.2	---
7			1.1		0.9		0.9		1.1		4.0
	7	7.6	---	6.0	---	6.0	---	7.6	---	27.2	---
6			1.2		0.8		0.8		1.2		4.0
	6	8.8	---	6.8	---	6.8	---	8.8	---	31.2	---
5			0.7		0.7		0.7		0.7		2.8
	5	9.5	---	7.5	---	7.5	---	9.5	---	34.0	---
4			0.4		0.9		0.9		0.4		2.6
	4	9.9	---	8.4	---	8.4	---	9.9	---	36.6	---
3			0.5		0.4		0.4		0.5		1.8
	3	10.4	---	8.8	---	8.8	---	10.4	---	38.4	---
2			0.4		0.1		0.1		0.4		1.0
	2	10.8	---	8.9	---	8.9	---	10.8	---	39.4	---
Σ			10.8		8.9		8.9		10.8		39.4

PLANO DE RIGIDEZES Y CONSTANTES DE ENTRENDO TOTALES (Estructura de Estructura)



MARCO EJE A

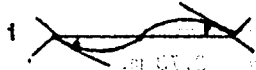
- Rigideces Relativas.
- Acotaciones en cm.
- Fuerzas Horizontales en Ton.

MARCO EJE A

Debido a la simetría en cargas, se puede analizar sólo la mitad del marco, ya que en este caso, se tiene que :

$$\begin{aligned}
 \phi_2 &= \phi_3 \\
 \phi_6 &= \phi_7 \\
 \phi_{10} &= \phi_{11} \\
 \phi_{14} &= \phi_{15}
 \end{aligned}$$

se tiene la siguiente condición :



$$M^i_k = M^k_i$$

En fin:

$$M^i_k = M^k_i$$

1). Momentos de Empotramiento.

$$M^i_k = 0$$

Todos son nulos, debido a no existir cargas externas que los provoquen.

2). Momentos de Desequilibrio.

$$M_i = 0$$

Todos son nulos, ya que no existen Momentos de Empotramiento.

3). Rigideces y Factores de Distribución Angular.

Ya obtenidos en el inciso 2.3.1 del Capítulo 2.

4). Momentos de Piso.

PISO 9

$$h_r = 2.60 \text{ m.}$$

$$Q_r = - 1.6 \text{ Ton.}$$

$$M_r = \frac{Q_r h_r}{3} = - \frac{1.6 \times 2.6}{3} = - 1.4 \text{ T-m.}$$

PISO 7 G O R A M

hr = 2.60 m.
 Qr = 1.6 - 0.9 = 2.5 Ton.
 Mr = $\frac{Qr \cdot hr}{3} = \frac{2.5 \times 2.6}{3} = 2.2 \text{ T-m.}$

PISO 5

hr = 2.60 m.
 Qr = 1.6 - 0.9 - 0.8 = 3.3 Ton.
 Mr = $\frac{Qr \cdot hr}{3} = \frac{3.3 \times 2.60}{3} = 2.9 \text{ T-m.}$

PISO 3

hr = 2.70 m.
 Qr = 1.6 - 0.9 - 0.8 - 1.2 = 4.5 Ton.
 Mr = $\frac{Qr \cdot hr}{3} = \frac{4.5 \times 2.7}{3} = 4.1 \text{ T-m.}$

5). Rigideces y Factores de Distribución Lineal.

El marco en estudio, tiene las columnas de igual altura en todos y cada uno de los entresijos, por lo tanto :

$$v_{ik} = - \frac{3}{2} \frac{K_{ik}}{\sum K_{ik}}$$

PISO 9

$v_{15} = - \frac{3}{2} \frac{K_{15}}{K_{15} + K_{26} + K_{37} + K_{48}}$
 $v_{15} = - \frac{3}{2} \frac{2.5}{2.5 + 2.5 + 2.5 + 2.5} = - 0.375$
 $v_{26} = - \frac{3}{2} \frac{K_{26}}{10} = - \frac{3}{2} \frac{2.5}{10} = - 0.375$
 $v_{37} = - \frac{3}{2} \frac{K_{37}}{10} = - \frac{3}{2} \frac{2.5}{10} = - 0.375$
 $v_{48} = - \frac{3}{2} \frac{K_{48}}{10} = - \frac{3}{2} \frac{2.5}{10} = - 0.375$

Comprobación :

$\sum v_{ik} = - \frac{3}{2}$
 $- 0.375 - 0.375 - 0.375 - 0.375 = - \frac{3}{2}$
 $- 1.5 = - \frac{3}{2} \checkmark$

PISO 7

$$\begin{aligned}
 v_{5,9} &= - \frac{3}{2} \left(\frac{K_{5,9}}{K_{5,9}} + K_{6,10} + K_{7,11} + K_{8,12} \right) \\
 v_{5,9} &= - \frac{3}{2} \left(2.5 / 2.5 + 2.5 + 2.5 + 2.5 \right) = - 0.375 \\
 v_{6,10} &= - \frac{3}{2} \left(\frac{K_{6,10}}{10} - \frac{3}{2} \cdot 2.5 / 10 \right) = - 0.375 \\
 v_{7,11} &= - \frac{3}{2} \left(\frac{K_{7,11}}{10} - \frac{3}{2} \cdot 2.5 / 10 \right) = - 0.375 \\
 v_{8,12} &= - \frac{3}{2} \left(\frac{K_{8,12}}{10} - \frac{3}{2} \cdot 2.5 / 10 \right) = - 0.375
 \end{aligned}$$

PISO 5

$$\begin{aligned}
 v_{9,13} &= - \frac{3}{2} \left(\frac{K_{9,13}}{K_{9,13}} + K_{10,14} + K_{11,15} + K_{12,16} \right) \\
 v_{9,13} &= - \frac{3}{2} \left(3.4 / 3.4 + 3.4 + 3.4 + 3.4 \right) \\
 v_{9,13} &= - \frac{3}{2} \left(3.4 / 13.6 \right) = - 0.375 \\
 v_{10,14} &= - \frac{3}{2} \left(\frac{K_{10,14}}{13.6} - \frac{3}{2} \cdot 3.4 / 13.6 \right) = - 0.375 \\
 v_{11,15} &= - \frac{3}{2} \left(\frac{K_{11,15}}{13.6} - \frac{3}{2} \cdot 3.4 / 13.6 \right) = - 0.375 \\
 v_{12,16} &= - \frac{3}{2} \left(\frac{K_{12,16}}{13.6} - \frac{3}{2} \cdot 3.4 / 13.6 \right) = - 0.375
 \end{aligned}$$

Comprobación :

$$\begin{aligned}
 \Sigma v_{ik} &= - \frac{3}{2} \\
 &= - 0.375 - 0.375 - 0.375 - 0.375 = - \frac{3}{2} \\
 &= - 1.5 = - \frac{3}{2} \quad \checkmark
 \end{aligned}$$

PISO 3

$$\begin{aligned}
 v_{13,17} &= - \frac{3}{2} \left(\frac{K_{13,17}}{K_{13,17}} + K_{14,18} + K_{15,19} + K_{16,20} \right) \\
 v_{13,17} &= - \frac{3}{2} \left(3.2 / 3.2 + 3.2 + 3.2 + 3.2 \right) \\
 v_{13,17} &= - \frac{3}{2} \left(3.2 / 12.8 \right) = - 0.375 \\
 v_{14,18} &= - \frac{3}{2} \left(\frac{K_{14,18}}{12.8} - \frac{3}{2} \cdot 3.2 / 12.8 \right) = - 0.375 \\
 v_{15,19} &= - \frac{3}{2} \left(\frac{K_{15,19}}{12.8} - \frac{3}{2} \cdot 3.2 / 12.8 \right) = - 0.375 \\
 v_{16,20} &= - \frac{3}{2} \left(\frac{K_{16,20}}{12.8} - \frac{3}{2} \cdot 3.2 / 12.8 \right) = - 0.375
 \end{aligned}$$

Comprobación :

$$\begin{aligned}
 \Sigma v_{ik} &= - \frac{3}{2} \\
 &= - 0.375 - 0.375 - 0.375 - 0.375 = - \frac{3}{2} \\
 &= - 1.5 = - \frac{3}{2} \quad \checkmark
 \end{aligned}$$

6). Distribución de Momentos.

$M'_{ik} = \mu_{ik} [\Sigma M'_{ki} + \Sigma M''_{ik}]$	$(M''_{ik} = 0)$
$M''_{ik} = \nu_{ik} [M_r + \Sigma (M'_{ik} + M'_{ki})]$	

Como ya se indicó al principio, para las barras : 2-3, 6-7, 10-11 y 14-15, se tiene que : $M'_{ik} = -M'_{ki}$.

PRIMER CICLOPISO 9

$$M''_{15} = - 0.375 [- 1.4 + 2 (0 + 0) + 2 (0 + 0)]$$

$$M''_{15} = - 0.375 (- 1.4) = + 0.5$$

$$M''_{26} = - 0.375 (- 1.4) = + 0.5$$

PISO 7

$$M''_{59} = - 0.375 [- 2.2 + 2 (0 + 0) + 2 (0 + 0)]$$

$$M''_{59} = - 0.375 (- 2.2) = + 0.8$$

$$M''_{6,10} = - 0.375 (- 2.2) = + 0.8$$

PISO 5

$$M''_{9,13} = - 0.375 [- 2.9 + 2 (0 + 0) + 2 (0 + 0)]$$

$$M''_{9,13} = - 0.375 (- 2.9) = + 1.1$$

$$M''_{10,14} = - 0.375 (- 2.9) = + 1.1$$

PISO 3

$$M''_{13,17} = - 0.375 [- 4.1 + 2 (0) + 2 (0)]$$

$$M''_{13,17} = - 0.375 (- 4.1) = + 1.5$$

$$M''_{14,18} = - 0.375 (- 4.1) = + 1.5$$

NUDO 1

$$M'_{12} = - 0.222 [0 + 0 + 0 + 0.5] = - 0.1$$

$$M'_{15} = - 0.278 (0.5) = - 0.1$$

NUDO 2

$$M'_{21} = - 0.113 [0 - 0.1 + 0 + 0 + 0.5]$$

$$M'_{21} = - 0.113 (0.4) = - 0.0$$

$$M'_{23} = - 0.247 (0.4) = - 0.1$$

$$M'_{26} = - 0.140 (0.4) = - 0.1$$

NUDO 5

- M' 52 = - 0.178 [0 - 0.1 + 0 + 0 + 0.5 + 0.8]
- M' 51 = - 0.178 (1.2) = - 0.2
- M' 56 = - 0.144 (1.2) = - 0.2
- M' 59 = - 0.178 (1.2) = - 0.2

207 201

NUDO 6

- M' 65 = - 0.088 [0 - 0.2 - 0.1 + 0 + 0 + 0.5 + 0.8]
- M' 68 = - 0.088 (1.0) = - 0.1
- M' 62 = - 0.110 (1.0) = - 0.1
- M' 67 = - 0.192 (1.0) = - 0.2

- M' 6,10 = - 0.110 (1.0) = - 0.1

NUDO 9

- M' 95 = - 0.158 [0 - 0.2 + 0 + 0 + 0.8 + 1.1]
- M' 98 = - 0.158 (1.7) = - 0.3
- M' 9,10 = - 0.127 (1.7) = - 0.2
- M' 9,13 = - 0.215 (1.7) = - 0.4

NUDO 10

- M' 10,8 = - 0.082 [0 - 0.2 - 0.1 + 0 + 0 + 0.8 + 1.1]
- M' 10,9 = - 0.082 (1.6) = - 0.1
- M' 10,6 = - 0.101 (1.6) = - 0.2
- M' 10,11 = - 0.179 (1.6) = - 0.3
- M' 10,16 = - 0.138 (1.6) = - 0.2

NUDO 13

- M' 13,8 = - 0.198 [0 - 0.4 + 0 + 1.1 + 1.5]
- M' 13,9 = - 0.198 (2.2) = - 0.4
- M' 13,16 = - 0.117 (2.2) = - 0.3
- M' 13,17 = - 0.185 (2.2) = - 0.4

NUDO 14

- M' 14,13 = - 0.077 [0 - 0.3 - 0.2 + 0 + 1.1 + 1.5]
- M' 14,12 = - 0.077 (2.1) = - 0.2
- M' 14,10 = - 0.131 (2.1) = - 0.3
- M' 14,15 = - 0.169 (2.1) = - 0.4

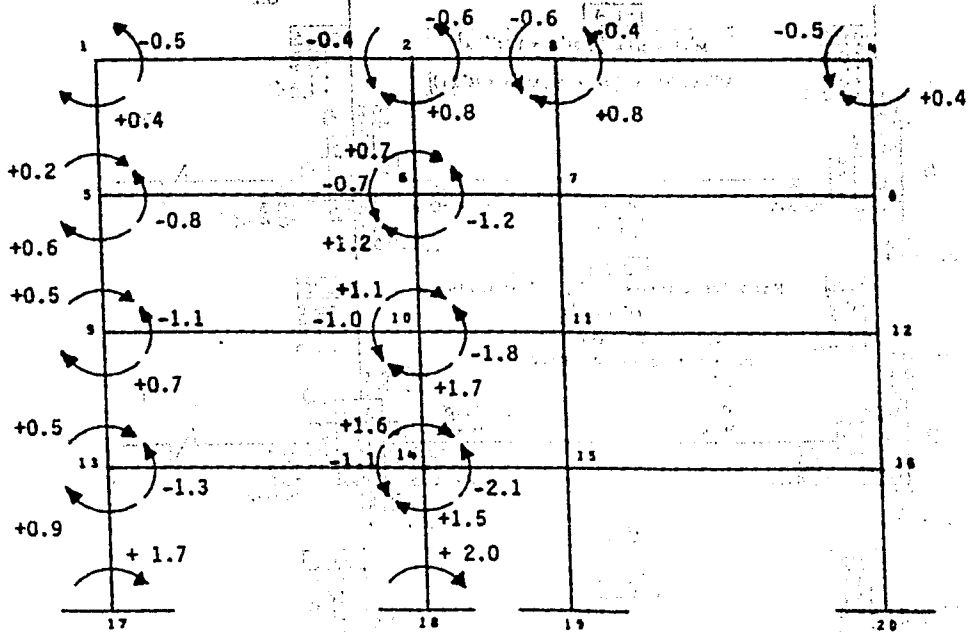
$$M'_{14,10} = -0.123 (2.1) = -0.3$$

7). Cálculo de Momentos Finales.

$$M_{ik} = \bar{M}_{ik} + 2M'_{ik} + M'_{ki} + M''_{ik} \quad ; \quad (\bar{M}_{ik} = 0)$$

NUDO	BARRA	M'ik	2 M'ik	M'ki	M''ik	Mik
1	1-2	- 0.2	- 0.4	- 0.1	---	- 0.5
	1-5	- 0.2	- 0.4	+ 0.4	+ 1.2	+ 0.4
2	2-1	- 0.1	- 0.2	- 0.2	---	- 0.4
	2-3	- 0.2	- 0.4	- 0.2	---	- 0.6
	2-6	- 0.1	- 0.2	- 0.2	+ 1.2	+ 0.8
5	5-1	- 0.4	- 0.8	- 0.2	+ 1.2	+ 0.2
	5-6	- 0.3	- 0.6	- 0.2	---	- 0.8
	5-9	- 0.4	- 0.8	- 0.5	+ 1.9	+ 0.6
6	6-5	- 0.2	- 0.4	- 0.3	---	- 0.7
	6-2	- 0.2	- 0.4	- 0.1	+ 1.2	+ 0.7
	6-7	- 0.4	- 0.8	- 0.4	---	- 1.2
	6-10	- 0.2	- 0.4	- 0.3	+ 1.9	+ 1.2
9	9-5	- 0.5	- 1.0	- 0.4	+ 1.9	+ 0.5
	9-10	- 0.4	- 0.8	- 0.3	---	- 1.1
	9-13	- 0.7	- 1.4	- 0.9	+ 3.0	+ 0.7
10	10-9	- 0.3	- 0.6	- 0.4	---	- 1.0
	10-6	- 0.3	- 0.6	- 0.2	+ 1.9	+ 1.1
	10-11	- 0.6	- 1.2	- 0.6	---	- 1.8
	10-14	- 0.4	- 0.8	- 0.5	+ 3.0	+ 1.7
13	13-9	- 0.9	- 1.8	- 0.7	+ 3.0	+ 0.5
	13-14	- 0.5	- 1.0	- 0.3	---	- 1.3
	13-17	- 0.6	- 1.6	---	+ 2.5	+ 0.9
14	14-13	- 0.3	- 0.6	- 0.5	---	- 1.1
	14-10	- 0.5	- 1.0	- 0.4	+ 3.0	+ 1.6
	14-15	- 0.7	- 1.4	- 0.7	---	- 2.1
	14-18	- 0.5	- 1.0	---	+ 2.5	+ 1.5
17	17-13	---	---	- 0.8	+ 2.5	+ 1.7
18	18-14	---	---	- 0.5	+ 2.5	+ 2.0

8) Momentos Finales de Barra sobre Nudo. (b.s.n.)

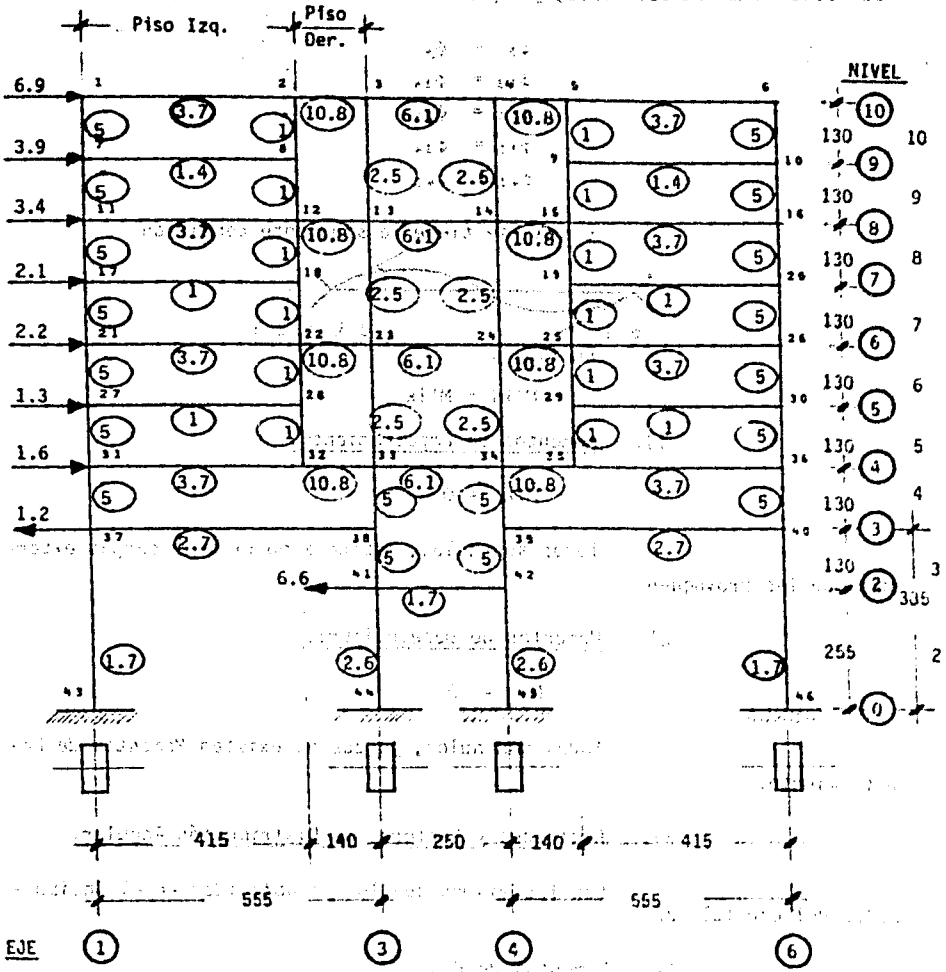


MARCO EJE A

- Momentos en Ton-m.

-Plano estructural de la estructura de concreto de un edificio

: sup. unif. de 1000 kg/m² en sup. de losa lab. basim. de 0.05 m



M A R C O E J E C

- Rígideces Relativas.
- Acotaciones en cm.
- Fuerzas hor. en Ton.

- MARCO EJE (C)

Debido a la simetría en geometría, se puede analizar sólo la mitad del marco, ya que en este caso, se tiene que :

$$\phi_3 = \phi_4$$

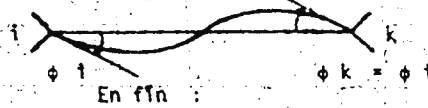
$$\phi_{13} = \phi_{14}$$

$$\phi_{23} = \phi_{24}$$

$$\phi_{33} = \phi_{34}$$

$$\phi_{41} = \phi_{42}$$

O sea, se tiene la siguiente condición :



$$M'_{ki} = M'_{ik}$$

1). Momentos de Empotramiento.

$$M_{ik} = 0$$

Todos son nulos, debido a no existir cargas externas que los provoquen.

2). Momentos de Desequilibrio.

$$M_i = 0$$

Todos son nulos, ya que no existen Momentos de Empotramiento.

3). Rigidezas y Factores de Distribución Angular.

Son los mismos que los ya obtenidos en el inciso - 2.3.3 del Capítulo 2.

4). Momentos de Piso.

$$\text{PISO} \quad 10$$

$$Q_r = - 6.9 \text{ Ton.}$$

$$h_r = 1.30 \text{ m.}$$

$$M_r = Q_r h_r / 3 = - 6.9 \times 1.3 / 3 = - 3.0 \text{ T-m.}$$

PISO 9

$$Qr = - 6.9 - 3.9 = - 10.8 \text{ Ton.}$$

$$hr = 1.30 \text{ m.}$$

$$Mr = Qr \cdot hr / 3 = - 10.8 \times 1.3 / 3 = - 4.7 \text{ T-m.}$$

PISO 8

$$Qr = - 6.9 - 3.9 - 3.4 = - 14.2 \text{ Ton.}$$

$$hr = 1.30 \text{ m.}$$

$$Mr = Qr \cdot hr / 3 = - 14.2 \times 1.3 / 3 = - 6.2 \text{ T-m.}$$

PISO 7

$$Qr = - 6.9 - 3.9 - 3.4 - 2.1 = - 16.3 \text{ Ton.}$$

$$hr = 1.30 \text{ m.}$$

$$Mr = Qr \cdot hr / 3 = - 16.3 \times 1.3 / 3 = - 7.1 \text{ T-m.}$$

PISO 6

$$Qr = - 6.9 - 3.9 - 3.4 - 2.1 - 2.2 = - 18.5$$

$$hr = 1.30 \text{ m.}$$

$$Mr = Qr \cdot hr / 3 = - 18.5 \times 1.3 / 3 = - 8.0 \text{ T-m.}$$

PISO 5

$$Qr = - 6.9 - 3.9 - 3.4 - 2.1 - 2.2 - 1.3 = - 19.8 \text{ Ton.}$$

$$hr = 1.30 \text{ m.}$$

$$Mr = Qr \cdot hr / 3 = - 19.8 \times 1.3 / 3 = - 8.6 \text{ T-m.}$$

PISO 4

$$Qr = - 6.9 - 3.9 - 3.4 - 2.1 - 2.2 - 1.3 - 1.6 = - 21.4 \text{ Ton.}$$

$$hr = 1.30 \text{ m.}$$

$$Mr = Qr \cdot hr / 3 = - 21.4 \times 1.3 / 3 = - 9.3 \text{ T-m.}$$

PISO 3

$$Qr = - 6.9 - 3.9 - 3.4 - 2.1 - 2.2 - 1.3 - 1.6 + 1.2 = - 20.2 \text{ Ton.}$$

$$hr = 1.30 \text{ m.}$$

$$Mr = Qr \cdot hr / 3 = - 20.2 \times 1.3 / 3 = - 8.8 \text{ T-m.}$$

PISO 2

$$Qr = - 6.9 - 3.9 - 3.4 - 2.1 - 2.2 - 1.3 - 1.6 + 1.2 + 6.6$$

$$Qr = - 13.6 \text{ Ton.}$$

$$hr = 1.30 \text{ m.}$$

$$Mr = Qr \cdot hr / 3 = - 13.6 \times 1.3 / 3 = - 5.9 \text{ T-m.}$$

5). Rigideces y Factores de Distribución Lineal.PISOS 10 y 9

En este caso, tenemos una columna continua, que es la 3-13, la cual tendrá dos C_{ik} , ya que intervendrán dos cortes de equilibrio; uno para el piso 10 y otro para el piso 9.

Si establecemos como altura de corte para los pisos 10 y 9, la de 1.30 m; se tiene :

$$h_r = 1.30 \text{ m.}$$

Con esta altura, calculemos los coeficientes de reducción " C_{ik} "

$$C_{ik} = h_r / h_{ik}$$

$$\begin{aligned} C_{17} &= 1.3 / 1.3 = 1 \\ C_{28} &= 1.3 / 1.3 = 1 \\ C_{3,13} &= 1.3 / 2.6 = 0.5 \\ C_{7,11} &= 1.3 / 1.3 = 1 \\ C_{8,12} &= 1.3 / 1.3 = 1 \\ C_{3,13} &= 1.3 / 2.6 = 0.5 \end{aligned}$$

Por lo tanto, los factores de distribución lineal para las columnas del piso 10, valen :

$$v_{ik} = - \frac{3}{\sum K_{ik}} C_{ik} \cdot K_{ik} / \sum C_{ik}^2 K_{ik}$$

$$v_{17} = - \frac{3}{\sum K_{ik}} C_{17} K_{17} / 2 C_{17}^2 K_{17} + 2 C_{28}^2 K_{28} + 2 C_{3,13(10)}^2 K_{3,13}$$

$$v_{17} = - \frac{3}{\sum K_{ik}} 1 (5) / 2 (1)^2 (5) + 2 (1)^2 (1) + 2 (0.5)^2 (2.5)$$

$$v_{17} = - \frac{3}{\sum K_{ik}} 5 / 10 + 2 + 1.25 = - \frac{3}{2} 5 / 13.25$$

$$v_{17} = - 0.566$$

$$v_{28} = - \frac{3}{\sum K_{ik}} C_{28} K_{28} / 13.25 = - \frac{3}{2} 1 (1) / 13.25$$

$$v_{28} = - 0.113$$

$$v_{3,13(10)} = - \frac{3}{\sum K_{ik}} C_{3,13(10)} K_{3,13(10)} / 13.25$$

$$v_{3,13(10)} = - \frac{3}{2} 0.5 (2.5) / 13.25$$

$$v_{3,13(10)} = - 0.142$$

Comprobación :

215

$$\sum C_{ik} \cdot v_{ik} = -\frac{3}{2}$$

$$2 C_{17} v_{17} + 2 C_{28} v_{28} + 2 C_{3,13,10} v_{3,13,10} = -\frac{3}{2}$$

$$2 (1) (-0.566) + 2 (1) (-0.113) + 2 (0.5) (-0.142) = -\frac{3}{2}$$

$$-1.132 - 0.226 - 0.142 = -\frac{3}{2}$$

$$-1.5 = -\frac{3}{2} \checkmark$$

PISO 9

$$v_{7,11} = -\frac{3}{2} C_{7,11} K_{7,11} / 2 C_{7,11}^2 K_{7,11} + 2 C_{8,12}^2 K_{8,12} + 2 C_{3,13}^2 K_{3,13}$$

$$v_{7,11} = -\frac{3}{2} \frac{1(5)}{2(1)^2(5)} + 2(1)^2(1) + 2(0.5)^2(2.5)$$

$$v_{7,11} = -\frac{3}{2} \frac{5}{10} + 2 + 1.25 = -\frac{3}{2} \frac{5}{13.25}$$

$$v_{7,11} = -0.566$$

$$v_{8,12} = -\frac{3}{2} \frac{C_{8,12} K_{8,12}}{13.25} = -\frac{3}{2} \frac{1(1)}{13.25}$$

$$v_{8,12} = -\frac{3}{2} \frac{1}{13.25} = -0.113$$

$$v_{3,13} = -\frac{3}{2} \frac{C_{3,13} K_{3,13}}{13.25}$$

$$v_{3,13} = -\frac{3}{2} \frac{0.5(2.5)}{13.25} = -0.142$$

Comprobación :

$$\sum C_{ik} \cdot v_{ik} = -\frac{3}{2}$$

$$2 C_{7,11} v_{7,11} + 2 C_{8,12} v_{8,12} + 2 C_{3,13} v_{3,13} = -\frac{3}{2}$$

$$2 (1) (-0.566) + 2 (1) (-0.113) + 2 (0.5) (-0.142) = -\frac{3}{2}$$

$$-1.132 - 0.226 - 0.142 = -\frac{3}{2}$$

$$-1.5 = -\frac{3}{2} \checkmark$$

PISOS 8 y 7

Tenemos una columna continua, que es la 13-23, la cual tendrá dos C_{ik}, ya que intervendrá en dos cortes de equilibrio; uno para el piso 8 y otro para el piso 7.

Si establecemos como altura de corte para los pisos 8 y 7, la de 1.30 m; se tiene :

$$h_r = 1.30 \text{ m.}$$

reducción "Cik".

Con esta altura, calculemos los coeficientes de

$$C_{ik} = h_r / h_{ik}$$

$$C_{11,17} = 1.30 / 1.30 = 1$$

$$C_{12,18} = 1.30 / 1.30 = 1$$

$$C_{13,23(8)} = 1.30 / 2.60 = 0.5$$

$$C_{17,21} = 1.30 / 1.30 = 1$$

$$C_{18,22} = 1.30 / 1.30 = 1$$

$$C_{13,23(7)} = 1.30 / 2.60 = 0.5$$

Por lo tanto, los factores de distribución lineal - para las columnas de los pisos 8 y 7, valen :

$$v_{ik} = - \frac{3}{2} \frac{C_{ik} K_{ik}}{\sum C^2_{ik} \cdot k_{ik}}$$

$$v_{11,17} = - \frac{3}{2} \frac{C_{11,17} K_{11,17} / 2 + 2 C_{12,18}^2 K_{12,18} + 2 C_{13,23(8)}^2 K_{13,23}}{1(5) / 2 + 2(1)^2(5) + 2(1)^2(1) + 2(0.5)^2(2.5)}$$

$$v_{11,17} = - \frac{3}{2} \frac{5}{10 + 2 + 1.25} = - \frac{3}{2} \frac{5}{13.25}$$

$$v_{11,17} = - 0.566$$

$$v_{12,18} = - \frac{3}{2} \frac{C_{12,18} K_{12,18}}{13.25} = - \frac{3}{2} \frac{1(1)}{13.25}$$

$$v_{12,18} = - 0.113$$

$$v_{13,23(8)} = - \frac{3}{2} \frac{C_{13,23(8)} K_{13,23}}{13.25}$$

$$v_{13,23(8)} = - \frac{3}{2} \frac{0.5(2.5)}{13.25} = - 0.142$$

$$v_{17,21} = - \frac{3}{2} \frac{C_{17,21} K_{17,21} / 2 + 2 C_{18,22}^2 K_{18,22} + 2 C_{13,23(7)}^2 K_{13,23}}{1(5) / 2 + 2(1)^2(5) + 2(1)^2(1) + 2(0.5)^2(2.5)}$$

$$v_{17,21} = - \frac{3}{2} \frac{5}{10 + 2 + 1.25} = - \frac{3}{2} \frac{5}{13.25}$$

$$v_{17,21} = - 0.566$$

$$v_{17,21} = - 0.566$$

$$v_{18,22} = - \frac{3}{2} \frac{C_{18,22} K_{18,22}}{13.25} = - \frac{3}{2} \frac{1(1)}{13.25}$$

$$v_{18,22} = - 0.113$$

$$v_{13,23}(7) = - \frac{3}{2} C_{13,23}(7) K_{13,23} / 13.25 = - \frac{3}{2} 0.5 (2.5) / 13.25$$

$$v_{13,23}(7) = - 0.142$$

Comprobación :

$$\Sigma C_{ik} v_{ik} = - \frac{3}{2}$$

$$2 C_{11,17} v_{11,17} + 2 C_{12,18} v_{12,18} + 2 C_{13,23}(6) v_{13,23}(6) = - \frac{3}{2}$$

$$2 (1) (- 0.566) + 2 (1) (- 0.113) + 2 (0.5) (- 0.142) = - \frac{3}{2}$$

$$- 1.132 - 0.226 - 0.142 = - \frac{3}{2}$$

$$- 1.5 = - \frac{3}{2} \quad \checkmark$$

PISOS 6 y 5

Se tiene una columna continua, que es la 23-33, la cual tendrá dos Cik, ya que intervendrá en dos cortes de equilibrio; uno para el piso 6 y otro para el piso 5.

Si establecemos como altura de corte para los pisos 6 y 5, la de 1.30 m.; se tiene :

$$h_r = 1.30 \text{ m.}$$

Con esta altura, se calculan los coeficientes de reducción "Cik".

$$C_{ik} = h_r / h_{ik}$$

$$C_{21,27} = 1.30 / 1.30 = 1$$

$$C_{22,28} = 1.30 / 1.30 = 1$$

$$C_{23,33}(6) = 1.30 / 2.60 = 0.5$$

$$C_{27,31} = 1.30 / 1.30 = 1$$

$$C_{28,32} = 1.30 / 1.30 = 1$$

$$C_{23,33}(5) = 1.30 / 2.60 = 0.5$$

Los factores de distribución lineal para las columnas de los pisos 6 y 5, valen :

$$v_{ik} = - \frac{3}{2} C_{ik} K_{ik} / \Sigma C_{ik} K_{ik}$$

$$\begin{aligned}
 v_{21,27} &= -\frac{3}{2} \frac{1(5)}{2(1)^2(5)} + 2 \frac{1(1)}{2(1)^2(1)} + 2 \frac{(0.5)^2(2.5)}{2} \\
 v_{21,27} &= -\frac{3}{2} \frac{5}{10} + 2 + 1.25 = -\frac{3}{2} \frac{5}{13.25} \\
 v_{21,27} &= -0.566 \\
 v_{22,28} &= -\frac{3}{2} \frac{C_{22,28} K_{22,28}}{13.25} = -\frac{3}{2} \frac{1(1)}{13.25} \\
 v_{22,28} &= -0.113 \\
 v_{23,33(6)} &= -\frac{3}{2} \frac{C_{23,33(6)} K_{23,33}}{13.25} \\
 v_{23,33(6)} &= -\frac{3}{2} \frac{0.5(2.5)}{13.25} = -0.142 \\
 v_{27,31} &= -\frac{3}{2} \frac{C_{27,31} K_{27,31}}{2 C_{27,31}^2 K_{27,31} + 2 C_{28,32}^2 K_{28,32} + 2 C_{23,33}^2 K_{23,33}} \\
 v_{27,31} &= -\frac{3}{2} \frac{1(5)}{2(1)^2(5)} + 2 \frac{1(1)}{2(1)^2(1)} + 2 \frac{(0.5)^2(2.5)}{2} \\
 v_{27,31} &= -\frac{3}{2} \frac{5}{10} + 2 + 1.25 = -\frac{3}{2} \frac{5}{13.25} \\
 v_{27,31} &= -0.566 \\
 v_{28,32} &= -\frac{3}{2} \frac{C_{28,32} K_{28,32}}{13.25} = -\frac{3}{2} \frac{1(1)}{13.25} \\
 v_{28,32} &= -0.113 \\
 v_{23,33(5)} &= -\frac{3}{2} \frac{C_{23,33(5)} K_{23,33}}{13.25} \\
 v_{23,33(5)} &= -\frac{3}{2} \frac{0.5(2.5)}{13.25} = -0.142
 \end{aligned}$$

Comprobación

$$C_{ik} v_{ik} = -\frac{3}{2}$$

$$\begin{aligned}
 2 C_{21,27} v_{21,27} + 2 C_{22,28} v_{22,28} + 2 C_{23,33(6)} v_{23,33(6)} &= -\frac{3}{2} \\
 2(1)(-0.566) + 2(1)(-0.113) + 2(0.5)(-0.142) &= -\frac{3}{2} \\
 -1.132 - 0.226 - 0.142 &= -\frac{3}{2} \\
 -1.5 &= -\frac{3}{2} \quad \checkmark
 \end{aligned}$$

PISO 4

En este entrepiso, todas las columnas tienen igual altura, por lo tanto :

$$v_{ik} = -\frac{3}{2} \frac{v_{iv}}{\sum K_{ik}}$$

$$v_{31,37} = -\frac{3}{2} K_{31,37} / 2 K_{31,37} + 2 K_{31,38}$$

$$v_{31,37} = -\frac{3}{2} 5 / 2 (5) + 2 (5) = -\frac{3}{2} 5 / 10 + 10$$

$$v_{31,37} = -\frac{3}{2} 5 / 20 = -0.375$$

$$v_{33,38} = -\frac{3}{2} K_{33,38} / 20 = -\frac{3}{2} 5 / 20$$

$$v_{33,38} = -0.375$$

PISOS 3 y 2

Se tiene una columna continua, que es la 37-43, la cual tendrá dos Cik, ya que interviene en dos cortes de equilibrio; uno para el piso 3 y otro para el piso 2.

Si se establece como altura de corte para los pisos 3 y 2, la de 1.30 m., se tiene:

$$h_r = 1.30 \text{ m.}$$

Con esta altura, se calculan los coeficientes de reducción "Cik":

$$\boxed{C_{ik} = h_r / h_{ik}}$$

$$C_{37,43(3)} = 1.30 / 3.85 = 0.338$$

$$C_{38,41} = 1.30 / 1.30 = 1$$

$$C_{37,43(2)} = 1.30 / 3.85 = 0.338$$

$$C_{41,44} = 1.30 / 2.55 = 0.510$$

Por lo tanto, los factores de distribución lineal para las columnas de los pisos 3 y 2, valen:

$$\boxed{v_{ik} = -\frac{3}{2} C_{ik} \cdot K_{ik} / \sum C_{ik}^2 K_{ik}}$$

$$v_{37,43(3)} = -\frac{3}{2} 0.338 (1.7) / 2 (0.338)^2 (1.7) + 2 (1)^2 (5)$$

$$v_{37,43(3)} = -\frac{3}{2} 0.575 / 0.388 + 10 = -\frac{3}{2} 0.575 / 10.388$$

$$v_{37,43(3)} = -0.083$$

$$v_{38,41} = -\frac{3}{2} C_{38,41} K_{38,41} / 10.388 = -\frac{3}{2} 1 (5) / 10.388$$

$$v_{38,41} = -0.722$$

Comprobación:

$$\sum C_{ik} v_{ik} = -\frac{3}{2}$$

$$2 C_{37,43(3)} v_{37,43(3)} + 2 C_{41,44} v_{41,44} = - \frac{3}{2}$$

$$2 (0.338) (-0.083) + 2 (1) (-0.722) = - \frac{3}{2}$$

$$-0.056 - 1.444 = - \frac{3}{2}$$

$$-1.5 = - \frac{3}{2} \checkmark$$

$$v_{37,43(2)} = - \frac{3}{2} C_{37,43} K_{37,43} / 2 C_{37,43}^2 K_{37,43} + 2 C_{41,44}^2 K_{41,44}$$

$$v_{37,43(2)} = - \frac{3}{2} 0.338 (1.7) / 2 (0.338)^2 (1.7) + 2 (0.51)^2 (2.6)$$

$$v_{37,43(2)} = - \frac{3}{2} 0.575 / 0.398 + 1.353$$

$$v_{37,43(2)} = - \frac{3}{2} 0.575 / 1.741 = - 0.495$$

$$v_{41,44} = - \frac{3}{2} C_{41,44} K_{41,44} / 1.741$$

$$v_{41,44} = - \frac{3}{2} 0.510 (2.6) / 1.741 = - \frac{3}{2} 1.326 / 1.741$$

$$v_{41,44} = - 1.142$$

Comprobación :

$$\Sigma C_{ik} v_{ik} = - \frac{3}{2}$$

$$2 C_{37,43(2)} v_{37,43(2)} + 2 C_{41,44} v_{41,44} = - \frac{3}{2}$$

$$2 (0.338) (-0.495) + 2 (0.510) (-1.142) = - \frac{3}{2}$$

$$-0.335 - 1.165 = - \frac{3}{2}$$

$$-1.5 = - \frac{3}{2} \checkmark$$

Los valores correspondientes a las rigideces y factores de distribución lineal de los pisos "Verticales", "Izquierdo" y "Derecho", son los ya obtenidos en el inciso 2.3.3 del Capítulo 2.

6). Distribución de Momentos.

$$M'_{ik} = \mu_{ik} [M_i + \Sigma M'_{ki} + \Sigma M''_{ik}]$$

$$M''_{ik} = v_{ik} [M_r + \Sigma (M'_{ik} + M'_{ki})]$$

Para columnas continuas :

$$m''_{ik(n)} = v_{ik} [M_r + \Sigma C_{ik} (M'_{ik} + M'_{ki}) + \frac{2}{3} \Sigma C_{ik} (m''_{ik(1)} + m''_{ik(2)} + \dots +$$

$$+ m''_{ik(n-1)} + m''_{ik(n+1)})]$$

PRIMER CICLO

PISO 10

$$M''_{17} = -0.566 [-3.0 + 2(1)(0+0) + 2(1)(0+0) + 2(0.5)(0+0) + 2(2/3)(0.5)(0)]$$

$$M''_{17} = -0.566 (-3.0) = +1.7$$

$$M''_{28} = -0.113 (-3.0) = +0.3$$

$$m''_{1,13(10)} = -0.142 (-3.0) = +0.4$$

PISO 9

$$M''_{7,11} = -0.566 [-4.7 + 2(1)(0+0) + 2(1)(0+0) + 2(0.5)(0+0) + 2(2/3)(0.5)(0.4)]$$

$$M''_{7,11} = -0.566 [-4.7 + 0.3]$$

$$M''_{7,11} = -0.566 (-4.4) = +2.5$$

$$M''_{8,12} = -0.113 (-4.4) = +0.5$$

$$m''_{1,13} = -0.142 (-4.4) = +0.6$$

PISO 8

$$M''_{11,17} = -0.566 [-6.2 + 2(1)(0+0) + 2(1)(0+0) + 2(0.5)(0+0) + 2(2/3)(0.5)(0)]$$

$$M''_{11,17} = -0.566 (-6.2) = +3.5$$

$$M''_{12,18} = -0.113 (-6.2) = +0.7$$

$$m''_{13,23} = -0.142 (-6.2) = +0.9$$

PISO 7

$$M''_{17,21} = -0.566 [-7.1 + 2(1)(0+0) + 2(1)(0+0) + 2(0.5)(0+0) + 2(2/3)(0.5)(0.9)]$$

$$M''_{17,21} = -0.566 (-7.1 + 0.6)$$

$$M''_{17,21} = -0.566 (-6.5) = +3.7$$

$$M''_{18,22} = -0.113 (-6.5) = +0.7$$

$$m''_{13,23} = -0.142 (-6.5) = +0.9$$

PISO 6

$$M''_{21,27} = -0.566 [-8.0 + 2(1)(0+0) + 2(1)(0+0) + 2(0.5)(0+0) + 2(2/3)(0.5)(0)]$$

$$M''_{21,27} = -0.566 (-8.0) = +4.5$$

$$M''_{22,28} = -0.113 (-8.0) = +0.9$$

$$m''_{22,33} = -0.142 (-8.0) = +1.1$$

PISO 5

$$M''_{27,31} = -0.566 [-8.6 + 2(1)(0+0) + 2(1)(0+0) + 2(0.5)(0+0) + 2(2/3)(0.5)(1.1)]$$

$$M''_{27,31} = -0.566 (-8.6 + 0.7)$$

$$M''_{27,31} = -0.566 (-7.9) = +4.5$$

$$M''_{28,32} = -0.113 (-7.9) = +0.9$$

$$M''_{22,33} = -0.142 (-7.9) = +1.1$$

PISO 4

$$M''_{31,37} = -0.375 [-9.3 + 2(0+0) + 2(0+0)]$$

$$M''_{31,37} = -0.375 (-9.3) = +3.5$$

$$M''_{33,38} = -0.375 (-9.3) = +3.5$$

PISO 3

$$M''_{37,43} = -0.083 [-8.8 + 2(0.338)(0) + 2(1)(0+0) + 2(2/3)(0.338)(0)]$$

$$M''_{37,43} = -0.083 (-8.8) = +0.7$$

$$M''_{38,41} = -0.722 (-8.8) = +6.4$$

PISO 2

$$M''_{37,43} = -0.495 [-5.9 + 2(0.338)(0) + 2(0.510)(0) + 2(2/3)(0.338)(0.7)]$$

$$M''_{37,43} = -0.495 (-5.9 + 0.3)$$

$$M''_{37,43} = -0.495 (-5.6) = +2.8$$

$$M''_{41,44} = 1.142 (-5.6) = +6.4$$

PISO "IZQUIERDO"

$$M''_{31,32} = -0.0413 [0 + 0.337(-0.8 + 0 - 0.4 - 0.2 - 0.9 - 0.1 - 0.3 - 0.2 - 0.7 + 0 - 0.2 - 0.1 - 0.4 + 0) + 1(0 + 1.2 + 0.2 + 0.9 + 0.1 + 0.6 + 0 + 0.3)]$$

$$M''_{31,32} = -0.0413 [0.337(-4.3) + 1(3.3)]$$

$$M''_{31,32} = -0.0413 (-1.4 + 3.3)$$

$$M''_{21,32} = -0.0413 (1.9) = -0.1$$

$$M''_{27,28} = -0.0112 (1.9) = -0.0$$

$$M''_{21,22} = -0.0413 (1.9) = -0.1$$

$$M''_{17,18} = -0.0112 (1.9) = -0.0$$

$$M''_{11,12} = -0.0413 (1.9) = -0.1$$

$$M''_{78} = -0.0156 (1.9) = -0.0$$

$$M''_{12} = -0.0413 (1.9) = -0.1$$

PISO "DERECHO"

$$M''_{32,33} = -0.358 (-1.9) = +0.7$$

$$M''_{22,23} = -0.358 (-1.9) = +0.7$$

$$M''_{12,13} = -0.358 (-1.9) = +0.7$$

$$M''_{23} = -0.358 (-1.9) = +0.7$$

=====

DECIMO CICLO

PISO 10

$$M''_{17} = -0.566 [-3.0 + 2(1)(-0.7 - 2) + 2(1)(0 - 0.3) + 2(0.5)(-0.2 - 0.5) + 2(2/3)(0.5)(1.9)]$$

$$M''_{17} = -0.566 [-8.4] = +4.8$$

$$M''_{28} = -0.113 (-8.4) = +1.0$$

$$m''_{3,13} = -0.142 (-8.4) = +1.2$$

PISO 9

$$M''_{7,11} = -0.566 [-4.7 + 2(1)(-2 - 2.2) + 2(1)(-0.3 + 0) + 2(0.5)(-0.2 - 0.5) + 2(2/3)(0.5)(1.2)]$$

$$M''_{7,11} = -0.566 (-13.6) = +7.7$$

$$M''_{8,12} = -0.113 (-13.6) = +1.5$$

$$m''_{3,13} = -0.142 (-13.6) = +1.9$$

PISO 8

$$M''_{11,17} = -0.566 [-6.2 + 2(1)(-2.2 - 3.7) + 2(1)(0 - 0.6) + 2(0.5)(-0.5 - 0.7) + 2(2/3)(0.5)(3.0)]$$

$$M''_{11,17} = -0.566 (-18.4) = +10.4$$

$$M''_{12,18} = -0.113 (-18.4) = +2.1$$

$$m''_{13,23} = -0.142 (-18.4) = +2.6$$

PISO 7

$$M''_{17,21} = -0.566 [-7.1 + 2(1)(-3.7 - 3.1) + 2(1)(-0.6 + 0) + 2(0.5)(-0.5 - 0.7) + 2(2/3)(0.5)(2.6)]$$

$$M''_{17,21} = -0.566 (-21.4) = +12.1$$

$$M''_{18,22} = -0.113 (-21.4) = +2.4$$

$$m''_{13,23} = -0.142 (-21.4) = +3.0$$

PISO 6

$$M''_{21,27} = -0.566 [-8.0 + 2(1)(-3.1 - 4.6) + 2(1)(0 - 0.8) + 2(0.5)(-0.7 - 0.8) + 2(2/3)(0.5)(3.6)]$$

$$M''_{21,27} = -0.566 (-24.1) = +13.6$$

$$M''_{22,28} = -0.113 (-24.1) = +2.7$$

$$m''_{23,33} = -0.142 (-24.1) = +3.4$$

PISO 5

$$M''_{27,31} = -0.566 [-8.6 + 2(1)(-4.6 - 3.7) + 2(1)(-0.8 + 0.1) + 2(0.5)(-0.7 - 0.8) + 2(2/3)(0.5)(3.4)]$$

$$M''_{27,31} = -0.566 (-25.8) = +14.6$$

$$M''_{28,32} = -0.113 (-25.8) = +2.9$$

$$m''_{23,33} = -0.142 (-25.8) = +3.7$$

PISO 4

$$M''_{31,37} = -0.375 [-9.3 + 2(-3.7 - 4) + 2(-1.7 - 5.2)]$$

$$M''_{31,37} = -0.375 (-38.5) = +14.4$$

$$M''_{33,38} = -0.375 (-38.5) = +14.4$$

PISO 3

$$m''_{37,43} = -0.083 [-8.8 + 2(0.338)(-1.3) + 2(1)(-5.2 - 7) + 2(2/3)(0.338)(4.6)]$$

$$m''_{37,43} = -0.083 (-32.0) = +2.7$$

$$M''_{38,41} = -0.722 (-32.0) = +23.1$$

PISO 2

$$m''_{37,43} = -0.495 [-5.9 + 2(0.338)(-1.3) + 2(0.510)(-3.6) + 2(2/3)(0.338)(2.7)]$$

$$m''_{37,43} = -0.495 (-9.2) = +4.6$$

$$M''_{41,44} = -1.142 (-9.2) = +10.5$$

NUDO 1

$$M'_{12} = -0.213 [0 - 0.1 - 2.0 - 0.2 + 4.8]$$

$$M'_{12} = -0.213 (2.5) = -0.5$$

$$M'_{17} = -0.287 (2.5) = -0.7$$

NUDO 2

$$M'_{21} = -0.120 [0 - 0.5 - 1.0 - 0.3 - 0.2 + 2.1 + 1.0]$$

$$M'_{21} = -0.120 (1.1) = -0.1$$

$$M'_{23} = -0.348 (1.1) = -0.4$$

$$M'_{28} = -0.032 (1.1) = +0.0$$

NUDO 3

$$M'_{32} = -0.279 [0 - 0.4 - 0.6 - 0.5 + 2.1 + 1.2 + 1.9]$$

$$M'_{32} = -0.279 (3.7) = -1.0$$

$$M'_{36} = -0.157 (3.7) = -0.6$$

$$M'_{3,13} = -0.064 (3.7) = -0.2$$

NUDO 7

- M' 7,1 = - 0.220 [0 - 0.7 - 0.4 - 2.2 + 4.8 - 0.1 + 7.7]
- M' 7,1 = - 0.220 (9.1) = - 2.0
- M' 7,8 = - 0.060 (9.1) = - 0.5
- M' 7,11 = - 0.220 (9.1) = - 2.0

NUDO 8

- M' 8,7 = - 0.206 [0 - 0.5 + 0 + 0 - 0.1 + 1.0 + 1.5]
- M' 8,7 = - 0.206 (1.9) = - 0.4
- M' 8,2 = - 0.147 (1.9) = - 0.3
- M' 8,12 = - 0.147 (1.9) = - 0.3

NUDO 11

- M' 11,7 = - 0.183 [0 - 2.0 - 0.1 - 3.7 + 7.7 - 0.2 + 10.4]
- M' 11,7 = - 0.183 (12.1) = - 2.2
- M' 11,12 = - 0.134 (12.1) = - 1.6
- M' 11,17 = - 0.183 (12.1) = - 2.2

NUDO 12

- M' 12,11 = - 0.112 [0 - 1.6 - 0.3 - 2.1 - 0.6 - 0.2 + 1.5 + 2.1 + 2.1]
- M' 12,11 = - 0.112 (0.9) = - 0.1
- M' 12,8 = - 0.030 (0.9) = - 0.0
- M' 12,13 = - 0.328 (0.9) = - 0.3
- M' 12,18 = - 0.030 (0.9) = - 0.0

NUDO 13

- M' 13,12 = - 0.246 [0 - 0.3 - 0.2 - 1.2 - 0.7 + 2.1 + 1.2 + 1.9 + 2.6 + 3.0]
- M' 13,12 = - 0.246 (8.4) = - 2.1
- M' 13,3 = - 0.057 (8.4) = - 0.5
- M' 13,14 = - 0.140 (8.4) = - 1.2
- M' 13,23 = - 0.057 (8.4) = - 0.5

NUDO 17

- M' 17,11 = - 0.227 [0 - 2.2 - 0.6 - 3.1 + 10.4 - 0.1 + 12.1]
- M' 17,11 = - 0.227 (16.5) = - 3.7
- M' 17,18 = - 0.046 (16.5) = - 0.8
- M' 17,21 = - 0.227 (16.5) = - 3.7

NUDO 18

- M' 18,17 = - 0.167 [0 - 0.8 + 0 + 0 - 0.1 + 2.1 + 2.4]

$$M'_{18,17} = -0.167 (3.6) = -0.6$$

$$M'_{18,12} = -0.166 (3.6) = -0.6$$

$$M'_{18,22} = -0.167 (3.6) = -0.6$$

NUDO 21

$$M'_{21,17} = -0.182 [0 - 3.7 - 0.1 - 4.6 + 12.1 - 0.2 + 13.6]$$

$$M'_{21,17} = -0.182 (17.1) = -3.1$$

$$M'_{21,22} = -0.136 (17.1) = -2.3$$

$$M'_{21,27} = -0.182 (17.1) = -3.1$$

NUDO 22

$$M'_{22,21} = -0.112 [0 - 2.3 - 0.6 - 2.9 - 0.8 - 0.2 + 2.4 + 2.1 + 2.7]$$

$$M'_{22,21} = -0.112 (0.4) = -0.0$$

$$M'_{22,18} = -0.030 (0.4) = -0.0$$

$$M'_{22,23} = -0.328 (0.4) = -0.1$$

$$M'_{22,28} = -0.030 (0.4) = -0.0$$

NUDO 23

$$M'_{23,22} = -0.247 [0 - 0.1 - 0.5 - 1.6 - 0.8 + 2.1 + 2.6 + 3.0 + 3.4 + 3.7]$$

$$M'_{23,22} = -0.247 (11.8) = -2.9$$

$$M'_{23,13} = -0.057 (11.8) = -0.7$$

$$M'_{23,24} = -0.139 (11.8) = -1.6$$

$$M'_{23,33} = -0.057 (11.8) = -0.7$$

NUDO 27

$$M'_{27,21} = -0.227 [0 - 3.1 - 0.8 - 3.7 + 13.6 - 0.1 + 14.6]$$

$$M'_{27,21} = -0.227 (20.5) = -4.7$$

$$M'_{27,28} = -0.046 (20.5) = -0.9$$

$$M'_{27,31} = -0.227 (20.5) = -4.7$$

NUDO 28

$$M'_{28,27} = -0.167 [0 - 0.9 + 0 + 0.1 - 0.1 + 2.7 + 2.9]$$

$$M'_{28,27} = -0.167 (4.7) = -0.8$$

$$M'_{28,22} = -0.166 (4.7) = -0.8$$

$$M'_{28,32} = -0.167 (4.7) = -0.8$$

NUDO 31

$$M'_{31,27} = -0.182 [0 - 4.7 + 0.3 - 4.0 + 14.6 - 0.2 + 14.4]$$

$$M'_{31,27} = -0.182 (20.4) = -3.7$$

$$M'_{31,32} = -0.136 (20.4) = -2.8$$

$$M'_{31,37} = -0.182 (20.4) = -3.7$$

NUDO 32

- M' 32,31 = - 0.120 [0 - 2.8 - 0.8 - 3.6 - 0.2 + 2.9 + 2.1]
- M' 32,31 = - 0.120 (- 2.4) = + 0.3
- M' 32,28 = - 0.032 (- 2.4) = + 0.1
- M' 32,33 = - 0.348 (- 2.4) = + 0.8

NUDO 33

- M' 33,32 = - 0.222 [0 + 0.8 - 0.7 - (2.0) - 5.2 + 2.1 + 3.4 + 3.7 + 14.4]
- M' 33,32 = - 0.222 (16.5) = - 3.7
- M' 33,23 = - 0.051 (16.5) = - 0.8
- M' 33,34 = - 0.125 (16.5) = - 2.1
- M' 33,38 = - 0.102 (16.5) = - 1.7

NUDO 37

- M' 37,31 = - 0.266 [0 - 3.7 - 2.8 + 14.4 + 2.7 + 4.6]
- M' 37,31 = - 0.266 (15.2) = - 4.0
- M' 37,38 = - 0.144 (15.2) = - 2.2
- M' 37,43 = - 0.090 (15.2) = - 1.4

NUDO 38

- M' 38,37 = - 0.106 [0 - 2.2 - 1.7 - 7.0 + 14.4 + 23.1]
- M' 38,37 = - 0.106 (26.6) = - 2.8
- M' 38,33 = - 0.197 (26.6) = - 5.2
- M' 38,41 = - 0.197 (26.6) = - 5.2

NUDO 41

- M' 41,38 = - 0.269 [0 - 5.2 - 2.4 + 23.1 + 10.6]
- M' 41,38 = - 0.269 (26.0) = - 7.0
- M' 41,42 = - 0.091 (26.0) = - 2.4
- M' 41,44 = - 0.140 (26.0) = - 3.6

PISO "IZQUIERDO"

- M'' 31,32 = - 0.0413 [0 + 0.337 (- 2.8 + 0.3 - 0.9 - 0.8 - 2.3 +
+ 0 - 0.8 - 0.6 - 1.6 - 0.1 - 0.5 - 0.4 - 0.5 - 0.1) +
+ 1 (- 0.8 + 3.7 + 0.1 + 2.9 + 0.3 + 2.1 + 0.4 + 1.0)]
- M'' 31,32 = - 0.0413 [0.337 (- 11.1) + 1 (9.7)]

$$\begin{aligned}
 M_{91\ 92} &= - 0.0413 (- 3.7 + 9.7) = - 0.2 \\
 M_{31\ 32} &= - 0.0413 (6.0) = - 0.25 \\
 M_{27\ 28} &= - 0.0112 (6.0) = - 0.1 \\
 M_{21\ 22} &= - 0.0413 (- 6.0) = + 0.25 \\
 M_{17\ 18} &= - 0.0112 (6.0) = - 0.1 \\
 M_{11\ 12} &= - 0.0413 (6.0) = - 0.25 \\
 M_{78} &= - 0.0156 (6.0) = - 0.1 \\
 M_{12} &= - 0.0413 (6.0) = - 0.25
 \end{aligned}$$

PISO "DERECHO"

$$\begin{aligned}
 M_{32\ 33} &= - 0.358 [- 6.0] = + 2.1 \\
 M_{22\ 23} &= - 0.358 (- 6.0) = + 2.1 \\
 M_{12\ 13} &= - 0.358 (- 6.0) = + 2.1 \\
 M_{23} &= - 0.358 (- 6.0) = + 2.1
 \end{aligned}$$

7). Cálculo de Momentos Finales.

$$M_{ik} = \bar{M}_{ik} + 2 M'_{ik} + M''_{ki} + M''_{ik}$$

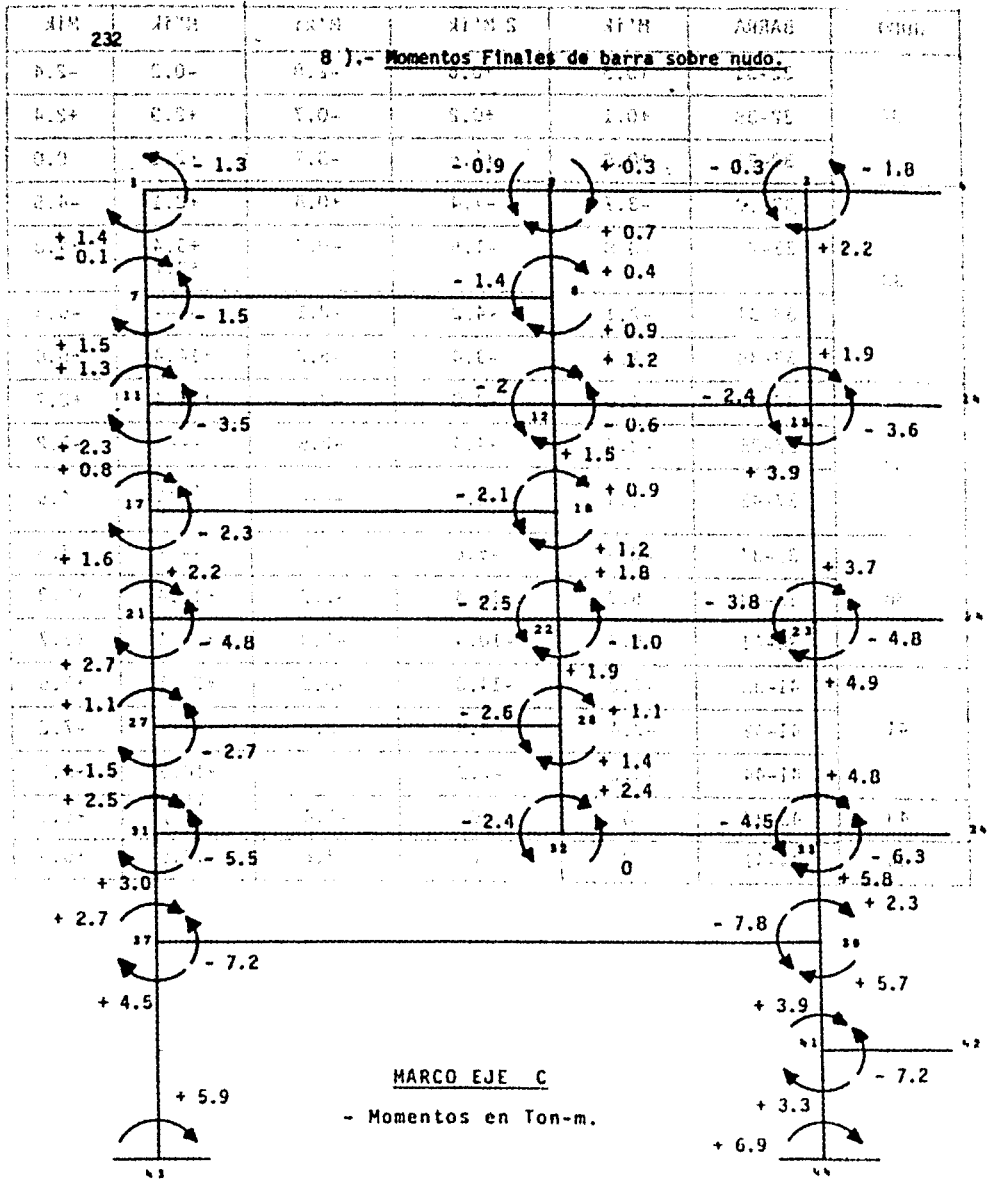
Para columnas continuas :

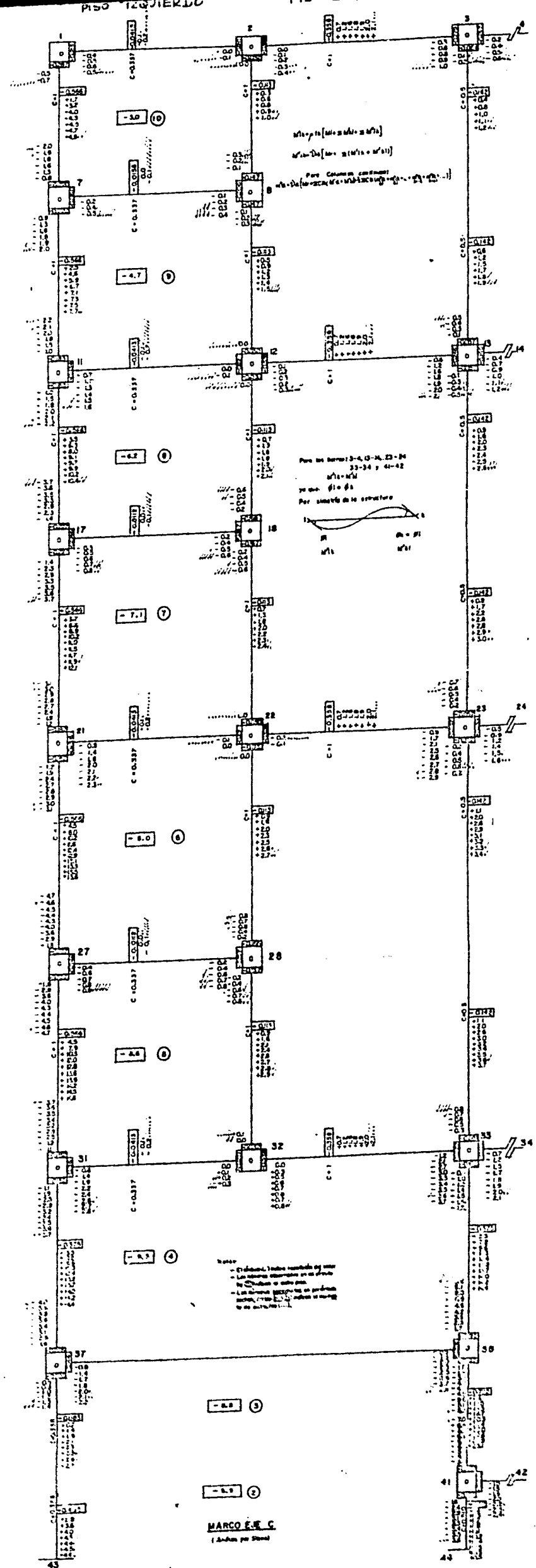
$$M''_{ik} = \Sigma m''_{ik}$$

NUDO	BARRA	M'1k	2 M'1k	M'k1	M"1k	M1k
1	1-2	-0.5	-1.0	-0.1	-0.2	-1.3
	1-7	-0.7	-1.4	-2.0	+4.8	+1.4
2	2-1	-0.1	-0.2	-0.5	-0.2	-0.9
	2-3	-0.4	-0.8	-1.0	+2.1	+0.3
	2-8	0	0	-0.3	+1.0	+0.7
	3-2	-1.0	-2.0	-0.4	+2.1	-0.3
3	3-4	-0.6	-1.2	-0.6	----	-1.8
	3-13	-0.2	-0.4	-0.5	+1.2 +1.9	+2.2
	7-1	-2.0	-4.0	-0.7	+4.8	+0.1
7	7-8	-0.5	-1.0	-0.4	-0.1	-1.5
	7-11	-2.0	-4.0	-2.2	+7.7	+1.5
8	8-7	-0.4	-0.8	-0.5	-0.1	-1.4
	8-2	-0.3	-0.6	0	+1.0	+0.4
	8-12	-0.3	-0.6	0	+1.5	+0.9
	11-7	-2.2	-4.4	-2.0	+7.7	+1.3
11	11-12	-1.6	-3.2	-0.1	-0.2	-3.5
	11-17	-2.2	-4.4	-3.7	+10.4	+2.3
12	12-11	-0.1	-0.2	-1.6	-0.2	-2.0
	12-8	0	0	-0.3	+1.5	+1.2
	12-13	-0.3	-0.6	-2.1	+2.1	-0.6
	12-18	0	0	-0.6	+2.1	+1.5
13	13-12	-2.1	-4.2	-0.3	+2.1	-2.4
	13-3	-0.5	-1.0	-0.2	+1.2 +1.9	+1.9
	13-14	-1.2	-2.4	-1.2	----	-3.6
	13-23	-0.5	-1.0	-0.7	+2.6 +3.0	+3.9

NUDO	BARRA	M'ik	2 M'ik	M'ki	M'ik	Mik
	17-11	-3.7	-7.4	-2.2	+10.4	+0.8
17	17-18	-0.8	-1.6	-0.6	-0.1	-2.3
	17-21	-3.7	-7.4	-3.1	+12.1	+1.6
	18-17	-0.6	-1.2	-0.8	-0.1	-2.1
18	18-12	-0.6	-1.2	0	+2.1	+0.9
	18-22	-0.6	-1.2	0	+2.4	+1.2
	21-17	-3.1	-6.2	-3.7	+12.1	+2.2
21	21-22	-2.3	-4.6	0	-0.2	-4.8
	21-27	-3.1	-6.2	-4.7	+13.6	+2.7
	22-21	0	0	-2.3	-0.2	-2.5
22	22-18	0	0	-0.6	+2.4	+1.8
	22-23	-0.1	-0.2	-2.9	+2.1	-1.0
	22-28	0	0	-0.8	+2.7	+1.9
	23-22	-2.9	-5.8	-0.1	+2.1	-3.8
23	23-13	-0.7	-1.4	-0.5	+2.6 +3.0	+3.7
	23-24	-1.6	-3.2	-1.6	----	-4.8
	23-33	-0.7	-1.4	-0.8	+3.4 +3.7	+4.9
	27-21	-4.7	-9.4	-3.1	+13.6	+1.1
27	27-28	-0.9	-1.8	-0.8	-0.1	-2.7
	27-31	-4.7	-9.4	-3.7	+14.6	+1.5
	28-27	-0.8	-1.6	-0.9	-0.1	-2.6
28	28-22	-0.8	-1.6	0	+2.7	+1.1
	28-32	-0.8	-1.6	+0.1	+2.9	+1.4
	31-27	-3.7	-7.4	-4.7	+14.6	+2.5
31	31-32	-2.8	-5.6	+0.3	-0.2	-5.5
	31-37	-3.7	-7.4	-4.0	+14.4	+3.0

NUDO	BARRA	M'1k	2 M'1k	M'k1	M"1k	M1k
32	32-31	+0.3	+0.6	-2.8	-0.2	-2.4
	32-38	+0.1	+0.2	-0.7	+2.9	+2.4
	32-33	+0.8	+1.6	-3.7	+2.1	0.0
33	33-32	-3.7	-7.4	+0.8	+2.1	-4.5
	33-23	-0.8	-1.6	-0.7	+3.4 +3.7	+4.8
	33-34	-2.1	-4.2	-2.1	----	-6.3
	33-38	-1.7	-3.4	-5.2	+14.4	+5.8
37	37-31	-4.0	-8.0	-3.7	+14.4	+2.7
	37-38	-2.2	-4.4	-2.8	----	-7.2
	37-43	-1.4	-2.8	----	+2.7 +4.6	+4.5
38	38-37	-2.8	-5.6	-2.2	----	-7.8
	38-33	-5.2	-10.4	-1.7	+14.4	+2.3
	38-41	-5.2	-10.4	-7.0	+23.1	+5.7
41	41-38	-7.0	-14.0	-5.2	+23.1	+3.9
	41-42	-2.4	-4.8	-2.4	----	-7.2
	41-44	-3.6	-7.2	0	+10.5	+3.3
43	43-37	0	0	-1.4	+2.7 +4.6	+5.9
44	44-41	0	0	-3.6	+10.5	+6.9



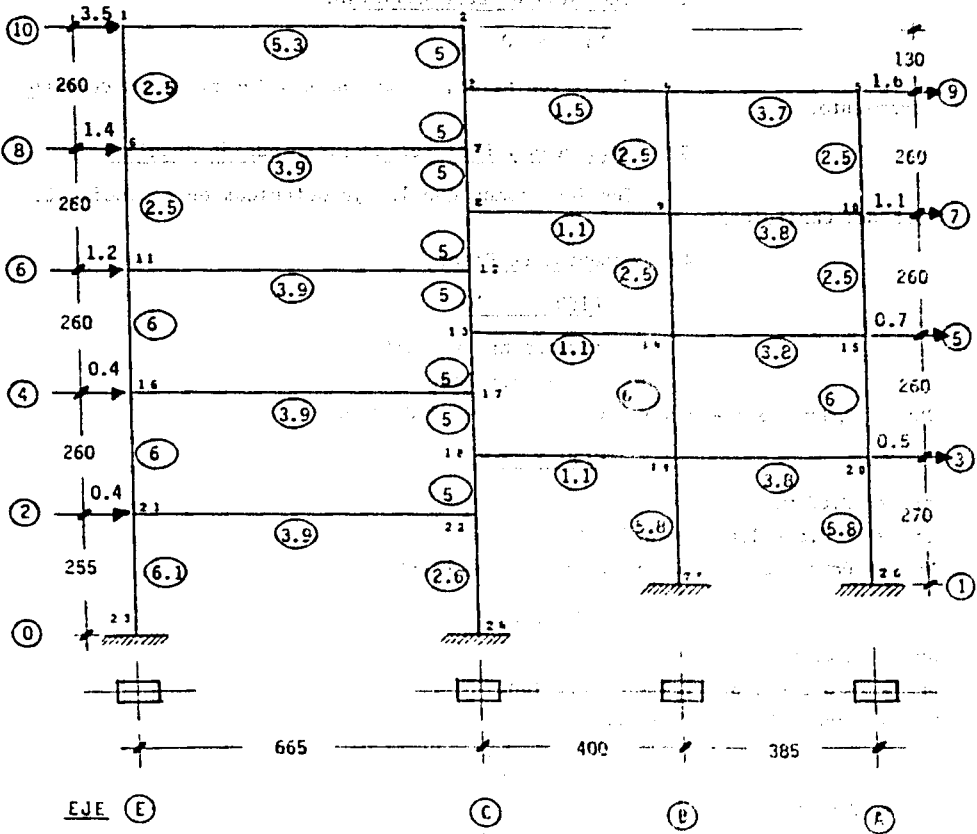


- datos sobre el tipo de estructura, referencias, etc.

de la p. 201 al p. 202

NIVEL

NIVEL



MARCO EJES 1 y 6

- Rigideces relativas
- Acotaciones en cm.
- Fuerzas horizontales en Ton.

MARCO EJES 1 y 6

ECS

1). Momentos de Empotramiento.

$$\bar{M}_{ik} = 0$$

Todos son nulos, debido a no existir cargas externas que los provoquen.

2). Momentos de Desequilibrio.

$$M_i = 0$$

Todos son nulos, ya que no existen momentos de empo-

tramiento.

3). Rígideces y Factores de Distribución Angular:

Son los mismos que los ya obtenidos en el inciso 2.

3.5 del Capítulo 2.

4). Momentos de Piso:

$$\text{PISO } 10$$

$$\text{Si tomamos } h_r = 2.60 \text{ m.}$$

$$Q_r = - 3.5 \text{ Ton.}$$

$$M_r = Q_r h_r / 3 = - 3.5 \times 2.6 / 3 = - 3.0 \text{ T-m.}$$

$$\text{PISO } 9$$

$$h_r = 2.60 \text{ m.}$$

$$Q_r = - 3.5 - 1.6 = - 5.1 \text{ Ton.}$$

$$M_r = Q_r h_r / 3 = - 5.1 \times 2.6 / 3 = - 4.4 \text{ T-m.}$$

$$\text{PISO } 8$$

$$h_r = 2.60 \text{ m.}$$

$$Q_r = - 3.5 - 1.6 - 1.4 = - 6.5 \text{ Ton.}$$

$$M_r = Q_r h_r / 3 = - 6.5 \times 2.6 / 3 = - 5.6 \text{ T-m.}$$

$$\text{PISO } 7$$

$$h_r = 2.60 \text{ m.}$$

$$Q_r = - 3.5 - 1.6 - 1.4 - 1.1 = - 7.6 \text{ Ton.}$$

$$M_r = Q_r h_r / 3 = - 7.6 \times 2.6 / 3 = - 6.6 \text{ T-m.}$$

$$\text{PISO } 6$$

$$h_r = 2.60 \text{ m.}$$

$$Q_r = - 3.5 - 1.6 - 1.4 - 1.1 - 1.2 = - 8.8 \text{ Ton.}$$

$$M_r = Q_r h_r / 3 = - 8.8 \times 2.6 / 3 = - 7.6 \text{ T-m.}$$

PISO 0.010 5 0M1030

hr = 2.60 m.

01 0219

Qr = - 3.5 - 1.6 - 1.4 - 1.1 - 1.2 - 0.7 = - 9.5 Ton.

Mr = Qrhr / 3 = - 9.5 x 2.6 / 3 = - 8.2 T-m.

PISO 4

hr = 2.60 m.

0219

Qr = - 3.5 - 1.6 - 1.4 - 1.1 - 1.2 - 0.7 - 0.4 = - 9.9 Ton.

Mr = Qrhr / 3 = - 9.9 x 2.6 / 3 = - 8.6 T-m.

PISO 3

hr = 2.60 m.

0319

Qr = - 3.5 - 1.6 - 1.4 - 1.1 - 1.2 - 0.7 - 0.4 - 0.5 = - 10.4 Ton.

Mr = Qrhr / 3 = - 10.4 x 2.6 / 3 = - 9.0 T-m.

PISO 2

hr = 2.60 m.

0419

Qr = - 3.5 - 1.6 - 1.4 - 1.1 - 1.2 - 0.7 - 0.4 - 0.5 - 0.4 = - 10.8 Ton.

Mr = Qrhr / 3 = - 10.8 x 2.6 / 3 = - 9.4 T-m.

5). Rigideces y Factores de Distribución Lineal.

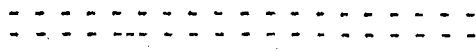
Los coeficientes de reducción (C_{ik}), así como los factores de distribución lineal, son idénticos a los ya obtenidos en el inciso 2.3.5 del Capítulo 2, en virtud de haber tomado la misma altura de corte para todos los entrepisos (hr = 2.60 m.).

6). Distribución de Momentos.

$$M'_{ik} = \mu_{ik} [M_i + \sum M'_{ki} + \sum M''_{ik}]$$

$$m''_{ik} = \nu_{ik} [M_r + \sum C_{ik} (M'_{ik} + M'_{ki}) + \frac{2}{3} \sum C_{ik} (m''_{ik} + m''_{ik} + \dots + m''_{ik} + m''_{ik} + \dots)]$$

(2) (n-1) (n+1)



DECIMO CICLO 0219PISO 10

$$\begin{aligned}
 m''_{16, 10} &= -0.167 [3.0 + 1(-0.2 - 0.7) + 2(-0.8 - 2.0) + 1(-0.2 - 0.7) + 1(1.4)] \\
 m''_{16, 10} &= -0.167 (-8.6) = +1.4 \\
 M''_{23, 10} &= -0.667 (-8.6) = +5.7
 \end{aligned}$$

PISO 9

$$\begin{aligned}
 m''_{16, 9} &= -0.136 [-4.4 + 1(-0.2 - 0.7) + 2(-2.0 - 1.4) + 1(-0.2 - 0.7) + 1(-0.5 - 0.8) + \frac{2}{3} [1(1.4) + 1(2.1) + 1(2.1)]] \\
 m''_{16, 9} &= -0.136 (-10.6) = +1.4 \\
 M''_{37, 9} &= -0.545 (-10.6) = +5.8 \\
 m''_{43, 9} &= -0.136 (-10.6) = +1.4 \\
 m''_{5, 10, 9} &= -0.136 (-10.6) = +1.4
 \end{aligned}$$

PISO 8

$$\begin{aligned}
 m''_{6, 11, 8} &= -0.136 [-5.6 + 1(-0.7 - 1.1) + 2(-1.4 - 3.2) + 1(-0.2 - 0.7) + 1(-0.5 - 0.8) + \frac{2}{3} [1(2.4) + 1(1.4) + 1(1.4)]] \\
 m''_{6, 11, 8} &= -0.136 (-15.3) = +2.1 \\
 M''_{78, 8} &= -0.545 (-15.3) = +8.4 \\
 m''_{89, 8} &= -0.136 (-15.3) = +2.1 \\
 m''_{5, 10, 8} &= -0.136 (-15.3) = +2.1
 \end{aligned}$$

PISO 7

$$\begin{aligned}
 m''_{6, 11, 7} &= -0.136 [-6.6 + 1(-0.7 - 1.1) + 2(-3.2 - 2.0) + 1(-0.7 - 0.9) + 1(-0.8 - 1.1) + \frac{2}{3} [1(2.1) + 1(2.4) + 1(2.4)]] \\
 m''_{6, 11, 7} &= -0.136 (-17.7) = +2.4 \\
 M''_{8, 12, 7} &= -0.545 (-17.7) = +9.6 \\
 m''_{9, 14, 7} &= -0.136 (-17.7) = +2.4 \\
 m''_{10, 15, 7} &= -0.136 (-17.7) = +2.4
 \end{aligned}$$

PISO 6

$$\begin{aligned}
 m''_{11, 16, 6} &= -0.290 [-7.6 + 1(-2.6 - 2.7) + 2(-2.0 - 3.3) + 1(-0.7 - 0.9) + 1(-0.8 - 1.1) + \frac{2}{3} [1(5.5) + 1(2.4) + 1(2.4)]]
 \end{aligned}$$

$$m''_{11,16}_6 = -0.290 (-20.1) = +5.8$$

$$M''_{12,13} = -0.484 (-20.1) = +9.7$$

$$m''_{9,14}_6 = -0.121 (-20.1) = +2.4$$

$$m''_{10,15}_6 = -0.121 (-20.1) = +2.4$$

PISO 5

$$m''_{11,16}_5 = -0.237 [-8.2 + 1 (-2.6 - 2.7) + 2 (-3.3 - 1.9) + 1 (-2.3 - 2.8) + 1 (-2.6 - 3.1) + \frac{2}{3} [1 (5.8) + 1 (5.6) + 1 (5.6)]]$$

$$m''_{11,16}_5 = -0.237 (-23.4) = +5.5$$

$$M''_{13,17} = -0.395 (-23.4) = +9.2$$

$$m''_{14,19}_5 = -0.237 (-23.4) = +5.5$$

$$m''_{15,20}_5 = -0.237 (-23.4) = +5.5$$

PISO 4

$$m''_{16,21} = -0.237 [-8.6 + 1 (-2.7 - 2.3) + 2 (-1.9 - 2.8) + 1 (-2.3 - 2.8) + 1 (-2.6 - 3.1) + \frac{2}{3} [1 (4.0) + 1 (5.5) + 1 (5.5)]]$$

$$m''_{16,21} = -0.237 (-23.8) = +5.6$$

$$M''_{17,18} = -0.395 (-23.8) = +9.4$$

$$m''_{14,19} = -0.237 (-23.8) = +5.6$$

$$m''_{15,20} = -0.237 (-23.8) = +5.6$$

PISO 3

$$m''_{16,21}_3 = -0.245 [-9.0 + 1 (-2.7 - 2.3) + 2 (-2.8 - 1.1) + 0.963 (-2.7) + 0.963 (-3.0) + \frac{2}{3} [1 (5.6) + 0.963 (5.5) + 0.963 (5.5)]]$$

$$m''_{16,21}_3 = -0.245 (-16.5) = +4.0$$

$$M''_{18,22} = -0.408 (-16.5) = +6.7$$

$$m''_{19,23}_3 = -0.228 (-16.5) = +3.8$$

$$m''_{20,26}_3 = -0.228 (-16.5) = +3.8$$

PISO 2

$$M''_{21,23} = -0.471 [-9.4 + 1.02 (-2.3) + 1.02 (-0.6) + 0.963 (-2.7) + 0.963 (-3.0) + \frac{2}{3} [0.963 (3.8) + 0.963 (3.8)]]$$

$$M''_{21,23} = -0.471 (-13.0) = +6.1$$

$$M''_{22,24} = -0.201 (-13.0) = +2.6$$

$$m''_{19,25}_2 = -0.423 (-13.0) = +5.5$$

$$m''_{20,26}_2 = -0.423 (-13.0) = +5.5$$

NUDO 1

$$M'_{12} = -0.340 [0 - 0.9 - 0.7 + 1.4 + 1.4]$$

$$M'_{12} = -0.340 (1.2) = -0.4$$

$$M'_{16} = -0.160 (1.2) = -0.2$$

NUDO 2

$$M'_{21} = -0.258 [0 - 0.4 - 2.0 + 5.7]$$

$$M'_{21} = -0.258 (3.3) = -0.9$$

$$M'_{23} = -0.242 (3.3) = -0.8$$

NUDO 3

$$M'_{32} = -0.218 [0 - 0.8 - 0.1 - 1.4 + 5.7 + 5.8]$$

$$M'_{32} = -0.218 (9.2) = -2.0$$

$$M'_{34} = -0.064 (9.2) = -0.6$$

$$M'_{37} = -0.218 (9.2) = -2.0$$

NUDO 4

$$M'_{43} = -0.098 [0 - 0.6 - 0.7 - 0.7 + 1.4 + 2.1]$$

$$M'_{43} = -0.098 (1.5) = -0.1$$

$$M'_{45} = -0.240 (1.5) = -0.4$$

$$M'_{49} = -0.162 (1.5) = -0.2$$

NUDO 5

$$M'_{54} = -0.298 [0 - 0.4 - 0.8 + 1.4 + 2.1]$$

$$M'_{54} = -0.298 (2.3) = -0.7$$

$$M'_{5,10} = -0.202 (2.3) = -0.5$$

NUDO 6

$$M'_{61} = -0.141 [0 - 0.2 - 1.1 - 1.1 + 1.4 + 1.4 + 2.1 + 2.4]$$

$$M'_{61} = -0.141 (4.9) = -0.7$$

$$M'_{67} = -0.218 (4.9) = -1.1$$

$$M'_{6,11} = -0.141 (4.9) = -0.7$$

NUDO 7

$$M'_{76} = -0.140 [0 - 1.1 - 2.0 - 3.2 + 5.8 + 8.4]$$

$$M'_{76} = -0.140 (7.9) = -1.1$$

$$M'_{73} = -0.180 (7.9) = -1.4$$

$$M'_{78} = -0.180 (7.9) = -1.4$$

NUDO 8

$$M'_{87} = -0.225 [0 - 1.4 - 0.3 - 2.0 + 8.4 + 9.6]$$

- M' 8,7 = - 0.225 (14.3) = - 3.2
- M' 8,9 = - 0.050 (14.3) = - 0.7
- M' 8,12 = - 0.225 (14.3) = - 3.2

NUDO 9

- M' 9,8 = - 0.055 [0 - 0.7 - 0.2 - 1.2 - 0.9 + 1.4 + 2.1 + 2.4 + 2.4]
- M' 9,9 = - 0.055 (5.3) = - 0.3
- M' 9,9 = - 0.126 (5.3) = - 0.7
- M' 9,10 = - 0.193 (5.3) = - 1.0
- M' 9,14 = - 0.126 (5.3) = - 0.7

NUDO 10

- M' 10,9 = - 0.216 [0 - 1.0 - 0.5 - 1.1 + 1.4 + 2.1 + 2.4 + 2.4]
- M' 10,9 = - 0.216 (5.7) = - 1.2
- M' 10,5 = - 0.142 (5.7) = - 0.8
- M' 10,15 = - 0.142 (5.7) = - 0.8

NUDO 11

- M' 11,6 = - 0.101 [0 - 0.7 - 1.6 - 2.7 + 2.1 + 2.4 + 5.8 + 5.5]
- M' 11,6 = - 0.101 (10.8) = - 1.1
- M' 11,12 = - 0.158 (10.8) = - 1.7
- M' 11,16 = - 0.241 (10.8) = - 2.6

NUDO 12

- M' 12,11 = - 0.140 [0 - 1.7 - 3.2 - 3.3 + 9.6 + 9.7]
- M' 12,11 = - 0.140 (11.1) = - 1.6
- M' 12,8 = - 0.180 (11.1) = - 2.0
- M' 12,13 = - 0.180 (11.1) = - 2.0

NUDO 13

- M' 13,12 = - 0.225 [0 - 2.0 - 0.4 - 1.9 + 9.7 + 9.2]
- M' 13,12 = - 0.225 (14.6) = - 3.3
- M' 13,14 = - 0.050 (14.6) = - 0.7
- M' 13,17 = - 0.225 (14.6) = - 3.3

NUDO 14

- M' 14,13 = - 0.041 [0 - 0.7 - 0.7 - 1.7 - 2.8 + 2.4 + 2.4 + 5.5 + 5.6]
- M' 14,13 = - 0.041 (10.0) = - 0.4
- M' 14,9 = - 0.093 (10.0) = - 0.9
- M' 14,13 = - 0.142 (10.0) = - 1.4
- M' 14,19 = - 0.224 (10.0) = - 2.2

NUDO 15

$$\begin{aligned}
 M'_{15,14} &= -0.155 [0 - 1.4 - 0.8 - 3.1 + 2.4 + 2.4 + 5.5 + 5.6] \\
 M'_{15,14} &= -0.155 (10.6) = -1.6 \\
 M'_{15,10} &= -0.101 (10.6) = -1.1 \\
 M'_{15,20} &= -0.244 (10.6) = -2.6
 \end{aligned}$$

NUDO 16

$$\begin{aligned}
 M'_{16,11} &= -0.188 [0 - 2.6 - 1.5 - 2.3 + 5.8 + 5.5 + 5.6 + 4] \\
 M'_{16,11} &= -0.188 (14.5) = -2.7 \\
 M'_{16,17} &= -0.124 (14.5) = -1.8 \\
 M'_{16,21} &= -0.188 (14.5) = -2.7
 \end{aligned}$$

NUDO 17

$$\begin{aligned}
 M'_{17,16} &= -0.140 [0 - 1.8 - 3.3 - 2.8 + 9.2 + 9.4] \\
 M'_{17,16} &= -0.140 (10.7) = -1.5 \\
 M'_{17,13} &= -0.180 (10.7) = -1.9 \\
 M'_{17,18} &= -0.180 (10.7) = -1.9
 \end{aligned}$$

NUDO 18

$$\begin{aligned}
 M'_{18,17} &= -0.225 [0 - 1.9 - 0.5 - 1.1 + 9.4 + 6.7] \\
 M'_{18,17} &= -0.225 (12.6) = -2.8 \\
 M'_{18,19} &= -0.050 (12.6) = -0.6 \\
 M'_{18,22} &= -0.225 (12.6) = -2.8
 \end{aligned}$$

NUDO 19

$$\begin{aligned}
 M'_{19,18} &= -0.033 [0 - 0.6 - 2.3 - 1.9 + 5.5 + 5.6 + 3.8 + 5.5] \\
 M'_{19,18} &= -0.033 (15.6) = -0.5 \\
 M'_{19,14} &= -0.180 (15.6) = -2.8 \\
 M'_{19,20} &= -0.114 (15.6) = -1.8 \\
 M'_{19,25} &= -0.173 (15.6) = -2.7
 \end{aligned}$$

NUDO 20

$$\begin{aligned}
 M'_{20,19} &= -0.122 [0 - 1.8 - 2.6 + 5.5 + 5.6 + 3.8 + 5.5] \\
 M'_{20,19} &= -0.122 (16.0) = -2.0 \\
 M'_{20,15} &= -0.192 (16.0) = -3.1 \\
 M'_{20,26} &= -0.186 (16.0) = -3.0
 \end{aligned}$$

NUDO 21

$$\begin{aligned}
 M'_{21,16} &= -0.188 [0 - 2.7 - 0.9 + 5.6 + 4.0 + 6.1] \\
 M'_{21,16} &= -0.188 (12.1) = -2.3 \\
 M'_{21,22} &= -0.122 (12.1) = -1.5 \\
 M'_{21,23} &= -0.190 (12.1) = -2.3
 \end{aligned}$$

NUDO 22

$$\begin{aligned}
 M'_{22,21} &= -0.170 [0 - 1.5 - 2.8 + 6.7 + 2.6] \\
 M'_{22,21} &= -0.170 (5.0) = -0.9
 \end{aligned}$$

$$M'_{22,18} = - 0.217 (5.0) = - 1.1$$

241

$$M'_{22,24} = - 0.113 (5.0) = - 0.6$$

7). Cálculo de Momentos Finales.

$$M_{ik} = \bar{M}_{ik} + 2 M'_{ik} + M'_{ki} + M''_{ik}$$

$$M''_{ik} = \Sigma m''_{ik}$$

Nudo	Barra	M'ik	2 M'ik	M°ki	M''ik	Mik
1	1-2	-0.4	-0.8	-0.9	----	-1.7
	1-6	-0.2	-0.4	-0.7	+1.4 +1.4	+1.7
2	2-1	-0.9	-1.8	-0.4	----	-2.2
	2-3	-0.8	-1.6	-2.0	+5.7	+2.1
3	3-2	-2.0	-4.0	-0.8	+5.7	+0.9
	3-4	-0.6	-1.2	-0.1	----	-1.3
	3.7	-2.0	-4.0	-1.4	+5.8	+0.4
4	4-3	-0.1	-0.2	-0.6	----	-0.8
	4-5	-0.4	-0.8	-0.7	----	-1.5
	4-9	-0.2	-0.4	-0.7	+1.4 +2.1	+2.4
5	5-4	-0.7	-1.4	-0.4	----	-1.8
	5-10	-0.5	-1.0	-0.8	+1.4 +2.1	+1.7
6	6-1	-0.7	-1.4	-0.2	+1.4 +1.4	+1.2
	6-7	-1.1	-2.2	-1.1	----	-3.3
	6-11	-0.7	-1.4	-1.1	+2.1 +2.4	+2.0

Nudo	Barra	M'ik	2 M'ik	M'ki	M'ik	Mik
7	7-6	-1.1	-2.2	-1.1	----	-3.3
	7-3	-1.4	-2.8	-2.0	+5.8	+1.0
	7-8	-1.4	-2.8	-3.2	+8.4	+2.4
8	8-7	-3.2	-6.4	-1.4	+8.4	+0.6
	8-9	-0.7	-1.4	-0.3	----	-1.7
	8-12	-3.2	-6.4	-2.0	+9.6	+1.2
9	9-8	-0.3	-0.6	-0.7	----	-1.3
	9-4	-0.7	-1.4	-0.2	+1.4 +2.1	+1.9
	9-10	-1.0	-2.0	-1.2	----	-3.2
	9-14	-0.7	-1.4	-0.9	+2.4 +2.4	+2.5
10	10-9	-1.2	-2.4	-1.0	----	-3.4
	10-5	-0.8	-1.6	-0.5	+1.4 +2.1	+1.4
	10-15	-0.8	-1.6	-1.1	+2.4 +2.4	+2.1
11	11-6	-1.1	-2.2	-0.7	+2.1 +2.4	+1.6
	11-12	-1.7	-3.4	-1.6	----	-5.0
	11-16	-2.6	-5.2	-2.7	+5.8 +5.5	+3.4
12	12-11	-1.6	-3.2	-1.7	----	-4.9
	12-8	-2.0	-4.0	-3.2	+9.6	+2.4
	12-13	-2.0	-4.0	-3.3	+9.7	+2.4
13	13-12	-3.3	-6.6	-2.0	+9.7	+1.1
	13-14	-0.7	-1.4	-0.4	----	-1.8
	13-17	-3.3	-6.6	-1.9	+9.2	+0.7

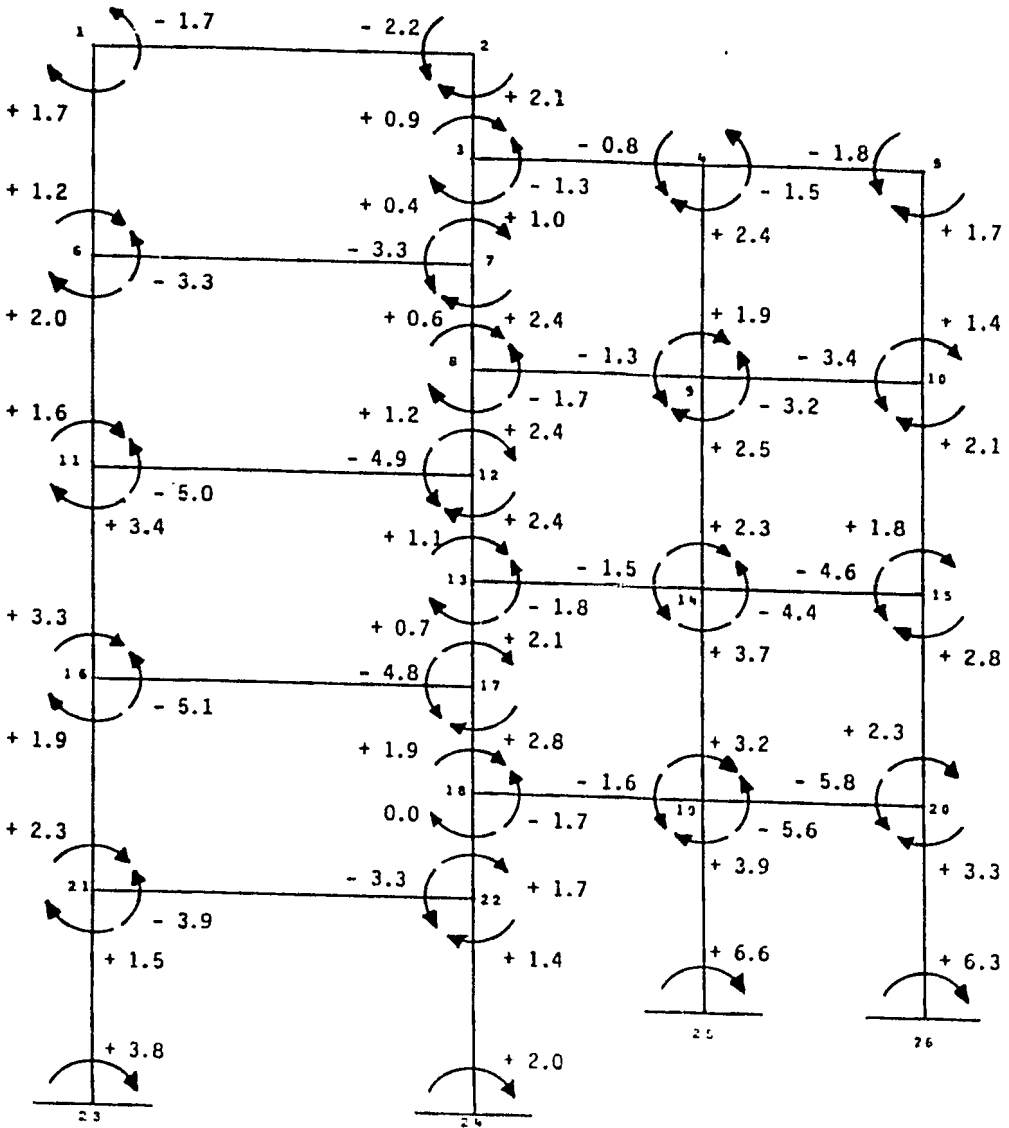
Nudo	Barra	M'ik	2 M'ik	M'k1	M"1k	M1k
14	14-13	-0.4	-0.8	-0.7	----	-1.5
	14-9	-0.9	-1.8	-0.7	+2.4 +2.4	+2.3
	14-15	-1.4	-2.8	-1.6	----	-4.4
	14-19	-2.3	-4.6	-2.8	+5.5 +5.6	+3.7
15	15-14	-1.6	-3.2	-1.4	----	-4.6
	15-10	-1.1	-2.2	-0.8	+2.4 +2.4	+1.8
	15-20	-2.6	-5.2	-3.1	+5.5 +5.6	+2.8
16	16-11	-2.7	-5.4	-2.6	+5.8 +5.5	+3.3
	16-17	-1.8	-3.6	-1.5	----	-5.1
	16-21	-2.7	-5.4	-2.3	+5.6 +4.0	+1.9
17	17-16	-1.5	-3.0	-1.8	----	-4.8
	17-13	-1.9	-3.8	-3.3	+9.2	+2.1
	17-18	-1.9	-3.8	-2.8	+9.4	+2.8
18	18-17	-2.8	-5.6	-1.9	+9.4	+1.9
	18-19	-0.6	-1.2	-0.5	----	-1.7
	18-22	-2.8	-5.6	-1.1	+6.7	0.0
19	19-18	-0.5	-1.0	-0.6	----	-1.6
	19-14	-2.8	-5.6	-2.3	+5.5 +5.6	+3.2
	19-20	-1.8	-3.6	-2.0	----	-5.6
	19-25	-2.7	-5.4	----	+3.8 +5.5	+3.9

Rudo	Barra	M'ik	2 M'ik	M'ik	M'ik	Mik
20	20-19	-2.0	-4.0	-1.8	----	-5.8
	20-15	-3.1	-6.2	-2.6	+5.5 +5.6	+2.3
	20-26	-3.0	-6.0	----	+3.8 +5.5	+3.3
21	21-16	-2.3	-4.6	-2.7	+5.6 +4.0	+2.3
	21-22	-1.5	-3.0	-0.9	----	-3.9
	21-23	-2.3	-4.6	----	+6.1	+1.5
22	22-21	-0.9	-1.8	-1.5	----	-3.3
	22-18	-1.1	-2.2	-2.8	+6.7	+1.7
	22-24	-0.6	-1.2	----	+2.6	+1.4
23	23-21	----	----	-2.3	+6.1	+3.8
24	24-22	----	----	-0.6	+2.6	+2.0
25	25-19	----	----	-2.7	+3.8 +5.5	+6.6
26	26-20	----	----	-3.0	+3.8 +5.5	+6.3

Nudo	Barra	M'ik	2 M'ik	M'k1	M'ik	M'k
14	14-13	-0.4	-0.8	-0.7	----	-1.5
	14-9	-0.9	-1.8	-0.7	+2.4 +2.4	+2.3
	14-15	-1.4	-2.8	-1.6	----	-4.4
	14-19	-2.3	-4.6	-2.8	+5.5 +5.6	+3.7
15	15-14	-1.6	-3.2	-1.4	----	-4.6
	15-10	-1.1	-2.2	-0.8	+2.4 +2.4	+1.8
	15-20	-2.6	-5.2	-3.1	+5.5 +5.6	+2.8
16	16-11	-2.7	-5.4	-2.6	+5.8 +5.5	+3.3
	16-17	-1.8	-3.6	-1.5	----	-5.1
	16-21	-2.7	-5.4	-2.3	+5.6 +4.0	+1.9
17	17-16	-1.5	-3.0	-1.8	----	-4.8
	17-13	-1.9	-3.8	-3.3	+9.2	+2.1
	17-18	-1.9	-3.8	-2.8	+9.4	+2.8
18	18-17	-2.8	-5.6	-1.9	+9.4	+1.9
	18-19	-0.6	-1.2	-0.5	----	-1.7
	18-22	-2.8	-5.6	-1.1	+6.7	0.0
19	19-18	-0.5	-1.0	-0.6	----	-1.6
	19-14	-2.8	-5.6	-2.3	+5.5 +5.6	+3.2
	19-20	-1.8	-3.6	-2.0	----	-5.6
	19-25	-2.7	-5.4	----	+3.8 +5.5	+3.9

Nudo	Barra	M'1k	2 M'1k	M'k1	M'1k	M'k
20	20-19	-2.0	-4.0	-1.8	----	-5.8
	20-15	-3.1	-6.2	-2.6	+5.5 +5.6	+2.3
	20-26	-3.0	-6.0	----	+3.8 +5.5	+3.3
21	21-16	-2.3	-4.6	-2.7	+5.6 +4.0	+2.3
	21-22	-1.5	-3.0	-0.9	----	-3.9
	21-23	-2.3	-4.6	----	+6.1	+1.5
22	22-21	-0.9	-1.8	-1.5	----	-3.3
	22-18	-1.1	-2.2	-2.8	+6.7	+1.7
	22-24	-0.6	-1.2	----	+2.6	+1.4
23	23-21	----	----	-2.3	+6.1	+3.8
24	24-22	----	----	-0.6	+2.6	+2.0
25	25-19	----	----	-2.7	+3.8 +5.5	+6.6
26	26-20	----	----	-3.0	+3.8 +5.5	+6.3

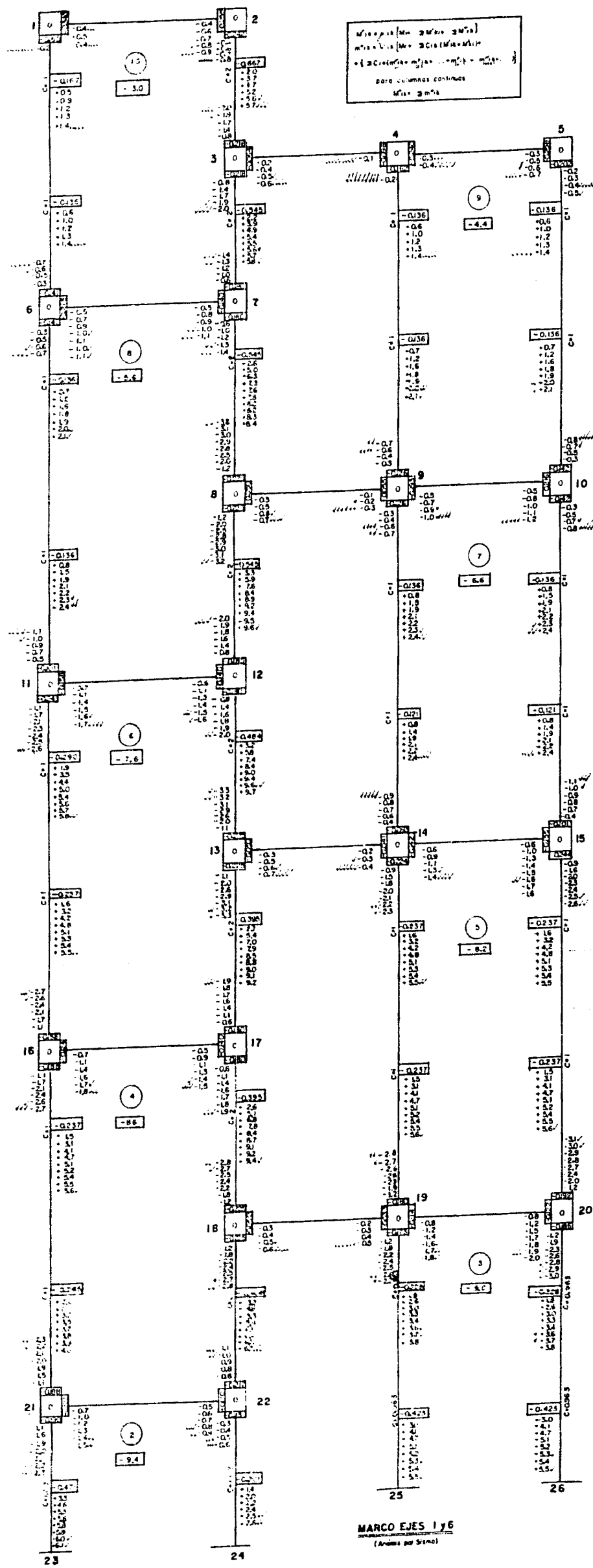
8).- Momentos Finales de Barra sobre Nudo.



MARCO EJES 1 y 6

- Momentos en Ton-m.

Módulo (m) 30x30 m
 Módulo (m) 30x30 m
 = 2 Columnas (m) x (m) = m²
 para columnas continuas
 M₁ = 3 m²



MARCO EJES 1 y 6
 (Anexo por Sitio)

CAPITULO CUARTO

ANALISIS DE LA CIMENTACION.

4.1) Conceptos Generales.

La cimentación, es la parte de la estructura destinada a transmitir al terreno, las cargas que obran en la superestructura.

Existen diferentes tipos de cimentación, entre los cuales podemos citar :

- a). Superficial.
- b). Compensada (parcial o totalmente).
- c). Por pilotes.
- d). Mixtas.

Por las características del edificio, que consiste en medios niveles y en un semisótano, se considera adecuado utilizar cimentación parcialmente compensada, a base de losa maciza corrida y contratraves de concreto armado. En la zona en que se localiza el predio, existe un manto compresible de espesor mayor de 20 m. El nivel de desplante del sótano estará a 1.35 m. de profundidad; y el edificio, tendrá 13.60 m. de ancho y 14.50 m. de longitud.

Para fines de aplicación del reglamento y de las normas, el predio queda localizado, a priori, en la zona III (Art. 262). Ya que \bar{w} es igual a 8.0 ton/m², el caso que corresponde a esta cimentación, será el C₁, en la que :

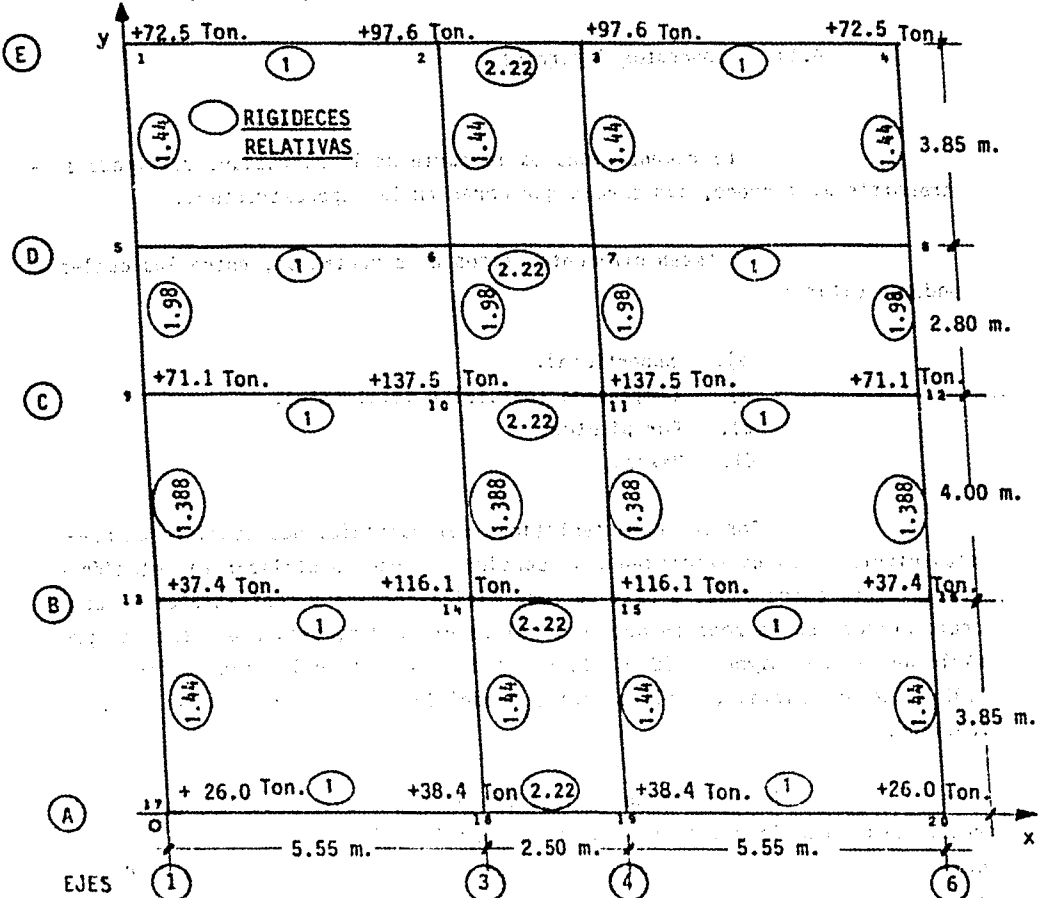
$$\bar{w} \cong 6 \text{ ton/m}^2, \text{ o}$$

$$D_f > 2.5 \text{ m.}$$

4.2) Centro de Cargas.

ALVARO GUTIERREZ
 CONSULTOR EN INGENIERIA

En el primer capítulo, en el inciso correspondiente a "Baja da de Cargas", se obtuvieron las cargas que bajan por las columnas del edificio hasta la cimentación. En la siguiente figura, se muestra la planta de la cimentación y las cargas totales por columna.



El centro de cargas es el punto de aplicación de la resultante de las cargas, que bajan por las columnas del edificio hasta la cimentación. Asimismo, se consideran las cargas uniformes, debidas a la losa de piso del estacionamiento y de la planta baja del departamento del semisótano.

Para determinar el punto de aplicación de la Resultante, se tomarán momentos con respecto a los Ejes "X" e "Y", que dan los siguientes resultados:

$$\bar{Y}_C = 7.74 \text{ m.}$$

$$\bar{X}_C = 6.80 \text{ m.}$$

El centro de gravedad de la planta del edificio, es el punto de aplicación de la Resultante de la reacción del terreno, sobre la cimentación (supuesta uniforme dicha reacción). En este caso, se calcula fácilmente, ya que coincide con el centroide de un rectángulo y sus coordenadas son:

$$(6.80, 7.25)$$

La diferencia entre las coordenadas del centro de cargas y de gravedad de la planta, determina las excentricidades, según los Ejes "X" e "Y".

$$e_x = \bar{X}_C - \bar{X}_G = 6.80 - 6.80 = 0$$

$$e_y = \bar{Y}_C - \bar{Y}_G = 7.74 - 7.25 = 0.49 \text{ m.}$$

El edificio, presenta la particularidad de tener excentricidad, únicamente en el Eje de las "Y"; para eliminarla y evitar el volteo, se lastrará la celda comprendida entre los Ejes 1 y 6 y los Entrejes A y B, utilizando arcilla o arena bien graduada, con un peso volumétrico aproximado de 1.8 ton/m^3 , hasta una altura de 1.25 m.

Calculando nuevamente el punto de aplicación de las cargas y tomando en cuenta el lastre, se logra la coincidencia entre los centros de cargas y de gravedad de la planta.

Los requisitos mínimos para la investigación del subsuelo, serán (Art. 262):

i) Sondeos de penetración estandar para determinar la -
 - estratigrafía, la posición de nivel freático, si existe, en la profundidad ex-
plorada y las propiedades índices de los materiales encontrados. La profundi-
 dad de los sondeos, será al menos igual a dos veces el ancho en planta de la-
 subestructura, excepto cuando el estrato compresible se encuentre a una pro-
 fundidad menor, en cuyo caso, esta será la profundidad del sondeo.

ii) Estimación de las propiedades mecánicas pertinentes, -
 a partir de las propiedades índices; siempre que existan correlaciones aplica-
 bles a los materiales del sitio. En caso contrario, muestreo inalterado y --
 pruebas de laboratorio, para determinar las propiedades mecánicas de interés.
 En caso de cimentaciones profundas, investigación de-
 la tendencia de los movimientos del subsuelo debidos a consolidación regio-
 nal.

El número mínimo de sondeos para esta zona, será de uno por
 cada 100 m. o fracción del perímetro mínimo de la superficie cubierta por la-
 construcción (Art. 262, III).

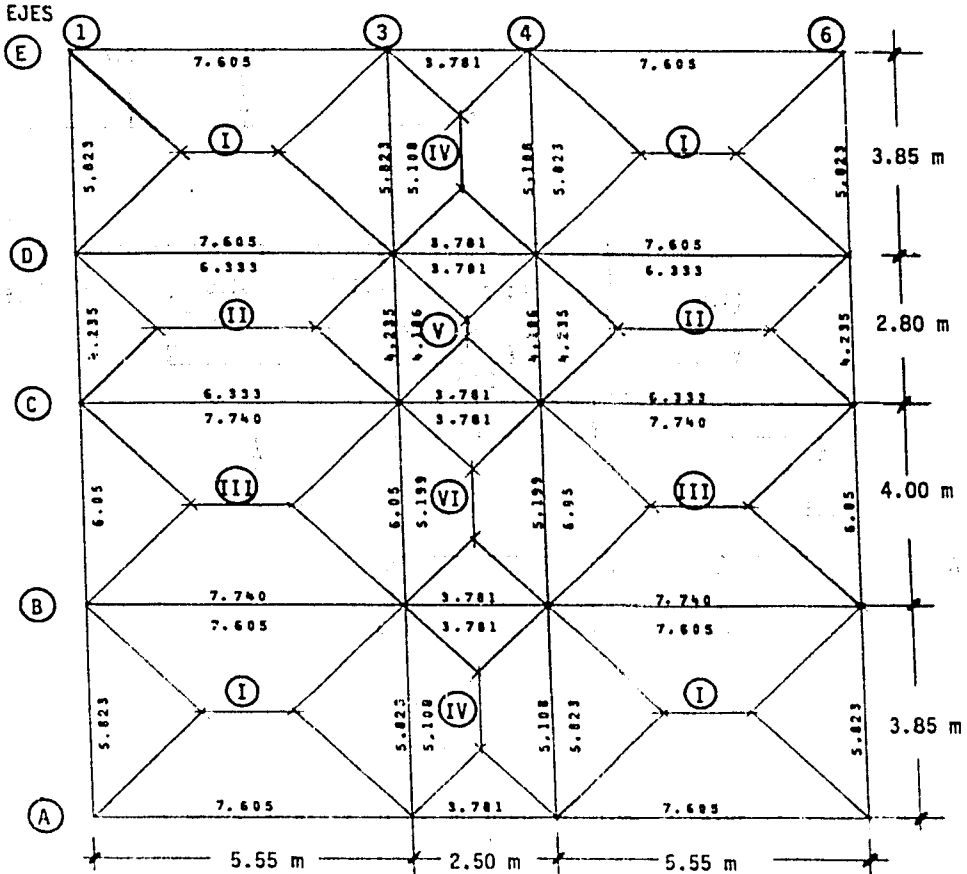
4.3) Equilibrio de Cortantes.

El método denominado de "Equilibrio de Cortantes", resuelve
 en forma sencilla, el complicado problema de lograr que en las cimentaciones,
 se realice el equilibrio de fuerzas en cada una de las columnas; ya que como-
 es sabido, no existe el equilibrio de cargas verticales bajo cada una de las-
 columnas, verificándose solamente el equilibrio total.

La reacción del terreno se considera uniforme y será la su-
 ma de las cargas verticales entre el área, o sea :

$$w = \frac{\Sigma P_{col.}}{A} = \frac{1193.20}{13.60 \times 14.50}$$

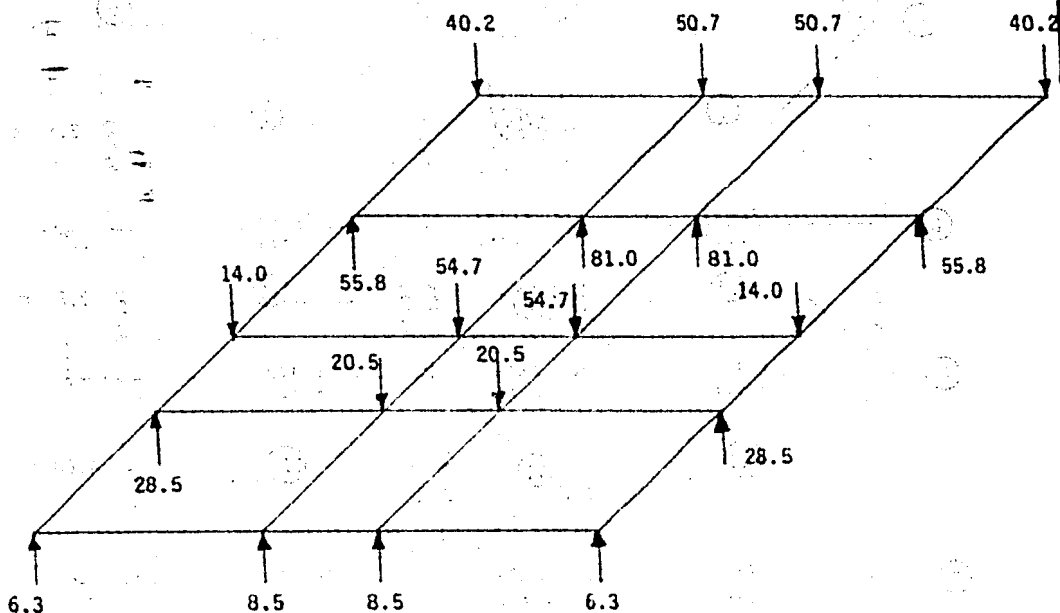
Supondremos que la transmisión de la reacción del terreno, a las contratrabes de cimentación se realizan en igual forma que en el caso de un techo bajo carga uniforme; en la siguiente figura, se muestra la forma de dicha distribución.



$$w = 6.05 \text{ T/m}^2.$$

Con las cargas indicadas, se calculan las contratrabes como continuas, suponiendo que todas ellas, están empotradas en sus extremos; por lo que los cortantes en cada uno de ellos, serán los de una viga isostática.

De la suma vectorial de las cargas que bajan por las columnas del edificio y de las cargas provocadas por la reacción del terreno, se determinan las fuerzas desequilibradas que actúan en todos y cada uno de los nudos que forman la retícula de las contratraves de la cimentación.



$$\Sigma F_v = 0$$

$$- 40.2 - 50.7 + 55.8 + 81.0 - 14.0 - 54.7$$

$$+ 28.5 - 20.5 + 6.3 + 8.5 = 0$$

$$- 180.1 + 180.1 = 0$$

$$0 = 0 \quad \checkmark$$

RETICULA DE LA CIMENTACION.

En base a la simetría que presenta la retícula de las contratraves de cimentación, se puede analizar solo la mitad de ella; tomando en cuenta que :

$$V''_{23} = V''_{32}$$

$$V''_{67} = V''_{76}$$

$$V''_{10,11} = V''_{11,10}$$

$$V''_{14,15} = V''_{15,14}$$

$$V''_{18,19} = V''_{19,18}$$

Para la solución de la retícula de cimentación (método de Equilibrio de Cortantes), se aplicará la siguiente fórmula; que se deriva, de las ecuaciones usuales de Kani (ver Capítulo Sexto : Conclusiones) :

$$V''_{ik} = \lambda_{ik} (Q_i - \sum V''_{ki})$$

1). Rigideces y Factores de Distribución Lineal.

En este caso, se tiene contratraves de diferente longitud; por lo tanto, es necesario determinar los distintos coeficientes de reducción (C_{ik}), así como los factores de distribución lineal (λ_{ik}). Para ello, tomaremos una longitud de corte, que será : hr = 5.55 m.

Con esta longitud, se calcularán los coeficientes de reducción "C_{ik}" :

$$C_{ik} = \frac{hr}{h_{ik}}$$

Si tomamos : hr = 5.55 m.

$$C_{12} = C_{34} = C_{56} = C_{78} = C_{9,10} = C_{11,12} = C_{13,14} = C_{15,16} = C_{17,18} = C_{19,20} = \frac{5.55}{5.55} = 1.0$$

$$C_{23} = C_{45} = C_{67} = C_{89} = C_{10,11} = C_{12,13} = C_{14,15} = C_{16,17} = C_{18,19} = \frac{5.55}{2.50} = 2.22$$

$$C_{15} = C_{26} = C_{37} = C_{48} = C_{17,17} = C_{14,18} = C_{15,19} = C_{18,20} = \frac{5.55}{3.85} = 1.442$$

$$C_{59} = C_{6,10} = C_{7,11} = C_{8,12} = \frac{5.55}{2.80} = 1.982$$

$$C_{9,13} = C_{10,14} = C_{11,15} = C_{12,16} = \frac{5.55}{4.00} = 1.388$$

NUDO 1

$$v_{ik} = -\frac{3}{2} \frac{C_{ik} K}{\sum C_{ik} K}$$

$$v_{12} = -\frac{3}{2} \frac{C_{12} K_{12}}{C_{12}^2 K_{12} + C_{15}^2 K_{15}}$$

$$v_{12} = -\frac{3}{2} \frac{1.0 (1)}{1.0^2 (1) + 1.442^2 (1.44)}$$

$$v_{12} = -\frac{3}{2} \frac{1}{1 + 2.994} = -\frac{3}{2} \frac{1}{3.994} = -0.376$$

$$v_{15} = \frac{3}{2} \frac{C_{15} K_{15}}{3.994} = \frac{3}{2} \frac{1.442 (1.44)}{3.994} = \frac{3}{2} \frac{2.076}{3.994} = 0.780$$

Comprobación :

$$\sum C_{ik} v_{ik} = -\frac{3}{2}$$

$$C_{12} v_{12} + C_{15} v_{15} = -\frac{3}{2}$$

$$1.0 (-0.376) + 1.442 (-0.780) = -\frac{3}{2}$$

$$-0.376 - 1.125 = -\frac{3}{2}$$

$$-1.501 = -\frac{3}{2} \checkmark$$

NUDO 2

$$v_{21} = -\frac{3}{2} \frac{C_{21} K_{21}}{C_{21}^2 K_{21} + C_{23}^2 K_{23} + C_{26}^2 K_{26}}$$

$$v_{21} = -\frac{3}{2} \frac{1.0 (1.0)}{1^2 (1.0) + 2.22^2 (2.22) + 1.442^2 (1.44)} = -0.100$$

$$v_{23} = -\frac{3}{2} \frac{C_{23} K_{23}}{14.935} = -\frac{3}{2} \frac{2.22 (2.22)}{14.935} = -0.495$$

$$v_{26} = -\frac{3}{2} \frac{C_{26} K_{26}}{14.935} = -\frac{3}{2} \frac{1.442 (1.44)}{14.935} = -0.209$$

NUDO 5

$$v_{51} = -\frac{3}{2} \frac{C_{51} K_{51}}{C_{51}^2 K_{51} + C_{56}^2 K_{56} + C_{59}^2 K_{59}}$$

$$v_{51} = -\frac{3}{2} \frac{1.442 (1.44)}{1.442^2 (1.44) + 1.0^2 (1) + 1.982^2 (1.98)} = -0.265$$

$$v_{56} = -\frac{3}{2} \frac{C_{55} K_{55}}{11.772}$$

$$v_{56} = -\frac{3}{2} \frac{1.0 (1.0)}{11.772} = -0.127$$

$$v_{59} = -\frac{3}{2} \frac{C_{59} K_{59}}{11.772} = -\frac{3}{2} \frac{1.982 (1.98)}{11.772} = -\frac{3}{2} \frac{3.924}{11.772} = -0.500$$

NUDO 6

$$v_{65} = -\frac{3}{2} \frac{C_{65} K_{65}}{C_{65}^2 K_{65} + C_{62}^2 K_{62} + C_{67}^2 K_{67} + C_{6,10}^2 K_{6,10}}$$

$$v_{65} = -\frac{3}{2} \frac{1.0 (1)}{1.0^2 (1) + 1.442^2 (1.44) + 2.22^2 (2.22) + 1.982^2 (1.98)}$$

$$v_{65} = -\frac{3}{2} \frac{1.0}{22.713} = -0.066$$

$$v_{62} = -\frac{3}{2} \frac{C_{62} K_{62}}{22.713} = -\frac{3}{2} \frac{1.442 (1.44)}{22.713} = -0.137$$

$$v_{67} = -\frac{3}{2} \frac{C_{67} K_{67}}{22.713} = -\frac{3}{2} \frac{2.22 (2.22)}{22.713} = -0.325$$

$$v_{6,10} = -\frac{3}{2} \frac{C_{6,10} K_{6,10}}{22.713} = -\frac{3}{2} \frac{1.982 (1.98)}{22.713} = -0.259$$

NUDO 9

$$v_{95} = -\frac{3}{2} \frac{C_{95} K_{95}}{C_{95}^2 K_{95} + C_{9,10}^2 K_{9,10} + C_{9,13}^2 K_{9,13}}$$

$$v_{95} = -\frac{3}{2} \frac{1.982 (1.98)}{1.982^2 (1.98) + 1.0^2 (1) + 1.388^2 (1.388)}$$

$$v_{95} = -\frac{3}{2} \frac{3.924}{7.778 + 1.0 + 2.674} = -0.514$$

$$v_{9,10} = -\frac{3}{2} \frac{C_{9,10} K_{9,10}}{11.452} = -\frac{3}{2} \frac{1.0 (1)}{11.452} = -0.131$$

$$v_{9,13} = -\frac{3}{2} \frac{C_{9,13} K_{9,13}}{11.452} = -\frac{3}{2} \frac{1.388 (1.388)}{11.452} = -0.252$$

NUDO 10

$$v_{10,9} = -\frac{3}{2} \frac{C_{10,9} K_{10,9}}{C_{10,9}^2 K_{10,9} + C_{10,c}^2 K_{10,c} + C_{10,11}^2 K_{10,11} + C_{10,14}^2 K_{10,14}}$$

$$v_{10,9} = -\frac{3}{2} \frac{1.0 (1)}{1.0^2 (1) + 1.982^2 (1.98) + 2.22^2 (2.22) + 1.388^2 (1.388)}$$

$$v_{10,9} = -\frac{3}{2} \frac{1}{22.393} = -0.067$$

$$v_{10,8} = -\frac{3}{2} \frac{C_{10,8} K_{10,8}}{22.393} = -\frac{3}{2} \frac{1.982 (1.98)}{22.393} = -0.263$$

$$v_{10,11} = -\frac{3}{2} \frac{C_{10,11} K_{10,11}}{22.393} = -\frac{3}{2} \frac{2.22 (2.22)}{22.393} = -0.330$$

$$v_{10,14} = -\frac{3}{2} \frac{C_{10,14} K_{10,14}}{22.393} = -\frac{3}{2} \frac{1.388 (1.388)}{22.393} = -0.129$$

NUDO 13

$$v_{13,9} = -\frac{3}{2} \frac{C_{13,9} K_{13,9}}{C_{13,9}^2 K_{13,9} + C_{13,14}^2 K_{13,14} + C_{13,17}^2 K_{13,17}} = -\frac{3}{2} \frac{1.388 (1.388)}{1.388 (1.388)}$$

$$v_{13,9} = -\frac{3}{2} \frac{1.388^2 (1.388) + 1.0^2 (1) + 1.442^2 (1.44)}{1.388^2 (1.388) + 1.0^2 (1) + 1.442^2 (1.44)}$$

$$v_{13,9} = -\frac{3}{2} \frac{1.927}{6.668} = -0.433$$

$$v_{13,14} = -\frac{3}{2} \frac{C_{13,14} K_{13,14}}{6.668} = -\frac{3}{2} \frac{1.0 (1)}{6.668} = -0.225$$

$$v_{13,17} = -\frac{3}{2} \frac{C_{13,17} K_{13,17}}{6.668} = -\frac{3}{2} \frac{1.442 (1.44)}{6.668} = -0.467$$

NUDO 14

$$v_{14,13} = -\frac{3}{2} \frac{C_{14,13} K_{14,13}}{C_{14,13}^2 K_{14,13} + C_{14,10}^2 K_{14,10} + C_{14,15}^2 K_{14,15} + C_{14,18}^2 K_{14,18}} = -\frac{3}{2} \frac{1.0 (1)}{1.0 (1)}$$

$$v_{14,13} = -\frac{3}{2} \frac{1.0^2 (1) + 1.388^2 (1.388) + 2.22^2 (2.22) + 1.442^2 (1.44)}{1.0^2 (1) + 1.388^2 (1.388) + 2.22^2 (2.22) + 1.442^2 (1.44)}$$

$$v_{14,13} = -0.085$$

$$v_{14,10} = -\frac{3}{2} \frac{C_{14,10} K_{14,10}}{17.609} = -\frac{3}{2} \frac{1.388 (1.388)}{17.609} = -0.164$$

$$v_{14,15} = -\frac{3}{2} \frac{C_{14,15} K_{14,15}}{17.609} = -\frac{3}{2} \frac{2.22 (2.22)}{17.609} = -0.420$$

$$v_{14,18} = -\frac{3}{2} \frac{C_{14,18} K_{14,18}}{17.609} = -\frac{3}{2} \frac{1.442 (1.44)}{17.609} = -0.177$$

NUDO 17

$$v_{17,13} = -\frac{3}{2} \frac{C_{17,13} K_{17,13}}{C_{17,13}^2 K_{17,13} + C_{17,10}^2 K_{17,10}} = -\frac{3}{2} \frac{1.442 (1.44)}{1.442^2 (1.44) + 1.0^2 (1)}$$

$$v_{17,13} = -\frac{3}{2} \frac{1.442 (1.44)}{1.442^2 (1.44) + 1.0^2 (1)} = -0.780$$

$$v_{17,18} = -\frac{3}{2} \frac{C_{17,18} K_{17,18}}{3.994} = -\frac{3}{2} \frac{1.0 (1)}{3.994} = -0.376$$

$$\begin{aligned}
 & \text{NUDO } 18 \\
 v_{18,17} &= -\frac{3}{2} \frac{C_{18,17} K_{18,17}}{C_{18,17}^2 K_{18,17} + C_{18,14}^2 K_{18,14} + C_{18,19}^2 K_{18,19}} \\
 v_{18,17} &= -\frac{3}{2} \frac{1.0 (1)}{1.0^2 (1) + 1.442^2 (1.44) + 2.22^2 (2.22)} = -0.100 \\
 v_{18,14} &= -\frac{3}{2} \frac{C_{18,14} K_{18,14}}{14.935} = -\frac{3}{2} \frac{1.442 (1.44)}{14.935} = -0.209 \\
 v_{18,19} &= -\frac{3}{2} \frac{C_{18,19} K_{18,19}}{14.935} = -\frac{3}{2} \frac{2.22 (2.22)}{14.935} = -0.495
 \end{aligned}$$

$$\lambda_{1k} = \frac{2}{3} v_{1k} C_{1k}$$

$$\begin{aligned}
 & \text{NUDO } 1 \\
 \lambda_{12} &= \frac{2}{3} v_{12} C_{12} = \frac{2}{3} (-0.376) (1.0) = -0.251 \\
 \lambda_{15} &= \frac{2}{3} v_{15} C_{15} = \frac{2}{3} (-0.780) (1.442) = -0.750
 \end{aligned}$$

$$\begin{aligned}
 & \text{NUDO } 2 \\
 \lambda_{21} &= \frac{2}{3} v_{21} C_{21} = \frac{2}{3} (-0.100) (1.0) = -0.067 \\
 \lambda_{23} &= \frac{2}{3} v_{23} C_{23} = \frac{2}{3} (-0.495) (2.22) = -0.733 \\
 \lambda_{26} &= \frac{2}{3} v_{26} C_{26} = \frac{2}{3} (-0.209) (1.442) = -0.201
 \end{aligned}$$

$$\begin{aligned}
 & \text{NUDO } 5 \\
 \lambda_{51} &= \frac{2}{3} v_{51} C_{51} = \frac{2}{3} (-0.265) (1.442) = -0.255 \\
 \lambda_{56} &= \frac{2}{3} v_{56} C_{56} = \frac{2}{3} (-0.127) (1.0) = -0.085 \\
 \lambda_{59} &= \frac{2}{3} v_{59} C_{59} = \frac{2}{3} (-0.500) (1.982) = -0.661
 \end{aligned}$$

$$\begin{aligned}
 & \text{NUDO } 6 \\
 \lambda_{65} &= \frac{2}{3} v_{65} C_{65} = \frac{2}{3} (-0.066) (1.0) = -0.044 \\
 \lambda_{62} &= \frac{2}{3} v_{62} C_{62} = \frac{2}{3} (-0.137) (1.442) = -0.132 \\
 \lambda_{67} &= \frac{2}{3} v_{67} C_{67} = \frac{2}{3} (-0.325) (2.22) = -0.481 \\
 \lambda_{6,10} &= \frac{2}{3} v_{6,10} C_{6,10} = \frac{2}{3} (-0.259) (1.982) = -0.342
 \end{aligned}$$

$$\begin{aligned}
 & \text{NUDO } 4 \\
 \lambda_{48} &= \frac{2}{3} v_{48} C_{48} = \frac{2}{3} (-0.514) (1.982) = -0.679
 \end{aligned}$$

$$\lambda_{9,10} = \frac{2}{3} v_{9,10} C_{9,10} = \frac{2}{3} (-0.131) (1.0) = -0.087$$

$$\lambda_{9,13} = \frac{2}{3} v_{9,13} C_{9,13} = \frac{2}{3} (-0.252) (1.388) = -0.233$$

NUDO 10

$$\lambda_{10,9} = \frac{2}{3} v_{10,9} C_{10,9} = \frac{2}{3} (-0.067) (1.0) = -0.045$$

$$\lambda_{10,6} = \frac{2}{3} v_{10,6} C_{10,6} = \frac{2}{3} (-0.263) (1.982) = -0.348$$

$$\lambda_{10,11} = \frac{2}{3} v_{10,11} C_{10,11} = \frac{2}{3} (-0.330) (2.22) = -0.488$$

$$\lambda_{10,14} = \frac{2}{3} v_{10,14} C_{10,14} = \frac{2}{3} (-0.129) (1.388) = -0.119$$

NUDO 13

$$\lambda_{13,9} = \frac{2}{3} v_{13,9} C_{13,9} = \frac{2}{3} (-0.433) (1.388) = -0.401$$

$$\lambda_{13,14} = \frac{2}{3} v_{13,14} C_{13,14} = \frac{2}{3} (-0.225) (1.0) = -0.150$$

$$\lambda_{13,17} = \frac{2}{3} v_{13,17} C_{13,17} = \frac{2}{3} (-0.467) (1.442) = -0.449$$

NUDO 14

$$\lambda_{14,13} = \frac{2}{3} v_{14,13} C_{14,13} = \frac{2}{3} (-0.085) (1.0) = -0.057$$

$$\lambda_{14,10} = \frac{2}{3} v_{14,10} C_{14,10} = \frac{2}{3} (-0.164) (1.388) = -0.152$$

$$\lambda_{14,15} = \frac{2}{3} v_{14,15} C_{14,15} = \frac{2}{3} (-0.420) (2.22) = -0.622$$

$$\lambda_{14,18} = \frac{2}{3} v_{14,18} C_{14,18} = \frac{2}{3} (-0.177) (1.442) = -0.170$$

NUDO 17

$$\lambda_{17,13} = \frac{2}{3} v_{17,13} C_{17,13} = \frac{2}{3} (-0.780) (1.442) = -0.750$$

$$\lambda_{17,18} = \frac{2}{3} v_{17,18} C_{17,18} = \frac{2}{3} (-0.376) (1.0) = -0.251$$

NUDO 18

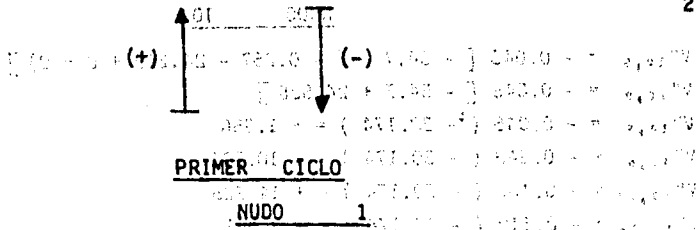
$$\lambda_{18,17} = \frac{2}{3} v_{18,17} C_{18,17} = \frac{2}{3} (-0.100) (1.0) = -0.067$$

$$\lambda_{18,14} = \frac{2}{3} v_{18,14} C_{18,14} = \frac{2}{3} (-0.209) (1.442) = -0.201$$

$$\lambda_{18,19} = \frac{2}{3} v_{18,19} C_{18,19} = \frac{2}{3} (-0.495) (2.22) = -0.733$$

2) Convención de Signos e Iteraciones.

Tanto para las fuerzas que obran en los nudos, como para los cortantes de los extremos opuestos al nudo; se considera positivo su sentido, de abajo hacia arriba y negativo en sentido contrario, como se indica a continuación:



$$V''_{12} = - 0.251 [- 40.2 - (0 + 0)]$$

$$V''_{12} = - 0.251 (- 40.2) = + 10.090$$

$$V''_{15} = - 0.750 (- 40.2) = + 30.150$$

NUDO 2

$$V''_{21} = - 0.067 [- 50.7 - (10.090 + 0 + 0)]$$

$$V''_{21} = - 0.067 (- 50.7 - 10.090)$$

$$V''_{21} = - 0.067 (- 60.790) = + 4.073$$

$$V''_{23} = - 0.733 (- 60.790) = + 44.559$$

$$V''_{26} = - 0.201 (- 60.790) = + 12.219$$

NUDO 5

$$V''_{51} = - 0.255 [55.8 - (30.150 + 0 + 0)]$$

$$V''_{51} = - 0.255 [55.8 - 30.150]$$

$$V''_{51} = - 0.255 (25.650) = - 6.541$$

$$V''_{56} = - 0.085 (25.650) = - 2.180$$

$$V''_{59} = - 0.661 (25.650) = - 16.955$$

NUDO 6

$$V''_{65} = - 0.044 [81 - (- 2.180 + 12.219 + 0 + 0)]$$

$$V''_{65} = - 0.044 [81 - 10.039] = - 0.044 (70.961)$$

$$V''_{65} = - 3.122$$

$$V''_{62} = - 0.132 (70.961) = - 9.367$$

$$V''_{67} = - 0.481 (70.961) = - 34.132$$

$$V''_{6,10} = - 0.342 (70.961) = - 24.269$$

NUDO 9

$$V''_{95} = - 0.679 [- 14 - (- 16.955 + 0 + 0)]$$

$$V''_{95} = - 0.679 [- 14 + 16.955]$$

$$V''_{95} = - 0.679 (2.955) = - 2.006$$

$$V''_{9,10} = - 0.087 (2.955) = - 0.257$$

$$V''_{9,13} = - 0.233 (2.955) = - 0.689$$

NUDO 10

$$V''_{10,9} = -0.045 [-54.7 - (-0.257 - 24.269 + 0 + 0)]$$

$$V''_{10,9} = -0.045 [-54.7 + 24.526]$$

$$V''_{10,9} = -0.045 (-30.174) = +1.358$$

$$V''_{10,6} = -0.348 (-30.174) = +10.501$$

$$V''_{10,11} = -0.488 (-30.174) = +14.725$$

$$V''_{10,14} = -0.119 (-30.174) = +3.591$$

NUDO 13

$$V''_{13,9} = -0.401 [28.5 - (-0.689 + 0 + 0)]$$

$$V''_{13,9} = -0.401 [28.5 + 0.689]$$

$$V''_{13,9} = -0.401 (29.189) = -11.705$$

$$V''_{13,14} = -0.150 (29.189) = -4.378$$

$$V''_{13,17} = -0.449 (29.189) = -13.106$$

NUDO 14

$$V''_{14,13} = -0.057 [-20.5 - (-4.378 + 3.591 + 0 + 0)]$$

$$V''_{14,13} = -0.057 [-20.5 - (-0.787)]$$

$$V''_{14,13} = -0.057 (-20.5 + 0.787)$$

$$V''_{14,13} = -0.057 (-19.713) = +1.124$$

$$V''_{14,10} = -0.152 (-19.713) = +2.996$$

$$V''_{14,15} = -0.622 (-19.713) = +12.261$$

$$V''_{14,18} = -0.170 (-19.713) = +3.351$$

NUDO 17

$$V''_{17,13} = -0.750 [6.3 - (-13.106 + 0)]$$

$$V''_{17,13} = -0.750 (6.3 + 13.106)$$

$$V''_{17,13} = -0.750 (19.406) = -14.555$$

$$V''_{17,18} = -0.251 (19.406) = -4.871$$

NUDO 18

$$V''_{18,17} = -0.067 [8.5 - (-4.871 + 3.351 + 0)]$$

$$V''_{18,17} = -0.067 [8.5 - (-1.520)]$$

$$V''_{18,17} = -0.067 (8.5 + 1.520)$$

$$V''_{18,17} = -0.067 (10.020) = -0.671$$

$$V''_{18,14} = -0.201 (10.020) = -2.014$$

$$V''_{18,19} = -0.733 (10.020) = -7.345$$

SEGUNDO CICLONUDO 1

$$\begin{aligned}
 V''_{12} &= -0.251 [-40.2 - (4.073 - 6.541)] \\
 V''_{12} &= -0.251 [-40.2 - (-2.468)] \\
 V''_{12} &= -0.251 [-40.2 + 2.468] \\
 V''_{12} &= -0.251 (-37.732) = +9.471 \\
 V''_{15} &= -0.750 (-37.732) = +28.299
 \end{aligned}$$

NUDO 2

$$\begin{aligned}
 V''_{21} &= -0.067 [-50.7 - (9.471 + 44.559 - 9.367)] \\
 V''_{21} &= -0.067 [-50.7 - (44.663)] \\
 V''_{21} &= -0.067 (-50.7 - 44.663) \\
 V''_{21} &= -0.067 (-95.363) = +6.389 \\
 V''_{23} &= -0.733 (-95.363) = +69.901 \\
 V''_{26} &= -0.201 (-95.363) = +19.168
 \end{aligned}$$

NUDO 5

$$\begin{aligned}
 V''_{51} &= -0.255 [55.8 - (28.299 - 3.122 - 2.006)] \\
 V''_{51} &= -0.255 [55.8 - 23.171] \\
 V''_{51} &= -0.255 (32.629) = -8.320 \\
 V''_{56} &= -0.085 (32.629) = -2.773 \\
 V''_{59} &= -0.661 (32.629) = -21.568
 \end{aligned}$$

NUDO 6

$$\begin{aligned}
 V''_{65} &= -0.044 [81.0 - (-2.773 + 19.168 - 34.132 + 10.501)] \\
 V''_{65} &= -0.044 [81.0 - (-7.236)] \\
 V''_{65} &= -0.044 (81.0 + 7.236) \\
 V''_{65} &= -0.044 (88.236) = -3.882 \\
 V''_{62} &= -0.132 (88.236) = -11.647 \\
 V''_{67} &= -0.481 (88.236) = -42.442 \\
 V''_{6,10} &= -0.342 (88.236) = -30.177
 \end{aligned}$$

NUDO 9

$$\begin{aligned}
 V''_{95} &= -0.679 [-14.0 - (-21.568 + 1.358 - 11.705)] \\
 V''_{95} &= -0.679 [-14.0 - (-31.915)] \\
 V''_{95} &= -0.679 (-14.0 + 31.915) \\
 V''_{95} &= -0.679 (17.915) = -12.164 \\
 V''_{9,10} &= -0.087 (17.915) = -1.559 \\
 V''_{9,13} &= -0.233 (17.915) = -4.174
 \end{aligned}$$

NUDO 10

$$V''_{10,9} = -0.045 [-54.7 - (-1.559 - 30.177 + 14.725 + 2.996)]$$

$$V''_{10,9} = -0.045 [-54.7 - (-14.015)]$$

$$V''_{10,9} = -0.045 [-54.7 + 14.015]$$

$$V''_{10,9} = -0.045 (-40.685) = +1.831$$

$$V''_{10,6} = -0.348 (-40.685) = +14.158$$

$$V''_{10,11} = -0.488 (-40.685) = +19.854$$

$$V''_{10,14} = -0.119 (-40.685) = +4.842$$

NUDO 13

$$V''_{13,9} = -0.401 [28.5 - (-4.174 + 1.124 - 14.555)]$$

$$V''_{13,9} = -0.401 [28.5 - (-17.605)]$$

$$V''_{13,9} = -0.401 (28.5 + 17.605)$$

$$V''_{13,9} = -0.401 (46.105) = -18.488$$

$$V''_{13,14} = -0.150 (46.105) = -6.916$$

$$V''_{13,17} = -0.449 (46.105) = -20.701$$

NUDO 14

$$V''_{14,13} = -0.057 [-20.5 - (-6.916 + 4.842 + 12.261 - 2.014)]$$

$$V''_{14,13} = -0.057 [-20.5 - (8.173)]$$

$$V''_{14,13} = -0.057 (-28.673) = +1.634$$

$$V''_{14,10} = -0.152 (-28.673) = +4.358$$

$$V''_{14,15} = -0.622 (-28.673) = +17.835$$

$$V''_{14,18} = -0.170 (-28.673) = +4.874$$

NUDO 17

$$V''_{17,13} = -0.750 [6.3 - (-20.701 - 0.671)]$$

$$V''_{17,13} = -0.750 [6.3 - (-21.372)]$$

$$V''_{17,13} = -0.750 [6.3 + 21.372]$$

$$V''_{17,13} = -0.750 (27.672) = -20.754$$

$$V''_{17,18} = -0.251 (27.672) = -6.946$$

NUDO 18

$$V''_{18,17} = -0.067 [8.5 - (-6.946 + 4.874 - 7.345)]$$

$$V''_{18,17} = -0.067 [8.5 - (-9.417)]$$

$$V''_{18,17} = -0.067 (8.5 + 9.417)$$

$$V''_{18,17} = -0.067 (17.917) = -1.200$$

$$V''_{18,14} = -0.201 (17.917) = -3.601$$

$$V''_{18,15} = -0.733 (17.917) = -13.133$$

VIGESIMO OCTAVO CICLONUDO 1

$$V''_{12} = -0.251 [-40.2 - (13.316 - 19.052)]$$

$$V''_{12} = -0.251 [-40.2 - (-5.736)]$$

$$V''_{12} = -0.251 [-40.2 + 5.736]$$

$$V''_{12} = -0.251 [-34.464] = +8.650$$

$$V''_{13} = -0.750 [-34.464] = +25.848$$

NUDO 2

$$V''_{21} = -0.067 [-50.7 - (8.650 + 145.679 - 6.015)]$$

$$V''_{21} = -0.067 [-50.7 - (148.314)]$$

$$V''_{21} = -0.067 [-199.014] = +13.334$$

$$V''_{23} = -0.733 [-199.014] = +145.877$$

$$V''_{26} = -0.201 [-199.014] = +40.002$$

NUDO 5

$$V''_{51} = -0.255 [55.8 - (25.848 - 2.005 - 42.683)]$$

$$V''_{51} = -0.255 [55.8 - (-18.840)]$$

$$V''_{51} = -0.255 [55.8 + 18.840]$$

$$V''_{51} = -0.255 [74.640] = -19.033$$

$$V''_{56} = -0.085 [74.640] = -6.344$$

$$V''_{59} = -0.661 [74.640] = -49.337$$

NUDO 6

$$V''_{65} = -0.044 [81.0 - (-6.344 + 23.931 + 40.002 - 21.919)]$$

$$V''_{65} = -0.044 [81.0 - (35.670)]$$

$$V''_{65} = -0.044 [45.330] = -1.995$$

$$V''_{62} = -0.132 [45.330] = -5.984$$

$$V''_{67} = -0.481 [45.330] = -21.804$$

$$V''_{6,10} = -0.342 [45.330] = -15.503$$

NUDO 9

$$V''_{95} = -0.679 [-14.0 - (-49.337 + 3.095 - 30.577)]$$

$$V''_{95} = -0.679 [-14.0 - (-76.819)]$$

$$V''_{95} = -0.679 [-14.0 + 76.819]$$

$$V''_{98} = -0.679 [62.819] = -42.654$$

$$V''_{9,10} = -0.087 [62.819] = -5.465$$

$$V''_{9,11} = -0.233 [62.819] = -14.637$$

NUDO 10

NUDO 10

$$V''_{10,9} = -0.045 [-54.7 - (-5.465 - 15.503 + 33.559 + 1.606)]$$

$$V''_{10,9} = -0.045 [-54.7 - (14.197)]$$

$$V''_{10,9} = -0.045 [-68.897] = +3.100$$

$$V''_{10,6} = -0.348 [-68.897] = +23.976$$

$$V''_{10,11} = -0.488 [-68.897] = +33.622$$

$$V''_{10,14} = -0.119 [-68.897] = +8.199$$

NUDO 13

$$V''_{13,9} = -0.401 [28.5 - (-14.637 + 0.602 - 33.743)]$$

$$V''_{13,9} = -0.401 [28.5 - (-47.778)]$$

$$V''_{13,9} = -0.401 [28.5 + 47.778]$$

$$V''_{13,9} = -0.401 [76.278] = -30.587$$

$$V''_{13,14} = -0.150 [76.278] = -11.442$$

$$V''_{13,17} = -0.449 [76.278] = -34.249$$

NUDO 14

$$V''_{14,13} = -0.057 [-20.5 - (-11.442 + 8.199 + 6.572 - 13.409)]$$

$$V''_{14,13} = -0.057 [-20.5 - (-10.080)]$$

$$V''_{14,13} = -0.057 [-20.5 + 10.080]$$

$$V''_{14,13} = -0.057 [-10.420] = +0.594$$

$$V''_{14,10} = -0.152 [-10.420] = +1.584$$

$$V''_{14,15} = -0.622 [-10.420] = +6.481$$

$$V''_{14,18} = -0.170 [-10.420] = +1.771$$

NUDO 17

$$V''_{17,13} = -0.750 [6.3 - (-34.249 - 4.470)]$$

V^{17,18} = - 0.750 [6.3 - (- 38.719)]

V^{17,18} = - 0.750 [6.3 + 38.719]

V^{17,18} = - 0.750 [45.019] = - 33.764

V^{17,18} = - 0.251 [45.019] = - 11.300

NUDO 18

V^{18,17} = - 0.067 [8.5 - (- 11.300 + 1.771 - 48.898)]

V^{18,17} = - 0.067 [8.5 - (- 58.427)]

V^{18,17} = - 0.067 [8.5 + 58.427]

V^{18,17} = - 0.067 [66.927] = - 4.484

V^{18,17} = - 0.201 [66.927] = - 13.452

V^{18,18} = - 0.733 [66.927] = - 49.057

VIGESIMO NOVENO CICLO

NUDO 1

V¹² = - 0.251 [- 40.2 - (13.334 - 19.033)]

V¹² = - 0.251 [- 40.2 - (- 5.699)]

V¹² = - 0.251 [- 40.2 + 5.699]

V¹² = - 0.251 [- 34.501] = + 8.660

V¹⁵ = - 0.750 [- 34.501] = + 25.876

NUDO 2

V²¹ = - 0.067 [- 50.7 - (8.660 + 145.877 - 5.984)]

V²¹ = - 0.067 [- 50.7 - (148.553)]

V²¹ = - 0.067 [- 199.253] = + 13.350

V²³ = - 0.733 [- 199.253] = + 146.052

V²⁶ = - 0.201 [- 199.253] = + 40.050

NUDO 5 [(217.82 -) - 2.8] 027.0 - = 11.71 V

$$V''_{51} = - 0.255 [55.8 - (25.876 - 1.995 - 42.654)]$$

$$V''_{51} = - 0.255 [55.8 - (- 18.773)]$$

$$V''_{51} = - 0.255 [55.8 + 18.773]$$

$$V''_{51} = - 0.255 [74.573] = - 19.016$$

$$V''_{56} = - 0.085 [74.573] = - 6.339$$

$$V''_{59} = - 0.661 [74.573] = - 49.293$$

NUDO 6 [159.00 + 2.0] 100.0 - = 11.71 V

$$V''_{65} = - 0.044 [81.0 - (- 6.339 + 40.050 - 21.804 + 23.976)]$$

$$V''_{65} = - 0.044 [81.0 - (35.883)]$$

$$V''_{65} = - 0.044 [45.117] = - 1.985$$

$$V''_{62} = - 0.132 [45.117] = - 5.955$$

$$V''_{67} = - 0.481 [45.117] = - 21.701$$

$$V''_{6,10} = - 0.342 [45.117] = - 15.430$$

NUDO 9 - 900.01 - 0.00 -] 122.0 - = 11.71 V

$$V''_{95} = - 0.679 [- 14.0 - (- 49.293 + 3.100 - 30.587)]$$

$$V''_{95} = - 0.679 [- 14.0 - (- 76.780)]$$

$$V''_{95} = - 0.679 [- 14.0 + 76.780]$$

$$V''_{95} = - 0.679 [62.780] = - 42.628$$

$$V''_{9,10} = - 0.087 [62.780] = - 5.462$$

$$V''_{9,13} = - 0.233 [62.780] = - 14.628$$

NUDO 10 [159.00 + 2.0] 100.0 - = 11.71 V

$$V''_{10,9} = - 0.045 [- 54.7 - (- 5.462 - 15.430 + 33.622 + 1.584)]$$

$$V''_{10,9} = - 0.045 [- 54.7 - (14.314)]$$

$$V''_{10,9} = - 0.045 [- 69.014] = + 3.106$$

$$V''_{10,6} = -0.348 [-69.014] = +24.017$$

$$V''_{10,11} = -0.488 [-69.014] = +33.679$$

$$V''_{10,14} = -0.119 [-69.014] = +8.213$$

NUDO 13

$$V''_{13,9} = -0.401 [28.5 - (-14.628 + 0.594 - 33.764)]$$

$$V''_{13,9} = -0.401 [28.5 - (-47.798)]$$

$$V''_{13,9} = -0.401 [28.5 + 47.798]$$

$$V''_{13,9} = -0.401 [76.298] = -30.595$$

$$V''_{13,14} = -0.150 [76.298] = -11.445$$

$$V''_{13,17} = -0.449 [76.298] = -34.258$$

NUDO 14

$$V''_{14,13} = -0.057 [-20.5 - (-11.445 + 8.213 + 6.481 - 13.452)]$$

$$V''_{14,13} = -0.057 [-20.5 - (-10.203)]$$

$$V''_{14,13} = -0.057 [-20.5 + 10.203]$$

$$V''_{14,13} = -0.057 [-10.297] = +0.587$$

$$V''_{14,18} = -0.152 [-10.297] = +1.565$$

$$V''_{14,15} = -0.622 [-10.297] = +6.405$$

$$V''_{14,18} = -0.170 [-10.297] = +1.750$$

NUDO 17

$$V''_{17,13} = -0.750 [6.3 - (-34.258 - 4.484)]$$

$$V''_{17,13} = -0.750 [6.3 - (-38.742)]$$

$$V''_{17,13} = -0.750 [6.3 + 38.742]$$

$$V''_{17,13} = -0.750 [45.042] = -33.782$$

$$V''_{17,18} = -0.251 [45.042] = -11.306$$

NUDO 18

$$V''_{18,17} = - 0.067 [8.5 - (- 11.306 + 1.750 - 49.057)]$$

$$V''_{18,17} = - 0.067 [8.5 - (- 58.613)]$$

$$V''_{18,17} = - 0.067 [8.5 + 58.613]$$

$$V''_{18,17} = - 0.067 [67.113] = - 4.497$$

$$V''_{18,18} = - 0.201 [67.113] = - 13.490$$

$$V''_{18,19} = - 0.733 [67.113] = - 49.194$$

TRIGESIMO CICLONUDO 1

$$V''_{12} = - 0.251 [- 40.2 - (13.350 - 19.016)]$$

$$V''_{12} = - 0.251 [- 40.2 - (- 5.666)]$$

$$V''_{12} = - 0.251 [- 40.2 + 5.666]$$

$$V''_{12} = - 0.251 [- 34.534] = + 8.668$$

$$V''_{15} = - 0.750 [- 34.534] = + 25.901$$

NUDO 2

$$V''_{21} = - 0.067 [- 50.7 - (8.668 + 146.052 - 5.955)]$$

$$V''_{21} = - 0.067 [- 50.7 - (148.765)]$$

$$V''_{21} = - 0.067 [- 199.465] = + 13.364$$

$$V''_{23} = - 0.733 [- 199.465] = + 146.208$$

$$V''_{26} = - 0.201 [- 199.465] = + 40.092$$

NUDO 5

$$V''_{31} = - 0.255 [55.8 - (25.901 - 1.985 - 42.628)]$$

$$V''_{31} = - 0.255 [55.8 - (- 18.712)]$$

V''_{10,12} = -0.285 [85.0 + 18.712]

V''_{10,11} = -0.285 [74.512] = - 6.334

V''_{10,10} = -0.661 [74.512] = - 49.252

NUDO 6

V''_{6,6} = -0.044 [81.0 - (- 6.334 + 40.092 + 124.017 - 21.701)]

V''_{6,5} = -0.044 [81.0 - (36.074)]

V''_{6,4} = -0.044 [- 44.926] = - 1.977

V''_{6,3} = -0.132 [- 44.926] = - 5.930

V''_{6,2} = -0.481 [- 44.926] = - 21.609

V''_{6,1} = -0.342 [- 44.926] = - 15.365

NUDO 9

V''_{9,9} = -0.679 [- 14.0 - (- 49.252 + 3.106 - 30.595)]

V''_{9,8} = -0.679 [- 14.0 - (- 276.741)]

V''_{9,7} = -0.679 [- 14.0 + 76.741]

V''_{9,6} = -0.679 [62.741] = - 42.601

V''_{9,5} = -0.087 [62.741] = - 5.458

V''_{9,4} = -0.233 [62.741] = - 14.619

NUDO 10

V''_{10,9} = -0.045 [- 54.7 - (- 5.458 - 15.365 + 33.679 + 1.565)]

V''_{10,8} = -0.045 [- 54.7 - (14.421)]

V''_{10,7} = -0.045 [- 69.121] = + 3.110

V''_{10,6} = -0.348 [- 69.121] = + 24.054

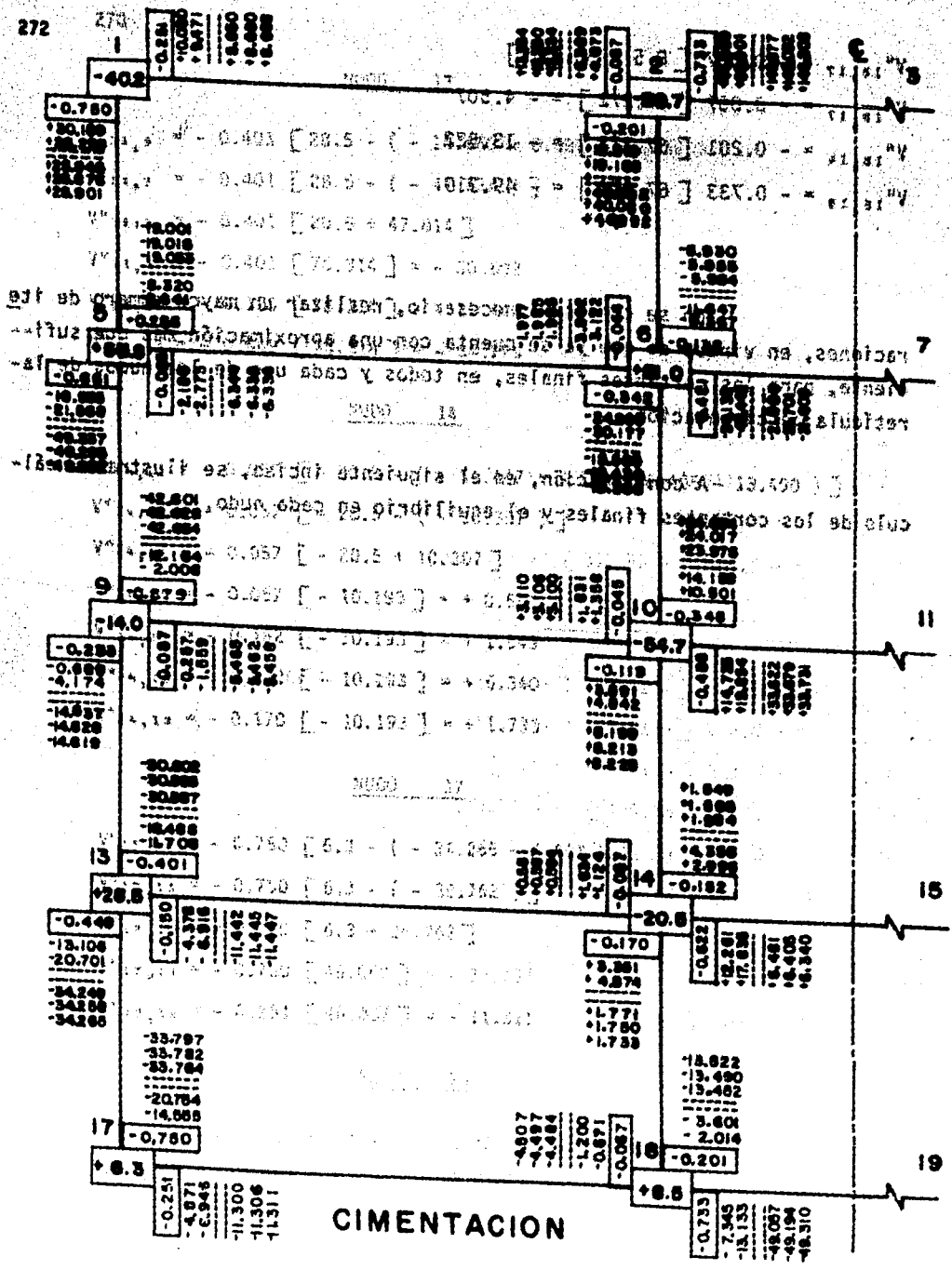
V''_{10,5} = -0.488 [- 69.121] = + 33.731

V''_{10,4} = -0.119 [- 69.121] = + 8.225

272

273

C



CIMENTACION

17

13

9

15

11

7

3

-0.780
 30.188
 28.000
 23.728
 23.578
 23.901

-0.281
 +0.078
 +0.471
 +0.090
 +0.088

+0.081
 +0.082
 +0.083
 +0.084
 +0.085

-0.087
 -0.088
 -0.089
 -0.090
 -0.091

-0.719
 -0.720
 -0.721
 -0.722
 -0.723

-18.001
 -18.018
 -18.035
 -18.052
 -18.069

-0.320
 -0.321
 -0.322
 -0.323
 -0.324

+0.081
 +0.082
 +0.083
 +0.084
 +0.085

-0.087
 -0.088
 -0.089
 -0.090
 -0.091

-0.690
 -0.691
 -0.692
 -0.693
 -0.694

-0.081
 -0.082
 -0.083
 -0.084
 -0.085

-0.087
 -0.088
 -0.089
 -0.090
 -0.091

+0.081
 +0.082
 +0.083
 +0.084
 +0.085

-0.087
 -0.088
 -0.089
 -0.090
 -0.091

-0.690
 -0.691
 -0.692
 -0.693
 -0.694

-42.601
 -42.623
 -42.645
 -42.667
 -42.689

-0.087
 -0.088
 -0.089
 -0.090
 -0.091

+0.081
 +0.082
 +0.083
 +0.084
 +0.085

-0.087
 -0.088
 -0.089
 -0.090
 -0.091

-0.348
 -0.349
 -0.350
 -0.351
 -0.352

-0.289
 -0.290
 -0.291
 -0.292
 -0.293

-0.087
 -0.088
 -0.089
 -0.090
 -0.091

+0.081
 +0.082
 +0.083
 +0.084
 +0.085

-0.087
 -0.088
 -0.089
 -0.090
 -0.091

-0.690
 -0.691
 -0.692
 -0.693
 -0.694

-0.089
 -0.090
 -0.091
 -0.092
 -0.093

-0.087
 -0.088
 -0.089
 -0.090
 -0.091

+0.081
 +0.082
 +0.083
 +0.084
 +0.085

-0.087
 -0.088
 -0.089
 -0.090
 -0.091

-0.690
 -0.691
 -0.692
 -0.693
 -0.694

-0.449
 -13.108
 -20.701
 -24.249
 -34.188
 -34.188

-0.180
 -4.378
 -6.916
 -11.442
 -11.445
 -11.447

+0.081
 +0.082
 +0.083
 +0.084
 +0.085

-0.087
 -0.088
 -0.089
 -0.090
 -0.091

-0.182
 -4.388
 -6.926
 -11.452
 -11.455
 -11.457

-33.797
 -33.782
 -33.767
 -20.764
 -14.088

-0.087
 -0.088
 -0.089
 -0.090
 -0.091

+0.081
 +0.082
 +0.083
 +0.084
 +0.085

-0.087
 -0.088
 -0.089
 -0.090
 -0.091

-15.622
 -13.480
 -13.482
 -5.604
 -2.014

+8.3

-0.251
 -4.871
 -6.948
 -11.300
 -11.306
 -11.311

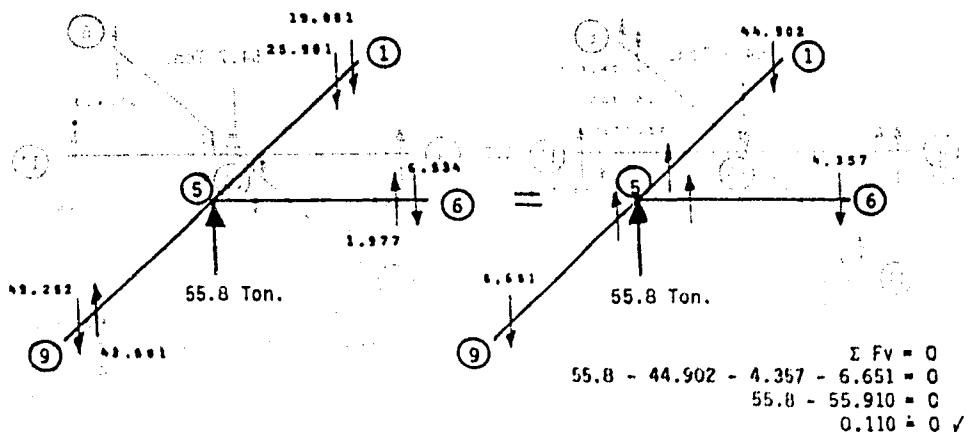
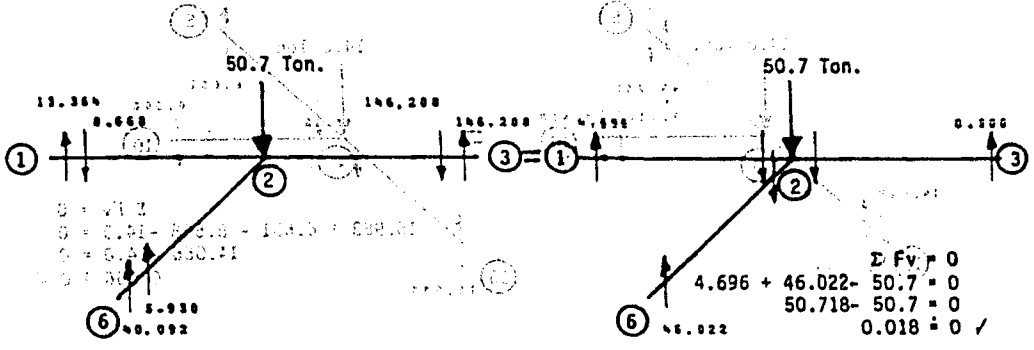
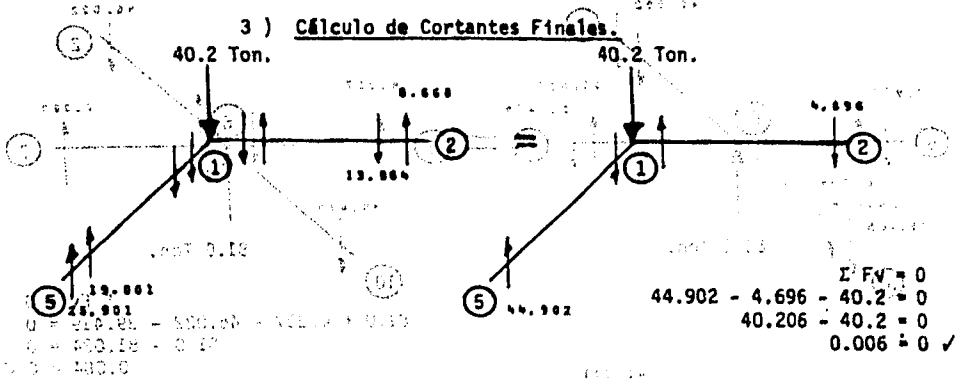
+0.081
 +0.082
 +0.083
 +0.084
 +0.085

-0.087
 -0.088
 -0.089
 -0.090
 -0.091

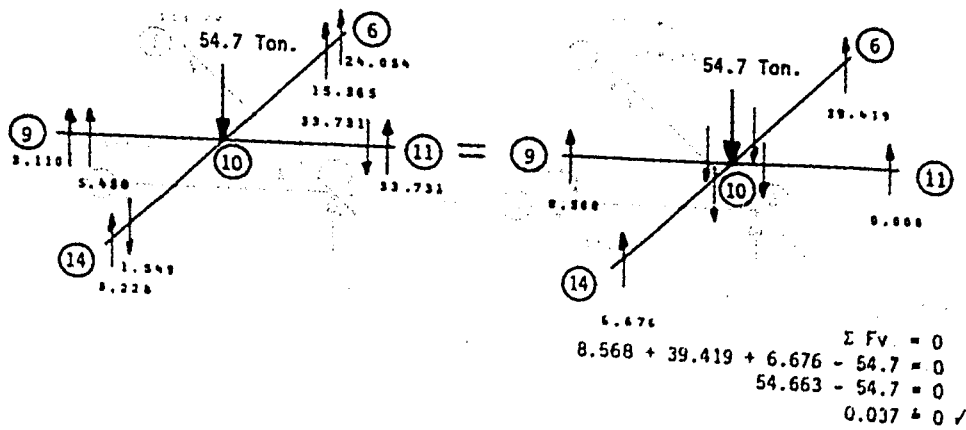
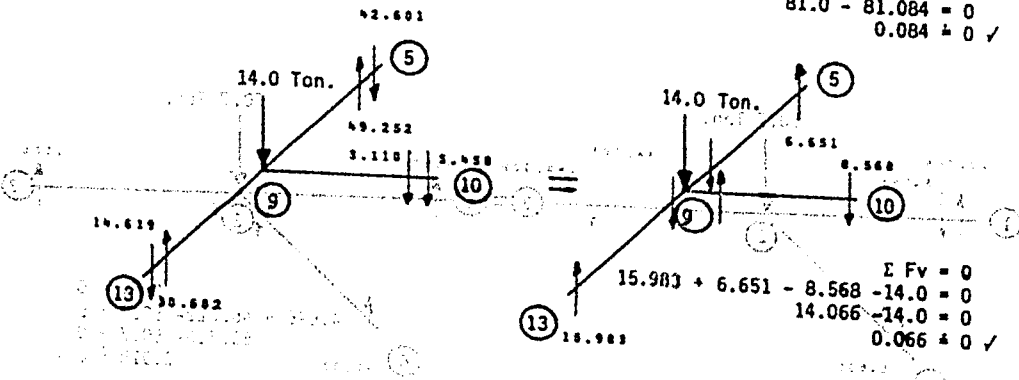
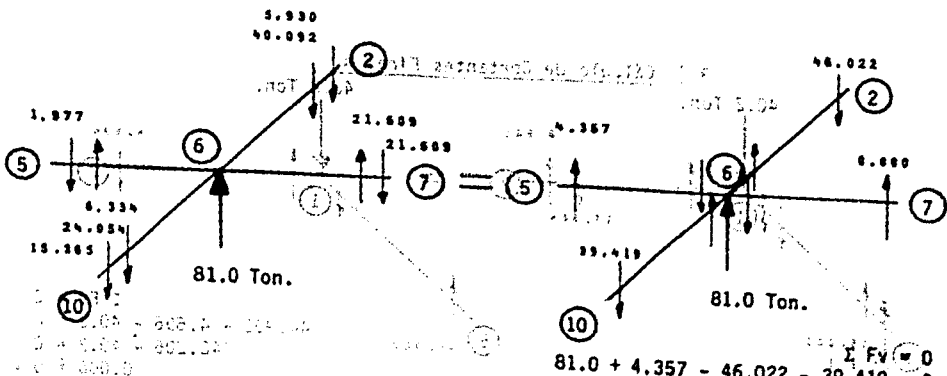
-0.201
 -7.353
 -7.345
 -13.133
 -48.087
 -48.194
 -48.310

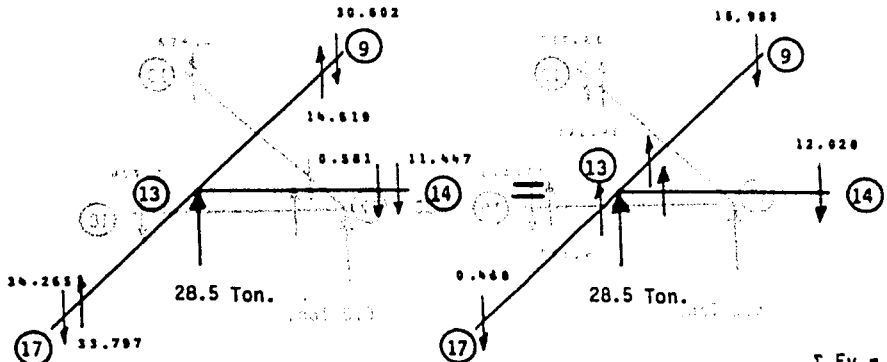
19

3) Cálculo de Cortantes Finales.



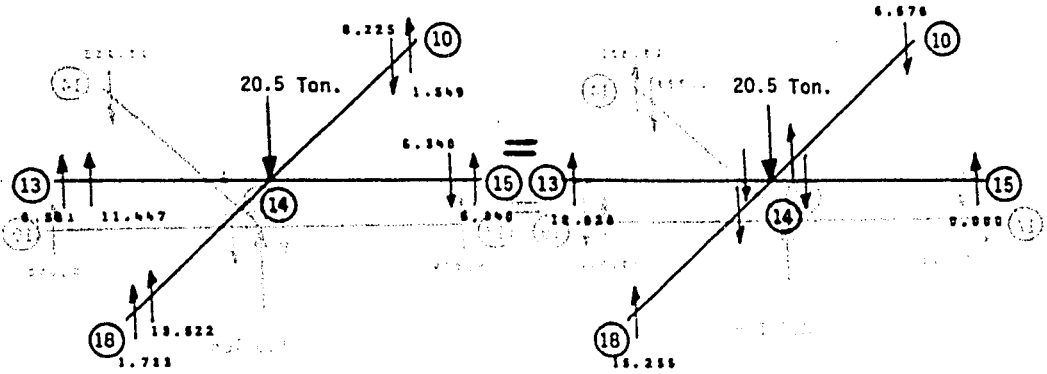
878



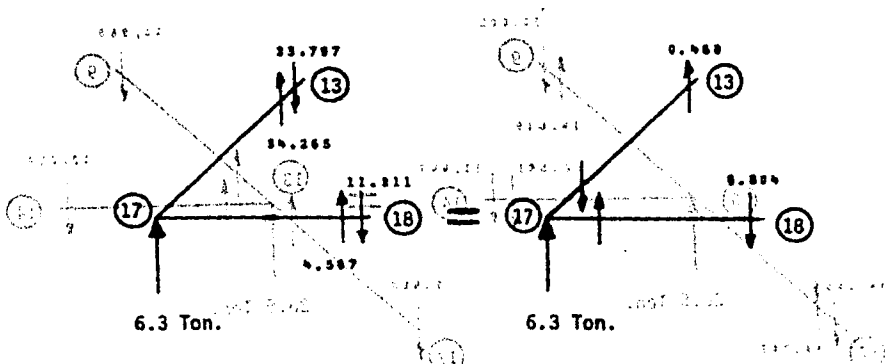


$\Sigma F_v = 0$
 $28.5 - 15.983 - 12.028 - 0.468 = 0$
 $28.5 - 28.479 = 0$
 $0.021 \approx 0 \checkmark$

$\Sigma F_v = 0$
 $28.5 - 15.983 - 12.028 - 0.468 = 0$
 $28.5 - 28.479 = 0$
 $0.021 \approx 0 \checkmark$

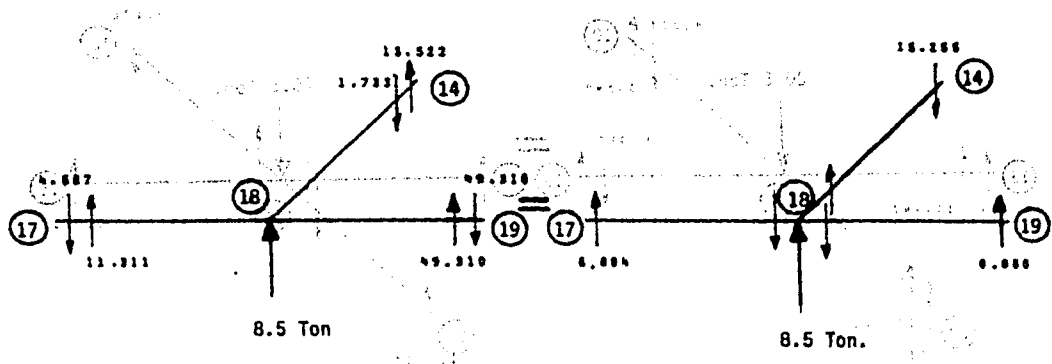


$\Sigma F_v = 0$
 $15.255 + 12.028 - 6.676 - 20.5 = 0$
 $20.607 - 20.5 = 0$
 $0.107 \approx 0 \checkmark$



$\Sigma F_v = 0$
 $6.3 + 0.468 - 6.804 = 0$
 $6.3 - 6.336 = 0$
 $0.036 \approx 0 \checkmark$

$\Sigma F_v = 0$
 $6.3 + 0.468 - 6.804 = 0$
 $6.3 - 6.336 = 0$
 $0.036 \approx 0 \checkmark$



$\Sigma F_v = 0$
 $6.804 - 15.255 + 8.5 = 0$
 $- 8.451 + 8.5 = 0$
 $0.049 \approx 0 \checkmark$

4) Cálculo del asentamiento diferencial máximo en la retícula de cimentación.

El Momento debido al desplazamiento lineal relativo (Δ) de una barra, es :

$$M''_{ik} = \frac{6 EI}{L^2} \Delta$$

$$\Delta = \frac{M''_{ik} L^2}{6 EI} \quad (1)$$

$$\text{Pero : } M''_{ik} = \frac{V''_{ik} \cdot L}{2} \quad (2)$$

Sustituyendo (2) en (1) :

$$\Delta = \frac{V''_{ik} \cdot L^3}{12 EI} \quad (3)$$

Si :

V''_{ik} (Ton)

L (m)

E (kg/cm²)

I (cm⁴)

$$\Delta = \frac{\text{Ton} \cdot \text{m}^3}{\text{kg} \cdot \text{cm}^4} = \frac{\text{Ton} \cdot \text{m}^3}{\text{kg} \cdot \text{cm}^2}$$

Para obtener Δ en cm :

$$1 \text{ Ton} = 10^3 \text{ kg}$$

$$1 \text{ m} = 10^2 \text{ cm}$$

$$1 \text{ m}^3 = 10^6 \text{ cm}^3$$

$$\Delta = \frac{10^3 \text{ Ton} \cdot \text{m}^3}{\text{kg} \cdot \text{cm}^2}$$

Sustituyendo el valor del momento de inercia, correspondiente a la contratrabe en la ecuación (3), se tiene finalmente :

$$\Delta = \frac{V''ik \cdot L^3}{2828,427} ; \quad (f'c = 200 \text{ kg/cm}^2)$$

Para obtener el resultado anterior se consideró el valor del módulo de elasticidad del concreto como : $E = 10,000\sqrt{f'c}$

El asentamiento diferencial máximo, se registra en la barra 2-6 (contratrabe) y vale 0.929 cm.

De acuerdo con la tabla 7 del "Diseño y Construcción de Cimentaciones" de las Normas Técnicas Complementarias del Reglamento de Construcciones para el D. F.; el valor límite de la relación entre el asentamiento diferencial y el claro, es de : 0.004

Por lo tanto :

$$\frac{\Delta_{\text{rel.}}}{L} \leq 0.004$$

$$\frac{0.929}{385} = 0.0024 < 0.004 \quad \checkmark$$

En ninguno de los restantes nudos de la retícula de cimentación, las deformaciones diferenciales exceden los límites permisibles, y en realidad, son inapreciables; ya que no rebasan ni siquiera el centímetro.

201 31 07A100A10005 LA 000100 0210000 0000000 00 0000

5) Momentos Finales, debidos al desplazamiento de los nudos.

A continuación, se presenta en forma tabular, la obtención de los momentos, en función de los cortantes debidos al desplazamiento de todos y cada uno de los nudos de la retícula de cimentación.

Sabemos que :

$$V''_{ik} = \frac{M''_{ik} + M''_{ki}}{h_{ik}}$$

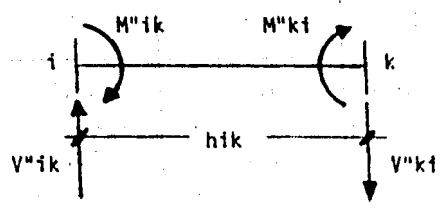
Pero :

$$M''_{ik} = M''_{ki}$$

Por lo tanto :

$$V''_{ik} = \frac{2 M''_{ik}}{h_{ik}} \text{ . despejando :}$$

$$M''_{ik} = \frac{V''_{ik} \cdot h_{ik}}{2}$$



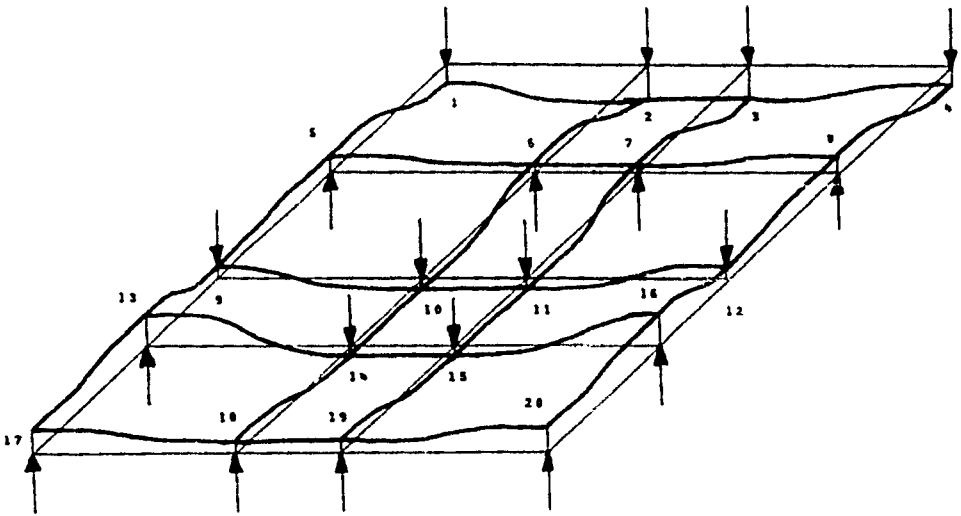
CONVENCION DE SIGNOS.



TABLA DE MOMENTOS FINALES, DEBIDOS AL DESPLAZAMIENTO DE LOS

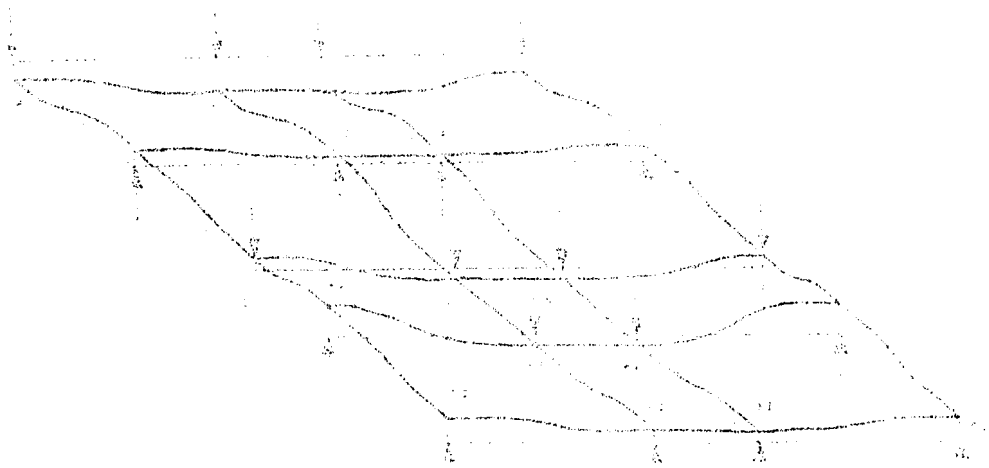
NUDOS

BARRA	V ^{"fk} (Ton)	h _{fk} (m)	M ^{"fk} (T-m)
1 - 2	+ 4.696	5.55	+ 13.031
2 - 3	0	2.5	0
5 - 1	+ 44.902	3.85	+ 86.436
6 - 2	+ 46.022	3.85	+ 88.592
5 - 6	+ 4.357	5.55	+ 12.091
9 - 5	- 6.651	2.80	- 9.311
6 - 7	0	2.50	0
10 - 6	- 39.419	2.80	- 55.187
9 - 10	+ 8.568	5.55	+ 23.776
13 - 9	+ 15.983	4.00	+ 31.966
10 - 11	0	2.50	0
14 - 10	+ 6.676	4.00	+ 13.352
13 - 14	+ 12.028	5.55	+ 33.378
17 - 13	- 0.468	3.85	- 0.901
14 - 15	0	2.50	0
18 - 14	+ 15.255	3.85	+ 29.366
17 - 18	+ 6.804	5.55	+ 18.881



CONFIGURACION ORIGINAL Y DEFORMADA DE LA RETICULA DE CIMENTACION.

11.



CAPITULO QUINTO

El diseño de todos y cada uno de los elementos (losas, nervaduras, trabes, columnas, etc.) que componen la estructura del edificio, se realizará de acuerdo a los principios básicos de diseño establecidos en el Título IV del Reglamento de Construcciones para el Distrito Federal.

DISEÑO DE ACUERDO CON EL REGLAMENTO VIGENTE DEL D. F.

El diseño de todos y cada uno de los elementos (losas, nervaduras, trabes, columnas, etc.) que componen la estructura del edificio, se realizará de acuerdo a los principios básicos de diseño establecidos en el Título IV del Reglamento de Construcciones para el Distrito Federal.

5.1.). Consideraciones Generales para el Diseño de las Losas Planas.

a). Se realizará la revisión por tensión diagonal alrededor de todas y cada una de las columnas que soportan las losas de entepiso, con el objeto de determinar la cuantía del refuerzo transversal mínimo sobre cada eje.

Quando haya transferencia de momento entre la losa y la columna, se supondrá que una fracción del momento dada por

$$\alpha = 1 - \frac{1}{1 + 0.67\sqrt{(c_1 + d) / (c_2 + d)}}$$

Se trasmite por excentricidad de la fuerza cortante total, con respecto al centroide de la sección crítica.

El esfuerzo cortante máximo de diseño; Vu, se obtendrá tomando en cuenta el efecto de la carga axial y del momento, suponiendo que los esfuerzos cortantes varían linealmente.

$$V_{AB} = \frac{V}{A_c} + \frac{M \cdot C_{AB}}{J_c}$$

- b). Se trazarán los diagramas de Momentos Flexionantes y - Fuerzas Cortantes correspondientes a Cargas Verticales y a Sismo, realizando la superposición de los mismos, - a fin de obtener las combinaciones que originen los es - fuerzos máximos.

- c). Los Momentos Flexionantes se distribuirán entre las - franjas de columna y las franjas centrales de acuerdo - con los porcentajes indicados en la tabla siguiente.

	FRANJAS DE COLUMNA	FRANJAS CENTRALES
MOMENTOS POSITIVOS	60	40
MOMENTOS NEGATIVOS	75	25

- d). En base al diseño plástico, se calculará el área neces - aria de acero de refuerzo (As) para todas y cada una - de las nervaduras que integran las franjas de columna - centrales de la losa. Para ello, se pueden utilizar - las ayudas de diseño a base de tablas o gráficas, etc.

- e). Se cuantificará la cuantía del refuerzo por tensión - diagonal para todas y cada una de las nervaduras o vi - gas. Este refuerzo será básicamente por medio de estri - bos cerrados perpendiculares u oblicuos al eje de la - pieza. En vigas de marcos que deban resistir sismo y - en cuyo diseño se use un factor de ductilidad de 2 o - mayor, debe suministrarse un refuerzo mínimo por ten - sión diagonal cuando $V_u < V_c R$. Este refuerzo estará - formado por estribos verticales de diámetro no menor - de 6.3 mm. (No. 2) espaciados $d/2$ y se colocará a par - tir de toda unión de viga con columnas o muros hasta - un cuarto del claro correspondiente.

Cuando $V_u > V_{CR}$, se requerirá refuerzo por tensión diagonal.

En este caso, el espaciamiento S , se determinará con la expresión y limitaciones siguientes:

$$S = \frac{FR Av fy d (\sin \theta + \cos \theta)}{V_u - V_{CR}} \leq \frac{FR Av fy}{3.5 b}$$

Si:

$$V_{CR} < V_u \leq 1.5 FR bd \sqrt{fc^*},$$

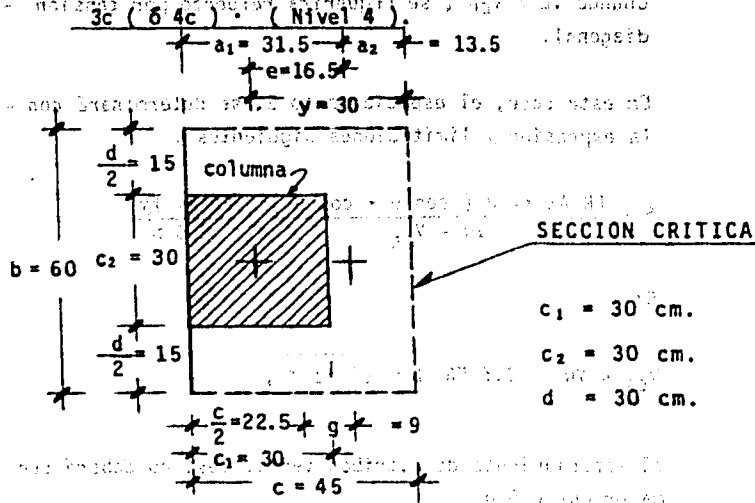
el espaciamiento de estribos verticales, no deberá ser mayor que 0.5 d.

Si V_u es mayor que $1.5 FR bd \sqrt{fc^*}$, el espaciamiento de estribos verticales no deberá ser mayor que 0.25 d.

En ningún caso se permitirá que V_u sea superior a $2.5 FR bd \sqrt{fc^*}$.

- f). Se respetarán los requisitos complementarios para diseño y construcción de estructuras de concreto, en lo referente a anclajes, espesor de desgaste, revestimientos, recubrimientos, tamaños máximos de agregados, separación entre barras individuales, paquetes de barras, dobleces del refuerzo, empalmes, etc. etc.

5.2.). REVISION POR TENSION DIAGONAL ALREDEDOR DE LA COLUMNA INTERIOR



$$c = c_1 + \frac{d}{2} = 30 + \frac{30}{2} = 45 \text{ cm.}$$

$$b = c_2 + d = 30 + 30 = 60 \text{ cm.}$$

$$A_c = (2c + b) d = (2 \times 45 + 60) 30 = 4500 \text{ cm}^2$$

$$A_c = 4500 \text{ cm}^2$$

$$g = \frac{bc}{2(2c + b)} = \frac{60 \times 45}{2(2 \times 45 + 60)} = 9 \text{ cm.}$$

$$y = c - \frac{c_1}{2} = 45 - \frac{30}{2} = 30 \text{ cm.}$$

$$a_2 = \frac{c}{2} - g = \frac{45}{2} - 9 = 13.5 \text{ cm.}$$

$$a_1 = c - a_2 = 45 - 13.5 = 31.5 \text{ cm.}$$

$$e = y - \frac{c}{2} + g = 30 - \frac{45}{2} + 9 = 16.5 \text{ cm.}$$

$$J_c = \frac{dc^3}{6} + \frac{cd^3}{6} + 2cdg^2 + bd \left(\frac{c}{2} - g \right)^2$$

$$J_c = \frac{30 \times 45^3}{6} + \frac{45 \times 30^3}{6} + 2 \times 45 \times 30 \times 9^2 + 60 \times 30 \left(\frac{45}{2} - 9 \right)^2$$

$$J_c = 1,204,875 \text{ cm}^4$$

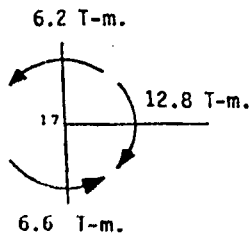
$$\alpha = 1 - \frac{1}{1 + 0.67 \sqrt{\left(c_1 + \frac{d}{2} \right) / \left(c_2 + d \right)}}$$

$$\alpha = 1 - \frac{1}{1 + 0.67 \sqrt{45/60}}$$

$$\alpha = 1 - \frac{1}{1 + 0.67 \sqrt{0.75}} = 1 - \frac{1}{1 + 0.67 (0.866)}$$

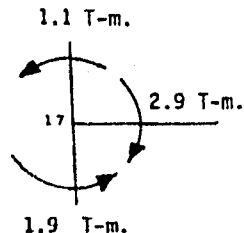
$$\alpha = 0.368$$

Fuerzas internas en condiciones de servicio



$V = 14.1 \text{ Ton.}$

Bajo CM + CV



$V = 0.9 \text{ Ton.}$

Por Sismo

Revisión bajo cargas muerta y viva

$$M_u = F_c M = 1.4 \times 12.8 = 17.9 \text{ t-m.}$$

$$V_u = F_c V = 1.4 \times 14.1 = 19.7 \text{ Ton.}$$

$$v_{u \text{ máx}} = \frac{V_u}{A_c} + \frac{\alpha M_u a_2}{J_c}$$

$$v_{u \text{ máx}} = \frac{19700}{4500} + \frac{0.368 \times 17.9 \times 10^5 \times 13.5}{12.04875 \times 10^5}$$

$$v_{u \text{ máx}} = 4.4 + 7.4 = 11.8 \text{ Kg/cm}^2.$$

Esfuerzo cortante de diseño admisible si no se usa refuerzo :

$$v = F_R \sqrt{f_c^*} = 0.8 \sqrt{160} = 10.12 \text{ Kg/cm}^2$$

$$v_{u \text{ máx}} = 11.8 > 10.12$$

Luego, se requiere refuerzo.

Revisión del esfuerzo cortante de diseño máximo admisible.

$$1.5 F_R \sqrt{f_c^*} = 1.5 \times 10.12 = 15.18 \text{ Kg/cm}^2$$

$$11.8 < 15.18$$

Revisión bajo cargas muerta, viva y sismo.

$$M_u = F_c M = 1.1 (12.8 + 3.0) = 17.4 \text{ T-m}$$

$$V_u = F_c V = 1.1 (14.1 + 0.9) = 16.5 \text{ ton.}$$

$$v_{u_{\text{máx}}} = \frac{V_u}{A_c} + \frac{\alpha M_u a_z}{J_c}$$

$$v_{u_{\text{máx}}} = \frac{16500}{4500} + \frac{0.368 \times 17.4 \times 10^5 \times 13.5}{12.04875 \times 10^5}$$

$$v_{u_{\text{máx}}} = 3.7 + 7.2 = 10.9 \text{ Kg/cm}^2$$

$$10.9 > 10.12$$

Luego, se requiere refuerzo.

Rige la condición de CM + CV y para esta se calculará el refuerzo.

Refuerzo por tensión diagonal.

$$S = \frac{F_R A_v f_y d}{V_u - V_{CR}} < \frac{F_R A_v f_y}{3.5 b}$$

$$V_u = b d v_{u_{\text{máx}}} = 60 \times 30 \times 11.8$$

$$V_u = 21,240.0 \text{ Kg.}$$

290

285

$$V_{CR} = 0.5 F_R b d \sqrt{f^*c}$$

$$V_{CR} = 0.5 \times 0.8 \times 60 \times 30 \sqrt{160}$$

$$V_{CR} = 9,107.4 \text{ Kg.}$$

$$A_v = 4 \times 0.49 = 1.96 \text{ cm}^2 \text{ (} \epsilon \# 2.5 \text{ de 4 ramas)}$$

$$S = \frac{0.8 \times 1.96 \times 4200 \times 30}{21,240.0 - 9,107.4} = 16.3 \text{ cm.}$$

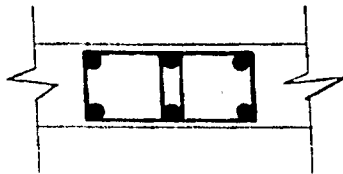
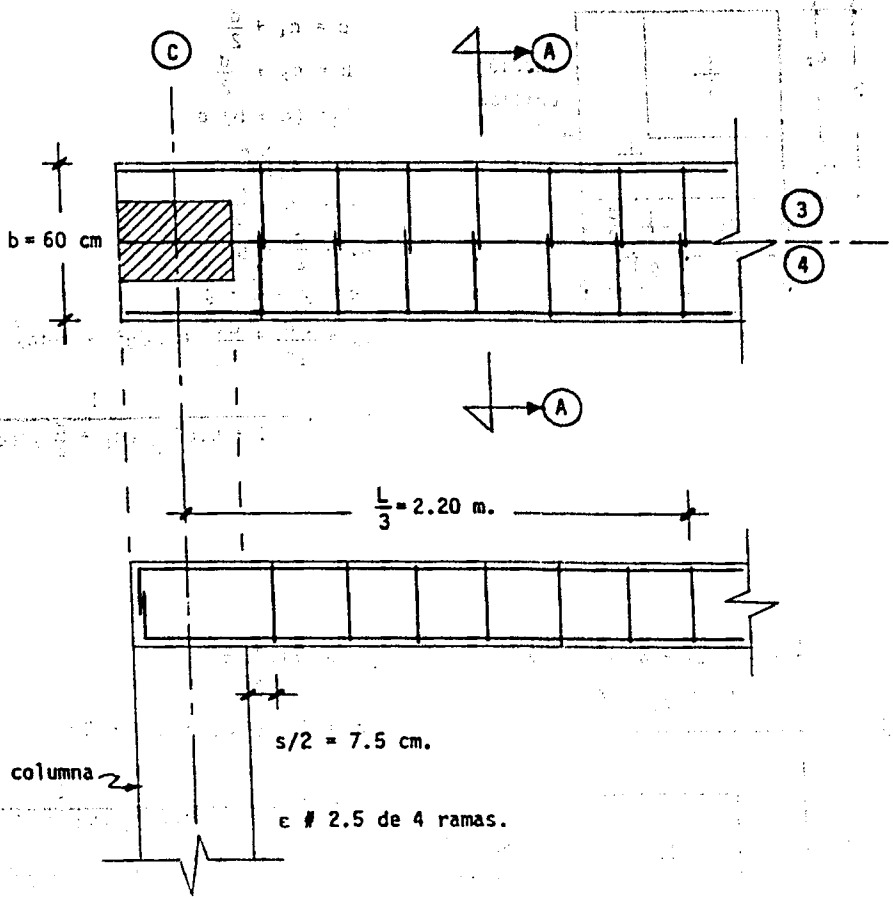
Revisión de la separación máxima.

$$\frac{F_R A_v f_y}{3.5 b} = \frac{0.8 \times 1.96 \times 4200}{3.5 \times 60} = 31.4 \text{ cm.}$$

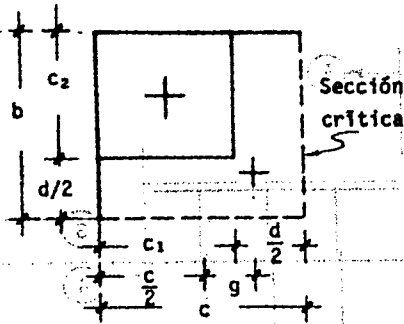
$$S_{\text{máx}} = 31.4 \text{ cm} > S = 16.3 \text{ cm.}$$

$$\frac{d}{2} = \frac{30}{2} = 15 \text{ cm.}$$

Usar $\epsilon \# 2.5$ de 4 ramas @ 15 cm. hasta un tercio del claro (6.65/3) 2.20 m.



CORTE A - A



$$c = c_1 + \frac{d}{2} \quad (3)$$

$$b = c_2 + \frac{d}{2}$$

$$A_c = (c + b) d$$

$$g = \frac{bc}{2(b+c)}$$

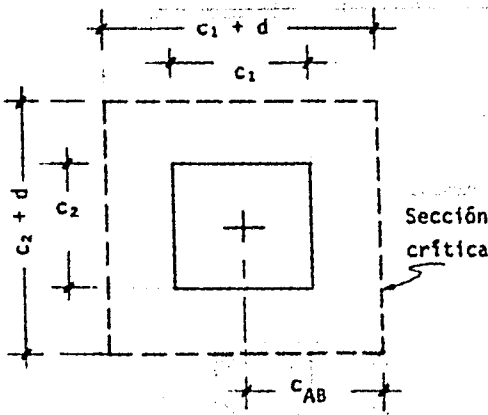
$$y = c - \frac{c_1}{2}$$

$$a_2 = \frac{c}{2} - g$$

$$e = y - \frac{c}{2} + g$$

$$J_c = \frac{cd^3}{12} + \frac{dc^3}{12} + cdg^2 + bda_2^2$$

$$\alpha = 1 - \frac{1}{1 + 0.67 \sqrt{(c_1 + \frac{d}{2}) / (c_2 + \frac{d}{2})}}$$



$$c_{AB} = \frac{c_1 + d}{2}$$

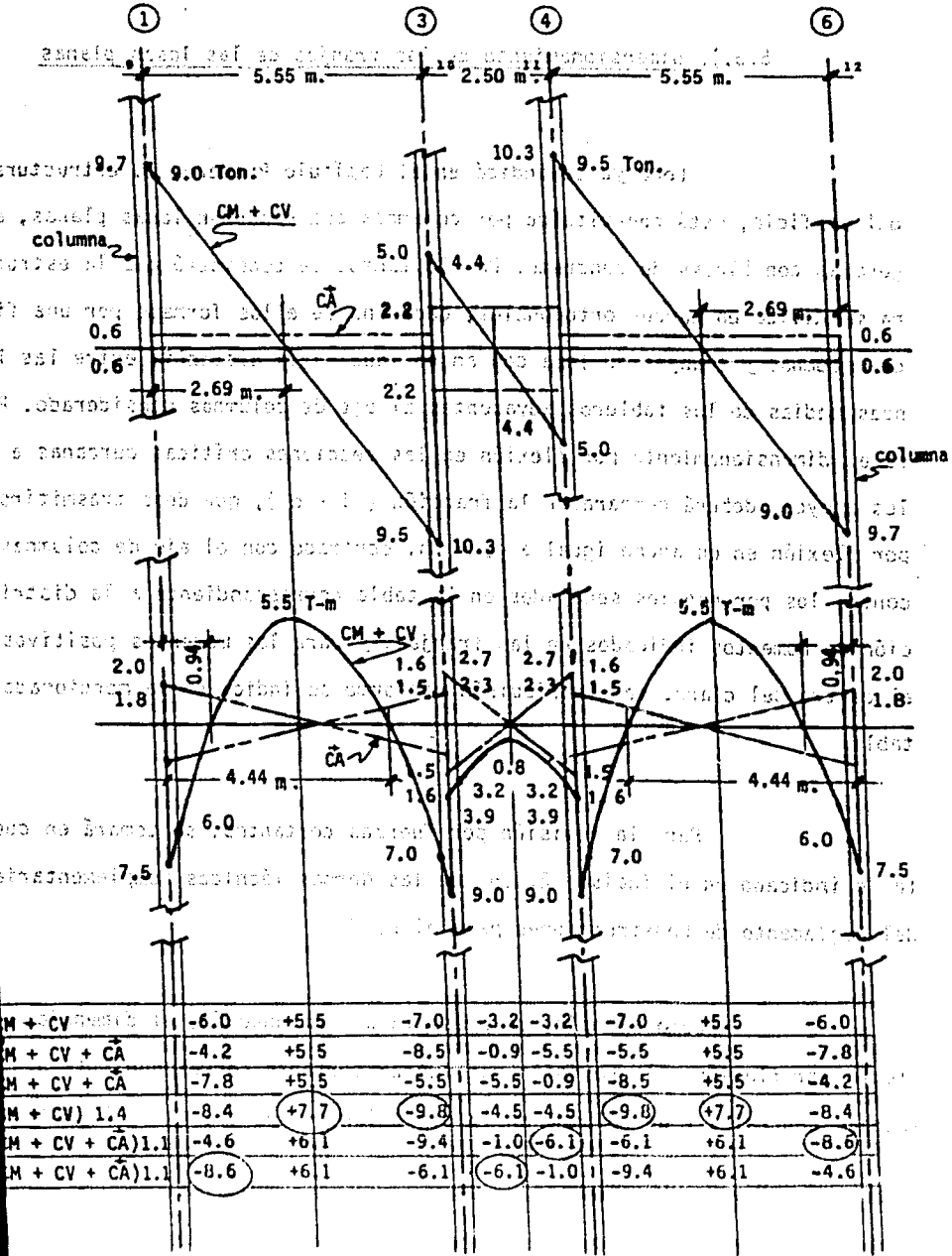
$$A_c = 2d (c_1 + c_2 + 2d)$$

$$\alpha = 1 - \frac{1}{1 + 0.67 \sqrt{(c_1 + d) / (c_2 + d)}}$$

$$J_c = \frac{d (c_1 + d)^3}{6} + \frac{(c_1 + d) d^3}{6} + \frac{d (c_2 + d) (c_1 + d)^2}{2}$$

TRANSMISION DE MOMENTOS A COLUMNAS

Revisión por tensión diagonal alrededor de columnas.



5.3.). Dimensionamiento de las franjas de las losas planas

Como ya se indicó en el Capítulo Primero, la estructura del edificio, está constituida por columnas que soportan losas planas, aligeradas con blocks de concreto. Por lo tanto, se consideró que la estructura se divide en marcos ortogonales, cada uno de ellos formado por una fila de columnas y franjas de losa con ancho igual a la distancia entre las líneas medias de los tableros adyacentes al eje de columnas considerado. Para el dimensionamiento por flexión en las secciones críticas cercanas a los apoyos, deberá compararse la fracción $(1 - \alpha)$, que debe transmitirse por flexión en un ancho igual a $c_2 + 3h$, centrado con el eje de columnas, contra los porcentajes señalados en la tabla correspondiente a la distribución de momentos indicados en las franjas, y para los momentos positivos al centro del claro, se distribuirán conforme se indica en la mencionada tabla.

Para la revisión por fuerzas cortantes, se tomará en cuenta lo indicado en el inciso 2.1.5 de las Normas Técnicas Complementarias del Reglamento de Construcciones para el D. F.

Como ejemplo, se presenta a continuación, el dimensionamiento por flexión y la revisión por fuerza cortante correspondiente a las franjas centrales y de columna en la dirección del eje E, nivel 6, entre los ejes 1 y 6.

5.3.1) Dimensionamiento por flexión en la dirección del Eje E
(Eje E) sección al ab. entre secciones de piso, según ab. entre secciones
(Nivel 6).

Sección crítica próxima al Eje 1



Momentos que debe transmitirse por flexión. (CM + CV)

$$(1 - \alpha) M_u = (1 - 0.377) 10.5$$

$$= 6.5 \text{ T-m}$$

Este Momento, debe transmitirse por flexión en un ancho:

$$c_2 + 3h = 40 + 3 \times 33 = 139 \text{ cm.}$$

(Centrado con respecto al eje de la columna)

$$b = \frac{139}{2} + 20 = 89.5 \text{ cm.}$$

Cálculo del refuerzo. (Tabla de ayudas de diseño).

$$\frac{M_R}{bd^2} = \frac{6.5 \times 10^5}{(89.5 \times 30^2)} = 8.1 \text{ Kg/cm}^2$$

$$p = p_{\min} = 0.0024$$

$$A_s = pbd = 0.0024 \times 89.5 \times 30 = 6.4 \text{ cm}^2$$

$$5 \# 4 \text{ (6.35 cm}^2 \text{)}.$$

Usar 5 vars. # 4, repartidas en un ancho de 89.5 cm., al menos tres de ellas, deben anclarse dentro de la columna (N-19).

Refuerzo en la sección crítica por flexión.

En franja de columnas.

$$0.75 \times 8.6 = 6.5 \text{ T-m} = 6.5$$

En franjas centrales

$$0.25 \times 8.6 = 2.2 \text{ T-m.}$$

pero en la franja de ancho $c_2 + 3h = 40 + 3 \times 33 = 139 \text{ cm.}$ (centrada con respecto al eje de columnas), ya se tomó un momento de : - 6.5 T-m.

$$\text{La diferencia de : } 8.6 - 6.5 = 2.1 \text{ T-m.}$$

Se repartirá en proporción a los anchos de las nervaduras no incluidas en el ancho $c_2 + 3h$ (centrado con respecto al eje de las columnas) (89.5 cm)

Nervaduras : Dos N-17, Dos N-18

$$\frac{M_R}{bd^2} = \frac{2.1 \times 10^6}{(17 + 16 + 17 + 17) 30^2} = 3.5 \text{ Kg/cm}^2$$

$$p = p_{\min} = 0.0024$$

N - 17

$$As - = pbd = 0.0024 \times 17 \times 30 = 1.2 \text{ cm}^2$$

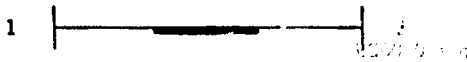
$$1 \# 4 (1.27 \text{ cm}^2).$$

N - 18

$$As - = pbd = 0.0024 \times 17 \times 30 = 1.2 \text{ cm}^2$$

$$1 \# 4 (1.27 \text{ cm}^2).$$

Dimensionamiento para el Momento Positivo Máximo en el L.



$$Mu = + 7.7 \text{ T-m.}$$

Franja de columnas.

$$Mu = 0.6 \times 7.7 = 4.6 \text{ T-m.}$$

Incluye las nervaduras : N-16, N-18 y N-19, de 17,17 y -

20 cm.

$$\frac{M_R}{bd^2} = \frac{4.6 \times 10^5}{(17 + 17 + 20) 30^2} = 9.5 \text{ kg/cm}^2$$

$$p = 0.0027$$

N - 18

$$As + = 0.0027 \times 17 \times 30 = 1.4 \text{ cm}^2$$

$$2 \# 3 (1.42 \text{ cm}^2).$$

N - 19

$$A_s + = 0.0027 \times 20 \times 30 = 1.6 \text{ cm}^2$$

$$2 \# 3 + 1 \# 2.5 (1.91 \text{ cm}^2)$$

Franja Central

$$M_u = 0.4 \times 7.7 = 3.1 \text{ T-m.}$$

Incluye las Nervaduras : N-17 y N-17 de 17 y 16 cm.

$$M_R = \frac{3.1 \times 10^8}{b d^2 (17 + 16) 30^2} = 10.4 \text{ Kg/cm}^2$$

$$p = 0.0029$$

N - 17

$$A_s + = 0.0029 \times 17 \times 30 = 1.5 \text{ cm}^2$$

$$2 \# 3 (1.42 \text{ cm}^2)$$

Sección crítica próxima al Eje 3-1



Momento que debe transmitirse por flexión :

$$(C_M + C_V + C_A)$$

$$(1 - \alpha) M_u = (1 - 0.412) 10.3 = 6.1 \text{ T-m.}$$

Este Momento, debe transmitirse por flexión en un ancho :

$$c_2 + 3h = 40 + 3 \times 33 = 139 \text{ cm.}$$

$$A_s = p b d = 0.0024 \times 17 \times 30 = 1.2 \text{ cm}^2$$

(1 # 4) (1.27 cm²). E n S

N - 18

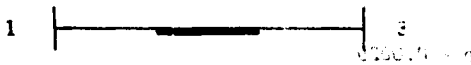
Estimación

$$A_s = p b d = 0.0024 \times 17 \times 30 = 1.2 \text{ cm}^2$$

1 # 4 (1.27 cm²).

uso de 11 en N-18 y N-19 : conveniencia del empleo

Dimensionamiento para el Momento Positivo Máximo en el 4.



$$M_u = + 7.7 \text{ T-m.}$$

$$M_R = 4.6$$

Franja de columnas.

$$M_u = 0.6 \times (7.7)^2 = 4.6 \text{ T-m.}$$

20 cm.

$$\frac{M_R}{b d^2} = \frac{4.6 \times 10^5}{(17 + 17 + 20) 30^2} = 9.5 \text{ Kg/cm}^2$$

$$p = 0.0027$$

N - 18

$$A_s = p b d = 0.0027 \times 17 \times 30 = 1.4 \text{ cm}^2$$

2 # 3 (1.42 cm²).

N - 19

$$As + = 0.0027 \times 20 \times 30 = 1.6 \text{ cm}^2$$

$$2 \# 3 + 1 \# 2.5 (1.91 \text{ cm}^2) .$$

Franja Central

$$Mu = 0.4 \times 7.7 = 3.1 \text{ T-m.}$$

Incluye las Nervaduras : N-17 y N-17 de 17 y 16 cm.

$$M_R = \frac{3.1 \times 10^5}{b d^2 (17 + 16) 30^2} = 10.4 \text{ Kg/cm}^2$$

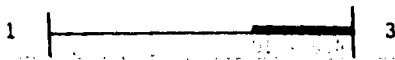
$$p = 0.0029$$

$$\underline{N - 17}$$

$$As + = 0.0029 \times 17 \times 30 = 1.5 \text{ cm}^2$$

$$2 \# 3 (1.42 \text{ cm}^2)$$

Sección crítica próxima al Eje 3'



Momento que debe transmitirse por flexión :

$$(CM + CV + \vec{CA}) .$$

$$(1 - \alpha) Mu = (1 - 0.412) 10.3 = 6.1 \text{ T-m.}$$

Este Momento, debe transmitirse por flexión en un ancho :

$$c_2 + 3h = 40 + 3 \times 33 = 139 \text{ cm.}$$

(centrado con respecto al eje de las columnas).

$$b = \frac{139}{2} + 20 = 69.5 + 20 = 89.5 \text{ cm.}$$

Cálculo del Refuerzo (Tabla de Ayudas de Diseño)

$$\frac{M_R}{bd^2} = \frac{6.1 \times 10^5}{89.5 \times 30^2} = 7.6 \text{ Kg/cm}^2$$

Refuerzo en la sección crítica por flexión.

En franjas de columna.

$$0.75 \times 9.8 = 7.4 \text{ T-m} > 6.1 \text{ Pico}$$

En franjas centrales

$$0.25 \times 9.8 = 2.5 \text{ T-m.}$$

Franja de Columnas:

Incluye las nervaduras

20 cm.

$$\frac{M_R}{bd^2} = \frac{7.4 \times 10^5}{(17 + 17 + 20) \times 30^2} = 15.2 \text{ Kg/cm}^2$$

$$p = 0.0043$$

$$N = 18$$

$$A_s = pbd = 0.0043 \times 17 \times 30 = 2.1 \text{ cm}^2$$

$$2 \# 4 \quad (2.54 \text{ cm}^2).$$

N - 19

$$As - = 0.0043 \times 20 \times 30 = 2.6 \text{ cm}^2$$

$$2 \# 4 \quad (2.54 \text{ cm}^2).$$

Franja Central

Incluye las nervaduras : N-17 y N-17, de 17 y 16 cm.

$$\frac{M_R}{bd^2} = \frac{2.5 \times 10^5}{(17 + 16) 30^2} = 8.4 \text{ Kg/cm}^2$$

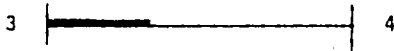
$$p = P_{\min} = 0.0024$$

N - 17

$$As - = pbd = 0.0024 \times 17 \times 30 = 1.2 \text{ cm}^2$$

$$1 \# 4 \quad (1.27 \text{ cm}^2).$$

Sección crítica próxima al Eje 3.



Momento que debe transmitirse por flexión :

$$(CM + CV + CA).$$

$$(1 - \alpha) Mu = (1 - 0.412) 10.3 = 6.1 \text{ T-m.}$$

Este momento, debe transmitirse por flexión en un ancho :

$$c_s + 3h = 40 + 3 \times 33 = 139 \text{ cm}$$

(centrado con respecto al eje de columnas).

$$b = \frac{139}{2} + 20 = 89.5 \text{ cm}$$

Cálculo del Refuerzo (Tabla de Ayudas de Diseño).

$$\frac{M_R}{b d^2} = \frac{6.1 \times 10^5}{89.5 \times 30^2} = 7.8 \text{ Kg/cm}^2$$

$$p = p_{min} = 0.0024$$

$$A_s = p b d = 0.0024 \times 89.5 \times 30$$

$$A_s = 6.4 \text{ cm}^2$$

$$5 \# 4 \text{ (} 6.35 \text{ cm}^2 \text{)}$$

Usar 5 vars. # 4 repartidas en un ancho de 89.5 cm al menos tres de ellas, deben anclarse dentro de la columna h=40.

Refuerzo en la sección crítica por flexión.

En franjas de columnas.

$$0.75 \times 6.1 = 4.6 \text{ T-m} < 6.1$$

En franja central

$$0.25 \times 6.1 = 1.5 \text{ T-m}$$

Pero en la franja $c_2 + 3h$ (centrada con respecto al eje de columnas) ya se tomó un momento de $6.1 > 4.6$. La diferencia de $6.1 - 4.6 = 1.5$ (Por ser nula), armaremos las nervaduras : N-17, N-18 con el % min. de acero.

N - 17

$$A_s = \rho b d = 0.0024 \times 17 \times 30 = 1.2 \text{ cm}^2$$

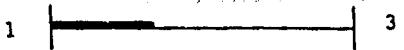
1 # 4 (1.27 cm²)

N - 18

$$A_s = \rho b d = 0.0024 \times 17 \times 30 = 1.2 \text{ cm}^2$$

1 # 4 (1.27 cm²)

5.3.2) Revisión por Fuerza Cortante



$b = 55 \text{ cm}$

$\rho = 0.0024$

$$V_{CR} = F_R b d (0.2 + 30 \rho) \sqrt{f'c}$$

$$V_{CR} = 0.8 \times 55 \times 30 (0.2 + 30 \times 0.0024) \sqrt{160}$$

$V_{CR} = 4,541.5 \text{ Kg.}$

$$V_{u_{cv}} = 9.0 \times 1.4 = 12.6 \text{ Ton} \quad \text{Rige } \checkmark$$

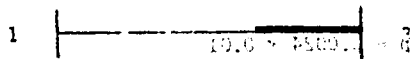
$$V_{u_s} = \frac{9.0 + 0.6}{1.1} = 10.6 \text{ Ton.}$$

Con e # 2 de 4 ramas.

$$S = \frac{F_R \cdot A_v \cdot f_{yd}}{V_u - V_{CR}} = \frac{0.8 \times 11.28 \times 2530 \times 30}{12.600 - 5454.95}$$

$$S = 9.6 \text{ cm.} < 15 \text{ cm.}$$


Se dejarán e # 2 de 4 ramas @ 9 cm. hasta un tercio del claro (5.55/3) 1.85 mts.



$$V_{CR} = 55 \text{ (cm}^2 \times 50) \times 0.01 \times 50$$

$$p = 0.0043 \times 50 \times 0.01 \times 50$$

$$V_{CR} = F_R \cdot b_w \cdot (0.8 + 30p) \sqrt{f_c}$$

$$V_{CR} = 0.8 \times 55 \times 50 \cdot (0.8 + 30 \times 0.0043) \sqrt{50}$$

$$V_{CR} = 5,493.3 \text{ Kg.}$$

$$V_{u_{cv}} = 9.5 \times 1.4 = 13.3 \text{ Ton.} \quad \text{Rige } \checkmark$$

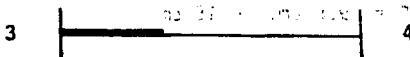
$$V_{u_s} = (9.5 + 0.6) 1.1 = 11.1 \text{ Ton.}$$

Con e # 2 de 4 ramas.

$$S = \frac{F_R A_v f_y d}{V_u - V_{CR}} = \frac{0.8 \times 1.28 \times 2530 \times 30}{13,300 - 5493.3}$$

$$S = 10.0 \text{ cm.} < 15 \text{ cm.}$$

Se dejarán e # 2 de 4 ramas @ 10 cm. hasta un cuarto del claro (5.55/4) 1.39 mts.



$$b = 55 \text{ cm.}$$

$$p = 0.0024 < 0.01$$

$$V_{CR} = F_R b d (0.2 + 30 p) \sqrt{f_c}$$

$$V_{CR} = 0.8 \times 55 \times 30 (0.2 + 30 \times 0.0024) \sqrt{160}$$

$$V_{CR} = 4,541.5 \text{ Kg.}$$

$$V_{u_{cv}} = 4.4 \times 1.4 = 6.2 \text{ Ton.}$$

$$V_{u_s} = (4.4 + 2.2) 1.1 = 7.3 \text{ Ton.} \quad \text{Rige} \quad \checkmark$$

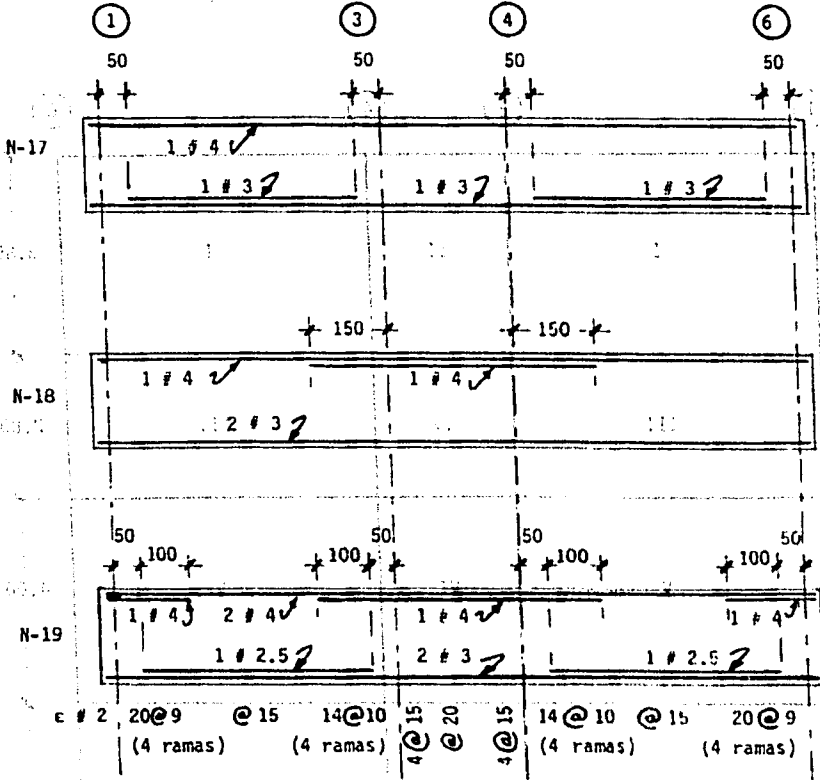
Con e # 2 de 4 ramas.

$$S = \frac{F_R A_v f_y d}{V_u - V_{CR}} = \frac{0.8 \times 1.28 \times 2530 \times 30}{7,300.0 - 4541.5}$$

$$S = 28.2 \text{ cm} > 15 \text{ cm.}$$

Se usarán c. # 2 de 4 ramas @ 15 cm. hasta un cuarto del claro correspondiente (2.50/4) 0.60 mts.

Todos los apoyos son rígidos con la base y libre de rotación. La base está expuesta al viento de los 25 mts.



- Acotaciones en centímetros

Los armados de las nervaduras correspondientes a los niveles 6 y 8, serán iguales, en virtud de la semejanza entre fuerzas cortantes y momentos flexionantes debidos a carga vertical y sismo, escogiendo en cada caso, los esfuerzos más desfavorables.

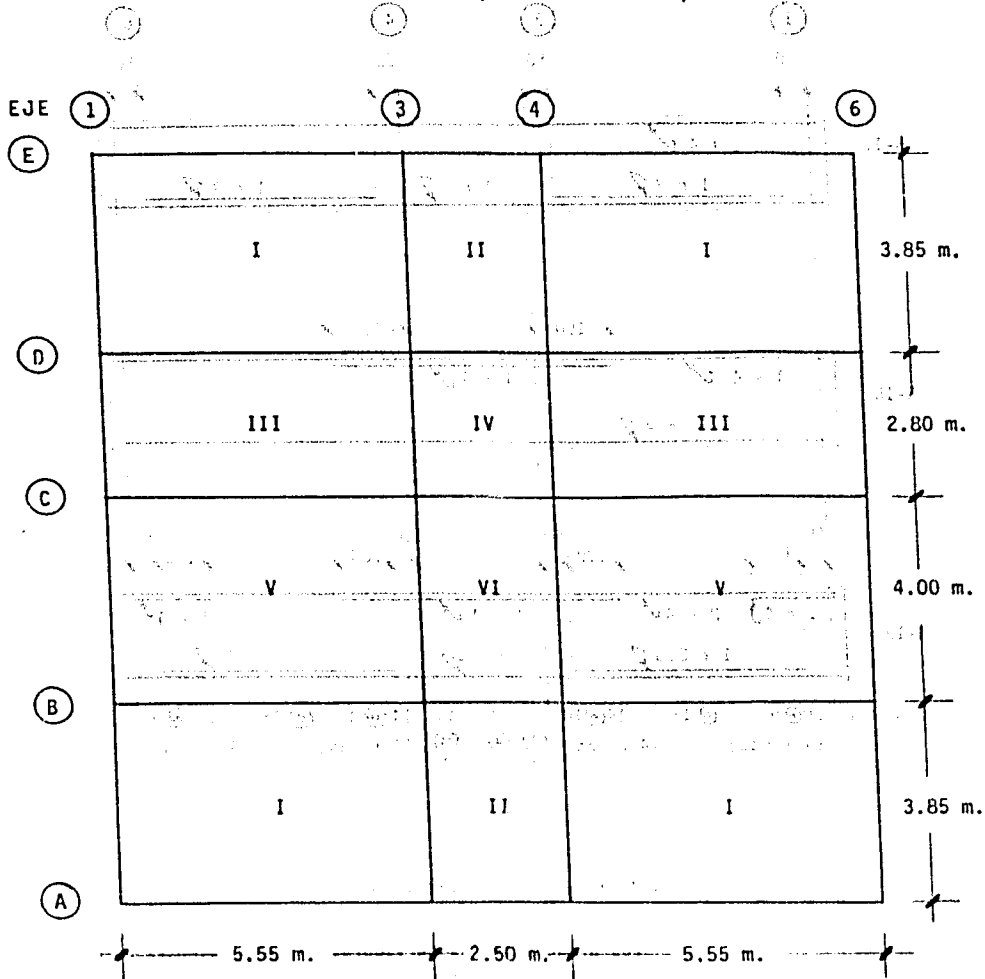
UNE

5.4.) Diseño de la losa de cimentación.

El tipo de apoyo es de tipo empotrado.

Los apoyos son monolíticos con la losa y tienen 25 cm. de ancho.

La losa está expuesta a la intemperie.



MATERIALES

$$f'c = 200 \text{ Kg/cm}^2$$

$$f_y = 4200 \text{ Kg/cm}^2$$

CONSTANTES

$$f_c^* = 0.8 f'c = 0.8 \times 200 = 160 \text{ Kg/cm}^2 \quad (\text{ec. 1.8})$$

$$f_c'' = 0.85 f_c^* = 0.85 \times 160 = 136 \text{ Kg/cm}^2 \quad (\text{ec. 2.3})$$

$$P_{m\acute{a}x} = P_{bal} = \frac{f_c''}{f_y} \cdot \frac{4800}{f_y + 6000} = \frac{136}{4200} \cdot \frac{4800}{4200 + 6000} \quad (\text{ec. 2.2})$$

$$P_{m\acute{a}x} = P_{bal} = 0.0152 \quad (\text{ec. 2.4})$$

ESTIMACIONES PRELIMINARES

Estimaci3n de la carga

En base a las descargas por columna y al peso propio de las losas de piso del estacionamiento, de cimentaci3n, etc.; la losa de cimentaci3n, se dise1ar1 para una carga uniformemente repartida:

$$\bar{w} = 8.0 \text{ ton/m}^2$$

Factor de carga : 1.4

Estimaci3n del peralte

Peralte efectivo m3nimo (Tablero cr3tico V).

$$d = \frac{2(400 + 555)}{300} = 6.37 \text{ cm.}$$

DISEÑO

Si :

 $f_{ms} = 0.6 f_y$

$$f_s = 0.6 f_y = 0.6 \times 4200 = 2520 \text{ Kg/cm}^2$$

$$2520 \text{ Kg/cm}^2 > 2000 \text{ Kg/cm}^2$$

$$y : \bar{w} = 8000 \text{ Kg/m}^2 > > 380 \text{ Kg/m}^2$$

$$d_{\min} = 0.034 \sqrt{f_s \bar{w}} = d$$

$$d_{\min} = 0.034 \times 6.37 \sqrt{2520 \times 8000}$$

$$d_{\min} = 14.5 \text{ cm.}$$

recubrimiento : 5 cm.

$$h = 14.5 + 5 = 19.5 \rightarrow 20 \text{ cm.}$$

Revisión por flexión del peralte propuestoSe debe cumplir : $p \leq p_{\max}$

Se revisará con el momento negativo en el claro - corto del Tablero V.

$$m = a_1/a_2 = 400/555 = 0.72$$

De la tabla 4.1 se obtiene; interpolando linealmente:

$$K = 0.0442$$

$$M_u = K W_u a^2 = 0.0442 \times 1.4 \times 8.0 \times 4^2$$

$$M_u = 7.92 \text{ Ton-m.}$$

$$p = 0.000,01 \times 0,7 \times 0,011,01 = 0,007$$

Cálculo de p (Tabla de ayudas de diseño).

AYUDAS POR ESTADIMADICAMENTE + SUCUMPA

$$\frac{M_R}{bd^2} = \frac{7.92 \times 10^5}{100 \times 15^2} = 35.2 \text{ Kg/cm}^2$$

en caso de ser posible con el coeficiente de reducción de

(en caso de)

$$p = 0.0113 < p_{\text{máx}} = 0.0152$$

el peralte supuesto, es aceptable por flexión.

no es necesario aumentar el peralte.

Revisión por fuerza cortante del peralte supuesto.

(construcción ordinaria) en caso de

La fuerza cortante máxima, ocurre en este caso, en el claro corto del Tablero V.

$$V_u = \frac{(0.5 a_1 - c) W_u}{1 + \left(\frac{a_1}{a_2}\right)^2} = \frac{(0.5 \times 2.00 - 0.15) \times 1.4 \times 8.0}{1 + \left(\frac{4.00}{5.00}\right)^2}$$

$$V_u = 10,067.0 \text{ Kg}$$

Resistencia de diseño :

$$V_{CR} = 0.5 F_R b c \sqrt{f'c} = 0.5 \times 0.2 \times 100 \times 15 \sqrt{100}$$

$$V_{CR} = 7589.5 \text{ Kg} < 10,067.0 \text{ Kg}$$

Se debe incrementar el peralte a :

$$h = 25 \text{ cm} ; d = 20 \text{ cm.}$$

$$V_{CR} = 0.5 \times 0.8 \times 100 \times 20 \sqrt{160}$$

$$V_{CR} = 10,119.0 \text{ Kg} > V_u = 10,067.0 \text{ Kg}$$

ANÁLISIS Y DIMENSIONAMIENTO POR FLEXIÓN.

(Los cálculos se refieren a una franja de un metro de ancho).

Peraltes efectivos

$$\text{Refuerzo positivo : } d = h - r = 25 - 5 = 20 \text{ cm.}$$

$$\text{Refuerzo negativo : } d = h - r = 25 - 5 - 2 = 18 \text{ cm.}$$

Refuerzo mínimo (por cambios volumétricos).

$$a_{sm} = \frac{450 X_1}{f_y (X_1 + 100)} = \frac{450 \times 25}{4200 (25 + 100)} \quad (\text{ec. 3.3})$$

$$a_{sm} = 0.021 \text{ cm}^2/\text{cm.}$$

En un ancho de 100 cm.

$$A_{s_{\min}} = 0.021 \times 100 = 2.1 \text{ cm}^2/\text{m}$$

Con barras # 4, a ésta área corresponde una separación de :

$$s = \frac{100 a_s}{A_s} = \frac{100 \times 1.27}{2.1} = 60.4 \text{ cm.}$$

3.5 h = 3.5 x 25 = 87 cm.

Pero : $S_{m\acute{a}x}$.

Sección (cm)	Distancia (cm)					
01	000.0	000.0	000.0	000.0	000.0	000.0
01	000.0	000.0	000.0	000.0	000.0	000.0
10	000.0	000.0	000.0	000.0	000.0	000.0
20	000.0	000.0	000.0	000.0	000.0	000.0
30	000.0	000.0	000.0	000.0	000.0	000.0
40	000.0	000.0	000.0	000.0	000.0	000.0
50	000.0	000.0	000.0	000.0	000.0	000.0
60	000.0	000.0	000.0	000.0	000.0	000.0
70	000.0	000.0	000.0	000.0	000.0	000.0
80	000.0	000.0	000.0	000.0	000.0	000.0
90	000.0	000.0	000.0	000.0	000.0	000.0

Se usará una separación máxima de 50 cm.

Valores de $W_u a_1^2$ (Ton/m²) y de a_1/a_2 .

TABLERO	I	II	III	IV	V	VI
Tipo	De esquina	De borde, un lado corto - discontinuo	De borde, un lado corto - discontinuo	Interior	De borde, un lado corto - discontinuo	Interior
a_1 (m)	3.60	2.25	2.55	2.25	3.75	2.25
$W_u a_1^2$	145.15	56.70	72.83	56.70	157.50	56.70
a_1/a_2	0.679	0.625	0.481	0.849	0.707	0.630

TABLA DE MOMENTOS Y SEPARACION DE VARILLAS

TABLERO	MOMENTO	CLARO	COEFICIENTE K	$M_u = K W_u a_1^2$ (Ton-m)	Momento ajustado	Separación teórica, s (cm)	
I	Neg. en bordes interiores	corto	0.0683	9.914	8.348	10	
		largo	0.0434	6.300			
	Neg. en bordes discontinuos	corto	0.0286	4.151	5.399	16	
		largo	0.0239	3.469			
	Positivo	corto	0.0269	3.905	28	28	
		largo	0.0143	2.076			
II	Neg. en bordes interiores	corto	0.0492	2.790	4.229	21	
		largo	0.0386	2.189			
	Neg. en bordes discontinuos	largo	0.0245	1.389	2.091	28	
		corto	0.0279	1.582			
	Positivo	corto	0.0136	0.771	28	28	
		largo	0.0136	0.771			
III	Neg. en bordes interiores	corto	0.0584	4.253	6.641	13	
		largo	0.0413	3.008			
	Neg. en bordes discontinuos	largo	0.261	1.901	2.700	28	
		corto	0.0340	2.476			
	Positivo	corto	0.0143	1.041	28	28	
		largo	0.0143	1.041			
IV	Neg. en bordes interiores	corto	0.0357	2.024	2.372	28	
		largo	0.0334	1.894			
	Positivo	corto	0.0175	0.992	2.002	28	
		largo	0.0128	0.726			
	V	Neg. en bordes interiores	corto	0.0447	7.040	7.979	10
			largo	0.0370	5.828		
Neg. en bordes discontinuos		largo	0.0235	3.701	5.064	16	
		corto	0.0237	3.733			
Positivo		corto	0.0133	2.095	28	28	
		largo	0.0133	2.095			
VI	Neg. en bordes interiores	corto	0.0489	2.773	4.046	21	
		largo	0.0391	2.217			
	Positivo	corto	0.0268	1.520	2.325	28	
		largo	0.0134	0.760			

AJUSTE DE MOMENTOS

Momentos Teóricos

EJE	(1) h (cm)	(2) I (cm ⁴)	(3) I^2 (cm ⁸)	e (cm)	ORDEN
(E)	I 229.24	600	360000	0	I
	688.00	6.300	2.790	0	II
	530.9:914	881	2.189	0	III
(D)	4.253	3.008	1.894	0	IV
	4:253	881	1.894	0	V
(C)	7.040	881	2.217	0	VI
	7.040	5.823	2.773	0	VII
(B)	9.914	881	2.217	0	VIII
	9.914	881	2.189	0	IX
(A)	229.24	600	360000	0	X

Distribución de Momentos

TABLERO	d (cm)	d ³ (cm ³)	a ₁ (cm)	Rigidez d ³ /a ₁
I	20	8000	360	22.222
II	20	8000	225	35.555
III	20	8000	255	31.373
IV	20	8000	225	35.555
V	20	8000	375	21.333
VI	20	8000	225	35.555

Ajuste de momentos

A continuación, se ejemplifica la distribución de momentos entre los Tableros I-II; I-III; II-IV y III-IV

Distribución entre Tableros I y II

Momentos de desequilibrio = 6.3 - 2.790 = 3.51 T-m

Momento a distribuir = $\frac{2}{3} \times 3.51 = 2.34$ T-m

TABLERO	RIGIDEZ	FACTOR
I	22.222	0.385
II	35.555	0.615
	57.777	1.000

Distribución		ORIGEN
I	II	
+ 6.300	-2.790	II.
- 0.901	-1.439	VI
+ 5.399	-4.229	

momentos ajustados.

Distribución entre Tableros I y III

Momentos de desequilibrio = 9.914 - 4.253 = 5.661 T-m

Momento a distribuir = $\frac{2}{3} \times 5.661 = 3.774$ T-m

TABLERO	RIGIDEZ	FACTOR
I	22.222	0.415
III	31.373	0.585
	53.595	1.000

Distribución

I	III
+ 9.914	- 4.253
- 1.566	- 2.208
+ 8.348	- 6.641

momentos ajustados.

Distribución entre Tableros II y IV

Momento de desequilibrio = 2.189 - 1.894 = 0.295 T-m

Momento a distribuir = $\frac{2}{3} \times 0.295 = 0.197$ T-m

TABLERO	RIGIDEZ	FACTOR
II	35.555	0.500
IV	35.555	0.500
	71.110	1.000

Distribución

II	IV
+ 2.189	- 1.894
- 0.099	- 0.099
+ 2.091	- 1.993

momentos ajustados

Distribución entre Tableros III y IV

Momento de desequilibrio = 3.008 - 2.024 = 0.984 T-m

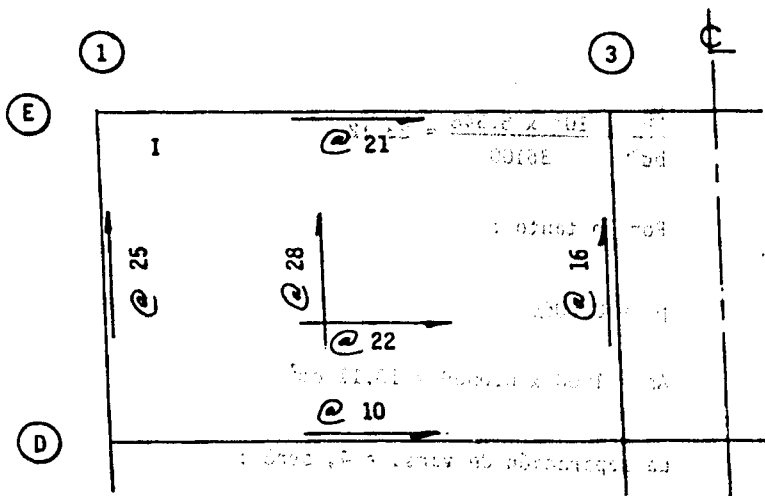
Momento a distribuir = $\frac{2}{3} \times 0.984 = 0.656$ T-m

TABLERO	RIGIDEZ	FACTOR
III	31.373	0.469
IV	35.555	0.531
	66.928	1.000

Distribución

III	IV
+ 3.008	- 2.024
- 0.308	- 0.348
+ 2.700	- 2.372

momentos ajustados



Las separaciones teóricas entre las varillas de refuerzo de la losa de cimentación, se obtuvieron aplicando la tabla de: "Momentos Resistentes de Secciones Rectangulares", para obtener los porcentajes de acero correspondientes.

Considerando una franja de 100 cm. de ancho y un peralte efectivo de 19 cm.

$$\frac{M_R}{bd^2} = \frac{M_R \times 10^5}{100 \times 19^2} = \frac{10^5 M_R}{35,100}$$

$$A_s = pbd = p \times 100 \times 19 = 1900 p.$$

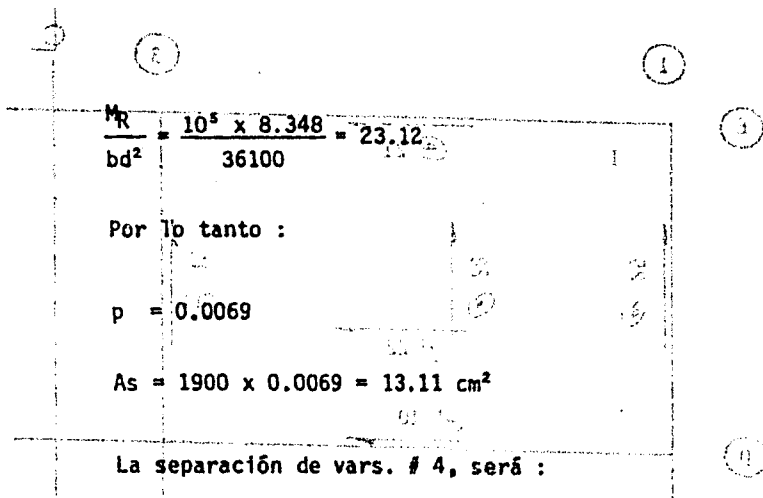
$$s = \frac{100 a_s}{A_s} = \frac{100 \times 1.27}{A_s} = \frac{127}{A_s}$$

TABLERO I

Negativo en bordes interiores

Claro corto :

$$M_U = 8.348 \text{ T-m}$$



$$s = \frac{127}{13.11} = 9.68 + 10 \text{ cm.}$$

Claro largo

$$M_u = 5.399 \text{ T-m}$$

$$\frac{M_R}{bd^2} = \frac{10^5 \times 5.399}{36100} = 14.955$$

$$p = 0.0043$$

$$A_s = 1900 \times 0.0043 = 8.17 \text{ cm}^2$$

$$s = \frac{127}{8.17} = 15.5 + 16 \text{ cm.}$$

Negativo en bordes discontinuos

Claro corto :

$$M_u = 4.151 \text{ T-m}$$

$$M_R = \frac{4.151 \times 10^5}{36100} = 11.498$$

$$p = 0.0032$$

$$A_s = 1900 \times 0.0032 = 6.08 \text{ cm}^2$$

$$s = \frac{127}{6.08} = 20.9 \rightarrow 21 \text{ cm}$$

$$\text{Claro largo} = \frac{M_u}{p \cdot b \cdot d} = \frac{3.469}{0.0032 \cdot 1900} = 0.57 \text{ m}$$

$$M_u = 3.469 \text{ T-m}$$

$$\frac{M_R}{bd^2} = \frac{3.469 \times 10^5}{36100} = 9.609$$

$$p = 0.0027$$

$$A_s = 1900 \times 0.0027 = 5.13 \text{ cm}^2$$

condici3n de dise1o de la secci3n de concreto armado para el claro corto se debe considerar el momento de dise1o en el centro del claro.

Positivo al centro del claro

Claro corto

$$M_u = 3.905 \text{ T-m}$$

$$\frac{M_R}{bd^2} = \frac{3.905 \times 10^5}{36100} = 10.817$$

$$p = 0.0031$$

$$A_s = 1900 \times 0.0031 = 5.89 \text{ cm}^2$$

$$s = \frac{127}{5.89} = 21.6 \rightarrow 22 \text{ cm.}$$

Claro largo

$$M_u = 2.076 \text{ T-m}$$

$$\frac{M_R}{bd^2} = \frac{2.076 \times 10^5}{36100} = 5.750$$

$$\rho = \rho_{\min} = 0.0024$$

$$A_s = 1900 \times 0.0024 = 4.56 \text{ cm}^2$$

$$s = \frac{127}{4.56} = 27.9 \rightarrow 28 \text{ cm.}$$

En forma semejante, se obtuvieron las separaciones teóricas en todos y cada uno de los Tableros de la losa de cimentación. Estas separaciones, se ajustaron, con el objeto de dar separaciones prácticas para el armado.

MOMENTOS RESISTENTES DE SECCIONES RECTANGULARES

para $\rho = 0.0152$ (distribución de ρ de 0.01 a 0.02)

M_R/bd^2 (Kg/cm²) (ver p. 61)

P	0.0000	0.0001	0.0002	0.0003	0.0004	0.0005	0.0006	0.0007	0.0008	0.0009
0.002					8.74	9.09	9.43	9.76	10.13	10.47
0.003	10.81	11.16	11.50	11.84	12.18	12.51	12.85	13.19	13.57	13.85
0.004	14.19	14.52	14.85	15.17	15.50	15.83	16.15	16.48	16.80	17.12
0.005	17.44	17.76	18.08	18.39	18.71	19.02	19.34	19.65	19.96	20.27
0.006	20.58	20.89	21.19	21.50	21.80	22.10	22.41	22.71	23.01	23.30
0.007	23.60	23.90	24.19	24.48	24.78	25.07	25.36	25.65	25.93	26.22
0.008	26.50	26.79	27.07	27.35	27.63	27.91	28.19	28.47	28.74	29.02
0.009	29.29	29.56	29.84	30.11	30.37	30.64	30.91	31.17	31.44	31.70
0.010	31.96	32.22	32.48	32.74	33.00	33.25	33.51	33.76	34.02	34.27
0.011	34.52	34.77	35.01	35.26	35.51					

$$f'_c = 200 \text{ kg/cm}^2$$

$$f_y = 4200 \text{ kg/cm}^2$$

$$\rho_b = \frac{f'_c}{f_y} \frac{4800}{f_y + 6000} = 0.0152 ; \rho_{\text{mín}} = \frac{0.7}{f_y} \frac{f'_c}{f_y} = 0.0024$$

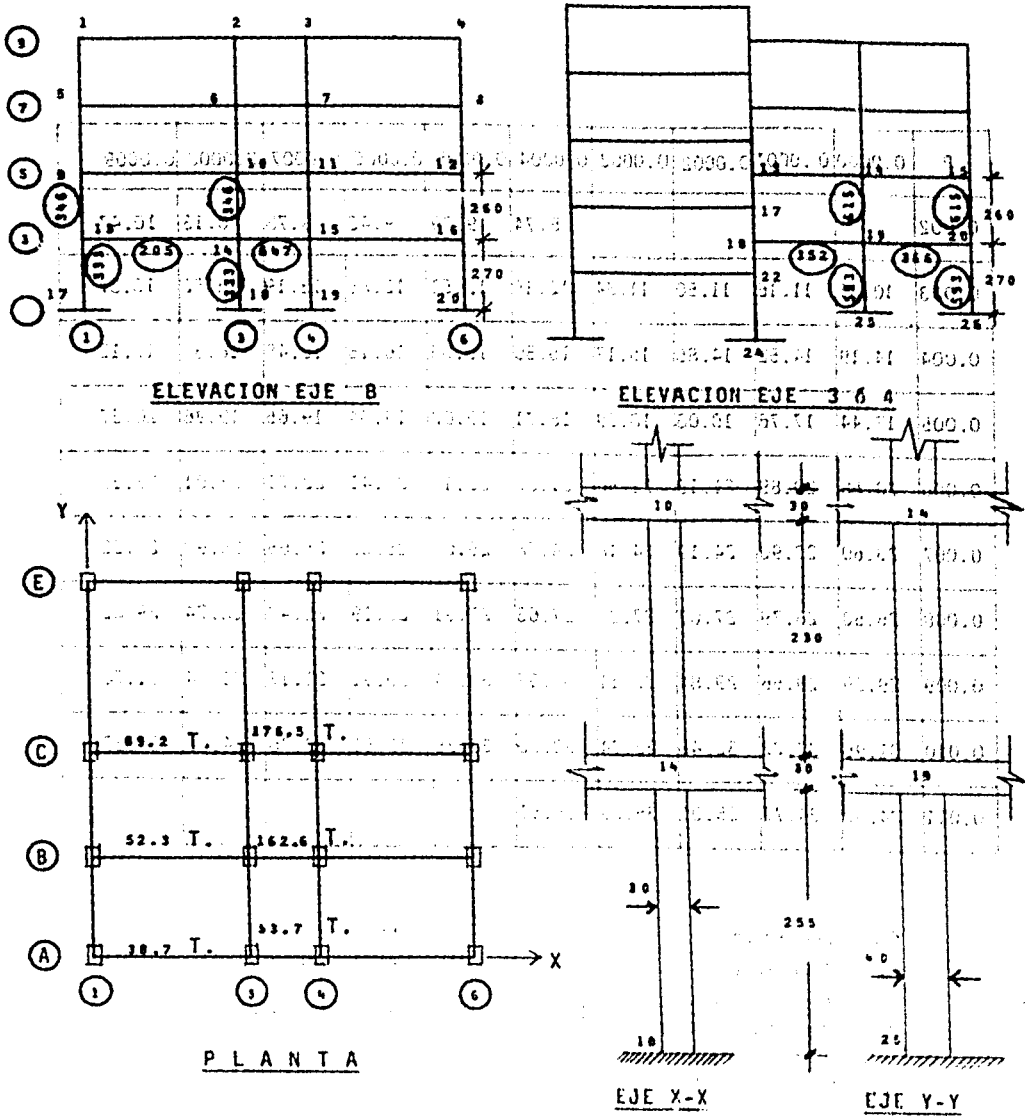
$$\rho_{\text{máx}} = 0.75 \rho_b = 0.0114$$

$$f'_c = 100 \text{ kg/cm}^2$$

$$f_y = 1300 \text{ kg/cm}^2$$

5.5) Dimensionamiento de una columna por flexocompresión.

(Columna 3B ó 3C, Estacionamiento), bajo cargas muerta, viva y sismo)



Fuerzas internas de diseño

	Extremo Inferior	Extremo Superior
Dirección X.	$P_u = 162.6 \text{ Ton.}$	
CM + CV.	$M_u = 1.3 \text{ T-m}$	$M_u = 2.5 \text{ T-m}$
CA (Sismo).	$M_u = 3.1 \text{ T-m}$	$M_u = 3.7 \text{ T-m}$
Dirección Y.	$P_u = 162.6 \text{ Ton.}$	
CM + CV.	$M_u = 0.3 \text{ T-m}$	$M_u = 1.1 \text{ T-m}$
CA (Sismo).	$M_u = 6.9 \text{ T-m}$	$M_u = 5.4 \text{ T-m}$

Materiales

$$f'_c = 200 \text{ Kg/cm}^2 ; \quad f_y = 4200 \text{ Kg/cm}^2$$

CONSTANTES

$$f^*_c = 0.8 f'_c = 160 \text{ Kg/cm}^2$$

$$A_c = 40 \times 30 = 1200 \text{ cm}^2$$

$$f^*_c = 136 \text{ Kg/cm}^2$$

$$A_c f^*_c = 1200 \times 0.136 = 163.2 \text{ Ton.}$$

$$\frac{f_y}{f^*_c} = \frac{4200}{136} = 30.88$$

EFFECTOS DE ESBELTEZDirección XXa) Por movimiento general.

Revisión para ver si pueden despreciarse los efectos de esbeltez - (inciso 1.3.2 b).

Se pueden despreciar si $\frac{H'}{r} < 22$

$$H = 255 \text{ cm.}$$

$$\text{Nudo 14} \quad \psi = \frac{346 + 333}{205 + 647} = \frac{679}{852} = 0.797$$

$$\text{Nudo 18} \quad \psi = 0$$

De la fig. 1.1 de las Normas : $K = 1.15$

$$H' = K H = 1.15 \times 255 = 293 \text{ cm.}$$

$$h = 0.3 H' = 0.3 \times 293 = 87.9 \text{ cm}$$

$$r = 0.3 h = 0.3 \times 30 = 9 \text{ cm.}$$

$$\frac{H'}{r} = \frac{293}{9} = 32 > 22$$

Si deben considerarse los efectos de esbeltez.

Factor de amplificación.

$$F_a = \frac{1}{1 - \frac{\Sigma P_u}{\Sigma P_c}} \geq 1.0 \quad (\text{eq. 1.6})$$

$$\Sigma P_u = 2 (89.2 + 176.5 + 52.3 + 162.6 + 38.7 + 53.7)$$

$$\Sigma P_u = 2 (573.0) = 1,146.0 \text{ Ton.}$$

Columnas : A3, A4, B3, y B4

$$I_g = \frac{40 \times 30^3}{12} = 90,000 \text{ cm}^4$$

$$u = \frac{2.5}{3.7} = 0.68$$

$$EI = 0.4 \frac{E_c I_g}{1 + u} = \frac{0.4 \times 141,400 \times 90,000}{1 + 0.68}$$

$$EI = \frac{0.4 \times 141,400 \times 90,000}{1 + 0.68 \times 0.72 \times 0.11 \times H^2} = 0.303 \times 10^{10} \text{ Kg cm}^2$$

$$P_c = \frac{F_R \pi^2 EI}{(H')^2} = \frac{0.85 \times \pi^2 \times 0.303 \times 10^{10}}{293^2} = 296,093 \text{ Kg.}$$

Columnas A1, A6, B1 y B6.

Nudo 13 (Superior)

$$\psi = \frac{346 + 333}{205} = \frac{679}{205} = 3.312$$

Nudo 17 (Inferior)

$$\psi = 0$$

De la fig. 1.1 de las Normas : $K = 1.4$

$$H' = K H = 1.4 \times 255 = 357 \text{ cm.}$$

$$P_c = \frac{2.542 \times 10^{10}}{357^2} = 199,447 \text{ Kg}$$

Columnas C1 y C6.

Nudo 37 (Superior).

$$\psi = \frac{519 + 175}{282} = 2.461$$

Nudo 43 (Inferior).

$$\psi = 0$$

De la fig. 1.1 de las Normas : $K = 1.22$

$$\Sigma Pc = 4 \times 296.1 + 4 \times 199.4 + 2 \times 80 + 2 \times 457.6$$

$$\Sigma Pc = 1184.4 + 797.6 + 160 + 915.2$$

$$\Sigma Pc = 3,057.2 \text{ Ton.}$$

$$Fa = \frac{1}{1 - \frac{1146.0}{3057.2}} = \frac{1}{1 - 0.37} = \frac{1}{0.63}$$

$$Fa = 1.59$$

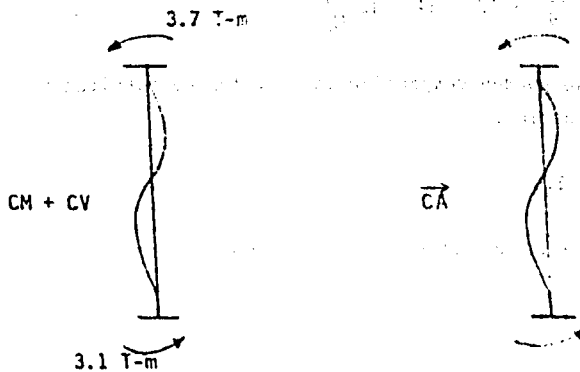
b). Revisión local de la columna, suponiendo sus extremos restringidos lateralmente.

Revisión para ver si pueden despreciarse los efectos de esbeltez - (inciso 1.3.2. b).

$$\text{Se pueden despreciar si: } \frac{H}{r} < 34 - 12 \frac{M_1}{M_2}$$

$$\text{Cálculo de } 34 - 12 \frac{M_1}{M_2}$$

$$e_2 = 0.05 h = 0.05 \times 30 = 1.5 \text{ cm} \cdot 2$$



$$e_s = \frac{3.7}{162.6} = 0.02 \text{ m.}$$

$$H' = K H = 1.32 \times 370 = 488 \text{ cm.}$$

$$I_g = \frac{30^4}{12} = 67,500 \text{ cm}^4$$

$$EI = \frac{0.4 \times 141,400 \times 67,500}{1.68} = 0.227 \times 10^{10} \text{ Kg cm}^2$$

$$P_c = \frac{F_R \pi^2 EI}{(H')^2} = \frac{0.85 \times \pi^2 \times 0.227 \times 10^{10}}{488^2}$$

$$P_c = 79,966 \text{ Kg.}$$

Columnas C3 y C4.

Nudo 38 (Superior)

$$\psi = \frac{519 + 519}{282} = 3.68$$

Nudo 41 (Inferior)

$$\psi = \frac{519 + 265}{180} = 4.36$$

De la fig. 1.1 de las Normas : $K = 2.04$

$$H' = K H = 2.04 \times 100 = 204 \text{ cm.}$$

$$I_g = \frac{30^4}{12} = 67,500 \text{ cm}^4$$

$$EI = 0.227 \times 10^{10}$$

$$P_c = \frac{F_R \pi^2 EI}{(H')^2} = \frac{0.85 \pi^2 \times 0.227 \times 10^{10}}{(204)^2}$$

$$P_c = 457,600 \text{ Kg.}$$

$$\Sigma Pc = 4 \times 296.1 + 4 \times 199.4 + 2 \times 80 + 2 \times 457.6$$

$$\Sigma Pc = 1184.4 + 797.6 + 160 + 915.2$$

$$\Sigma Pc = 3,057.2 \text{ Ton.}$$

$$Fa = \frac{1}{1 - \frac{1146.0}{3057.2}} = \frac{1}{1 - 0.37} = \frac{1}{0.63}$$

$$Fa = 1.59$$

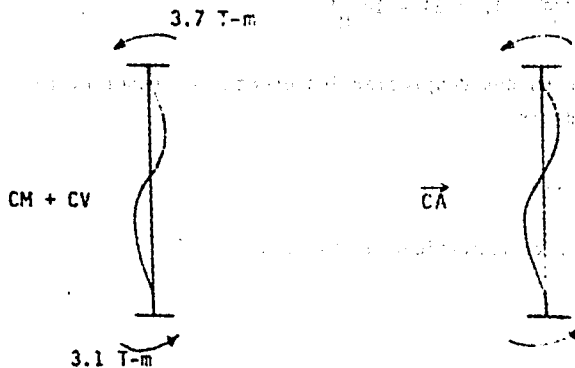
b). Revisión local de la columna, suponiendo sus extremos restringidos lateralmente.

Revisión para ver si pueden despreciarse los efectos de esbeltez - (inciso 1.3.2. b).

Se pueden despreciar si : $\frac{H}{r} < 34 - 12 \frac{M_1}{M_2}$

Cálculo de $34 - 12 \frac{M_1}{M_2}$

$$e_a = 0.05 h = 0.05 \times 30 = 1.5 \text{ cm} \cdot 2$$



$$e_s = \frac{3.7}{162.6} = 0.02 \text{ m.}$$

$$e_f = \frac{3.1}{162.6} = 0.02 \text{ m.}$$

$$e_{d_s} = 2 - 2 = 0$$

$$e_{d_1} = 2 - 2 = 0$$

$$M_1 = 162.6 \times 0 = 0$$

$$M_2 = 162.6 \times 0 = 0$$

$$34 - 12 \frac{M_1}{M_2} = 34 - 12 \frac{0}{0} = 34$$

Cálculo de $\frac{H'}{r}$

En la fig. 1.1a, con

$$\psi_A = 0.797$$

$$\psi_B = 0$$

$$K = 0.615 ; \quad H' = 0.615 \times 255 = 156 \text{ cm.}$$

$$\frac{H'}{r} = \frac{156}{9} = 17 < 34 - 12 \frac{M_1}{M_2}$$

Si se pueden despreciar los efectos de esbeltez para esta condición, es decir :

$$F_a = 1.0$$

Factor de amplificación en la dirección X,

$$F_a = 1.59$$

Dirección Y Y

$$\frac{600.001 + 600.181}{2} = 600.091 \text{ Ton} = 13$$

a). Por movimiento general

$$P_{01} + P_{02.0} = 13$$

Revisión de H'/r

$$\frac{615 + 593}{352 + 366} = \frac{1208}{718} = 1.66$$

$$H = 255 \text{ cm.}$$

$$r = 0.3 \times 40 = 12 \text{ cm.}$$

$$\psi_A = \frac{615 + 593}{352 + 366} = \frac{1208}{718} = 1.66$$

$$\psi_B = 0$$

$$K = 1.25$$

$$H' = 1.25 \times 255 = 319 \text{ cm.}$$

$$\frac{H'}{r} = \frac{319}{12} = 26.6 > 22$$

Si se debe considerar la esbeltez:

Cálculo del factor de amplificación.

$$\Sigma P_u = 1146.0 \text{ Ton.}$$

Cálculo de ΣP_c

Columnas 3A, 4A, 3B y 4B

$$I_g = \frac{30 \times 40^3}{12} = 160,000 \text{ cm}^4$$

$$u = \frac{0.3}{6.9} = 0.04$$

$$EI = 0.4 \frac{E_c I_g}{1 + u} = \frac{0.4 \times 141,400 \times 160,000}{1 + 0.04}$$

$$EI = 0.870 \times 10^{10}$$

$$P_c = \frac{F_R \pi^2 EI}{(H')^2} = \frac{0.85 \pi^2 \times 0.870 \times 10^{10}}{319^2}$$

$$P_c = 717,230 \text{ Kg}$$

Columnas 1A, 6A, 1B y 6B:

Nudo superior.

$$\psi_A = \frac{615 + 593}{366} = 3.30$$

$$\psi_B = 0$$

$$K = 1.4$$

$$H' = K H = 1.4 \times 255 = 357 \text{ cm.}$$

$$P_c = \frac{7.30 \times 10^{10}}{357^2} = 78,463.0 \text{ Kg.}$$

Columnas 1C y 6C

Nudo superior

$$\psi_A = \frac{519 + 519}{112} = 9.27$$

Nudo inferior

$$\psi = \frac{519 + 265}{406} = 1.93$$

De la fig. 1.1 de las Normas :

$$K = 2.10$$

$$H' = K H = 2.10 \times 100 = 210 \text{ cm.}$$

$$I_g = \frac{30^4}{12} = 67,500 \text{ cm}^4$$

$$EI = \frac{0.4 \times 141,400 \times 67,500}{1.04} = 0.367 \times 10^{10} \text{ Kg. cm}^2$$

$$P_c = \frac{F_R \pi^2 EI}{(H')^2} = \frac{0.85 \pi^2 \times 0.367 \times 10^{10}}{210^2}$$

$$P_c = 698,149 \text{ Kg.}$$

Columnas 3C y 4C

Nudo superior

$$\psi_A = \frac{519 + 519}{352} = 2.95$$

Nudo inferior

$$\psi_B = \frac{519 + 265}{135} = 5.31$$

$$K = 2.02$$

$$H' = K H = 2.02 \times 100 = 202$$

$$I_g = \frac{30^4}{12} = 67,500 \text{ cm}^4$$

$$EI = 0.367 \times 10^{10}$$

$$P_c = \frac{F_R \pi^2 EI}{(H')^2} = \frac{0.85 \pi^2 \times 0.367 \times 10^{10}}{(202)^2}$$

$$P_c = 754,543 \text{ Kg.}$$

$$\Sigma P_c = 4 \times 717.2 + 4 \times 78.4 + 2 \times 698.2 + 2 \times 754.5$$

$$\Sigma P_c = 6,087.8 \text{ Ton.}$$

$$F_a = \frac{1}{1 - \frac{\Sigma P_u}{\Sigma P_c}} = \frac{1}{1 - \frac{1146.0}{6087.8}} = \frac{1}{1 - 0.19}$$

$$F_a = \frac{1}{0.81} = 1.23$$

DIMENSIONAMIENTO

Flexocompresión en dirección X

El momento máximo, M_2 , se tiene en el extremo superior:

$$M_{2x} = 3.7 + P_u e_{acc.x}$$

$$M_{2x} = 3.7 + 162.6 \times 0.02$$

$$M_{2x} = 3.7 + 3.25 = 6.95 \text{ T-m}$$

$$M_{u_x} = F_a M_{2x} = 1.59 \times 6.95 = 11.05 \text{ T-m}$$

Se debe incluir simultáneamente con M_{u_x} , el 30% del momento por sismo en la otra dirección.

$$e_{acc_y} = 0.05 h = 0.05 \times 40 = 2.00 \text{ cm.}$$

$$M_{u_{CAy}} = (6.9 + 162.6 \times 0.02) F_{ay}$$

$$M_{u_{CAy}} = 10.15 \times 1.23 = 12.49 \text{ T-m}$$

$$0.3 M_{u_{CAy}} = 0.3 \times 12.49 = 3.75 \text{ t-m}$$

En resumen, la columna se dimensionará por flexo-compresión biaxial para los datos siguientes, y después se revisará en la dirección Y.

$$P_u = 162.6 \text{ Ton.}$$

$$e_x = \frac{M_{u_x}}{P_u} = \frac{11.05}{162.6} = 0.07 \text{ m}$$

$$e_y = \frac{M_{u_y}}{P_u} = \frac{3.75}{162.6} = 0.02 \text{ m}$$

Se aplicará la ec. 2.14 de las normas, proponiendo un refuerzo y revisando la capacidad con dicha fórmula.

$$P_R = \left(\frac{1}{P_{R_x}} + \frac{1}{P_{R_y}} - \frac{1}{P_{R0}} \right)^{-1} \quad \text{ec. (2.14)}$$

$$\text{Supóngase } p = 0.030$$

$$A_s = 0.03 \times 1200 = 36.0 \text{ cm}^2$$

$$P_{R0} = 0.85 (163.2 + 36.0 \times 4.200)$$

$$P_{R0} = 0.85 (163.2 + 151.2)$$

$$P_{R0} = 267.2 \text{ Ton.}$$

$$q = 0.030 \times 30.88 = 0.926$$

$$\frac{e_x}{h} = 0.233 \rightarrow K = 1.1$$

$$P_{R_x} = 0.85 \times 1.1 \times 163.2 = 152.6 \text{ Ton.}$$

$$\frac{e_y}{h} = 0.05 \rightarrow K = 1.7$$

... ..

$$P_{Ry} = 0.85 \times 1.7 \times 163.2 = 235.8 \text{ Ton.}$$

$$P_R = \left(\frac{1}{152.6} + \frac{1}{235.8} - \frac{1}{267.2} \right)^{-1}$$

$$P_R = (0.00655 + 0.00424 - 0.00374)^{-1}$$

$$P_R = 0.00705^{-1} = \frac{1}{0.00705} = 141.8 \text{ Ton} < 162.6 \text{ Ton.}$$

Supõngase : $p = 0.033$

$$A_s = 0.033 \times 1200 = 39.6 \text{ cm}^2$$

$$P_{RO} = 0.85 (163.2 + 39.6 \times 4.200)$$

$$P_{RO} = 0.85 (163.2 + 166.3)$$

$$P_{RO} = 280.1 \text{ Ton.}$$

$$q = 0.033 \times 30.88 = 1.02 \approx 1.0$$

$$\frac{e_x}{h} = 0.233 \rightarrow K = 1.15$$

$$P_{R_x} = 0.85 \times 1.15 \times 163.2 = 159.5 \text{ Ton.}$$

$$\frac{e_y}{h} = 0.05 \rightarrow K = 1.80$$

$$P_{R_y} = 0.85 \times 1.8 \times 163.2 = 249.7 \text{ Ton.}$$

$$P_R = \left(\frac{1}{159.5} + \frac{1}{249.7} - \frac{1}{280.1} \right)^{-1}$$

$$P_R = (0.00627 + 0.0040 - 0.00357)^{-1}$$

$$P_R = 0.00670^{-1} = \frac{1}{0.00670} = 149.3 \text{ Ton.} < 162.6 \text{ Ton}$$

Si se aumenta ligeramente la sección de la columna, digamos 35 x 40, se tendrá :

$$A_c = 40 \times 35 = 1400 \text{ cm}^2$$

$$A_c f'_c = 1400 \times 0.136 = 190.4 \text{ Ton.}$$

$$\text{Supongase : } p = 0.025$$

$$A_s = 0.025 \times 1400 = 35.0 \text{ cm}^2$$

$$P_{RO} = 0.85 (190.4 + 35.0 \times 4.2)$$

$$P_{RO} = 0.85 (190.4 + 147.0) = 286.8 \text{ Ton.}$$

$$q = 0.025 \times 30.88 = 0.772$$

$$\frac{e_x}{h} = \frac{7}{35} = 0.200 \quad + \quad K = 1.08$$

$$P_{R_x} = 0.85 \times 1.08 \times 190.4 = 174.8 \text{ Ton.}$$

$$\frac{e_y}{h} = 0.05 \quad + \quad K = 1.56$$

$$P_{R_y} = 0.85 \times 1.56 \times 190.4 = 252.5 \text{ Ton.}$$

$$P_R = \left(\frac{1}{174.8} + \frac{1}{252.5} + \frac{1}{286.8} \right)^{-1}$$

$$P_R = \left(0.00572 + 0.00396 + 0.00349 \right)^{-1}$$

$$P_R = \frac{1}{0.00619} = 161.6 \text{ Ton.} \approx 162.6$$

Se acepta la sección de 35 x 40 y $A_s = 35.0 \text{ cm}^2$

Revisión en la dirección Y.

$$M_{2y} = 6.9 + P_u e_{accy} = 6.9 + 162.6 \times 0.02 = 10.2 \text{ T-m}$$

$$M_{uy} = F_a M_{2y} = 1.23 \times 10.2 = 12.6 \text{ T-m}$$

30% del momento por sismo en la dirección X :

$$0.3 M_{CAx} = 0.3 \times 1.59 (3.7 + 162.6 \times 0.02)$$

$$0.3 M_{CAx} = 3.3 \text{ Ton-m}$$

$$P_u = 162.6 \text{ Ton.} ; e_x = \frac{3.3}{162.6} = 0.020 \text{ m.}$$

$$e_y = \frac{12.6}{162.6} = 0.077 \text{ m.}$$

$$P_{RO} = 286.8 \text{ Ton.}$$

$$q = 0.772$$

$$\frac{e_x}{h_x} = \frac{2}{35} = 0.057 \rightarrow K = 1.55$$

$$P_{R_x} = 0.85 \times 1.55 \times 190.4 = 250.9 \text{ Ton.}$$

$$\frac{e_y}{h_y} = \frac{7.7}{40} = 0.192 \quad k = 1.08$$

$$P_{R_y} = 0.85 \times 1.08 \times 190.4 = 174.8 \text{ Ton.}$$

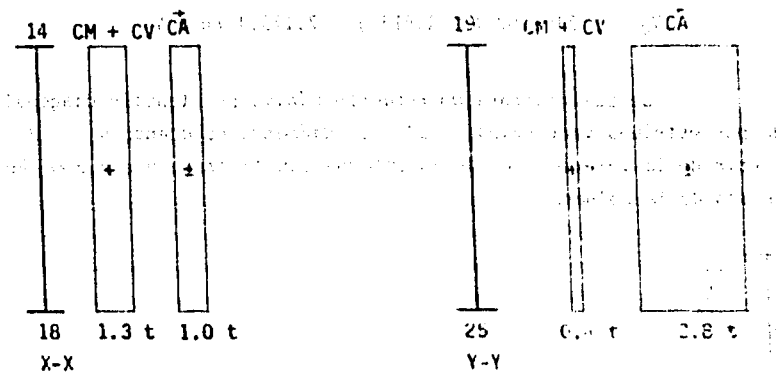
$$P_R = \left(\frac{1}{250.9} + \frac{1}{174.8} - \frac{1}{280.8} \right)^{-1}$$

$$P_R = (0.00399 + 0.00572 - 0.00349)$$

$$P_R = (0.00622)^{-1} = \frac{1}{0.00622} = 160.8 \text{ Ton} \approx 162.6$$

Se puede considerar que rige el diseño en ambas direcciones, aunque sería aconsejable aumentar ligeramente el porcentaje de acero.

Dimensionamiento por fuerza cortante de la columna.



$$V_{m\acute{a}x} = 1.3 + 1.0 = 2.3 \text{ Ton.}$$

$$V_{u_{m\acute{a}x}} = 2.3 \times 1.1 = 2.5 \text{ Ton.}$$

$$V_{m\acute{a}x} = 0.4 + 2.8 = 3.2 \text{ Ton.}$$

$$V_{u_{m\acute{a}x}} = 3.2 \times 1.1 = 3.6 \text{ Ton.}$$

(C) 1998

DIMENSIONAMIENTO

Fuerza cortante que toma el concreto :

$$p = 0.025 > 0.01$$

Para valuar p , se tomará el área de las barras de la capa más próxima a la cara de tensión o a la de compresión mínima en secciones rectangulares (9.5.1 b).

$$p = \frac{0.025}{2} = 0.012 \text{ (refuerzo distribuido en la periferia)}$$

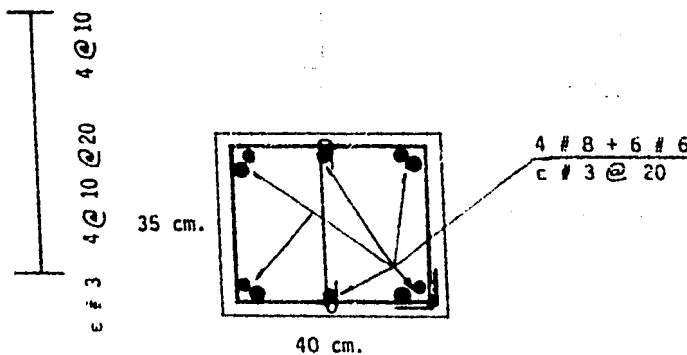
$$p = 0.012 > 0.01$$

$$V_c = (0.2 \text{ bd } \sqrt{f'c'}) (1 + 0.007 \text{ P/Ag})$$

$$V_c = (0.2 \times 35 \times 40 \sqrt{200}) (1 + 0.007 \times 162,600/1400)$$

$$V_c = (3959.80) (1.813) = 7,179.1 \text{ Kg} > V_u$$

Se suministrará un refuerzo mínimo por tensión diagonal formado por estribos verticales de 3/8" de diámetro colocando 4 c # 3 10 a partir de la intersección de la columna con la trabe y c # 3 @ 20 en el resto de la columna.



CAPITULO SEXTO

CONCLUSIONES.

Uno de los métodos más comunes, para la solución de estructuras; ha sido, el método de distribución de momentos de Hardy Cross, a pesar de las desventajas que presenta, sobre todo en el análisis de marcos de eleva da hiperestaticidad; ya que se requiere la distribución correspondiente a la primera etapa y un proceso de distribución de momentos por cada grado de libertad de la estructura. Además, es necesario resolver un sistema de ecuaciones igual al número de grados de libertad, lo que complica aún más la solución del problema.

El método de Gaspar Kani, tiene la ventaja de utilizar un procedimiento altamente convergente para solucionar la mayoría de las estructuras. No solo esto, sino que el método puede mecanizarse, especialmente en el caso de estructuras ortogonales. Por otra parte, la modificación al método de Kani, propuesta por el Dr. Rodolfo Lúthé García, que consiste en considerar como incógnitas los giros y los desplazamientos y no los momentos debidos a los mismos, simplifica considerablemente la aplicación del método; aún en el caso de realizar la distribución en forma manual y facilita su solución mediante el uso de la computadora.

Por otra parte, para la solución de la retícula de la cimentación, se utilizó el método de Kani; en este caso se consideraron como incógnitas, los cortantes debidos a los desplazamientos (asentamientos diferenciales), de todos y cada uno de los nudos de la retícula de cimentación; logrando con ello, el "Equilibrio de Cortantes". Cabe aclarar, que no se consideró el giro de los nudos de la retícula de la cimentación; sin embargo, la mayor influencia en cuanto a la magnitud de los momentos flexionantes, se debe indudablemente al desplazamiento diferencial de la cimentación.

A continuación, se indica la deducción de las fórmulas para determinar los giros y desplazamientos de los nudos y los cortantes de las barras, partiendo de las ecuaciones usuales de Kani.

A) ESTRUCTURAS SIN GRADO DE LIBERTAD, O CON CONTRIBUCION LINEAL NULA, ($M'_{ik} = 0$; $\phi_n = 0$).

Se consideran únicamente giros en los nudos ($M'_{ik} \neq 0$; $\theta_i \neq 0$), por lo tanto :

$$M'_{ik} = \mu_{ik} [M_i + \Sigma M'_{kj}] \quad (1)$$

En el caso que nos ocupa, se tiene :

$$2 M'_{ik} = 2 K_{ik} \theta_i.$$

$$M'_{ik} = K_{ik} \theta_i.$$

$$M'_{ki} = K_{ik} \theta_k.$$

Sustituyendo en (1) :

$$K_{ik} \theta_i = \mu_{ik} [M_i + \Sigma K_{ik} \theta_k]$$

$$K_{ik} \theta_i = - \frac{K_{ik}}{2K_i} [M_i + \Sigma K_{ik} \theta_k]$$

Haciendo operaciones :

$$K_{ik} \theta_i = - \frac{K_{ik} M_i}{2K_i} - \frac{K_{ik}}{2K_i} \Sigma K_{ik} \theta_k.$$

$$\theta_i = - \frac{K_{ik} M_i}{2K_i K_{ik}} - \frac{K_{ik}}{2K_i K_{ik}} \Sigma K_{ik} \theta_k.$$

$$\theta_i = - \frac{M_i}{2K_i} - \frac{1}{2K_i} \Sigma K_{ik} \theta_k.$$

$$\theta_i = - \frac{M_i}{2K_i} - \Sigma \frac{K_{ik}}{2K_i} \theta_k.$$

$$\theta_1 = -\frac{M_1}{2K_1} + \sum \left(-\frac{K_{1k}}{2K_1} \right) \theta_k \quad \frac{1}{2K_1} - \frac{M_1}{2K_1} = 0$$

$$\text{Finalmente :} \quad \frac{M_1}{2K_1} = -\sum \frac{K_{1k}}{2K_1} \theta_k - \frac{M_1}{2K_1} = 0$$

$$\theta_1 = -\frac{M_1}{2K_1} + \sum \mu_{1k} \theta_k \quad (1')$$

B) ESTRUCTURA CON GRADOS DE LIBERTAD.

Se consideran giros y desplazamientos de los nudos ($M'_{1k} \neq 0$; $M''_{1k} \neq 0$; $\theta_1 \neq 0$; $\psi_n \neq 0$).

Se tiene que :

$$M'_{1k} = \mu_{1k} [M_1 + \sum M'_{k1} + \sum M''_{1k}] \quad (1)$$

$$M''_{1k} = \nu_{1k} [M_1 + \sum (M'_{1k} + M'_{k1})] \quad (2)$$

Sabemos que :

$$M'_{1k} = K_{1k} \theta_1$$

$$M'_{k1} = K_{1k} \theta_k$$

$$M''_{1k} = K_{1k} \psi_{1k}$$

Sustituyendo en (1) :

$$K_{1k} \theta_1 = -\frac{K_{1k}}{2K_1} [M_1 + \sum K_{1k} \theta_k + \sum K_{1k} \psi_{1k}]$$

$$K_{1k} \theta_1 = -\frac{K_{1k}}{2K_1} M_1 - \frac{K_{1k}}{2K_1} \sum K_{1k} \theta_k - \frac{K_{1k}}{2K_1} \sum K_{1k} \psi_{1k}$$

Haciendo operaciones :

$$\theta_1 = -\frac{K_{1k}}{2K_1} \frac{M_1}{K_{1k}} - \frac{K_{1k}}{2K_1} \frac{1}{K_{1k}} \sum K_{1k} \theta_k - \frac{K_{1k}}{2K_1} \frac{1}{K_{1k}} \sum K_{1k} \psi_{1k}$$

$$\theta_1 = -\frac{M_1}{2K_1} - \frac{1}{2K_1} \sum K_{1k} \theta_k - \frac{1}{2K_1} \sum K_{1k} \psi_{1k}$$

$$\theta_1 = -\frac{M_1}{2K_1} - \sum \frac{K_{1k}}{2K_1} \theta_k - \sum \frac{K_{1k}}{2K_1} \psi_{1k}$$

$$\theta_1 = -\frac{M_1}{2K_1} + \sum \left(-\frac{K_{1k}}{2K_1} \right) \theta_k + \sum \left(-\frac{K_{1k}}{2K_1} \right) \psi_{1k}$$

En fin :

$$\theta_1 = -\frac{M_1}{2K_1} + \sum \mu_{1k} \theta_k + \sum \mu_{1k} \psi_{1k} \quad (1')$$

Por otra parte, haciendo sustituciones en (2) :

$$K_{1k} \psi_{1k} = -\frac{3}{2} \frac{K_{1k}}{K_n} \left[\frac{Q_h}{3} + \sum (K_{1k} \theta_1 + K_{1k} \theta_k) \right]$$

$$K_{1k} \psi_{1k} = -\frac{3}{2} \frac{K_{1k}}{K_n} \frac{Q_h}{3} + \left(-\frac{3}{2} \frac{K_{1k}}{K_n} \right) \sum (K_{1k} \theta_1 + K_{1k} \theta_k)$$

Efectuando operaciones :

$$\psi_{1k} = -\frac{3}{2} \frac{K_{1k}}{K_n} \frac{Q_h}{3K_{1k}} - \frac{3}{2} \frac{K_{1k}}{K_n} \frac{1}{K_{1k}} \sum (K_{1k} \theta_1 + K_{1k} \theta_k)$$

$$\psi_{1k} = -\frac{Q_h}{2K_n} - \frac{3}{2} \frac{1}{K_n} \sum (K_{1k} \theta_1 + K_{1k} \theta_k)$$

$$\psi_{1k} = -\frac{Q_h}{2K_n} - \sum \frac{3}{2} \frac{1}{K_n} (K_{1k} \theta_1 + K_{1k} \theta_k)$$

$$\psi_{1k} = -\frac{Q_h}{2K_n} - \sum \frac{3}{2} \frac{K_{1k}}{K_n} (\theta_1 + \theta_k)$$

$$\psi_{1k} = -\frac{Q_h}{2K_n} + \sum \left(-\frac{3}{2} \frac{K_{1k}}{K_n} \right) (\theta_1 + \theta_k)$$

$$\psi_{1k} = -\frac{Q_h}{2K_n} + \sum v_{1k} (\theta_1 + \theta_k)$$

Si $Q > 0$ de izquierda a derecha, o sea : + se tendrá fi-

nalmente que :

$$\psi_n = \frac{Q_n h_n}{2K_n} + \sum v_{1k} (\theta_1 + \theta_k) \quad (2')$$

c=1

C (1) ESTRUCTURA CON GRADOS DE LIBERTAD Y COLUMNAS DE DIFERENTES ALTURAS.

$$M'_{ik} = \mu_{ik} [M_i + \sum M'_{ki} + \sum M''_{ik}] \quad (1)$$

$$M''_{ik} = \nu_{ik} [M_r + \sum C_{ik} (M'_{ik} + M'_{ki})] \quad (2)$$

Para la ecuación (1); se tiene que :

$$\theta_i = - \frac{M_i + \sum \mu_{ik} \theta_k + \sum \nu_{ik} \psi_{ik}}{2K_i} \quad (1')$$

Se tienen las siguientes igualdades :

$$\psi_{ik} = \psi_n C_{ik} \quad (1)$$

$$C_{ik} = \frac{hr}{h_{ik}}$$

$$\nu_{ik} = - \frac{3}{2} \frac{C_{ik} \cdot K_{ik}}{\sum C_{ik} \cdot K_{ik}}$$

$$M_r = \frac{Qh}{3}$$

Sustituyendo en (2) :

$$K_{ik} \psi_{ik} = - \frac{3}{2} \frac{C_{ik} K_{ik}}{\sum C_{ik} K_{ik}} \left[\frac{Qh}{3} + \sum C_{ik} (K_{ik} \theta_i + K_{ik} \theta_k) \right]$$

Efectuando operaciones :

$$\psi_{ik} = - \frac{3}{2} \frac{C_{ik}}{\sum C_{ik} \cdot K_{ik}} \frac{Qh}{3} - \frac{3}{2} \frac{C_{ik}}{\sum C_{ik} \cdot K_{ik}} \sum C_{ik} (K_{ik} \theta_i + K_{ik} \theta_k)$$

$$\psi_{ik} = - \frac{C_{ik} Qh}{2 \sum C_{ik} \cdot K_{ik}} - \sum \frac{3}{2} \frac{C_{ik}^2}{\sum C_{ik} \cdot K_{ik}} (K_{ik} \theta_i + K_{ik} \theta_k).$$

$$\psi_{ik} = - \frac{C_{ik} Qh}{2 \sum C_{ik} \cdot K_{ik}} + \sum \left(- \frac{3}{2} \frac{C_{ik}^2 \cdot K_{ik}}{\sum C_{ik} \cdot K_{ik}} \right) (\theta_i + \theta_k).$$

$$\psi_{ik} = -\frac{C_{ik} Q_h}{2 \sum C_{ik} \cdot K_{ik}} + \sum v_{ik} C_{ik} (\theta_1 + \theta_k)$$

$$\psi_n C_{ik} = -\frac{C_{ik} Q_h}{2 \sum C_{ik} \cdot K_{ik}} + C_{ik} \sum v_{ik} (\theta_1 + \theta_k)$$

$$\psi_n = -\frac{Q_h}{2 \sum C_{ik} \cdot K_{ik}} + \sum v_{ik} (\theta_1 + \theta_k)$$

Si $Q > 0$ de izquierda a derecha, o sea :

dra :

$$\psi_n = \frac{Q_n h_r}{2 \sum C_{ik} \cdot K_{ik}} + \sum v_{ik} (\theta_1 + \theta_k) \quad (2')$$

D) ESTRUCTURA CON GRADOS DE LIBERTAD Y COLUMNAS CONTINUAS.

$$m''_{ik} = v_{ik} \left[M_r + \sum C_{ik} (M'_{ik} + M''_{ik}) + \frac{2}{3} \sum C_{ik} (m''_{ik} + (1) + m''_{ik} + \dots + m''_{ik} + m''_{ik} \right] \quad (1)$$

(2) (n-1) (n+1)

Considerando que :

$$m''_{ik} = C_{ik} \cdot K_{ik} \phi_n$$

$$C_{ik} = \frac{h_r}{h_{ik}} ; v_{ik} = -\frac{3}{2} \frac{C_{ik} \cdot K_{ik}}{\sum C_{ik} \cdot K_{ik}}$$

Sustituyendo valores en (1) :

$$C_{ik} \cdot K_{ik} \phi_n = -\frac{3}{2} \frac{C_{ik} \cdot K_{ik}}{\sum C_{ik} \cdot K_{ik}} \left[\frac{Q_h}{3} + \sum C_{ik} (K_{ik} \theta_1 + K_{ik} \theta_k) + \frac{2}{3} \sum C_{ik} (C_{ik} \cdot K_{ik} \phi_1 + C_{ik} \cdot K_{ik} \phi_2 + \dots + C_{ik} \cdot K_{ik} \phi_{(n-1)} + C_{ik} \cdot K_{ik} \phi_{(n+1)}) \right]$$

+ ϕ Realizando operaciones): $\frac{Qh}{2 \sum C_{1k} \cdot K_{1k}} + \frac{3}{2} \frac{1}{\sum C_{1k} \cdot K_{1k}} \sum C_{1k} (K_{1k} \theta_1 + K_{1k} \theta_k) -$

$$\begin{aligned} \phi_n = & - \frac{3}{2} \frac{1}{\sum C_{1k} \cdot K_{1k}} \frac{Qh}{3} - \frac{3}{2} \frac{1}{\sum C_{1k} \cdot K_{1k}} \sum C_{1k} (K_{1k} \theta_1 + K_{1k} \theta_k) - \\ & - \frac{3}{2} \frac{1}{\sum C_{1k} \cdot K_{1k}} \left(\frac{2}{3} \right) \sum C_{1k} (C_{1k} \cdot K_{1k} \phi_1 + C_{1k} \cdot K_{1k} \phi_2 + \dots + \\ & + C_{1k} \cdot K_{1k} \phi_{(n-1)} + C_{1k} \cdot K_{1k} \phi_{(n+1)}). \end{aligned}$$

(11)

$$\begin{aligned} \phi_n = & - \frac{Qh}{2 \cdot \sum C_{1k} \cdot K_{1k}} - \frac{3}{2} \frac{C_{1k}}{\sum C_{1k} \cdot K_{1k}} (K_{1k} \theta_1 + K_{1k} \theta_k) - \\ & - \frac{2}{3} \sum \frac{3}{2} \frac{C_{1k}}{\sum C_{1k} \cdot K_{1k}} (C_{1k} \cdot K_{1k} \phi_1 + C_{1k} \cdot K_{1k} \phi_2 + \dots + \\ & + C_{1k} \cdot K_{1k} \phi_{(n-1)} + C_{1k} \cdot K_{1k} \phi_{(n+1)}). \end{aligned}$$

PARAMETROS DE CIRCUITOS DE SISTEMAS

$$\begin{aligned} \phi_n = & - \frac{Qh}{2 \sum C_{1k} \cdot K_{1k}} + \sum \left[\left(- \frac{3}{2} \frac{C_{1k}}{\sum C_{1k} \cdot K_{1k}} \right) (K_{1k} \theta_1 + K_{1k} \theta_k) \right] + \\ & + \frac{2}{3} \sum \left(- \frac{3}{2} \frac{C_{1k}}{\sum C_{1k} \cdot K_{1k}} \right) \left[C_{1k} \cdot K_{1k} \phi_1 + C_{1k} \cdot K_{1k} \phi_2 + \dots + \right. \\ & \left. + C_{1k} \cdot K_{1k} \phi_{(n-1)} + C_{1k} \cdot K_{1k} \phi_{(n+1)} \right]. \end{aligned}$$

$$\begin{aligned} \phi_n = & - \frac{Qh}{2 \sum C_{1k} \cdot K_{1k}} + \sum \left(- \frac{3}{2} \frac{C_{1k} \cdot K_{1k}}{\sum C_{1k} \cdot K_{1k}} \right) (\theta_1 + \theta_k) + \\ & + \frac{2}{3} \sum \left(- \frac{3}{2} \frac{C_{1k} \cdot K_{1k}}{\sum C_{1k} \cdot K_{1k}} \right) (C_{1k} \phi_1 + C_{1k} \phi_2 + \dots + \\ & + C_{1k} \phi_{(n-1)} + C_{1k} \phi_{(n+1)}). \end{aligned}$$

$$\phi_n = - \frac{Q_h}{2 \sum C_{ik} K_{ik}} + \sum v_{ik} (\theta_i + \theta_k) + \frac{2}{3} \sum v_{ik} (C_{ik} \phi_1 +$$

$$+ C_{ik} \phi_2 + \dots + C_{ik} \phi_{(n-1)} + C_{ik} \phi_{(n+1)}).$$

Si $Q > 0$ de izquierda a derecha, o sea : \rightarrow ; se ten

drá :

$$\phi_n = \frac{Q_h}{2 \sum C_{ik} K_{ik}} + \sum v_{ik} (\theta_i + \theta_k) + \frac{2}{3} \sum v_{ik} (C_{ik} \phi_1 +$$

$$+ C_{ik} \phi_2 + \dots + C_{ik} \phi_{(n-1)} + C_{ik} \phi_{(n+1)}).$$

(1')

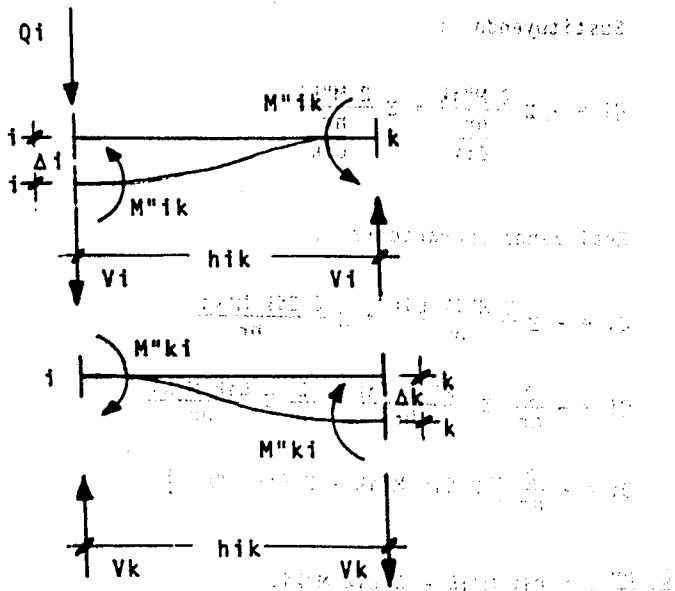
E) METODO DE EQUILIBRIO DE CORTANTES.

Redcula de la Cimentación (Considerando únicamente despla-
zamiento vertical) de los nudos).

A continuación, se presenta la deducción de la fórmula que se aplica en el método "Equilibrio de Cortantes".

Como ya se explicó, este método, permite verificar el equilibrio de cargas verticales bajo cada una de las columnas.

Se considerará la barra i-k, sometida a la carga Q_i , aplicada precisamente en el nudo i de dicha barra; y sujeta a desplazamientos diferenciales, en ambos extremos de la misma; tal como se indica en la siguiente figura.



De la figura, se tiene :

$$Q_i = - V_i + V_k$$

Generalizando :

$$Q_i = - \sum V_i + \sum V_k$$

Sustituyendo valores de V_i y de V_k :

$$Q_i = - \sum \frac{2 M''_{ik}}{h_{ik}} + \sum \frac{2 M''_{ki}}{h_{ik}}$$

Tomando en cuenta que :

$$C_{ik} = \frac{hr}{h_{ik}} \rightarrow h_{ik} = \frac{hr}{C_{ik}}$$

Sustituyendo :

$$Q_i = - \sum \frac{2 M''_{ik}}{C_{ik}} + \sum \frac{2 M''_{ki}}{C_{ik}}$$

Realizando operaciones :

$$Q_i = - \sum \frac{2 M''_{ik} C_{ik}}{hr} + \sum \frac{2 C_{ik} M''_{ki}}{hr}$$

$$Q_i = - \frac{2}{hr} \sum \frac{M''_{ik} C_{ik}}{hr} + \frac{2}{hr} \sum \frac{C_{ik} M''_{ki}}{hr}$$

$$Q_i = - \frac{2}{hr} [\sum C_{ik} M''_{ik} - \sum C_{ik} M''_{ki}]$$

$$- \frac{Q_i hr}{2} = \sum C_{ik} M''_{ik} - \sum C_{ik} M''_{ki}$$

Despejando, se tiene finalmente :

$$\sum C_{ik} M''_{ik} = - \frac{Q_i hr}{2} + \sum C_{ik} M''_{ki} \quad (1)$$

Por otra parte, tenemos que :

$$C_{ik} M''_{ik} = \frac{6EK}{h_{ik}} \Delta \cdot C_{ik}$$

Sustituyendo el valor de h_{ik} :

$$C_{ik} M''_{ik} = \frac{6EK}{hr} \Delta \cdot C_{ik}$$

$$C_{ik} M''_{ik} = \frac{C_{ik}^2 6EK \Delta}{hr}$$

Efectuando operaciones : $\frac{1}{2} \frac{C_{ik} K}{\sum C_{ik} K} \left[- \frac{Q_{ihr}}{2} + 2 \frac{\sum C_{ik} M^{ik}}{2} \right]$

$$M^{ik} = \frac{1}{2} \frac{C_{ik} K}{\sum C_{ik} K} \left[- Q_{ihr} + 2 \sum C_{ik} M^{ik} \right]$$

$$M^{ik} = - \frac{1}{2} \frac{C_{ik} K}{\sum C_{ik} K} \left[Q_{ihr} - 2 \sum C_{ik} M^{ik} \right]$$

$$M^{ik} = - \frac{3}{2} \frac{C_{ik} K}{\sum C_{ik} K} \left[\frac{Q_{ihr}}{3} - \frac{2}{3} \sum C_{ik} M^{ik} \right]$$

$$M^{ik} = - \frac{3}{2} \frac{C_{ik} K}{\sum C_{ik} K} \left[\frac{Q_{ihr}}{3} - \frac{2}{3} \sum C_{ik} M^{ik} \right]$$

Sustituyendo en la expresión anterior, los valores del factor de distribución lineal y del "Momento de piso", se tiene :

$$v_{ik} = - \frac{3}{2} \frac{C_{ik} K}{\sum C_{ik} K}$$

$$M_{ri} = \frac{Q_{ihr}}{3}$$

$$M^{ik} = v_{ik} \left[M_{ri} - \frac{2}{3} \sum C_{ik} M^{ik} \right] \quad (5)$$

Sustituyendo el valor del "Momento de piso" (M_{ri}), en la expresión anterior, se tiene :

$$M^{ik} = v_{ik} \left[\frac{Q_{ihr}}{3} - \frac{2}{3} \sum C_{ik} M^{ik} \right]$$

De la figura, se desprende :

Por lo tanto :

$$\Sigma C_{ik} M''_{ik} = \frac{6E \cdot C_{ik} \cdot K_1}{hr} \Delta + \frac{6E \cdot C_{ik} \cdot K_2}{hr} \Delta + \dots + \frac{6E \cdot C_{ik} \cdot K_n}{hr} \Delta$$

Factorizando :

$$\Sigma C_{ik} M''_{ik} = \frac{6E \Delta}{hr} (C_{ik} K_1 + C_{ik} K_2 + \dots + C_{ik} K_n)$$

$$\Sigma C_{ik} M''_{ik} = \frac{6E \Delta}{hr} \Sigma C_{ik} K$$

Despejando :

$$\Delta = \frac{hr}{6E \Sigma C_{ik} K} \Sigma C_{ik} M''_{ik} \quad (2)$$

Por otra parte :

$$M''_{ik} = \frac{6EK}{hik} \Delta = \frac{6EK}{hr} \Delta$$

$$M''_{ik} = \frac{C_{ik} 6EK}{hr} \Delta \quad (3)$$

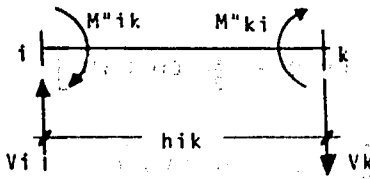
Sustituyendo (2) en (3) :

$$M''_{ik} = \frac{C_{ik} 6EK}{hr} \cdot \frac{hr}{6E \Sigma C_{ik} K} \Sigma C_{ik} M''_{ik}$$

$$M''_{ik} = \frac{C_{ik} K}{\Sigma C_{ik} K} \Sigma C_{ik} M''_{ik} \quad (4)$$

Sustituyendo nuevamente (1) en (4) :

$$M''_{ik} = \frac{C_{ik} K}{\Sigma C_{ik} K} \left[- \frac{Q_i hr}{2} + \Sigma C_{ik} M''_{ki} \right]$$



$$V^i = V^k \quad ; \quad M^{ik} = M^{ki}$$

$$V^i = \frac{2 M^{ik}}{h_{ik}}$$

$$V^k = \frac{2 M^{ki}}{h_{ik}}$$

$$M^{ik} = \frac{V^i h_{ik}}{2}$$

$$M^{ki} = \frac{V^k h_{ik}}{2}$$

Sustituyendo valores :

$$\frac{V^i h_{ik}}{2} = v_{ik} \left[\frac{Q_i h_r}{3} - \frac{2}{3} \pm C_{ik} \frac{V^k h_{ik}}{2} \right]$$

Haciendo operaciones :

$$\frac{V^i h_{ik}}{2} = v_{ik} \left[\frac{Q_i h_r}{3} - \frac{2}{3} \pm C_{ik} \frac{V^k h_{ik}}{2} \right]$$

$$\frac{V^i}{2} \frac{h_r}{C_{ik}} = v_{ik} \left[\frac{Q_i h_r}{3} - \frac{2}{3} \pm C_{ik} \frac{V^k h_{ik}}{2} \right]$$

Simplificando :

$$V^i = v_{ik} \left[\frac{2 C_{ik}}{h_r} \frac{Q_i h_r}{3} - \frac{2}{3} \pm \frac{2 C_{ik}}{h_r} \pm C_{ik} \frac{V^k h_{ik}}{2} \frac{h_r}{C_{ik}} \right]$$

$$V''_i = v_{ik} \left[\frac{2}{3} C_{ik} Q_i - \frac{2}{3} \frac{2 C_{ik}}{hr} \frac{hr}{2} \sum V''_k \right]$$

$$V''_i = v_{ik} \left[\frac{2}{3} C_{ik} Q_i - \frac{2}{3} C_{ik} \sum V''_k \right]$$

$$V''_i = \frac{2}{3} v_{ik} \left[C_{ik} Q_i - C_{ik} \sum V''_k \right]$$

Factorizando :

$$V''_i = \frac{2}{3} v_{ik} C_{ik} \left[Q_i - \sum V''_k \right]$$

Si hacemos :

$$\lambda_{ik} = \frac{2}{3} v_{ik} C_{ik}$$

Se tendrá finalmente, la expresión buscada :

$$V''_i = \lambda_{ik} (Q_i - \sum V''_k)$$

La expresión anterior, también, se puede expresar como :

$$V''_{ik} = \lambda_{ik} (Q_i - \sum V''_{ki}).$$

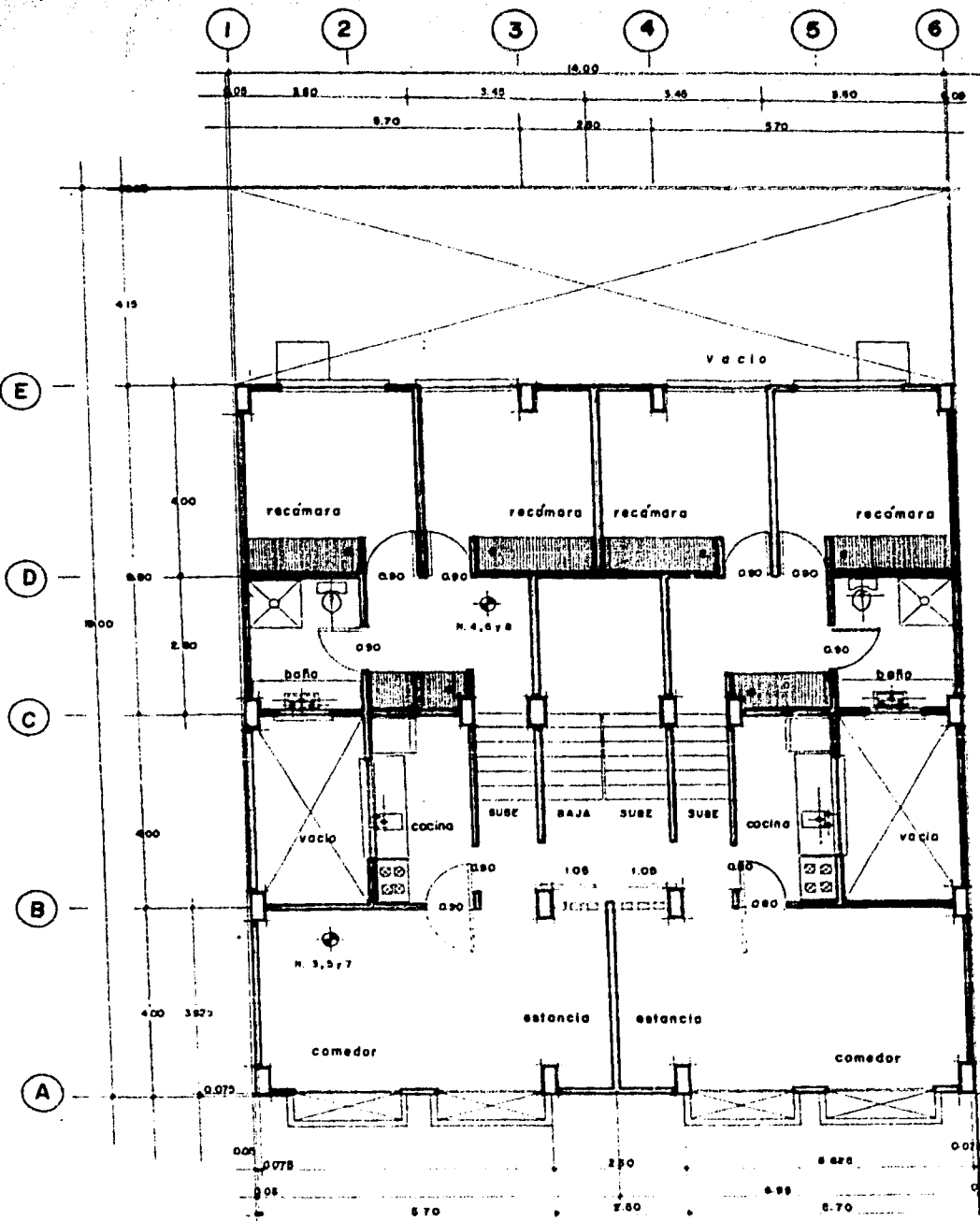
La ecuación anterior, se puede enunciar de la siguiente manera : "La fuerza cortante (Reacción) de la barra i-k, debida al desplazamiento diferencial del nudo i, provocado por la fuerza Q aplicada en el mismo; es igual al factor de distribución lineal al cortante, que multiplica a la fuerza Q_i , menos la suma de los cortantes de los extremos opuestos de las barras que concurren al nudo i".

BIBLIOGRAFIA

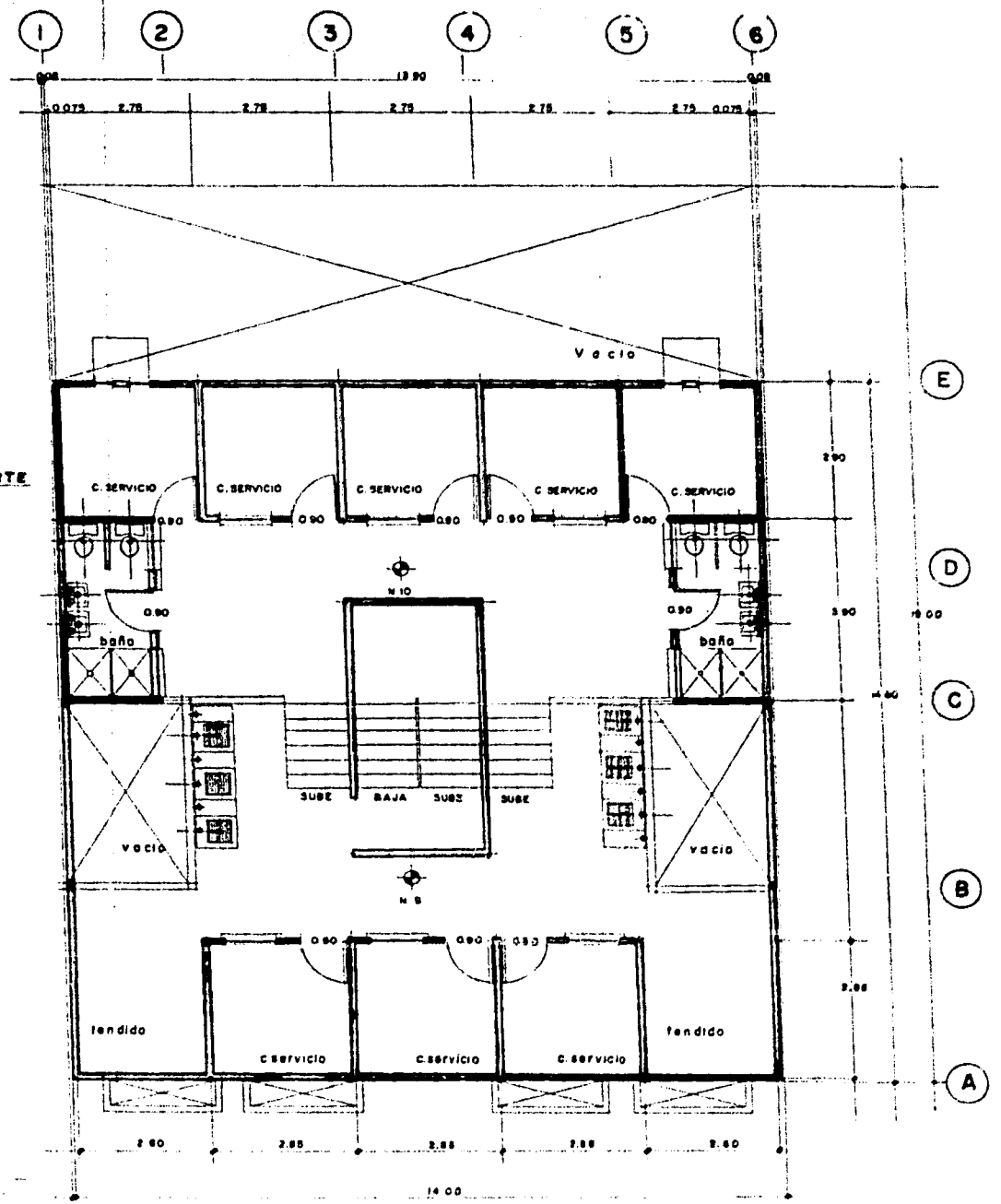
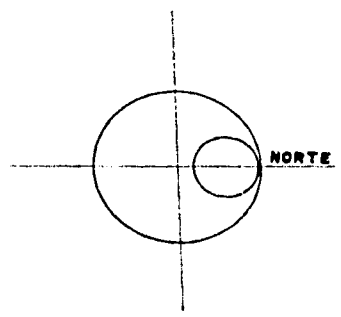
- | | |
|---|--|
| Cálculo de Pórticos de Varios Pisos. | G. KANI. |
| Análisis Estructural. | RODOLFO LUTHE. |
| Nueva Teoría de las Estructuras. | HEBERTO CASTILLO MARTINEZ. |
| Aspectos Fundamentales del Concreto Reforzado. | OSCAR M. GONZALEZ CUEVAS.
FRANCISCO ROBLES F. V.
JUAN CASILLAS G. DE L.
ROGER DIAZ DE COSSIO. |
| Estructuras de Concreto. | ALFONSO OLVERA LOPEZ. |
| Folleto Complementario.
Diseño Sísmico de Edificios. | EMILIO ROSENBLUETH y
LUIS ESTEVA. |
| Reglamento de Construcciones
para el Distrito Federal. | |
| Gráficas para Diseño Plástico de
Columnas de Concreto Reforzado. | INSTITUTO DE INGENIERIA,
U.N.A.M. |
| No. 400, Requisitos de Seguridad y
Servicios para las Estructuras. | " |
| No. 401, Diseño y Construcción de
Estructuras de Concreto. | " |
| No. 405, Diseño y Construcción de
Cimentaciones. | " |
| No. 406, Manual de Diseño por Sismo. | " |

INGENIERIA

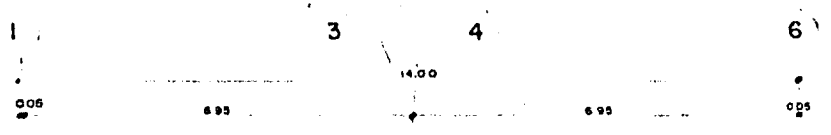
El Valle	Escuela de Oficiales de Varas Fijas
RODRIGO LUCHE	Análisis Instrumental
HERNANDO CASTILLO MARTINEZ	Nueva Teoría de las Bombas
RODRIGO H. GONZALEZ CUEVAS, RODRIGO ROJAS P. V., GUSTO CASTILLO G. DE L., RODRIGO DIAZ DE CORTIJO	Aplicaciones Fundamentales del Cálculo Diferencial
ALFONSO OLIVERA LOPEZ	Estadística de Muestreo
EMILIO ROSENBLUTH y OLIVERA	Física Computacional, Diseño de Máquinas de Oficio
	Equipamiento de Computación para el Distrito Federal
INSTITUTO DE INGENIERIA, S.A. de C.V.	Oficinas para Distrito de Cálculo de Máquinas de Oficio
	Nal. 400, Instalación de Seguridad y Sistemas para las Estaciones
	Nal. 400, Diseño y Construcción de Sistemas de Control
	Nal. 400, Diseño y Construcción de Sistemas
	Nal. 400, Diseño y Construcción de Sistemas



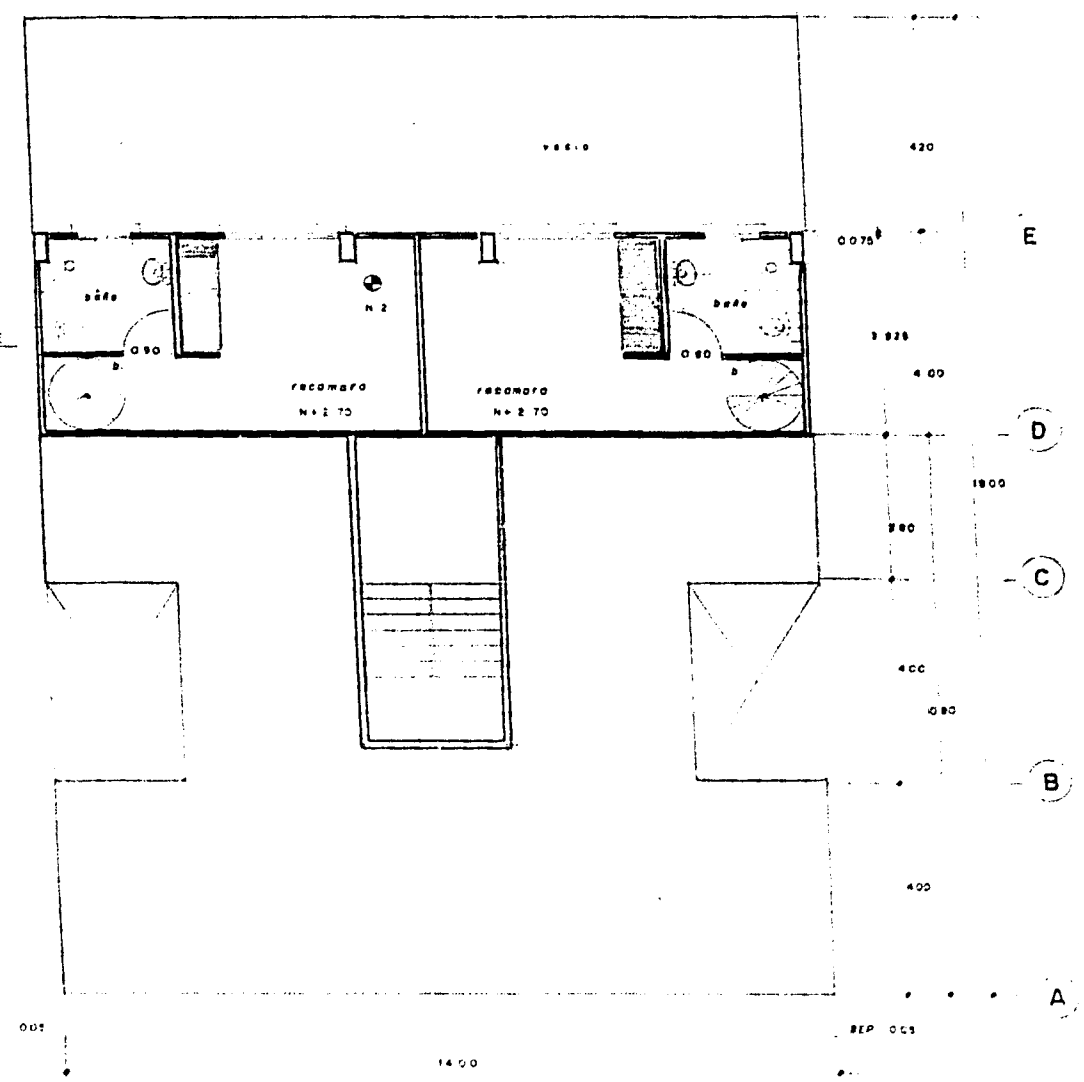
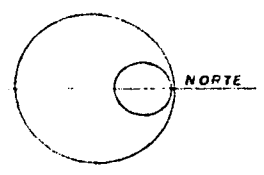
PLANTA TIPO
DEPARTAMENTOS 1, 2 y 3
ESC. 1:50



PLANTA CUARTOS DE SERVICIOS Y AZOTEA
NOTA - Aseficiones en metros
ESC. 1:50



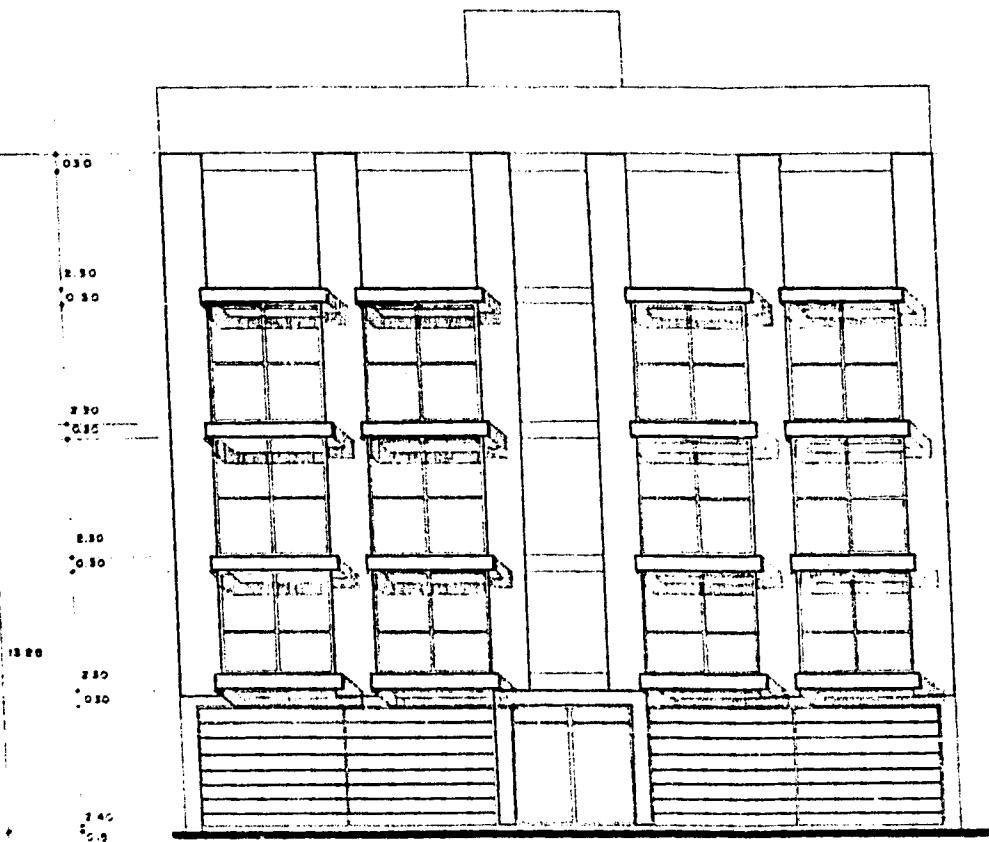
PLANTA BAJA DEPARTAMENTO SEMISOTANO Y ESTACIONAMIENTO
ESC. 1:50



PLANTA ALTA DEPARTAMENTO SEMISOTANO
ESC. 1:50

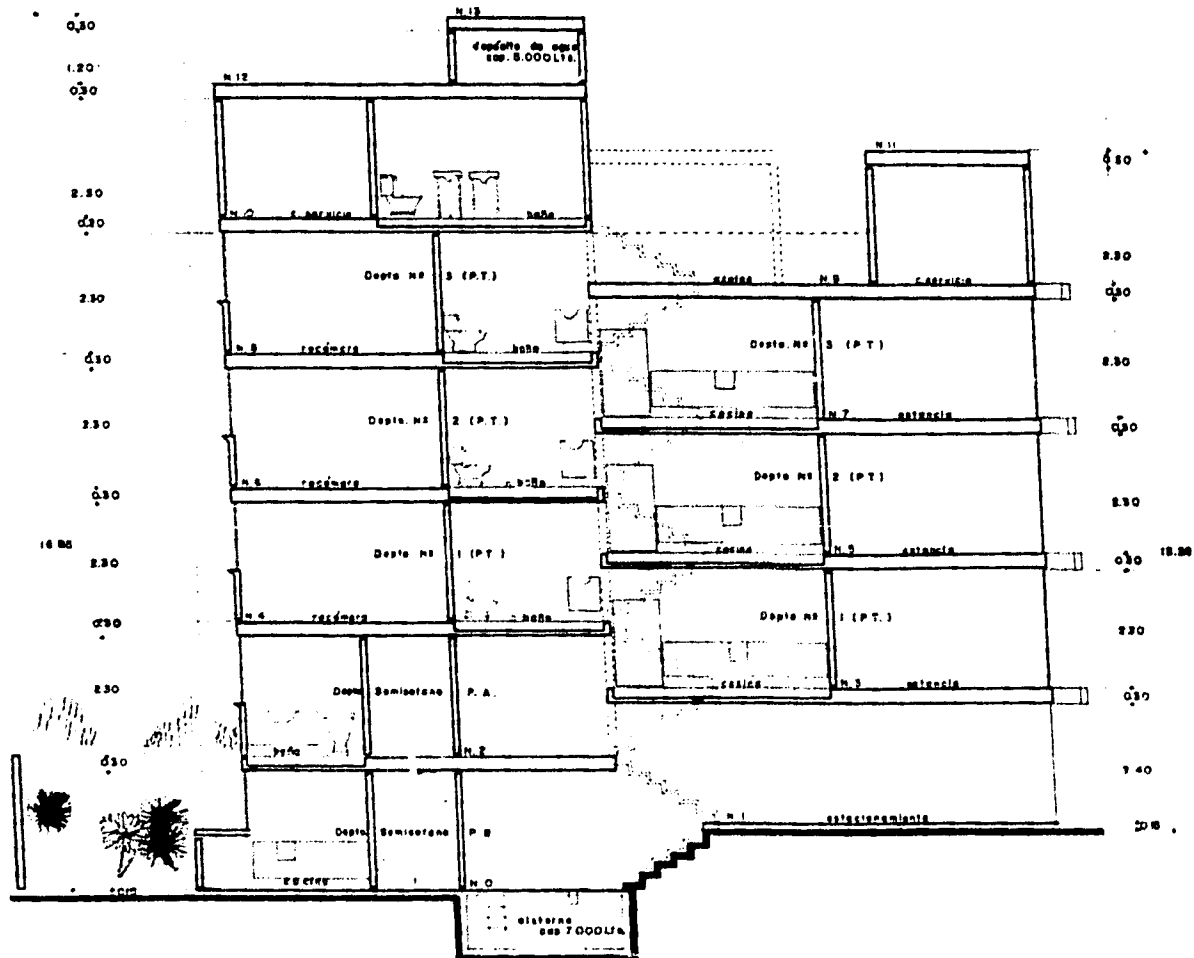
NOTA: Alturas en metros

1) 3 4 6



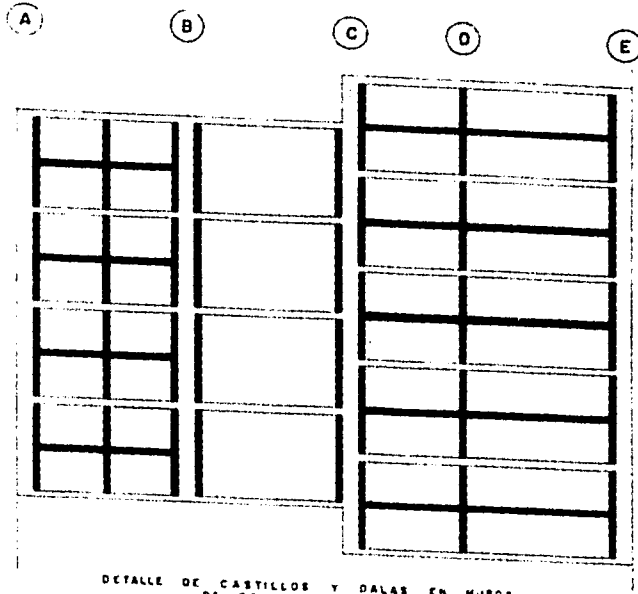
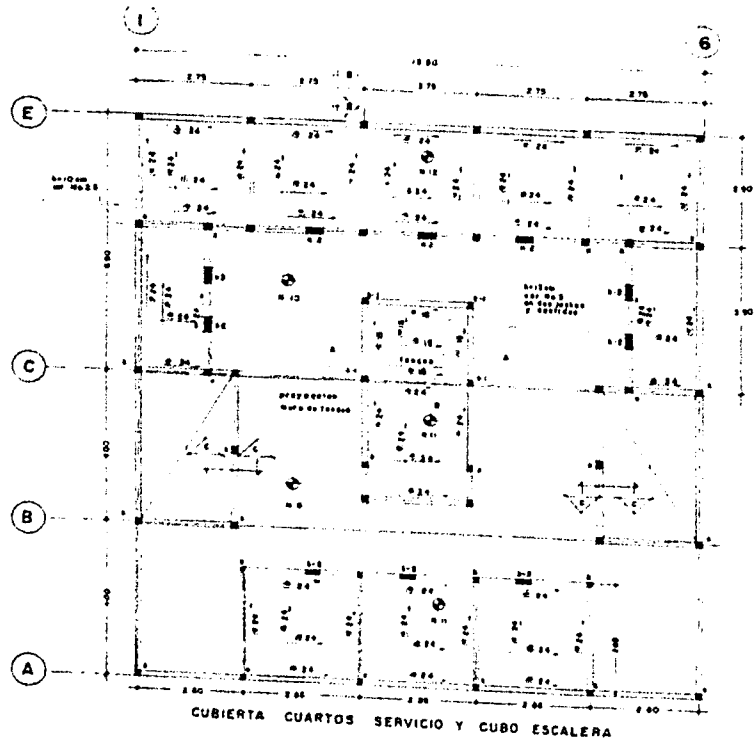
FACHADA PRINCIPAL ESCALA 1:50

E D C B A



CORTE SANITARIO LONGITUDINAL ESCALA 1:50

NOTAS
 P.T. (Planta Tipo)
 P.A. (Planta Alta)
 P.B. (Planta Baja)
 N. (Nivel)
 Acentuaciones en negrita

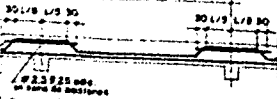


NOTAS GENERALES

- 1- Aceptación de los planos.
- 2- Construcción en concreto armado.
- 3- Cimentación en concreto armado.
- 4- Altura de referencia: 1.100 msnnm.

NOTAS DE LOSA MACIZA

- 1- Espesor de losa: 12 cm.
- 2- Armadura: 1/4" x 12 cm.

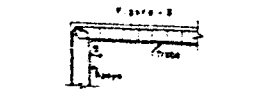


NOTAS DE TRABES

- 1- Las trabes y columnas se harán de acuerdo con la especificación.

Trabes	Ø	L	U
1	1/2"	30	30
2	1/2"	30	30
3	1/2"	30	30
4	1/2"	30	30
5	1/2"	30	30
6	1/2"	30	30

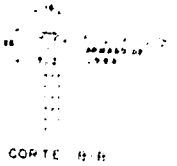
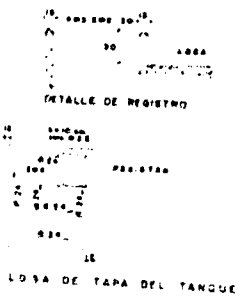
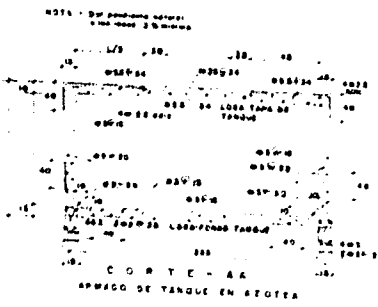
Las trabes y columnas se harán de acuerdo con la especificación.



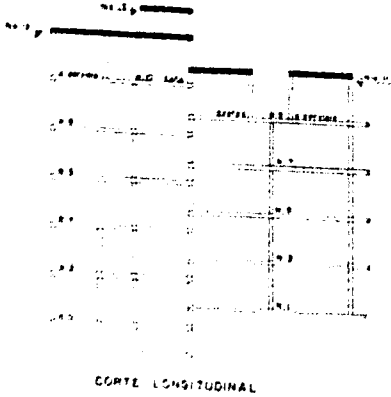
NOTAS DE MUROS

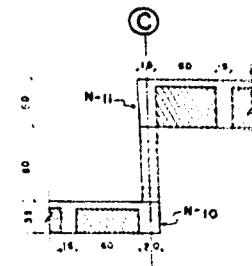
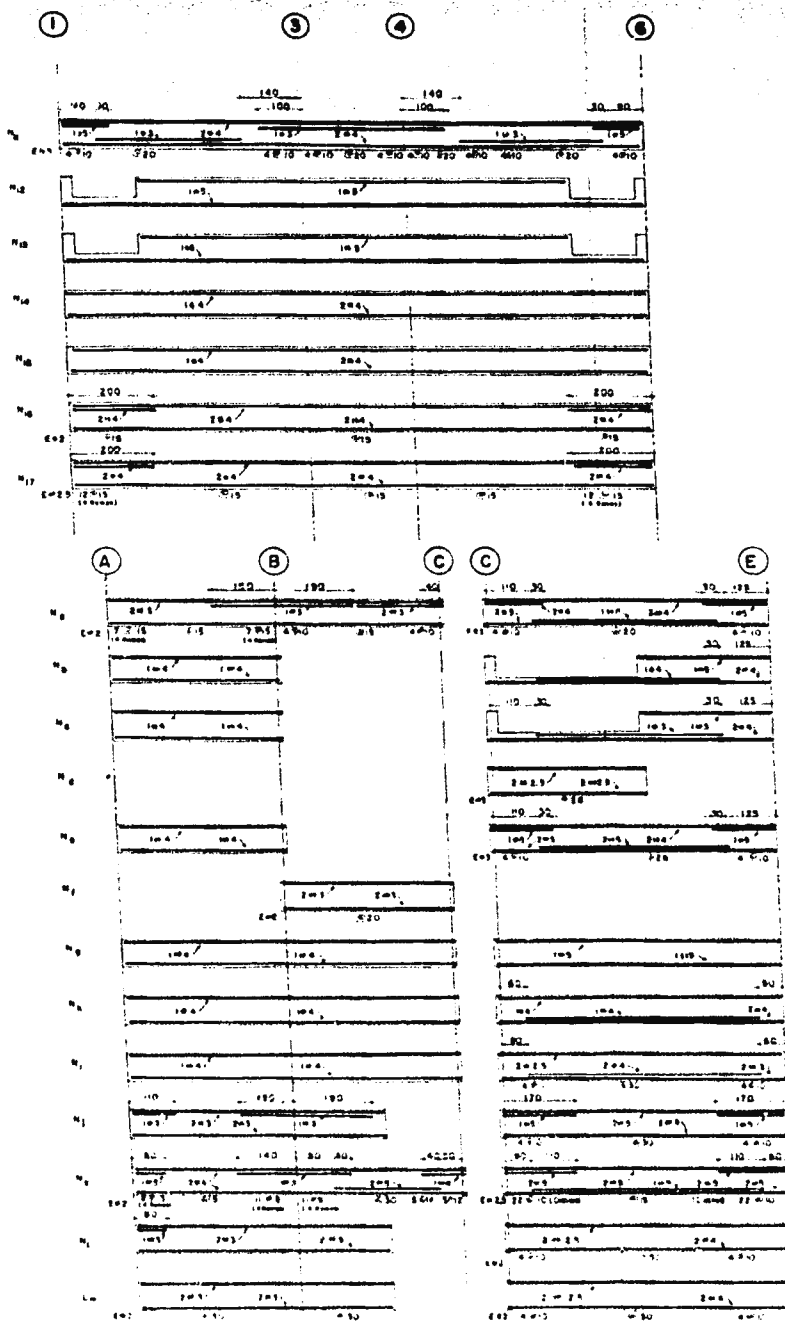
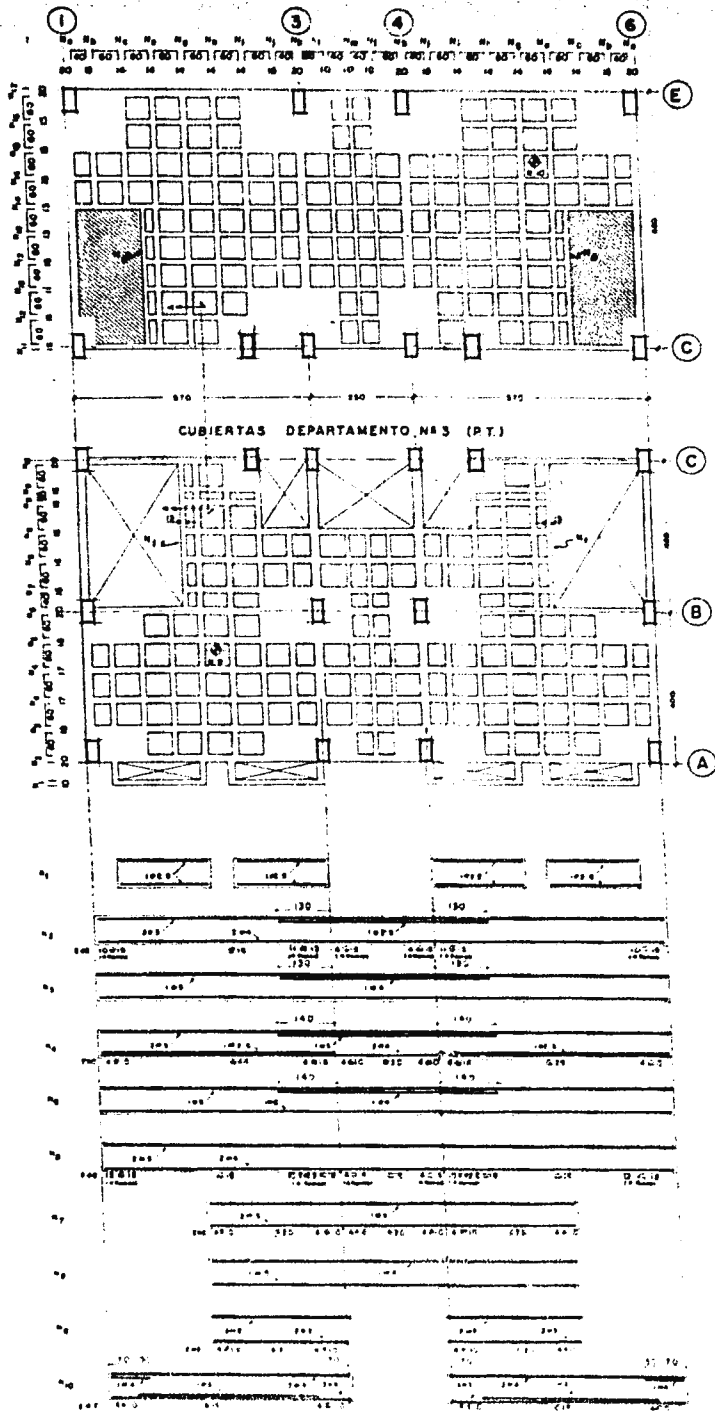
- 1- Los muros se harán de acuerdo con la especificación.
- 2- Los muros se harán de acuerdo con la especificación.

NOTA: Se construye para todo el terreno de 1.100 msnnm.



U N A M
FACULTAD DE INGENIERIA
TESIS PROFESIONAL
CASTILLO ABONZA ANTONIO
ESTRUCTURAL
MEXICO, D.F. 1961



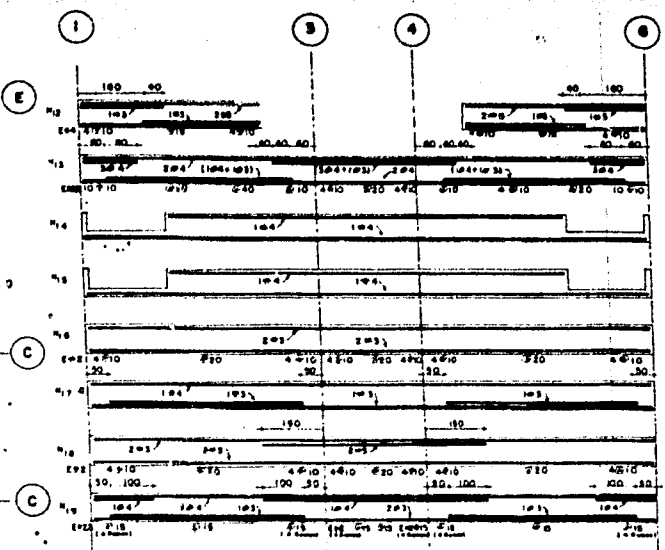
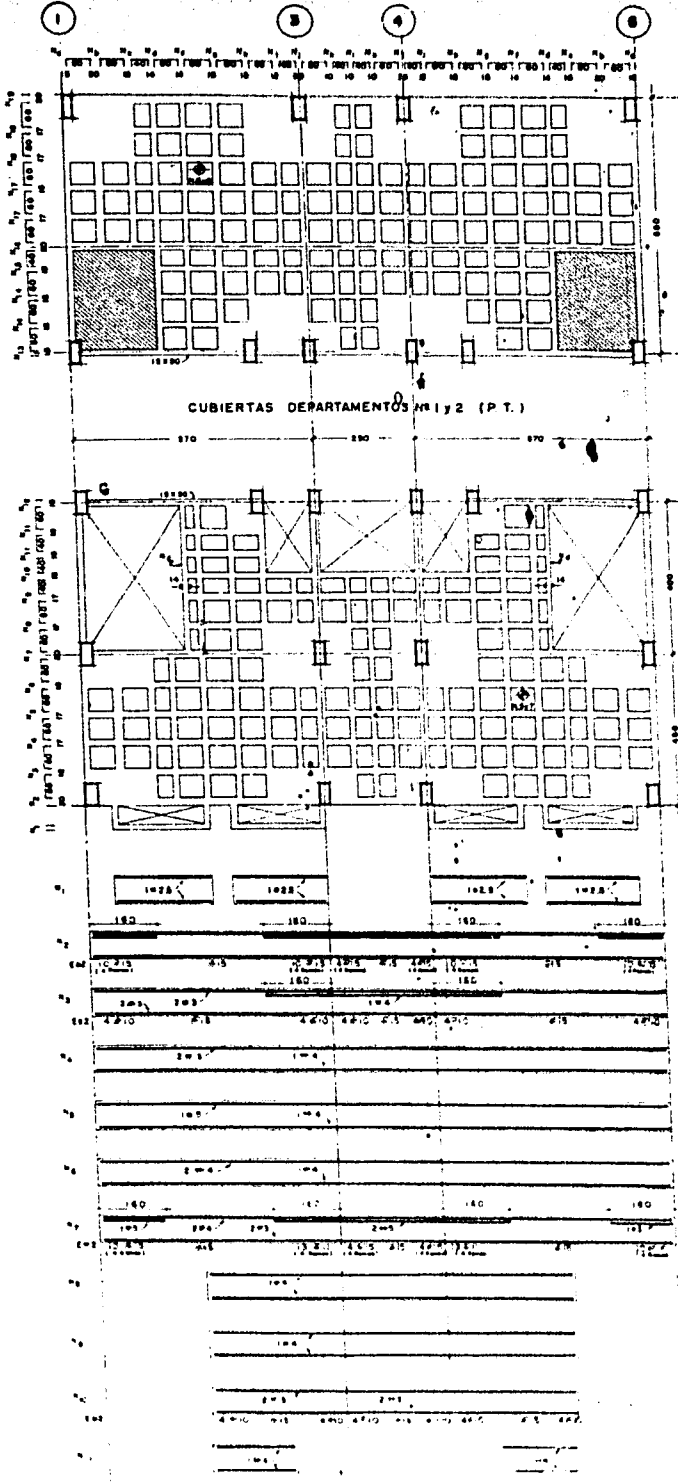


**CORTE A-A
(DETALLE DE DESNIVEL)**

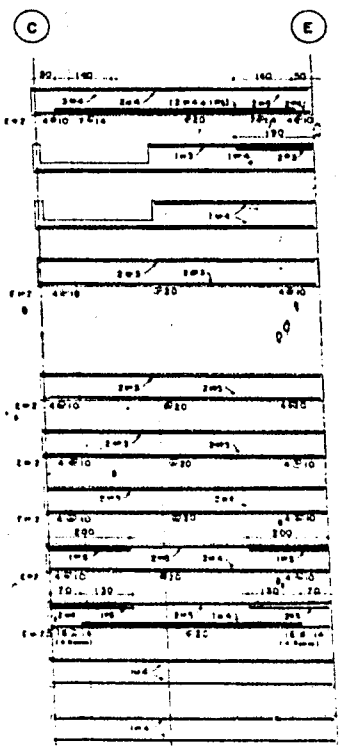
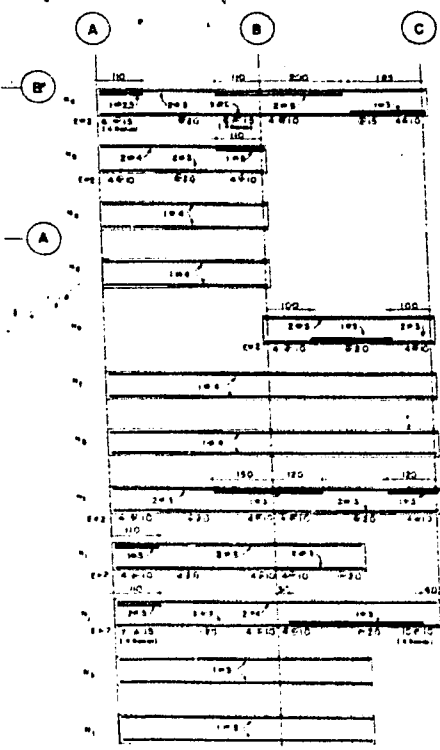
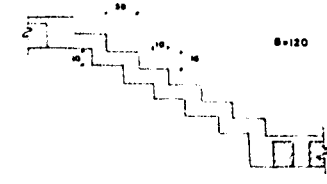


CORTE LONGITUDINAL

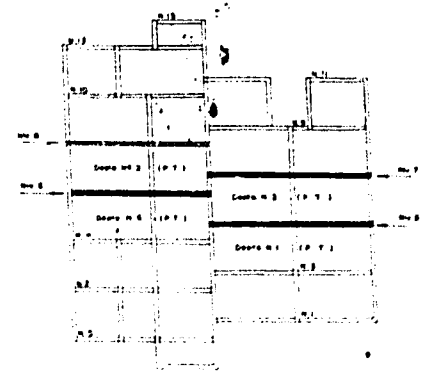
U	N	A	M
FACULTAD DE INGENIERIA			
TESIS PROFESIONAL			
CASTILLO ABONZA ANTONIO			
ESTRUCTURAL			
CUBIERTA DEPTO N.º 3 (P.T.)			
MEDIC. OF. 1981	E-5		



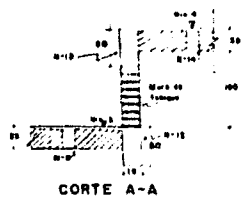
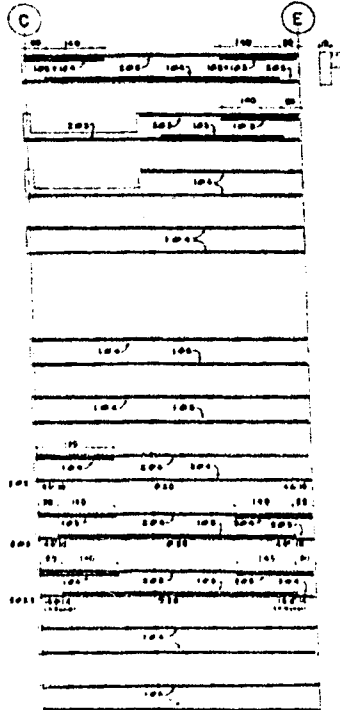
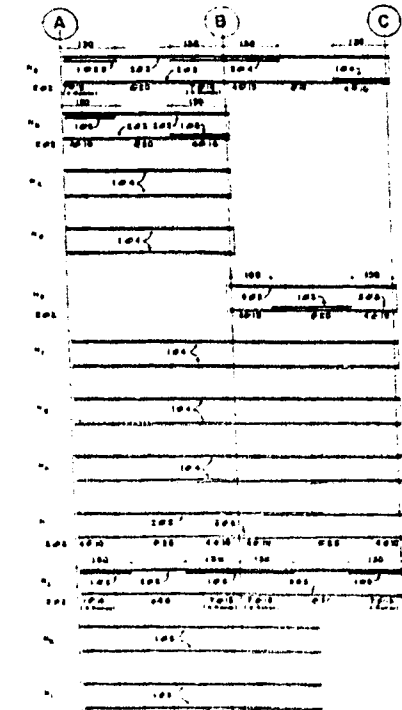
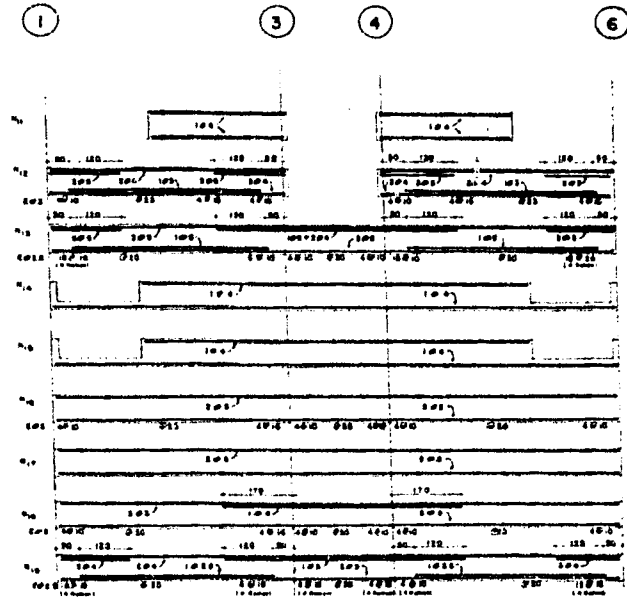
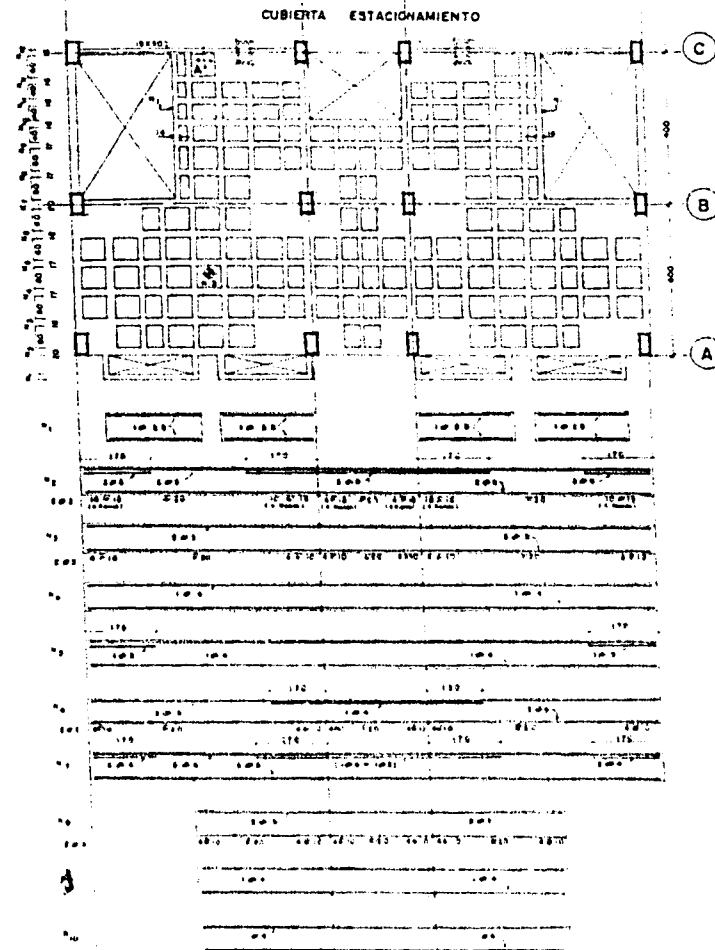
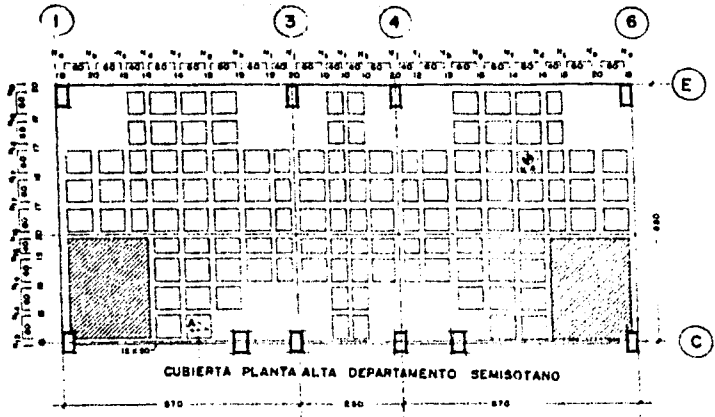
DETALLE DE ESCALERA



U	N	A	M
FACULTAD DE INGENIERIA			
TESIS PROFESIONAL			
CASTILLO ABONZA ANTONIO			
ESTRUCTURAL			
Cubiertas Deptos. N°1 y 2 (P.T.)			
MEXICO, D.F. 1981			E-4



CORTE LONGITUDINAL



NOTAS GENERALES

- 1-Asociación de columnas
- 2-Checkeado en planta de preesfuerzo
- 3-Columna $F_c=200 \text{ kg/cm}^2$ con esparso máximo de 80%
- 4-Área de refuerzo $F_y=4000 \text{ kg/cm}^2$ pasadas al 60° con 0.8% de área de refuerzo $F_y=2800 \text{ kg/cm}^2$.

NOTAS DE LOSA RETICULAR

- 1-Tarjetas de losa de 20 cm aligerada por bloques de concreto de $80 \times 80 \times 20$, $40 \times 40 \times 20$ y $40 \times 40 \times 20$
- 2-Enterramiento libre de 15 cm \times 2 cm si el mismo diámetro de los varillas de refuerzo longitudinales.
- 3-Debe indicarse altura, el refuerzo corrido y los huecos entre los varillas como se indica en la figura 001.
- 4-El refuerzo longitudinal en las varillas, se colocará en el centro de los huecos de las varillas en posición como se indica en la figura 002.
- 5-Debe usarse varillas estiradas para armar más de 200 cm .
- 6-Todos los varillas inferiores son de 20 , excepto donde se indique otra cosa.

Figura 001 Figura 002

Figura 003

Figura 004

Figura 005

Figura 006

Figura 007

Figura 008

Figura 009

Figura 010

Figura 011

Figura 012

Figura 013

Figura 014

Figura 015

Figura 016

Figura 017

Figura 018

Figura 019

Figura 020

Figura 021

Figura 022

Figura 023

Figura 024

Figura 025

Figura 026

Figura 027

Figura 028

Figura 029

Figura 030

Figura 031

Figura 032

Figura 033

Figura 034

Figura 035

Figura 036

Figura 037

Figura 038

Figura 039

Figura 040

Figura 041

Figura 042

Figura 043

Figura 044

Figura 045

Figura 046

Figura 047

Figura 048

Figura 049

Figura 050

Figura 051

Figura 052

Figura 053

Figura 054

Figura 055

Figura 056

Figura 057

Figura 058

Figura 059

Figura 060

Figura 061

Figura 062

Figura 063

Figura 064

Figura 065

Figura 066

Figura 067

Figura 068

Figura 069

Figura 070

Figura 071

Figura 072

Figura 073

Figura 074

Figura 075

Figura 076

Figura 077

Figura 078

Figura 079

Figura 080

Figura 081

Figura 082

Figura 083

Figura 084

Figura 085

Figura 086

Figura 087

Figura 088

Figura 089

Figura 090

Figura 091

Figura 092

Figura 093

Figura 094

Figura 095

Figura 096

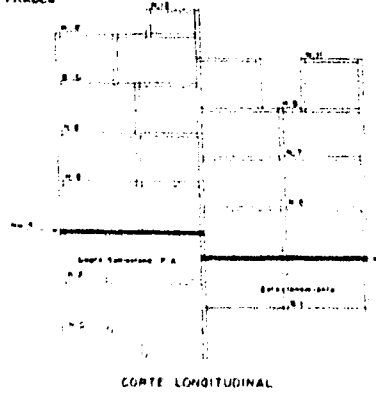
Figura 097

Figura 098

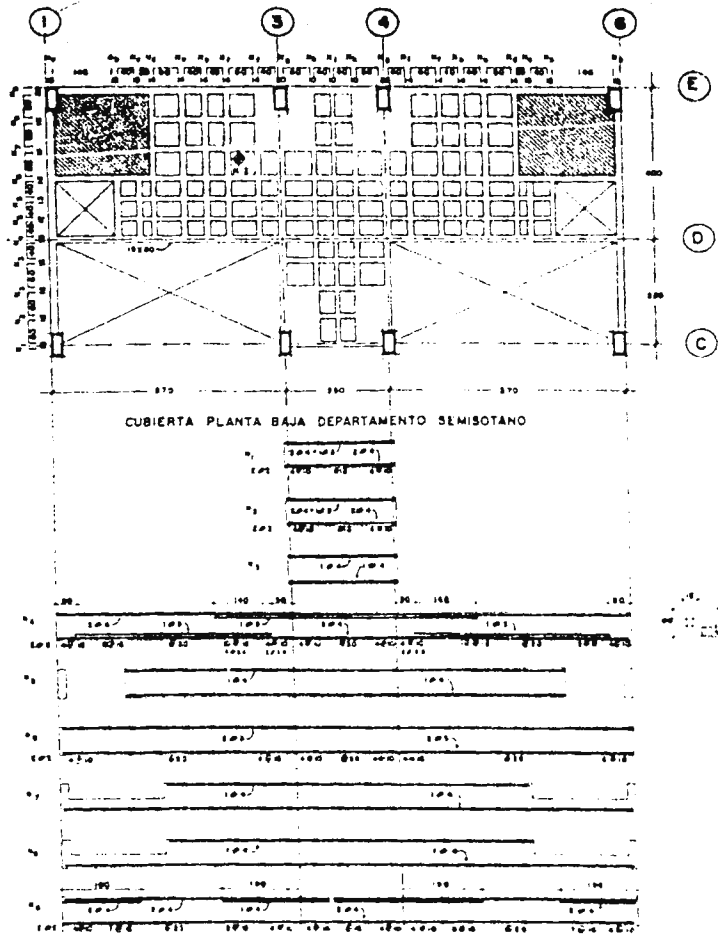
Figura 099

Figura 100

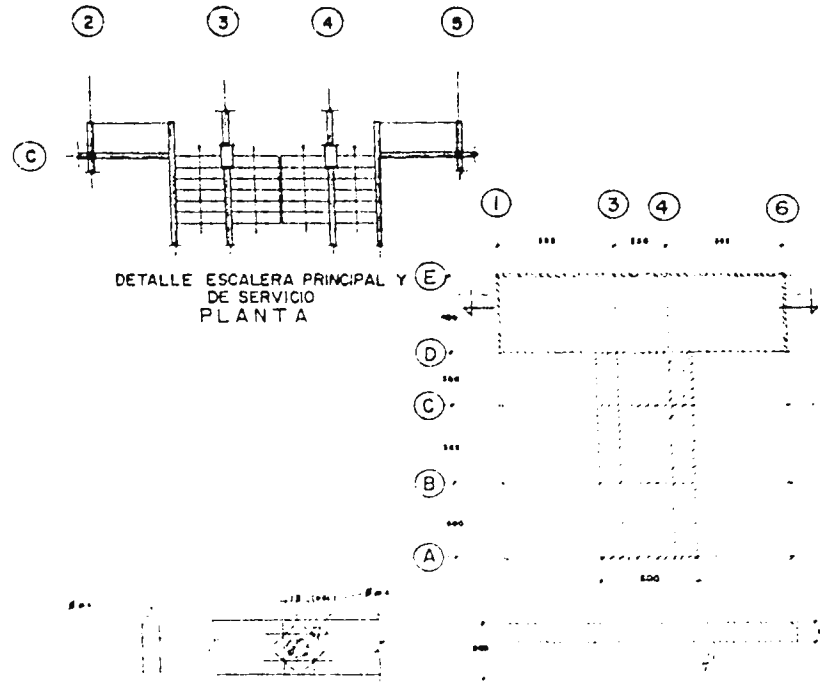
DETALLE DE PASO DE DUCTOS EN LOSA O TRABES



U N A M
 FACULTAD DE INGENIERIA
 TESIS PROFESIONAL
 CASTILLO ABONZA ANTONIO
 ESTRUCTURAL
 CUBIERTA P.A. DEPARTAMENTO SEMISOTANO
 MEXICO, D.F. 1961 E-3



CUBIERTA PLANTA BAJA DEPARTAMENTO SEMISOTANO



DETALLE ESCALERA PRINCIPAL Y DE SERVICIO PLANTA

DETALLE DE PASO DE DUCTOS EN LOSA O TRABES

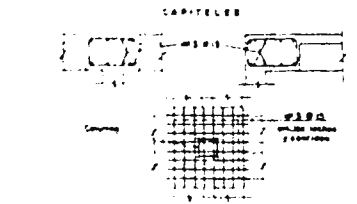
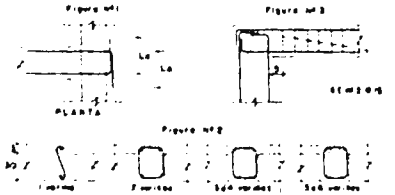
PROCEDIMIENTO DE EXCAVACION

NOTAS GENERALES

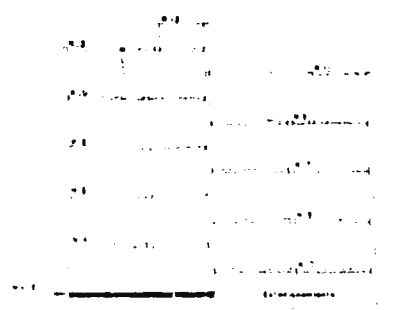
- 1- Acabados en superficies
- 2- Cimentación sobre un gramo o equivalente
- 3- Concreto f'c=200 kg/cm² con espesor mínimo de 10cm
- 4- Losa de refuerzo f'c=400 kg/cm² excepto en el caso de losa estructural f'c=350 kg/cm²

NOTAS DE LOSA RETICULAR

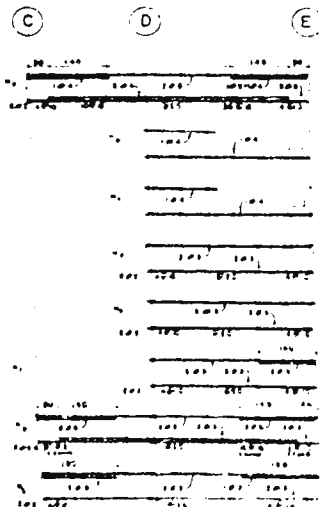
- 1- Proporción de masa de 1:2 en concreto con bloques de concreto de 40x40x30, 40x40x30 y 40x40x30
- 2- Refuerzo con barras de 2.5 cm de diámetro que el máximo espesor de las paredes de refuerzo sea de 10cm
- 3- Se debe proporcionar un mínimo de refuerzo vertical y las distancias entre ellas en ambas direcciones se indican en la figura B1.1
- 4- El refuerzo longitudinal en los muros debe ser colocado en su posición tal como se indica en la figura B1.2
- 5- Cuando se necesiten detalles para un muro con altura > 2.00m
- 6- Todos los detalles deben ser de acuerdo a las normas vigentes en el país.



Nota de detalle de losa para todos los refuerzos f'c=400 kg/cm² con un espesor mínimo de 10cm y un espesor máximo de 15cm.

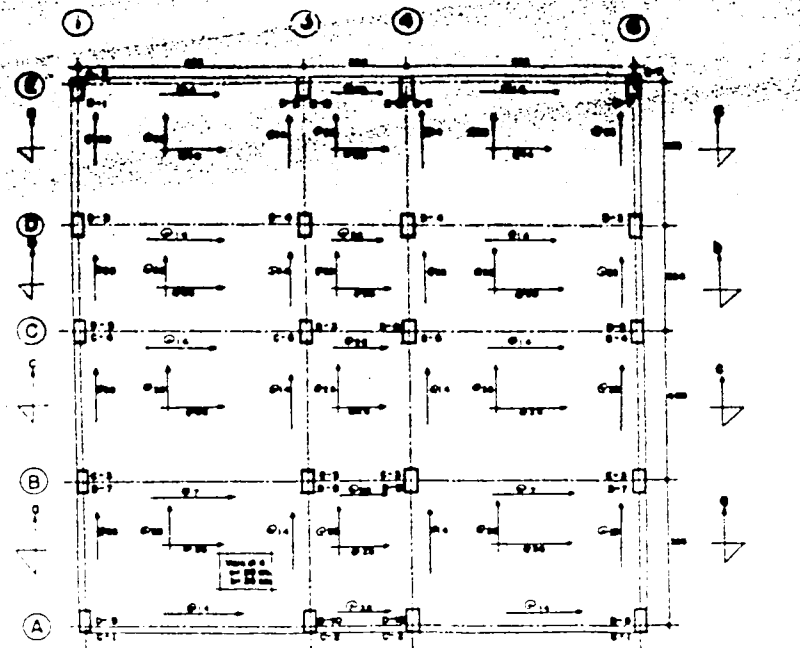


CORTE LONGITUDINAL

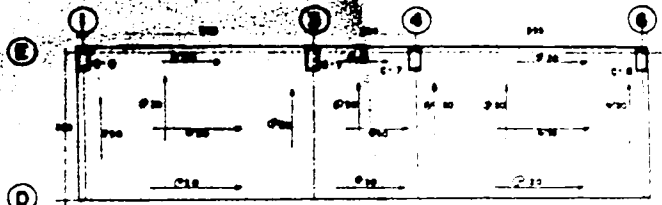
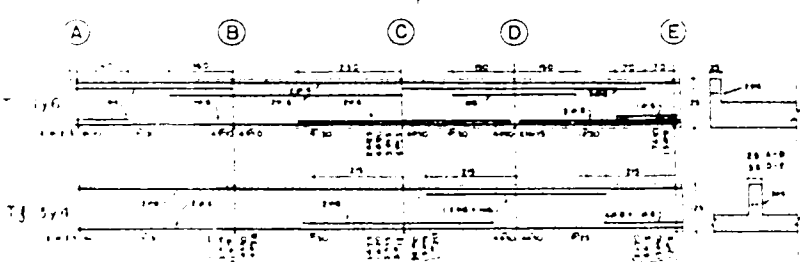
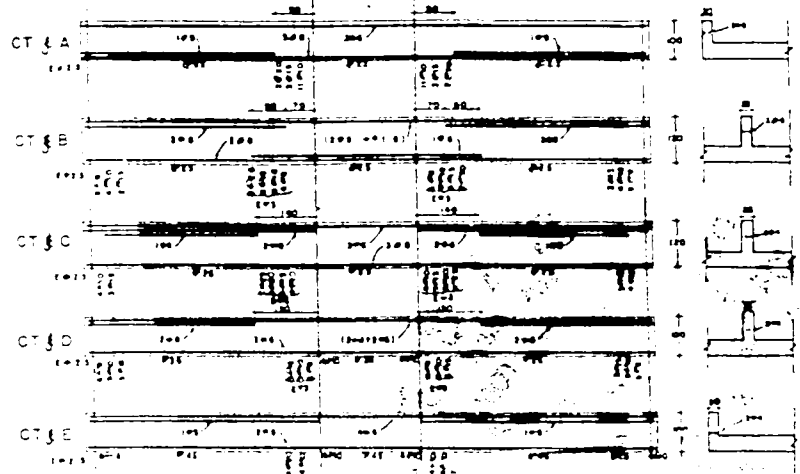


DETALLE DE CISTERNA

U	N	A	M
FACULTAD DE INGENIERIA			
TESIS PROFESIONAL			
CASTILLO ABONZA ANTONIO			
ESTRUCTURAL			
Cubierta PB Depto Semisotano			
MEXICO, D.F. 1981	E-2		



LOSA DE CIMENTACION



LOSA TAPA DE CIMENTACION

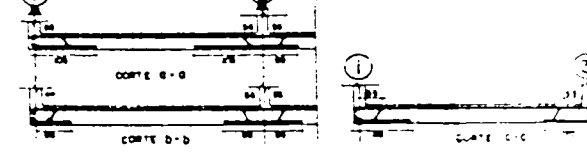
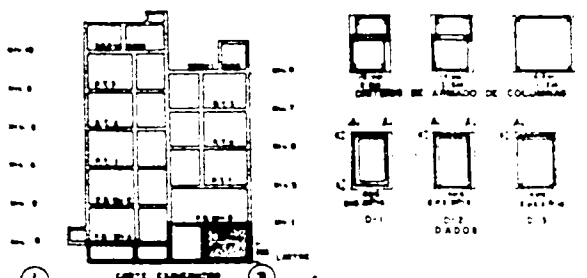
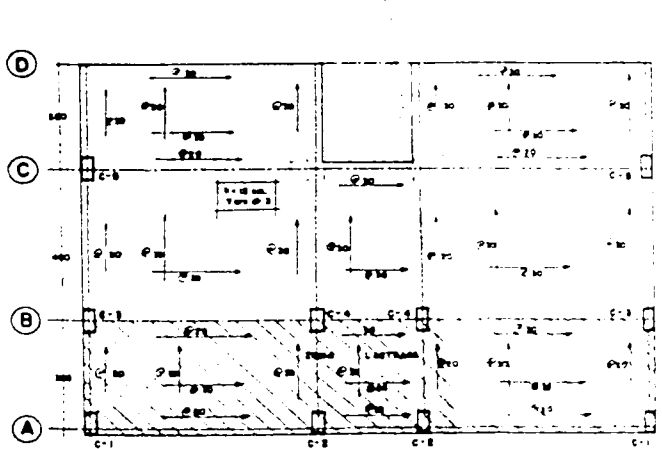
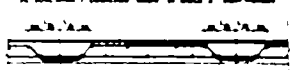


TABLA DE COLUMNAS

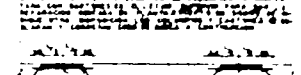
TIPO	C-1			C-2			C-3			TIPO	C-4			C-5			C-6		
	SECC.	AN.	EST.	SECC.	AN.	EST.	SECC.	AN.	EST.		SECC.	AN.	EST.	SECC.	AN.	EST.	SECC.	AN.	EST.
10 B	30x30	10	10	30x30	10	10	30x30	10	10	10 B	30x30	10	10	30x30	10	10	30x30	10	10
10 C	30x30	10	10	30x30	10	10	30x30	10	10	10 C	30x30	10	10	30x30	10	10	30x30	10	10
10 D	30x30	10	10	30x30	10	10	30x30	10	10	10 D	30x30	10	10	30x30	10	10	30x30	10	10
10 E	30x30	10	10	30x30	10	10	30x30	10	10	10 E	30x30	10	10	30x30	10	10	30x30	10	10
10 F	30x30	10	10	30x30	10	10	30x30	10	10	10 F	30x30	10	10	30x30	10	10	30x30	10	10
10 G	30x30	10	10	30x30	10	10	30x30	10	10	10 G	30x30	10	10	30x30	10	10	30x30	10	10
10 H	30x30	10	10	30x30	10	10	30x30	10	10	10 H	30x30	10	10	30x30	10	10	30x30	10	10
10 I	30x30	10	10	30x30	10	10	30x30	10	10	10 I	30x30	10	10	30x30	10	10	30x30	10	10
10 J	30x30	10	10	30x30	10	10	30x30	10	10	10 J	30x30	10	10	30x30	10	10	30x30	10	10
10 K	30x30	10	10	30x30	10	10	30x30	10	10	10 K	30x30	10	10	30x30	10	10	30x30	10	10
10 L	30x30	10	10	30x30	10	10	30x30	10	10	10 L	30x30	10	10	30x30	10	10	30x30	10	10
10 M	30x30	10	10	30x30	10	10	30x30	10	10	10 M	30x30	10	10	30x30	10	10	30x30	10	10
10 N	30x30	10	10	30x30	10	10	30x30	10	10	10 N	30x30	10	10	30x30	10	10	30x30	10	10
10 O	30x30	10	10	30x30	10	10	30x30	10	10	10 O	30x30	10	10	30x30	10	10	30x30	10	10
10 P	30x30	10	10	30x30	10	10	30x30	10	10	10 P	30x30	10	10	30x30	10	10	30x30	10	10
10 Q	30x30	10	10	30x30	10	10	30x30	10	10	10 Q	30x30	10	10	30x30	10	10	30x30	10	10
10 R	30x30	10	10	30x30	10	10	30x30	10	10	10 R	30x30	10	10	30x30	10	10	30x30	10	10
10 S	30x30	10	10	30x30	10	10	30x30	10	10	10 S	30x30	10	10	30x30	10	10	30x30	10	10
10 T	30x30	10	10	30x30	10	10	30x30	10	10	10 T	30x30	10	10	30x30	10	10	30x30	10	10
10 U	30x30	10	10	30x30	10	10	30x30	10	10	10 U	30x30	10	10	30x30	10	10	30x30	10	10
10 V	30x30	10	10	30x30	10	10	30x30	10	10	10 V	30x30	10	10	30x30	10	10	30x30	10	10
10 W	30x30	10	10	30x30	10	10	30x30	10	10	10 W	30x30	10	10	30x30	10	10	30x30	10	10
10 X	30x30	10	10	30x30	10	10	30x30	10	10	10 X	30x30	10	10	30x30	10	10	30x30	10	10
10 Y	30x30	10	10	30x30	10	10	30x30	10	10	10 Y	30x30	10	10	30x30	10	10	30x30	10	10
10 Z	30x30	10	10	30x30	10	10	30x30	10	10	10 Z	30x30	10	10	30x30	10	10	30x30	10	10

NOTAS GENERALES
 1. VERIFICAR QUE LAS COLUMNAS ESTEN BIEN ALIGADAS.
 2. VERIFICAR QUE LAS COLUMNAS ESTEN BIEN ALIGADAS.
 3. VERIFICAR QUE LAS COLUMNAS ESTEN BIEN ALIGADAS.

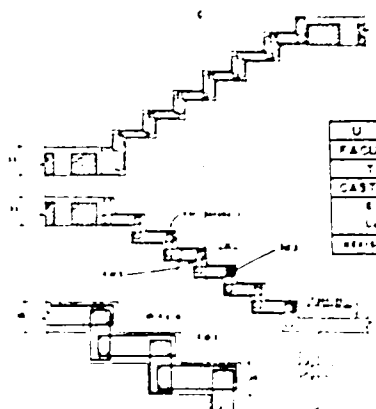
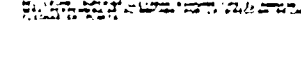
NOTAS DE LOSAS DE CIMENTACION
 1. VERIFICAR QUE LAS LOSAS ESTEN BIEN ALIGADAS.
 2. VERIFICAR QUE LAS LOSAS ESTEN BIEN ALIGADAS.
 3. VERIFICAR QUE LAS LOSAS ESTEN BIEN ALIGADAS.



NOTAS DE LOSAS HACIA
 1. VERIFICAR QUE LAS LOSAS ESTEN BIEN ALIGADAS.
 2. VERIFICAR QUE LAS LOSAS ESTEN BIEN ALIGADAS.
 3. VERIFICAR QUE LAS LOSAS ESTEN BIEN ALIGADAS.



NOTAS DE LOSAS HACIA
 1. VERIFICAR QUE LAS LOSAS ESTEN BIEN ALIGADAS.
 2. VERIFICAR QUE LAS LOSAS ESTEN BIEN ALIGADAS.
 3. VERIFICAR QUE LAS LOSAS ESTEN BIEN ALIGADAS.



U	N	A	M
FACULTAD DE INGENIERIA			
TESIS PROFESIONAL			
CASTILLO ABONZA ANTONIO			
ESTRUCTURAL			
LOSA DE CIMENTACION			
REVISOR	1981	E	

DETALLE 11

DETALLE DE ESCALERAS